



دانشکده علوم زمین  
پایان نامه کارشناسی ارشد

## بررسی مقایسه‌ای ویژگی‌های برشی از ردیاب‌ها در برابر شرایط محیطی به منظور کاربرد در مطالعات ردیابی منابع آب

فاطمه جعفری

اساتید راهنما:

دکتر غلامعباس کاظمی

دکتر غلامحسین کرمی

استاد مشاور:

مهندس حمیدرضا جهانی

الحمد لله رب العالمين



دانشکده علوم زمین  
گروه زمین‌شناسی زیست محیطی و آب‌شناسی

## بررسی مقایسه‌ای ویژگی‌های برخی از ردیاب‌ها در برابر شرایط

### محیطی به منظور کاربرد در مطالعات ردیابی منابع آب

دانشجو:

فاطمه جعفری

اساتید راهنما:

دکتر غلامعباس کاظمی

دکتر غلامحسین کرمی

استاد مشاور:

مهندس حمیدرضا جهانی

پایان نامه ارشد جهت اخذ درجه کارشناسی ارشد

بهار ۱۳۸۸

ت

# دانشگاه صنعتی شاهرود

## دانشکده: علوم زمین

### گروه: زمین‌شناسی زیست محیطی و آب‌شناسی

پایان نامه کارشناسی ارشد خانم فاطمه جعفری

تحت عنوان: بررسی مقایسه‌ای ویژگی‌های برخی از ردياب‌ها در برابر شرایط محیطی به

منظور کاربرد در مطالعات رديابی منابع آب

در تاریخ ۱۳۸۸/۲/۲۳ توسط کمیته تخصصی زیر جهت اخذ مدرک کارشناسی ارشد مورد ارزیابی

و با درجه عالی مورد پذیرش قرار گرفت.

| امضاء | اساتید مشاور  | امضاء | اساتید راهنمای                  |
|-------|---------------|-------|---------------------------------|
|       | حمیدرضا جهانی |       | غلامعباس کاظمی<br>غلامحسین کرمی |

| امضاء | نماينده تحصيلات<br>تمكيلي | امضاء | اساتيد داور                      |
|-------|---------------------------|-------|----------------------------------|
|       | فرج الله فردوس            |       | ناصر حافظي مقدس<br>حميدرضا ناصری |

تُنْدِيْم بِه

پُرِم، تاکرِم، تَسْسِرِم و

تِماوی دا نش پُرِز و هان سر ز میْنِم

و ان من المجداد، لما يتجدد منه الانصار...

و لعنة اذ برضي سُلْطَنَةِ هَا جَسْدَهَا بَرَأَيْد...

بقره ۷۳۵

سپاس خدای را که منت شهاد فستی بخشید و توفیق کسب علم و رانی داد. اکنون که به فضل خدا در این موقعیت قرار گرفته‌ام بر خود لازم می‌دانم تا از تمامی عزیزانی که در این تحقیق از راهمایی‌ها و مساعدت‌های ایشان ببرهه برداهم قدردانی نمایم.

بدین وسیله از اساتید گرانقدر م جناب آفای دکتر کاظمی، جناب آفای دکتر کرمی و بویزه جناب آفای مرندس جهانی که در تمام مراحل همواره پشتیبان و حامی بشه بودند بی نهایت سپاسگزارم. فرم جنین از معادن محترم پژوهشی مؤسسه تحقیقات آب جناب آفای دکتر صباحزاده، رئیس محترم پژوهشکده منابع آب جناب آفای دکتر علی محمدی، رئیس محترم گروه آب‌های زیرزمینی جناب آفای مرندس جهانی، رئیس محترم گروه تحقیقات صحرایی جناب آفای مرندس بورمندی، کارشناسان محترم آزمایشگاه شیمی و رسوب‌شناسی خانم‌ها ناصح، مدرسی، احمدی، معزی و مصلحتی، معاون محترم تصفیه خانه‌های آب شماره ۳ و ۴ تهران‌بارس جناب آفای مرندس گودرزی، استاد ارجمند گروه شیمی دانشگاه صنعتی خواجه نصیر جناب آفای دکتر روح‌الرسی، کارشناس آزمایشگاه شیمی سازمان زمین‌شناسی کشور خانم شوتشیان و سایر عزیزانی که بشه را در گردآوری این مجموعه باری نموده‌اند نهایت تقدير و تشکر را دارم.

در پایان از زحمات بی‌دریغ پدر، مادر و همسر عزیزم که همواره پشتیبان و باری داشته‌اند من بوره‌اند بی نهایت سپاسگزارم. امید که توائمه باشم در سایه لطف خداوند گامی پرچند کوچک در راستای توسعه و تعالیٰ کشورم بردارم.

فاطمه جعفری

دانشجو تایید می‌نماید که مطالب مندرج در این پایان‌نامه نتیجه تحقیقات خودش می‌باشد و در صورت استفاده از نتایج دیگران مرجع آن را ذکر نموده است.

کلیه حقوق مادی مترتب از نتایج مطالعات، آزمایش‌ها و نوآوری ناشی از تحقیق موضوع این پایان‌نامه متعلق به دانشگاه صنعتی شاهرود می‌باشد.

بهار ۱۳۸۸

## چکیده

عملیات ردیابی از دقیق ترین و مطمئن ترین روش‌های موجود در شاخه هیدروژئولوژی است که در آن انتخاب ردیاب مناسب، از مهمترین و حیاتی‌ترین عوامل است. برای این هدف، باید شناخت همه جانبه‌ای از ویژگی‌های فیزیکی و شیمیایی ردیاب‌ها در شرایط محیطی مختلف داشت. با این اطلاعات علاوه بر این که می‌توان ردیابی مناسب با شرایط محیطی و هیدروژئولوژیکی منطقه انتخاب کرد، می‌توان اطمینان بیشتری به نتایج داشت و هم‌چنین از آلودگی محیط زیست و افزایش هزینه‌ها پرهیز نمود. در این پژوهش اثر فاکتورهای محیطی همچون pH، نور، دما، شوری، جذب در محیط رسوبی، زمان و همچنین عوامل مصنوعی همچون کلر آزاد، آلودگی هیدروکربوری و مخلوطهای شستشوی ذغال بر تعدادی از ردیاب‌های عمده‌ی مورد استفاده در مطالعات ردیابی کشور در پژوهشکده مطالعات و تحقیقات منابع آب، مؤسسه تحقیقات آب وزارت نیرو در تهران بررسی شد. ردیاب‌های مورد بررسی عبارتند از اورانین، ائوزین و رودامین B (از ردیاب‌های رنگی فلورسنت)، پرمنگنات پتاسیم (از ردیاب‌های رنگی غیر فلورسنت) و کلرید سدیم و پتاسیم (از ردیاب‌های شیمیایی). نتایج به دست آمده از آزمایش‌های متعدد نشان داد که اورانین در محیط اسیدی ویژگی فلورسنس خود را به مقدار زیاد از دست می‌دهد، در حالی که شدت فلورسنس آن در محیط قلیایی افزایش می‌یابد. همچنین نتایج نشان داد که ائوزین ناپایدارترین ردیاب در برابر تابش نور خورشید بوده و به شدت دچار واپاشی فتوشیمیایی می‌گردد. پرمنگنات پتاسیم نیز در اثر تابش نور خورشید و افزایش دما تبدیل به پودر قهقهه‌ای رنگ اکسید منیزیم می‌شود و عملاً ویژگی خود را به عنوان ردیاب از دست می‌دهد. شدت فلورسنس رودامین B در اثر افزایش دما و شوری ناشی از NaCl و KCl کاهش می‌یابد در حالی که اورانین و ائوزین در برابر افزایش دما و شوری محیط از مقاومت بالایی برخوردارند. به دلایل فوق توجه به ویژگی‌های فیزیکی و شیمیایی آب نقش تعیین کننده‌ای در موفقیت عملیات ردیابی خواهد داشت.

یکی از مهم‌ترین فاکتورهای محدود کننده ردیاب‌ها در عملیات ردیابی آب‌های زیرزمینی، جذب آن‌ها در محیط متخلف است. از میان ردیاب‌های فلورسنت، رودامین B یک ردیاب کاتیونی بوده و در محیط ریزدانه جذب می‌شود. در حالی که اورانین و ائوزین از مقاومت بالایی نسبت به جذب برخوردارند. در صورتیکه پرمنگنات پتاسیم به راحتی جذب محیط می‌شود. کل مورد استفاده در تصفیه آب می‌تواند به عنوان یک اکسید کننده قوی حتی در غلظت‌های کم نیز منجر به از بین رفت ویژگی فلورسنس اورانین، ائوزین و رودامین B شود. بررسی حضور نفت به عنوان یکی از آلودگی‌های هیدروکربنی رایج در آب‌های زیرزمینی نشان داد که شدت رنگ پرمنگنات پتاسیم با افزایش درصد اندکی نفت، به صورت کاذب افزایش می‌یابد. اما وجود نفت تغییری در ویژگی فلورسنس اورانین، ائوزین و رودامین B ندارد. همچنین، پرمنگنات پتاسیم منجر به از بین رفت ویژگی فلورسنس در این ردیاب‌ها می‌شود. بنابراین استفاده همزمان آن‌ها در عملیات ردیابی توصیه نمی‌شود.

کلید واژه‌ها: ردیابی آب‌های زیرزمینی، ردیاب، عوامل محیطی،  $H^+$  نور، دما، شوری، کلر، جذب، آلودگی نفتی

**لیست مقالات مستخرج از پایان نامه:**

- ۱- مقایسه برخی از ردیاب‌های فلورسنت در شرایط محیطی مختلف به منظور کاربرد در مطالعات ردیابی منابع آب، ۱۳۸۷، سومین کنفرانس مدیریت منابع آب، دانشگاه تبریز، ایران.
- ۲- بررسی مقایسه‌ای جذب برخی ردیاب‌های آب زیرزمینی در محیط متخلخل، ۱۳۸۷، دوازدهمین همایش انجمن علمی زمین‌شناسی، شرکت ملی مناطق نفت خیز جنوب، ایران.

## فهرست مطالب

|  |    |
|--|----|
| چکیده.....   | ۵  |
| فصل اول: مقدمه.....  | ۲۳ |
| ۱-۱- بیان مسئله و اهداف مطالعه.....                        | ۲  |
| ۱-۲- روش‌های ردیابی آب‌های زیرزمینی.....                   | ۳  |
| ۱-۳- اهداف عملیات ردیابی.....                              | ۴  |
| ۱-۴- تعریف و ویژگی‌های کلی ردیابها .....                   | ۴  |
| ۱-۵- انواع ردیابها.....                                    | ۵  |
| ۱-۶- عوامل تعیین کننده انتخاب یک ردیاب .....               | ۶  |
| ۱-۷- مواد رنگی فلورسنت.....                                | ۷  |
| ۱-۸- روش‌های تشخیص ماده رنگی فلورسنت در نمونه‌های آب ..... | ۹  |
| فصل دوم: مروری بر ادبیات فنی موجود و تحقیقات پیشین.....    | ۱۳ |
| ۲-۱- تاریخچه‌ای از عملیات ردیابی .....                     | ۱۴ |
| ۲-۲- اثر pH بر ردیابها.....                                | ۱۶ |
| ۲-۳- اثر نور بر ردیابها .....                              | ۲۰ |
| ۲-۴- اثر دما بر ردیابها .....                              | ۲۳ |
| ۲-۵- اثر شوری بر ردیابها .....                             | ۲۶ |
| ۲-۶- اثر کلر بر ردیابها .....                              | ۲۸ |
| ۲-۷- جذب ردیابها توسط مواد رسوبی .....                     | ۳۰ |
| ۲-۸- تداخل ردیابها با یکدیگر .....                         | ۳۳ |
| ۲-۹- اثر مخلوط‌های شستشوی ذغال بر ردیاب‌های فلورسنت.....   | ۳۴ |

|    |  |
|----|--|
| ۳۵ | فصل سوم: ردیاب‌ها، مواد، سیستم‌های سنجش، واسنجی و روش انجام آزمایش‌ها    |
| ۳۶ | ۱-۱- ردیاب‌های مورد بررسی در این پژوهش                                   |
| ۴۱ | ۲-۲- مواد مورد استفاده در آنالیزها                                       |
| ۴۲ | ۳-۳- سیستم‌های سنجش آزمایشگاهی   |
| ۴۸ | ۴-۳- روش‌های بکارگرفته شده در آزمایش‌ها                                  |
| ۵۰ | ۵-۳- واسنجی سیستم‌های سنجش   |
| ۵۶ | فصل چهارم: ارزیابی ویژگی‌های برخی از ردیاب‌ها در برابر شرایط محیطی مختلف |
| ۵۷ | ۱-۱- ردیاب‌های مورد استفاده در مطالعات ردیابی کشور                       |
| ۵۷ | ۲-۲- اثر pH  |
| ۶۰ | ۳-۱- اثر تغییرات pH بر اورانین   |
| ۶۲ | ۳-۲- اثر تغییرات pH بر فلورسنس ائوزین                                    |
| ۶۲ | ۳-۳- اثر تغییرات pH بر فلورسنس رودامین B                                 |
| ۶۴ | ۳-۴- اثر تغییرات pH بر کلرید سدیم و پتاسیم                               |
| ۶۴ | ۴-۱- اثر تغییرات pH بر شدت رنگ پرمنگنات پتاسیم                           |
| ۶۶ | ۴-۲- اثر نور خورشید  |
| ۶۷ | ۴-۳-۱- اثر نور بر فلورسنس اورانین  |
| ۶۷ | ۴-۳-۲- اثر نور بر فلورسنس ائوزین   |
| ۶۸ | ۴-۳-۳- اثر نور بر فلورسنس رودامین  |
| ۷۰ | ۴-۳-۴- اثر نور بر کلرید سدیم و پتاسیم                                    |
| ۷۰ | ۴-۳-۵- اثر نور بر پرمنگنات پتاسیم  |
| ۷۱ | ۴-۴- اثر دما   |
| ۷۳ | ۴-۴-۱- اثر دما بر فلورسنس اورانین  |
| ۷۳ | ۴-۴-۲- اثر دما بر فلورسنس ائوزین   |
| ۷۴ | ۴-۴-۳- اثر دما بر فلورسنس رودامین B                                      |

#### فصل پنجم: ارزیابی ویژگی‌های برخی از ردیاب‌ها در برابر عوامل مصنوعی مختلف ..... ۱۰۱

|     |  |
|-----|--|
| ۱۰۲ | ۱-۱- اثر کلر آزاد باقیمانده                          |
| ۱۰۳ | ۱-۱-۱- اثر کلر آزاد باقیمانده بر ردیاب‌های فلورسنت   |
| ۱۰۴ | ۱-۱-۲- اثر کلر آزاد باقیمانده بر کلرید سدیم و پتاسیم |
| ۱۰۵ | ۱-۱-۳- اثر کلر آزاد باقیمانده بر پرمنگنات پتاسیم     |
| ۱۰۵ | ۲-۱- اثر آلودگی نفتی                                 |
| ۱۰۸ | ۲-۲-۱- اثر نفت بر ردیاب‌های فلورسنت                  |
| ۱۰۹ | ۲-۲-۲- اثر نفت بر کلرید سدیم و پتاسیم                |
| ۱۰۹ | ۲-۲-۳- اثر نفت بر پرمنگنات پتاسیم                    |
| ۱۱۲ | ۳-۱- پرسی تداخل ردیاب‌ها با یکدیگر                   |

|     |  |
|-----|--|
| ۱۱۲ | ۱-۳-۵- تداخل ردیاب‌های فلورسنت بر یکدیگر           |
| ۱۱۶ | ۲-۳-۵- تداخل پرمنگنات‌پتاسیم با ردیاب‌های فلورسنت. |
| ۱۱۸ | ۴-۱- اثر مخلوط‌های شستشو بر اورانین                |
| ۱۱۹ | ۴-۲- اثر مخلوط‌های شستشو بر آئوزین                 |
| ۱۲۲ | ۴-۳- اثر مخلوط‌های شستشو بر رودامینB               |
| ۱۲۳ | <b>فصل ششم: نتیجه‌گیری و پیشنهادها</b>             |
| ۱۲۴ | ۱-۶- نتیجه‌گیری                                    |
| ۱۲۷ | ۲-۶- پیشنهادها                                     |
| ۱۳۳ | <b>فهرست منابع</b>                                 |

## فهرست شکل‌ها

|   |
|---|
| شکل ۱-۱- طول موج برانگیختگی و پرتودهی اورانین ..... ۷                                       |
| شکل ۱-۲- فلوریمترهای صحرایی برای آشکار سازی ردیاب در آب سطحی و زیرزمینی ..... ۱۱            |
| شکل ۱-۳- دانه‌های ذغال فعال ..... ۱۱  |
| شکل ۱-۴- اثر pH بر فلورسنس برخی ردیابها ..... ۱۷  |
| شکل ۲-۱- طیف برانگیختگی و پرتودهی پیرانین با تغییرات pH ..... ۱۸                            |
| شکل ۲-۲- تغییرات FI رودامین WT در pH های مختلف با استفاده از چند نوع اسید ..... ۱۸          |
| شکل ۲-۳- شدت فلورسنس پیرانین در pH های مختلف ..... ۱۹                                       |
| شکل ۲-۴- زوال فلورسنس چند ردیاب مختلف در برابر نور روزانه مصنوعی ..... ۲۲                   |
| شکل ۲-۵- فروپاشی انواع رودامین در محلول آب در برابر نور روزانه مصنوعی ..... ۲۳              |
| شکل ۲-۶- وابستگی فلورسنس اورانین و رودامین B به دما ..... ۲۵                                |
| شکل ۲-۷- نمودار تصحیح دما برای تعدادی از ردیاب‌های فلورسنت ..... ۲۵                         |
| شکل ۲-۸- اثر کلرید سدیم و پتاسیم بر روی فلورسنس حاصل از رودامین WT ..... ۲۸                 |
| شکل ۲-۹- اثر کلر بر فلورسنس رودامین B و WT ..... ۲۸   |
| شکل ۲-۱۰- اثر هیپوکلرید سدیم بر روی شدت فلورسنس اورانین ..... ۲۹                            |
| شکل ۲-۱۱- اثر هیپوکلرید سدیم بر روی شدت فلورسنس سولفورودامین G ..... ۳۰                     |
| شکل ۲-۱۲- اثر مقدار رسوب بر میزان جذب رودامین B ..... ۳۲                                    |
| شکل ۲-۱۳- اثر مقدار رسوبات معلق بر درصد جذب رودامین B ..... ۳۲                              |
| شکل ۲-۱۴- درصد جذب لیسامین FF در هفت نوع رسوب مختلف ..... ۳۳                                |
| شکل ۳-۱- ساختمان مولکولی اورانین ..... ۳۷   |
| شکل ۳-۲- ساختمان مولکولی اثوزین ..... ۳۷  |
| شکل ۳-۳- ساختمان مولکولی رودامین B ..... ۳۸   |
| شکل ۳-۴- محلول‌های مادر اثوزین، رودامین B و اورانین، با غلظت ۱۰ میلی‌گرم بر لیتر ب ..... ۳۹ |
| شکل ۳-۵- محلول پرمنگنات پتاسیم از غلظت ۱۰۰۰ تا ۱۰ میلی‌گرم بر لیتر ..... ۴۰                 |
| شکل ۳-۶- اسپکتروفلوئوروفوتومتر Shimadzu RF-150۱ ..... ۴۳                                    |

|    |   |      |
|----|---|------|
| ۴۴ | شکل ۷-۳- دیاگرام شماتیک یک اسپکتروفلوئوریمتر و اجزء آن.....                                   | ۷-۳  |
| ۴۵ | شکل ۸-۳- اندازه‌گیری سیگنال به نویز اسپکتروفلوئوروفوتومتر پیش از سنجش جهت ارزیابی دستگاه..... | ۸-۳  |
| ۴۶ | شکل ۹-۳- تغییرات سیگنال به نویز دستگاه در طول مدت انجام آنالیزها.....                         | ۹-۳  |
| ۴۷ | شکل ۱۰-۳- اسپکتروفوتومتر Hach DR/۲۰۱۰.....  | ۱۰-۳ |
| ۵۱ | شکل ۱۱-۳- نمودار واسنجی اورانین.....  | ۱۱-۳ |
| ۵۱ | شکل ۱۲-۳- نمودار واسنجی اوزین.....  | ۱۲-۳ |
| ۵۱ | شکل ۱۳-۳- نمودار واسنجی رودامین B.....  | ۱۳-۳ |
| ۵۳ | شکل ۱۴-۳- نمودار واسنجی کلرید سدیم.....   | ۱۴-۳ |
| ۵۴ | شکل ۱۵-۳- نمودار واسنجی کلرید پتاسیم.....   | ۱۵-۳ |
| ۵۴ | شکل ۱۶-۳- نمودار واسنجی پرمنگنات پتاسیم با هدایت سنج.....                                     | ۱۶-۳ |
| ۵۴ | شکل ۱۷-۳- نمودار واسنجی پرمنگنات پتاسیم با اسپکتروفوتومتر.....                                | ۱۷-۳ |
| ۶۰ | شکل ۱-۴- ساختار اورانین در شرایط اسیدی و قلیایی.....  | ۱-۴  |
| ۶۳ | شکل ۲-۴- تغییرات شدت فلورسنس اورانین با pH.....   | ۲-۴  |
| ۶۳ | شکل ۳-۴- تغییرات درصد فلورسنس اولیه اورانین با pH.....  | ۳-۴  |
| ۶۳ | شکل ۴-۴- تغییرات شدت فلورسنس اوزین با pH.....   | ۴-۴  |
| ۶۳ | شکل ۴-۵- تغییرات درصد فلورسنس اولیه اوزین با pH.....  | ۴-۵  |
| ۶۳ | شکل ۴-۶- تغییرات شدت فلورسنس رودامین B با pH.....   | ۴-۶  |
| ۶۳ | شکل ۷-۴- تغییرات درصد فلورسنس اولیه رودامین B با pH.....                                      | ۷-۴  |
| ۶۵ | شکل ۸-۴- تغییرات درصد هدایت الکتریکی NaCl با pH.....  | ۸-۴  |
| ۶۵ | شکل ۹-۴- تغییرات درصد هدایت الکتریکی KCl با pH.....   | ۹-۴  |
| ۶۵ | شکل ۱۰-۴- تغییرات شدت رنگ KMnO <sub>4</sub> با pH.....  | ۱۰-۴ |
| ۶۵ | شکل ۱۱-۴- تغییرات درصد شدت رنگ KMnO <sub>4</sub> با pH.....                                   | ۱۱-۴ |
| ۶۹ | شکل ۱۲-۴- اثر نور بر فلورسنس اورانین.....   | ۱۲-۴ |
| ۶۹ | شکل ۱۳-۴- اثر نور بر درصد فلورسنس اولیه اورانین.....  | ۱۳-۴ |
| ۶۹ | شکل ۱۴-۴- اثر نور بر فلورسنس اوزین.....   | ۱۴-۴ |
| ۶۹ | شکل ۱۵-۴- اثر نور بر درصد فلورسنس اولیه اوزین.....  | ۱۵-۴ |

|    |  |
|----|--|
| ۶۹ | شکل ۱۶-۴- اثر نور بر فلورسنس رودامین B.....                                |
| ۶۹ | شکل ۱۷-۴- اثر نور بر درصد فلورسنس اولیه رودامین B.....                     |
| ۷۲ | شکل ۱۸-۴- اثر نور بر هدایت الکتریکی NaCl.....                              |
| ۷۲ | شکل ۱۹-۴- اثر نور بر درصد هدایت الکتریکی اولیه NaCl.....                   |
| ۷۲ | شکل ۲۰-۴- اثر نور بر هدایت الکتریکی KCl.....                               |
| ۷۲ | شکل ۲۱-۴- اثر نور بر درصد هدایت الکتریکی اولیه KCl.....                    |
| ۷۲ | شکل ۲۲-۴- اثر نور بر شدت رنگ KMnO <sub>4</sub> .....                       |
| ۷۲ | شکل ۲۳-۴- اثر نور بر درصد شدت رنگ اولیه KMnO <sub>4</sub> .....            |
| ۷۳ | شکل ۲۴-۴- تغییر رنگ پرمنگنات پتاسیم در اثر تابش نور خورشید.....            |
| ۷۵ | شکل ۲۵-۴- اثر دما بر فلورسنس اورانین.....                                  |
| ۷۵ | شکل ۲۶-۴- اثر دما بر درصد فلورسنس اولیه اورانین.....                       |
| ۷۵ | شکل ۲۷-۴- اثر دما بر فلورسنس ائوزین .....                                  |
| ۷۵ | شکل ۲۸-۴- اثر دما بر درصد فلورسنس اولیه ائوزین .....                       |
| ۷۶ | شکل ۲۹-۴- اثر دما بر فلورسنس رودامین B.....                                |
| ۷۵ | شکل ۳۰-۴- اثر دما بر درصد فلورسنس اولیه رودامین B.....                     |
| ۸۱ | شکل ۳۱-۴- اثر دما بر هدایت الکتریکی NaCl.....                              |
| ۸۱ | شکل ۳۲-۴- اثر دما بر درصد هدایت الکتریکی اولیه NaCl.....                   |
| ۸۱ | شکل ۳۳-۴- اثر دما بر هدایت الکتریکی KCl.....                               |
| ۸۱ | شکل ۳۴-۴- اثر دما بر درصد هدایت الکتریکی اولیه KCl.....                    |
| ۸۲ | شکل ۳۵-۴- اثر دما بر شدت رنگ KMnO <sub>4</sub> .....                       |
| ۸۱ | شکل ۳۶-۴- اثر دما بر درصد شدت رنگ اولیه KMnO <sub>4</sub> .....            |
| ۸۲ | شکل ۳۷-۴- اثر شوری ناشی از دو نوع نمک بر فلورسنس اورانین .....             |
| ۸۲ | شکل ۳۸-۴- اثر شوری ناشی از دو نوع نمک بر فلورسنس ائوزین .....              |
| ۸۲ | شکل ۳۹-۴- اثر شوری ناشی از دو نوع نمک بر فلورسنس رودامین B.....            |
| ۸۳ | شکل ۴۰-۴- اثر شوری ناشی از دو نوع نمک بر شدت رنگ KMnO <sub>4</sub> .....   |
| ۸۶ | شکل ۴۱-۴- مدل، مستون، رسوبی، به منظور اندامگیری مقاومت، دیابها در برای حذب |

|    |   |          |
|----|---|----------|
| ۸۶ | - دانه بندی مربوط به رسوبات تیپ A، محتوی حدود ۰/۵ درصد رس.....                  | شکل ۴-۴  |
| ۸۷ | - دانه بندی مربوط به رسوبات تیپ B، محتوی حدود ۲/۵ درصد رس.....                  | شکل ۴-۴  |
| ۸۷ | - دانه بندی مربوط به رسوبات تیپ C، محتوی حدود ۵ درصد رس .....                   | شکل ۴-۴  |
| ۹۲ | - نمودار غلظت اورانین عبوری از رسوب A.....                                      | شکل ۴۵-۴ |
| ۹۱ | - نمودار غلظت اورانین عبوری از رسوب B .....                                     | شکل ۴۶-۴ |
| ۹۲ | - نمودار غلظت اورانین عبوری از رسوب C.....                                      | شکل ۴۷-۴ |
| ۹۲ | - نمودار غلظت ائوزین عبوری از رسوب A .....                                      | شکل ۴۸-۴ |
| ۹۲ | - نمودار غلظت ائوزین عبوری از رسوب B .....                                      | شکل ۴۹-۴ |
| ۹۲ | - نمودار غلظت ائوزین عبوری از رسوب C.....                                       | شکل ۵۰-۴ |
| ۹۳ | - نمودار غلظت رودامین B عبوری از رسوب A.....                                    | شکل ۵۱-۴ |
| ۹۲ | - نمودار غلظت رودامین B عبوری از رسوب B .....                                   | شکل ۵۲-۴ |
| ۹۳ | - نمودار غلظت رودامین B عبوری از رسوب C .....                                   | شکل ۵۳-۴ |
| ۹۳ | - نمودار غلظت NaCl عبوری از رسوب A .....  | شکل ۵۴-۴ |
| ۹۳ | - نمودار غلظت NaCl عبوری از رسوب B .....  | شکل ۵۵-۴ |
| ۹۳ | - نمودار غلظت NaCl عبوری از رسوب C .....  | شکل ۵۶-۴ |
| ۹۴ | - نمودار غلظت KCl عبوری از رسوب A .....   | شکل ۵۷-۴ |
| ۹۴ | - نمودار غلظت KCl عبوری از رسوب B .....   | شکل ۵۸-۴ |
| ۹۴ | - نمودار غلظت KCl عبوری از رسوب C .....   | شکل ۵۹-۴ |
| ۹۴ | - نمودار غلظت KMnO <sub>4</sub> عبوری از رسوب A .....                           | شکل ۶۰-۴ |
| ۹۴ | - نمودار غلظت KMnO <sub>4</sub> عبوری از رسوب B .....                           | شکل ۶۱-۴ |
| ۹۴ | - نمودار غلظت KMnO <sub>4</sub> عبوری از رسوب C .....                           | شکل ۶۲-۴ |
| ۹۵ | - تغییرات درصد جذب اورانین با غلظت‌های اولیه متفاوت در سه نوع دانه بندی .....   | شکل ۶۳-۴ |
| ۹۵ | - تغییرات درصد جذب ائوزین با غلظت‌های اولیه متفاوت در سه نوع دانه بندی .....    | شکل ۶۴-۴ |
| ۹۵ | - تغییرات درصد جذب رودامین B با غلظت‌های اولیه متفاوت در سه نوع دانه بندی ..... | شکل ۶۵-۴ |
| ۹۵ | - تغییرات درصد جذب NaCl با غلظت‌های اولیه متفاوت در سه نوع دانه بندی .....      | شکل ۶۶-۴ |
| ۹۵ | - تغییرات درصد جذب KCl با غلظت‌های اولیه متفاوت در سه نوع دانه بندی .....       | شکل ۶۷-۴ |

|  |     |
|--|-----|
| ..... شکل ۶۸-۴- تغییرات درصد جذب $KMnO_4$ با غلظت‌های اولیه متفاوت در سه نوع دانه بندی             | ۹۵  |
| ..... شکل ۶۹-۴- مقایسه حداقل درصد جذب ردیاب‌ها   | ۹۶  |
| ..... شکل ۷۰-۴- تغییرات فلورسنس اورانین در کوتاه مدت   | ۹۸  |
| ..... شکل ۷۱-۴- تغییرات فلورسنس اورانین در طولانی مدت  | ۹۸  |
| ..... شکل ۷۲-۴- تغییرات فلورسنس ائوزین در کوتاه مدت  | ۹۸  |
| ..... شکل ۷۳-۴- تغییرات فلورسنس ائوزین در طولانی مدت   | ۹۸  |
| ..... شکل ۷۴-۴- تغییرات فلورسنس رودامین B در کوتاه مدت   | ۹۸  |
| ..... شکل ۷۵-۴- تغییرات فلورسنس رودامین B در مدت   | ۹۸  |
| ..... شکل ۷۶-۴- هدایت الکتریکی $NaCl$ در کوتاه مدت   | ۹۹  |
| ..... شکل ۷۷-۴- هدایت الکتریکی $NaCl$ در طولانی مدت  | ۹۹  |
| ..... شکل ۷۸-۴- هدایت الکتریکی $KCl$ در کوتاه مدت  | ۹۹  |
| ..... شکل ۷۹-۴- هدایت الکتریکی $KCl$ در طولانی مدت   | ۹۹  |
| ..... شکل ۸۰-۴- شدت رنگ محلول $KMnO_4$ در کوتاه مدت  | ۱۰۰ |
| ..... شکل ۸۱-۴- شدت رنگ محلول $KMnO_4$ در طولانی مدت   | ۹۹  |
| ..... شکل ۸۲-۱- اثر کلر آزاد باقی مانده با غلظت ۱ ppm بر فلورسنس اورانین                           | ۱۰۶ |
| ..... شکل ۸۲-۲- اثر کلر آزاد باقی مانده با غلظت ۱ ppm بر درصد فلورسنس اولیه اورانین                | ۱۰۶ |
| ..... شکل ۸۲-۳- اثر کلر آزاد باقی مانده با غلظت ۱ ppm بر فلورسنس ائوزین                            | ۱۰۶ |
| ..... شکل ۸۲-۴- اثر کلر آزاد باقی مانده با غلظت ۱ ppm بر درصد فلورسنس اولیه ائوزین                 | ۱۰۶ |
| ..... شکل ۸۲-۵- اثر کلر آزاد باقی مانده با غلظت ۱ ppm بر فلورسنس رودامین B                         | ۱۰۶ |
| ..... شکل ۸۲-۶- اثر کلر آزاد باقی مانده با غلظت ۱ ppm بر درصد فلورسنس اولیه رودامین B              | ۱۰۶ |
| ..... شکل ۸۲-۷- اثر کلر آزاد باقی مانده با غلظت ۱ ppm بر هدایت الکتریکی $NaCl$                     | ۱۰۷ |
| ..... شکل ۸۲-۸- اثر کلر آزاد باقی مانده با غلظت ۱ ppm بر درصد هدایت الکتریکی اولیه $NaCl$          | ۱۰۷ |
| ..... شکل ۸۲-۹- اثر کلر آزاد باقی مانده با غلظت ۱ ppm بر هدایت الکتریکی $KCl$                      | ۱۰۷ |
| ..... شکل ۸۲-۱۰- اثر کلر آزاد باقی مانده با غلظت ۱ ppm بر درصد هدایت الکتریکی اولیه $KCl$          | ۱۰۷ |
| ..... شکل ۸۲-۱۱- اثر کلر آزاد باقی مانده با غلظت ۱ ppm بر شدت رنگ محلول $KMnO_4$ در کوتاه مدت      | ۱۰۷ |
| ..... شکل ۸۲-۱۲- اثر کلر آزاد باقی مانده با غلظت ۱ ppm بر درصد شدت رنگ اولیه $KMnO_4$ در کوتاه مدت | ۱۰۷ |

|     |  |
|-----|--|
| ۱۰۸ | - شکل ۱۳-۵ - اثر کلر آزاد باقی مانده با غلظت ppm ۱ بر شدت رنگ محلول KMnO <sub>4</sub> در دراز مدت .....      |
| ۱۰۸ | - شکل ۱۴-۵ - اثر کلر آزاد باقی مانده با غلظت ppm ۱ بر درصد شدت رنگ اولیه KMnO <sub>4</sub> در دراز مدت ..... |
| ۱۱۰ | - شکل ۱۵-۵ - اثر نفت بر فلورسنس اورانین .....  |
| ۱۱۰ | - شکل ۱۶-۵ - اثر نفت بر درصد فلورسنس اولیه اورانین .....   |
| ۱۱۰ | - شکل ۱۷-۵ - اثر نفت بر فلورسنس ائوزین .....   |
| ۱۱۰ | - شکل ۱۸-۵ - اثر نفت بر درصد فلورسنس اولیه اورانین .....   |
| ۱۱۰ | - شکل ۱۹-۵ - اثر نفت بر فلورسنس رودامین B .....  |
| ۱۱۰ | - شکل ۲۰-۵ - اثر نفت بر درصد فلورسنس اولیه اورانین .....   |
| ۱۱۱ | - شکل ۲۱-۵ - اثر نفت بر هدایت الکتریکی NaCl .....  |
| ۱۱۱ | - شکل ۲۲-۵ - اثر نفت بر درصد هدایت الکتریکی اولیه NaCl .....   |
| ۱۱۱ | - شکل ۲۳-۵ - اثر نفت بر هدایت الکتریکی KCl .....   |
| ۱۱۱ | - شکل ۲۴-۵ - اثر نفت بر درصد هدایت الکتریکی اولیه KCl .....  |
| ۱۱۱ | - شکل ۲۵-۵ - اثر نفت بر شدت رنگ محلول KMnO <sub>4</sub> .....  |
| ۱۱۱ | - شکل ۲۶-۵ - اثر نفت بر شدت رنگ محلول KMnO <sub>4</sub> .....  |
| ۱۱۴ | - شکل ۲۷-۵ - نمودار برانگیختگی و پرتودهی اورانین .....   |
| ۱۱۴ | - شکل ۲۸-۵ - نمودار برانگیختگی و پرتودهی ائوزین .....  |
| ۱۱۴ | - شکل ۲۹-۵ - نمودار پرتودهی و برانگیختگی رودامین B .....   |
| ۱۱۴ | - شکل ۳۰-۵ - نمودار تداخل پرتودهی اورانین و ائوزین .....   |
| ۱۱۴ | - شکل ۳۱-۵ - حذف تداخل ائوزین از اورانین .....   |
| ۱۱۴ | - شکل ۳۲-۵ - حذف تداخل اورانین از ائوزین .....   |
| ۱۱۵ | - شکل ۳۳-۵ - نمودار تداخل اورانین و رودامین B .....  |
| ۱۱۶ | - شکل ۳۴-۵ - نمودار تداخل ائوزین و رودامین B .....   |
| ۱۱۶ | - شکل ۳۵-۵ - حذف تداخل پیک پرتودهی ائوزین از پیک پرتودهی رودامین B .....                                     |
| ۱۱۷ | - شکل ۳۶-۵ - تغییرات شدت فلورسنس اورانین در اثر تداخل با پرمنگنات پتاسیم .....                               |
| ۱۱۸ | - شکل ۳۷-۵ - تغییرات شدت فلورسنس ائوزین در اثر تداخل با پرمنگنات پتاسیم .....                                |
| ۱۱۸ | - شکل ۳۸-۵ - تغییرات شدت فلورسنس رودامین B در اثر تداخل با پرمنگنات پتاسیم .....                             |

- شکل ۳۹-۵- پیک برانگیختگی و پرتودهی اورانین در شرایط اولیه ..... ۱۲۰
- شکل ۴۰-۵- پیک پرتودهی اورانین پس از مخلوط شدن با مخلوط شستشوی A ..... ۱۲۰
- شکل ۴۱-۵- پیک پرتودهی اورانین پس از مخلوط شدن با مخلوط شستشوی B ..... ۱۲۱
- شکل ۴۲-۵- پیک برانگیختگی و پرتودهی اوزین در شرایط اولیه ..... ۱۲۰
- شکل ۴۳-۵- پیک پرتودهی اوزین پس از مخلوط شدن با مخلوط شستشوی A ..... ۱۲۱
- شکل ۴۴-۵- پیک پرتودهی اوزین پس از مخلوط شدن با مخلوط شستشوی B ..... ۱۲۰
- شکل ۴۵-۵- پیک برانگیختگی و پرتودهی رودامین B در شرایط اولیه ..... ۱۲۲
- شکل ۴۶-۵- پیک پرتودهی رودامین B پس از مخلوط شدن با مخلوط شستشوی A و B ..... ۱۲۲

## فهرست جداول‌ها:

|  |     |
|--|-----|
| جدول ۱-۱- گزیده‌ای از ویژگی‌های برخی ردیاب‌ها در شرایط مختلف                                     | ۸   |
| جدول ۲-۱- محدوده تشخیص تعدادی از مواد رنگی فلورسنت در حلال آب                                    | ۱۰  |
| جدول ۲-۲- ضریب واپاشی ردیاب‌های مختلف در برابر نور   | ۲۰  |
| جدول ۲-۳- ثابت دمایی برخی از ردیاب‌ها  | ۲۶  |
| جدول ۲-۴- درصد فلورسنس در آب شور   | ۲۷  |
| جدول ۲-۵- تغییرات شدت فلورسنس سولفورودامین G با گذشت زمان  | ۳۰  |
| جدول ۲-۶- واسنجی کلرید سدیم و کلرید پتاسیم   | ۵۲  |
| جدول ۲-۷- واسنجی پرمنگنات پتاسیم با هدایت سنج  | ۵۳  |
| جدول ۲-۸- واسنجی پرمنگنات پتاسیم با اسپکتروفتومتر  | ۵۴  |
| جدول ۲-۹- معادلات نمودارهای واسنجی ردیاب‌های مورد بررسی  | ۵۴  |
| جدول ۲-۱۰- ردیاب‌های مورد استفاده در برخی از عملیات ردیابی در کشور در ۲۰ سال گذشته               | ۵۸  |
| جدول ۲-۱۱- آنالیز هزینه ردیاب‌های مورد نظر در سال ۱۳۸۶   | ۵۹  |
| جدول ۲-۱۲- تغییرات ویژگی ردیاب‌ها در pH های مختلف  | ۶۶  |
| جدول ۲-۱۳- درصد جذب ردیاب‌ها با غلظت‌های اولیه متفاوت در سه نوع دانه بندی به روش ستون رسوی       | ۹۶  |
| جدول ۲-۱۴- بررسی تداخل ردیاب‌ها به منظور انتخاب ردیاب‌های مناسب برای استفاده همزمان از چند ردیاب | ۱۳۱ |
| جدول ۲-۱۵- معرفی محیط‌های مناسب و نامناسب ردیاب‌ها   | ۱۳۱ |
| جدول ۲-۱۶- کارایی ردیاب‌ها در شرایط محیطی و مصنوعی مختلف   | ۱۳۲ |

## فهرست علائم و نشانه‌ها:

|              |                        |                 |
|--------------|------------------------|-----------------|
| <b>FI</b>    | Fluorescence Intensity | شدت فلورسنس     |
| <b>Ex.</b>   | Excitation             | برانگیختگی      |
| <b>Em.</b>   | Emission               | پرتودهی         |
| <b>N</b>     | Normality              | نرمالیته        |
| <b>M</b>     | Molarity               | مولاریته        |
| <b>T</b>     | Temperature            | دما             |
| <b>t</b>     | Time                   | زمان            |
| <b>ppb</b>   | Part per billion       | قسمت در بیلیون  |
| <b>ppm</b>   | Part per million       | قسمت در میلیون  |
| <b>°C</b>    | Degree of Centigrade   | درجه سانتی‌گراد |
| <b>Conc.</b> | Concentration          | غلظت            |

فصل اول

مقدمه

## ۱-۱- بیان مسئله و اهداف مطالعه

عملیات ردیابی یکی از دقیق‌ترین و مطمئن‌ترین روش‌های موجود در شاخه هیدروژئولوژی و از متداول‌ترین روش‌های کاربردی برای شناخت خصوصیات آبخوان‌ها و به طور کلی منابع آب می‌باشد. یکی از مهمترین مولفه‌های یک پروژه ردیابی، انتخاب ردیاب مناسب است که این امر در بسیاری از موارد نقشی حیاتی در موفقیت آزمایش ردیابی دارد. وضعیت‌های هیدروژئولوژیکی گوناگون، شرایط مختلف فیزیکی، شیمیایی و بیولوژیکی آب‌ها و سرانجام مخاطرات زیست محیطی از مؤثرترین عوامل در گزینش یک ردیاب می‌باشند که بی‌توجهی به هریک از آن‌ها موجب شکست و یا عدم موفقیت کامل پروژه و یا متأثر شدن آن و یا تهدید جدی برای محیط زیست بوده است. پیچیدگی‌های سیستم طبیعی مورد مطالعه به همراه عوامل مختلفی که ردیاب‌ها را تحت تاثیر خود قرار می‌دهند باعث شده انتخاب یک ردیاب مناسب از اهمیت ویژه‌ای برخوردار شود. در این پژوهش تلاش بر آن است تا با توجه به ویژگی‌های محیط جریان و خصوصیات ردیاب‌ها معیارهای مناسبی برای انتخاب ردیاب ارائه شود. ردیاب‌های زیادی در مطالعات منابع آب بکار گرفته شده‌اند اما نمی‌توان همیشه یک یا چند ردیاب را به طور مطلق به عنوان ردیاب مناسب معرفی کرد (Laughlin ۱۹۸۲). برای مثال ردیاب‌هایی که در محیط ریز دانه توسط محققین توصیه شده‌اند عبارتند از پیرانین (Reynolds ۱۹۶۶) و لیسامین (Smettem and Trudgill ۱۹۸۳) یک ردیاب مناسب برای یک هدف خاص، ممکن است برای رسیدن به هدف دیگر مناسب نباشد (به عنوان مثال استفاده از رودامین B به جای اورانین در مناطقی که منطقه نمونه‌برداری از محل ظهور چشمeh فاصله داشته باشد و ردیاب در معرض نور قرار بگیرد). با انتخاب ردیاب مناسب قضاوت بهتری نسبت به نتایج صورت خواهد گرفت. هم چنین می‌توان هزینه عملیات را کاهش داد. در این پژوهش شش ردیاب که در کشور ما معمولاً در عملیات ردیابی مورد استفاده قرار می‌گیرند، شامل اورانین، اوزین، رودامین B (از ردیاب‌های فلورسنت) پرمنگنات پتابسیم (ردیاب رنگی غیر فلورسنت)، کلرید سدیم و کلرید پتابسیم (از ردیاب‌های شیمیایی) انتخاب شد. این

رديابها در شرایط متفاوت مورد بررسی قرار گرفته و رفتار هر کدام در برابر عوامل محیطی عمده‌ای که ممکن است در طول يك عملیات رديابی با آن روبرو شوند همچون، pH، دما، شوری، تابش نور خورشید و جذب در محیط متخلخل و نيز عوامل مصنوعی همچون كلر آزاد باقیمانده (ناشی از تصفیه آب)، آلودگی‌های نفتی و مخلوط‌های شستشوی ذغال فعال به طور جداگانه با يكديگر مقایسه شده، محدودیت‌ها و برتری‌های هر کدام از اين رديابها در شرایط گوناگون محیط طبیعی و عوامل مصنوعی، ارائه شده است.

## ۱-۲- روش‌های رديابی آب‌های زيرزميني

آزمون رديابی يك روش صحرائي برای تعیین پارامترهای هيدروژئولوژيکی منابع آب زيرزميني است (Weight and Sonderegger ۲۰۰۱). روش رديابی به عنوان يكی از قابل اطمینان‌ترین روش‌های موجود در هيدرولوژی آب‌های سطحی و زيرزميني هم اکنون در ارزیابی ویژگی‌های هيدرودیناميکی محیط جريان در سطح جهانی مورد توجه می‌باشد. يكی از امتیازات اين روش که منجر به گسترش کاربرد آن به ویژه در هيدرولوژی آب‌های زيرزميني شده است همراهی ردياب با مولکول‌های آب در طول مسیر جريان می‌باشد به گونه‌ای که بر هيدروليک جريان تأثير نگذاشته و اطلاعات بلاواسطه‌ای از محیط جريان در اختيار قرار می‌دهد. روش‌های رديابی را می‌توان به دو گروه عمدۀ رديابی طبیعی<sup>۱</sup> و رديابی مصنوعی<sup>۲</sup> تقسيم نمود. در روش‌های رديابی طبیعی (يا رديابی محیطي) از ردياب‌هایی که به طور طبیعی در ساختمان مولکول آب و يا همراه با آن می‌باشند استفاده می‌شود. در حالی که در روش رديابی مصنوعی، ردياب در نقطه‌ای تزریق شده و پس از ورود به آبخوان و همراهی با جريان آب زيرزميني در نقاط ديگري در پايین دست نمونه برداری می‌شود.

---

۱- Environmental

۲- Artificial

### ۱-۳- اهداف عملیات ردیابی

از جمله مهمترین اهداف عملیات ردیابی می‌توان موارد زیر را نام برد:

تعیین منشاء آب (Buzády et al. ۲۰۰۷)، ارتباط هیدرولیکی آبخوان‌ها (Molares et al. ۲۰۰۶) و

یا حوضه‌های آبریز (Einsiedl ۲۰۰۵)، تعیین گستره حوضه آبگیر چشمه‌ها، تعیین مناطق تغذیه و

تخلیه آبخوان، ارتباط هیدرولیکی بین جریان‌های آب‌های سطحی و زیرزمینی (Seiler et al. ۱۹۸۹)،

تعیین نوع تغذیه آبخوان (Charideh and Rhman ۲۰۰۷)، تعیین گستره آبخوان، تعیین جهت و مسیر

جریان آب، سرعت جریان (Ammann and Koch ۲۰۰۳)، نوع جریان (Weiler and Flühler ۲۰۰۳)

تعیین نقش عوامل تکتونیکی در هدایت جریان، تعیین منشاء آلودگی (Jeffrey and Berian ۲۰۰۱)

تشخیص درجه کارستی شدن و هم چنین تشخیص وجود غار و فضاهای فراخ در مسیر جریان آب

زیرزمینی (نشریه الف- ۲۵۷ وزارت نیرو ۱۳۸۲).

### ۱-۴- تعریف و ویژگی‌های کلی ردیاب‌ها

ردیاب‌ها مواد و یا نوعی از انرژی می‌باشند که به منظور تعیین توزیع زمانی و مکانی آب و مواد آلاینده آن در مطالعات منابع آب بکار می‌روند. موادی که به عنوان ردیاب مورد استفاده قرار می‌گیرند ویژگی‌هایی دارند که مهمترین آن‌ها مشخص بودن رفتار فیزیکی و شیمیایی آن‌ها در آب‌های زیرزمینی می‌باشد. در استفاده از ردیاب فرض بر این است که با همان سرعت و جهتی که آب حرکت می‌کند حرکت کرده و با محیط اطرافش واکنش نمی‌دهد. هم چنین سمی نبودن و با تکنولوژی ساده قابل تشخیص بودن نیز از ویژگی‌های ردیاب مناسب می‌باشد. به علاوه ردیاب باید نسبتاً ارزان بوده و در دسترس باشد. تا جای ممکن در آب طبیعی وجود نداشته و غلظت زمینه‌ای<sup>۱</sup> آن در آب و محیط

---

۱- Background level

مورد مطالعه کم باشد. هم چنین ردیاب نباید شرایط هیدرولیکی و سایر پارامترهای محیط را تغییر دهد (Davis et al. ۱۹۸۵). ردیابی که دارای تمام ویژگی‌های فوق باشد به طور طبیعی یافت نمی‌شود.

## ۱-۵- انواع ردیاب‌ها

ردیاب‌های متداول در مطالعات ردیابی (نشریه ۲۶-الف وزارت نیرو، ۱۳۸۲):

### الف- ردیاب‌های طبیعی (محیطی)

الف-۱- ایزوتوب‌های محیطی پایدار مانند اکسیژن ۱۸، دوتربیوم، کربن ۱۳ و ...

الف-۲- ایزوتوب‌های محیطی پرتوزا (ناپایدار) مانند کربن ۱۴، تریتیوم و ...

الف-۳- ردیاب‌های میکرو ارگانیک مانند باکتری‌ها و ویروس‌ها

الف-۴- یون‌های موجود در آب (شیمی آب)

الف-۵- گازهای کمیاب موجود در آب مانند کربن پیتون، هلیوم و آرگون

الف-۶- دمای آب

الف-۷- پالس‌ها

### ب- ردیاب‌های مصنوعی (افزودنی)

ب-۱- ردیاب‌های رنگی

ب-۱-۱- ردیاب‌های رنگی فلورسنت مانند اورانین، ائوزین و رودامین B

ب-۱-۲- ردیاب‌های رنگی غیر فلورسنت مانند پرمنگنات پتابسیم، متیلن آبی و اریتروزین

ب-۲- ردیاب‌های ایزوتوبی پرتوزا مانند: طلا (Au<sub>۱۹۸</sub>)، کرم (Cr<sub>۵۱</sub>) و تریتیوم (H<sub>۳</sub>)

ب-۳- ایزوتوب‌های قابل فعال شدن مانند: برم (Br<sub>۸۲</sub>)، لانتانیوم (La<sub>۱۳۹</sub>) و ید (I<sub>۱۳۱</sub>)

ب-۴- ردیاب‌های جامد (نامحلول) مانند: باکتری‌ها، مخمرها، ویروس‌ها و بیوکلئیدها<sup>۱</sup>

ب-۵- نمک‌های معدنی مانند: نمک خوارکی ( $\text{NaCl}$ ) و کلرور کلسیم ( $\text{CaCl}_2$ )

ب-۶- پاک کننده‌ها<sup>۲</sup>

ب-۷- هالوکربن‌ها

ب-۸- کلروفلوروکربن (CFC)

## ۱-۶- عوامل تعیین کننده انتخاب یک ردیاب

با توجه به تنوع ردیاب‌ها، یک انتخاب مناسب با در نظر گرفتن موارد زیر صورت می‌گیرد:

هدف از مطالعه، ابعاد مطالعه، خصوصیات هیدروژئولوژیکی منطقه، امکان تشخیص سریع ردیاب با غلظت کم در آب و در محل، قیمت ردیاب، دسترسی آسان و عدم پیچیدگی وسایل مورد نیاز برای تشخیص ردیاب، غلظت زمینه ردیاب در آب، کمیت آب زیرزمینی، سهولت اتحلال در آب، عدم رسوب ردیاب در محیط آبخوان و سهولت انجام عملیات صحرایی و آزمایشگاهی (نشریه الف-۲۶۳ وزارت نیرو ردياب در محیط آبخوان و سهولت انجام عملیات صحرایی و آزمایشگاهی (نشریه الف-۲۶۳ وزارت نیرو .)۱۳۸۲

با توجه به کاربرد گسترده مواد فلورسنت در ردیابی منابع آب در ادامه به ذکر جزئیات بیشتری در مورد آن‌ها پرداخته می‌شود. برای به دست آوردن اطلاعات بیشتر در مورد سایر ردیاب‌ها به کتاب ردیاب‌های آب زیرزمینی<sup>۳</sup> و هم چنین تکنیک‌های ردیابی در آب‌های زیرزمینی<sup>۴</sup> مراجعه شود.

---

۱- Bio-colloids

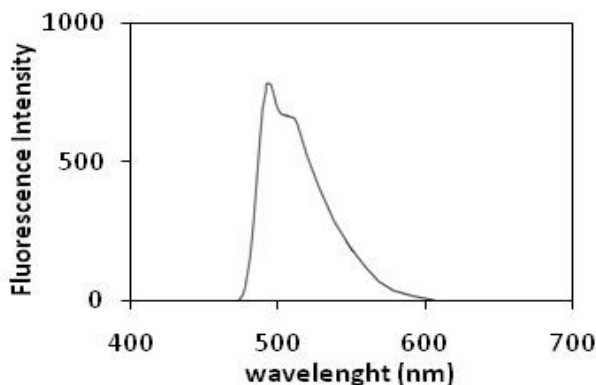
۲- Detergents

۳- Groundwater tracers, Davis et al. ۱۹۸۰

۴- Tracing technique in geohydrology, Käss ۱۹۹۸

## ۷-۱- مواد رنگی فلورسنت

مواد فلورسنت موادی هستند که برخورد نور به آن‌ها باعث افزایش تراز الکترون‌ها و ذخیره انرژی آن‌ها شده و پس از بازگشت الکترون‌ها به سطح تراز اولیه، انرژی به صورت نور گسیل شود. در صورتی انتشار این نور را فلورسنس می‌نامند که نیمه عمر آن حداقل یک نانو ثانیه باشد (Benischke ۲۰۰۱). شدت فلورسنس در حقیقت شدت نور ساطع شده در اثر این پدیده است که با غلظت ماده فلورسنت رابطه مستقیم دارد. هر ماده فلورسنت در یک طول موج خاص دارای حداکثر برانگیختگی است که این طول موج برای آن ماده ثابت است. هنگامی که ماده فلورسنت در این طول موج برانگیخته شود حداکثر پرتودهی را خواهد داشت. با توجه به این طول موج‌ها ماده فلورسنت شناسایی می‌شود. برای مثال طول موج برانگیختگی و پرتودهی اورانین به ترتیب ۴۹۰ و ۵۱۲ نانومتر می‌باشد (شکل ۱-۱).



شکل ۱-۱ - طول موج برانگیختگی و پرتودهی اورانین

طیفسنجی فلورسنس، به عنوان بخش کوچکی از طیفسنجی نوری، خواص موادی را که تحت شرایط فیزیکی و یا در اثر واکنش‌های شیمیایی از خود نور منتشر می‌نمایند را بررسی می‌کند. از اوخر سال ۱۸۰۰ تا کنون مواد رنگی مختلفی برای رדיابی آب‌های سطحی و آب‌های زیرزمینی بکار رفته‌اند. کاربردهای گسترده مواد رنگی فلورسنت در رדיابی آب‌ها حدوداً از سال ۱۹۶۰ شروع شد.

از جمله مهمترین عواملی که ردیاب‌های فلورسنت را از سایر ردیاب‌ها متمایز می‌کند می‌توان به موارد زیر اشاره نمود (نشریه ۲۵۷-الف وزارت نیرو، ۱۳۸۲):

- در مقایسه با نمک‌ها، در غلظت‌های کمتر از میکروگرم بر لیتر قابل اندازه‌گیری هستند.
  - استفاده از دستگاه اندازه‌گیری سریع و آسان بوده و نیاز به آماده‌سازی نمونه ندارد.
  - در برخی موارد خصوصیات شیمیایی رنگ‌ها بهتر از نمک‌ها می‌باشد زیرا قسمت کاتیونی نمک‌ها در رسوبات رسی تحت تاثیر عمل تبادل یونی قرار می‌گیرد.
- برخی از ویژگی‌های ردیاب‌های فلورسنت در جدول ۱-۱ ارائه شده است.

جدول ۱-۱- گزیده‌های از ویژگی‌های برخی ردیاب‌ها در شرایط مختلف (Ford and Williams ۱۹۹۲)

| نام ردیاب                          | اورانین                   | پیرانین                   | ائوزین               | رودامین B | رودامین WT |
|------------------------------------|---------------------------|---------------------------|----------------------|-----------|------------|
| بیشترین طول موج<br>برانگیختگی (nm) | ۴۹۲                       | ۴۰۵ و ۴۶۵                 | ۵۱۵                  | ۵۵۵       | ۵۵۴        |
| بیشترین طول موج<br>پرتودهی (nm)    | ۵۱۳                       | ۵۱۲                       | ۵۳۵                  | ۵۸۲       | ۵۸۰        |
| اثر pH بر شدت<br>فلورسنس           | در محیط اسیدی<br>بدون اثر | در محیط اسیدی<br>بدون اثر | بدون اثر             | -         | -          |
| کاهش در اثر جذب                    | کم                        | کم                        | خیلی زیاد            | کم        | بدون اثر   |
| تجزیه فتوشیمیایی                   | زیاد                      | خیلی زیاد                 | -                    | کم        | کم         |
| حساسیت به دما                      | کم و معکوس                | کم و معکوس                | خیلی زیاد و<br>معکوس | -         | -          |

## ۱-۸- روش‌های تشخیص ماده رنگی فلورسنت در نمونه‌های آب

روش‌های مختلفی برای تشخیص ماده فلورسنت وجود دارد که در ادامه به آن‌ها اشاره می‌شود:

### الف- تشخیص بدون وسیله یا با لامپ UV

مواد رنگی در غلظت بالا با چشم غیر مسلح نیز قابل تشخیص می‌باشند. اگر نگاه به طرف یک زمینه سیاه باشد، به این ترتیب که نمونه روی صفحه سیاه رنگ قرار بگیرد تشخیص راحت‌تر و در غلظت کمتر نیز امکان‌پذیر می‌گردد. روش دقیق‌تر تابش نور فرابنفش با یک لامپ فرابنفش می‌باشد.

### ب- تشخیص به وسیله یک فلوریمتر فیلتری

سنجهش ردیاب‌ها در آب غالباً با استفاده از فلوریمترهای فیلتری<sup>۱</sup> انجام می‌شود. این دستگاه دارای کاربردی ساده بوده و با یک ژنراتور قابل حمل در محل نمونه برداری بکار گرفته می‌شود. در این فلوریمترها انرژی برانگیزنده توسط منبع نور قابل تعویضی ایجاد می‌شود که معمولاً یک لامپ جیوه‌ای فشار پایین با یا بدون حفاظ فسفری می‌باشد. پرتو نور قبل از اینکه وارد سلول نمونه شود از درون یک فیلتر اولیه<sup>۲</sup> عبور می‌کند. فیلتر اولیه تحت زاویه قائم نسبت به مسیر پرتو نور اولیه قرار دارد. شدت نور عبوری از فیلتر دوم<sup>۳</sup> با یک تقویت کننده نوری<sup>۴</sup> اندازه‌گیری و با یک پرتو نور استاندارد مقایسه می‌گردد. حساسیت دستگاه با تغییر مقدار انرژی برانگیزنده کنترل می‌گردد. نور لامپ برانگیزنده از فیلتری که نور عبوری از آن در نزدیکی جذب ماکریم رنگ است عبور کرده و ملکول‌های رنگ موجود در محلول را برمی‌انگیزد و سپس توسط فیلتر ثانویه یا مونوکروماتور فلورسنس پراکنده می‌شود (Benischke ۲۰۰۵).

۱- Filter fluorometer

۲- Primary filter

۳- Secondary filter

۴- Photomultiplier

## ج- تشخیص توسط یک اسپکتروفلوریمتر دو مونوکروماتوری

در آنالیزهای ردیابی بهتر است که از یک اسپکتروفلوریمتر دو مونوکروماتوری<sup>۱</sup> جهت برانگیختگی و پرتودهی استفاده گردد. امروزه برای تشخیص یک ردیاب معین در نمونه‌ها از روشی که توسط لوید (Lloyd, ۱۹۷۱) ارائه شد، استفاده می‌شود. بر اساس این روش طول موج‌های برانگیختگی و پرتودهی همزمان در یک ناحیه طیفی مورد نظر تغییر می‌نمایند. مواد رنگی فلورسنت مورد استفاده طوری هستند که اختلاف بین طول موج حداکثر برانگیختگی و پرتودهی آن‌ها کم و بیش ثابت است. برتری این روش این است که تنها یک نمونه و یک طیف برای تشخیص اورانین، ائوزین، سولفورودامین و رودامین مورد نیاز است. جدول ۲-۱ حد تشخیص تعدادی از مواد رنگی فلورسنت را در آب نشان می‌دهد. این مقادیر ممکن است بسته به کیفیت آب، مقدار زمینه طبیعی و نوع دستگاه اندازه‌گیری تغییر یابند.

جدول ۲-۱- محدوده تشخیص تعدادی از مواد رنگی فلورسنت در حلال آب (Benischke ۱۹۹۱)

| ردیاب           | محدوده تشخیص (mg/m <sup>۳</sup> ) |
|-----------------|-----------------------------------|
| Uranine         | ۰,۰۰۱ - ۰,۰۲۵                     |
| Eosine          | ۰,۰۵۰ - ۰,۵                       |
| AmidorhodamineG | ۰,۰۰۱ - ۰,۰۵                      |
| RhodamineB      | ۰,۰۱۰ - ۰,۵                       |
| Pyranine        | ۰,۰۰۰۸ - ۰,۵                      |
| Tinopal CBS-X   | ۰,۴                               |

۱- Two monochromator spectrofluorometer

امروزه فلوریمترهای صحرایی پیشرفتهای برای استفاده در چاه و جریان‌های سطحی ساخته شده‌اند<sup>۱</sup> (شکل ۲-۱).

این دستگاه‌ها به طور اتوماتیک غلظت ردیاب را با فواصل زمانی قابل تنظیم در آب نشان می‌دهند.



شکل ۲-۱ - فلوریمترهای صحرایی برای آشکار سازی ردیاب در آب سطحی (سمت راست) و زیرزمینی (سمت چپ)

#### د- تشخیص توسط ذغال فعال

ردیاب‌های فلورسنت می‌توانند به وسیله کربن فعال جذب شوند. در این روش کیسه‌های کوچک حاوی دانه‌های کربن فعال در آب قرار داده می‌شوند. پس از جمع آوری و شستشوی نمونه‌ها فلورسنس محلول حاصل از شستشوی آن‌ها مورد ارزیابی قرار می‌گیرد. روش کار به این نحو است که در آزمایشگاه حدود ۰/۵ گرم ذغال خشک شده را داخل لوله‌های آزمایش ریخته و پس از اضافه کردن حجم معینی از مخلوط شستشو (۷ میلی‌لیتر) نمونه را بخوبی تکان داده و به مدت ۲ ساعت در تاریکی قرار می‌دهند. پس از ته نشین شدن مواد جامد فلورسنس، محلول مورد آنالیز قرار می‌گیرد.

۱- <http://www-Geo.Unine.ch/GEOMAGNETISME/tract.html>.



شكل ٣-١ - دانه های ذغال فعال

## فصل دوم

### مروري بر ادبیات فنی موجود و تحقیقات پیشین

## ۲-۱- تاریخچه‌ای از عملیات ردیابی

نخستین تجربه‌های ثبت شده بشر در زمینه ردیابی، در زمرة روش‌های ردیابی مصنوعی بوده است.

یکی از این تجربه‌ها که بیش از ۱۹۰۰ سال از آن می‌گذرد و مربوط به شخصی به نام فیلیپوس می‌باشد. او برای پی بردن به منشاء چشمه‌ای در منطقه اردن اقدام به تزریق کاه در برکه‌ای نمود. کاه مذبور از محل چشمه‌ای در غار پانیوم<sup>۱</sup> که سرچشم رودخانه اردن شناخته می‌شد، خارج گردید. برکه فوق‌الذکر امروزه دریاچه بربخات رام<sup>۲</sup> نامیده می‌شود که در بانیاس قرار دارد (Käss ۱۹۹۸).

تجربه فیلیپوس قرن‌ها بعد در سده هفده میلادی به وسیله مایر<sup>۳</sup> در سوابین آلب<sup>۴</sup> در جنوب غرب آلمان با تزریق کاه و خاک اره در یک دولین<sup>۵</sup> و دریافت آن در چشمه‌ای در پایین دست تکرار شد.

نخستین تجربه علمی ردیابی آب زیرزمینی که نتایج نیمه کمی<sup>۶</sup> نیز از آن به دست آمد در تابستان ۱۸۷۲ در شمال سوئیس و به منظور پی‌جویی سرچشم میکروب حصبه انجام شد. در سال ۱۸۷۷ سه ردیاب روغن شیلی<sup>۷</sup>، نمک و اورانین به طور همزمان در منطقه دانوب که امروزه یکی از شناخته شده‌ترین مکان‌های مطالعاتی برای ردیابی جریان‌های فرورو در اروپا می‌باشد تزریق گردید و پس از دو روز در چشم آخ<sup>۸</sup> آشکار شد. در این آزمایش اورانین نخستین بار به عنوان ردیاب مورد استفاده قرار گرفت. از آن پس تا کنون اورانین به عنوان یکی از پر کاربردترین ردیاب‌ها در مطالعات آب‌های زیرزمینی به کار گرفته می‌شود. در سال ۱۹۰۱ با اختراع فلوئوروسکوپ توسط تریلیت<sup>۹</sup> و افزایش دقت اندازه‌گیری فلورسننس مواد رنگی، استفاده از این مواد به عنوان ردیاب‌های آب زیرزمینی کاربرد

۱- Panium

۲- Berekhat Ram

۳- M. J. Mayer

۴- Swabian alb

۵- Doline

۶- Semi quantitative

۷- Shale oil

۸- Aach

۹- Trillate

گستردگی یافت. در ۱۹۰۴ باکتری‌ها همراه با اورانین به عنوان ردیاب آب زیرزمینی برای ردیابی منشاء آلودگی در استراسبورگ مورد استفاده قرار گرفتند. پس از جنگ جهانی دوم روش‌های ردیابی به سرعت توسعه یافتند. در کشور ما نیز در سال ۱۳۶۵ نخستین تجربه ردیابی آب‌های زیرزمینی در کرمانشاه و پس از آن در تکیه‌گاه سد لار در شمال تهران انجام شد. در ۱۹۵۰ ردیاب‌های رادیواکتیو همچون ید ۱۳۱ به کار گرفته شدند. در مراحل نخست غلظت‌های مورد استفاده بسیار زیاد بوده ولی امروزه به خاطر ملاحظات زیستمحیطی، استفاده از غلظت‌های بالا مجاز نمی‌باشد. در پایان دهه پنجماه میلادی با ابداع شتاب دهنده‌های فتوالکترونیک، روش‌های سنجش آزمایشگاهی پیشرفت چشمگیری نمود و سرعت اندازه‌گیری‌ها بسیار زیاد شد. نخستین استفاده‌های نمک پتاسیم و آنالیز آن به روش نشر شعله‌ای<sup>۱</sup> در سال ۱۹۶۴ صورت گرفت (Käss ۱۹۹۸).

در دهه‌های گذشته استفاده از گازهای CFC<sup>۲</sup> به عنوان ردیاب که به صورت مصنوعی از آغاز دهه ۶۰ وارد اتمسفر شده‌اند رواج یافته که البته به دلیل پیچیدگی و پرهزینه بودن روش سنجش، بویژه در کشور ما رواج پیدا نکرد. یکی از بهترین و دقیق‌ترین کارهای انجام شده بر روی ردیاب‌ها و کارآیی آن‌ها به وسیله إسمارت و لیدلا (Smart and Laidlaw ۱۹۷۷) از دانشگاه‌های بریستول و شفیلد انگلستان ارائه شد. در این پژوهش مشترک کارآیی هشت ردیاب رنگی فلورسنت آمینو جی اسید، فوتین، اورانین، لیسامین، پیرانین، رودامین B، رودامین WT و سولفورودامین G در شرایط آزمایشگاهی و صحراوی ارزیابی و مقایسه شد. در سال ۱۹۸۵ چهار تن از پژوهشگران دانشگاه آریزونا در یک پژوهش مشترک با آزمایشگاه تحقیقات زیستمحیطی کر<sup>۳</sup> در آمریکا مجموعه‌ای از ردیاب‌های مهم و کاربردی در مطالعات آب‌های زیرزمینی شامل ذرات جامد، باکتری‌ها، ویروس‌ها، یون‌ها، ردیاب‌های رنگی و ... را در گزارش خود معرفی نمودند (Davis ۱۹۸۵). یکی از جدیدترین مطالعات صورت گرفته بر روی

---

۱- Flame Photometry

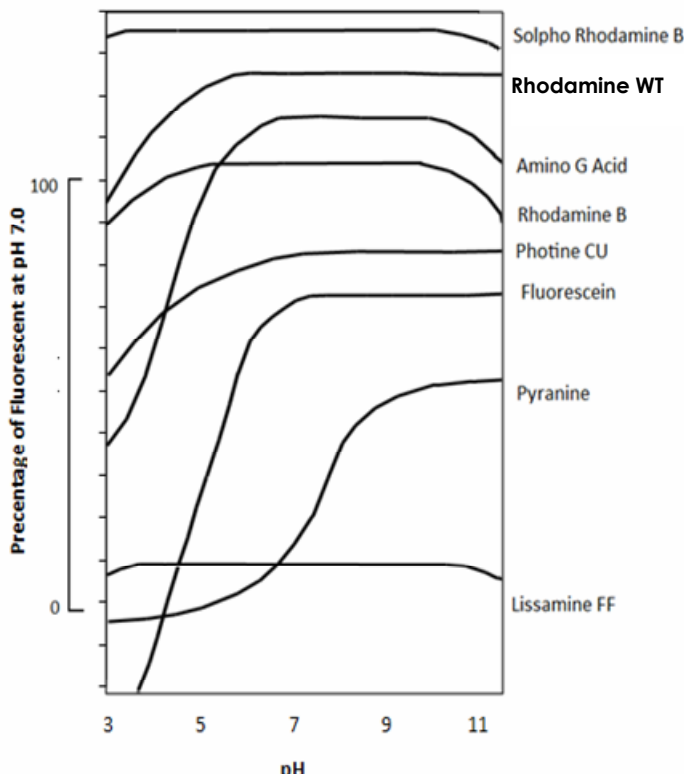
۲- Chlorofluorocarbons

۳- Robert S. Kerr Environmental Research Laboratory

ویژگی‌های ردیاب‌ها در سال ۲۰۰۶ توسط آماتاچ و کولا (Kola and Amataj ۲۰۰۶) ارائه شد. این محققین در پژوهش خود اثر pH، دما و اکسیداسیون را بر روی اورانین، رودامین WT و سولفورودامین G بررسی کردند. با رواج تکنیک‌های ردیابی و گسترش استفاده از ردیاب‌های فلورسن特، شناخت نقاط قوت و ضعف هر ردیاب در برابر شرایط مختلف محیط زمین‌شناسی و ارزیابی کارایی آن‌ها دارای اهمیت ویژه‌ای است. امروزه نیز این تحقیقات از جایگاه ویژه‌ای برخوردار بوده و با جزئیات بیشتری ادامه دارد.

## ۲-۲-۱- اثر pH بر ردیاب‌ها

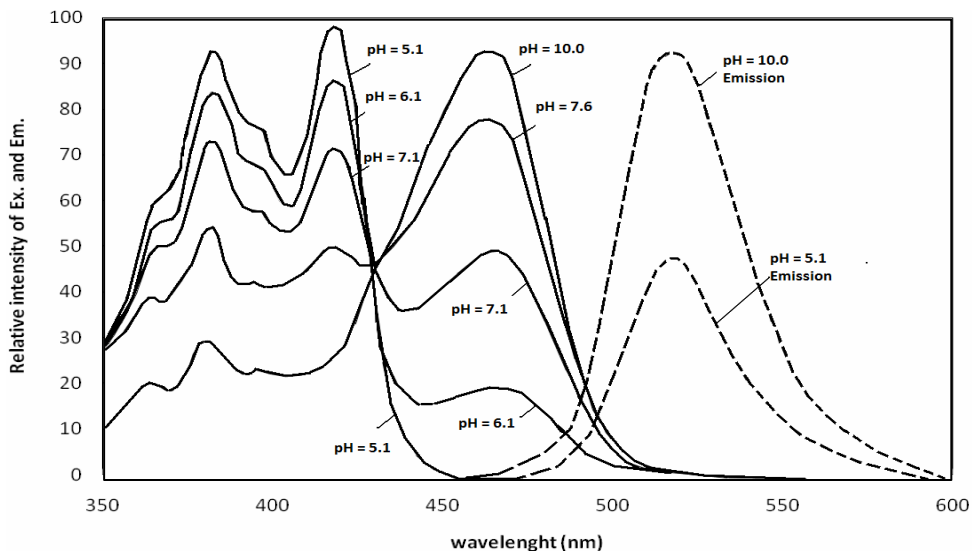
لیندکویست (Lindqvist ۱۹۶۰) از افرادی بود که ارتباط شدت فلورسننس با تغییرات pH را به طور کامل مورد بررسی قرار داد. شکل ۱-۲ توسط فورستین و سلیک (Feuerstein and Selleck ۱۹۶۳) به دست آمده است که تغییرات شدت فلورسننس تعدادی از ردیاب‌ها را با pH نشان می‌دهد.



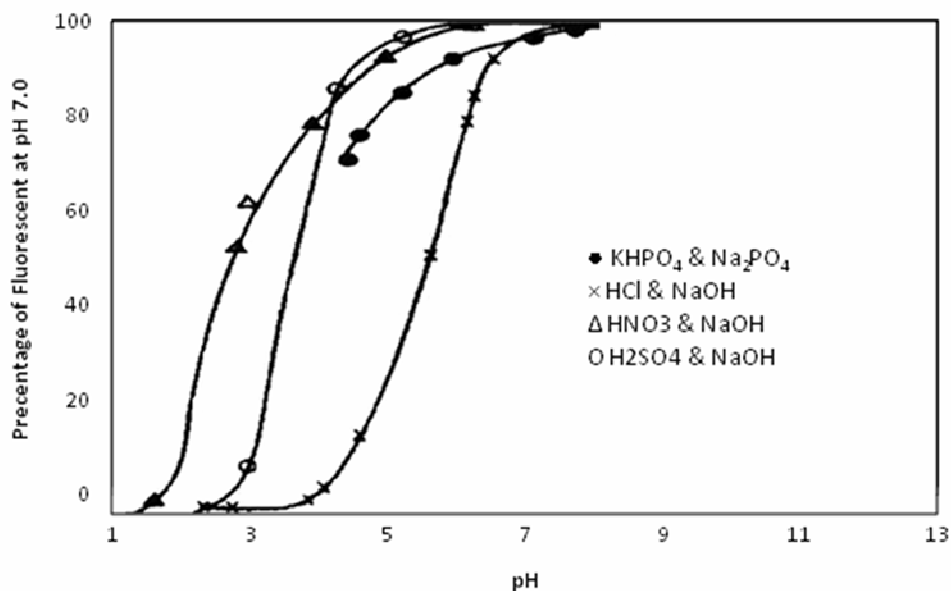
شکل ۱-۲ - اثر pH بر فلورسنس برخی ردهای رودامین (Feuerstein and Selleck ۱۹۶۲) این دو محقق برای تغییر دادن pH از HCl و NaOH استفاده کردند. طبق نتایج حاصل از این آزمایش‌ها در pH های ۴ تا ۱۰ در فلورسنس حاصل از لیسامین FF و سولفورودامین B تغییر قابل توجهی به وجود نمی‌آید. فلورسنس حاصل از رودامین B و رودامین WT در pH های کمتر از ۵، آمینواسید G در pH های کمتر از ۶ و اورانین و فوتین CU در pH های کمتر از ۶/۵ به شدت کاهش پیدا می‌کنند. پیرانین همان طور که در شکل ۱-۲ دیده می‌شود، حتی در pH های معمول آب‌های طبیعی نیز به شدت تحت تاثیر قرار می‌گیرد.

إسمارت و ليدلا (Smart and Laidlaw ۱۹۷۷) با بررسی اثر pH بر پیرانین و رودامین WT نشان دادند با افزایش pH، تغییری در میزان شدت فلورسنس رودامین WT به وجود نمی‌آید در حالی که با تغییرات pH پیرانین به شدت تحت تاثیر قرار می‌گیرد (شکل‌های ۲-۲ و ۳-۲). طبق نتایج تحقیقات ولفبیس و همکاران (Wolfbeis et al. ۱۹۸۳) کاهش pH منجر به از بین رفتن فلورسنس پیرانین خواهد شد (شکل ۴-۲). فورد و ویلیامز (Ford and Williams ۱۹۸۹) با

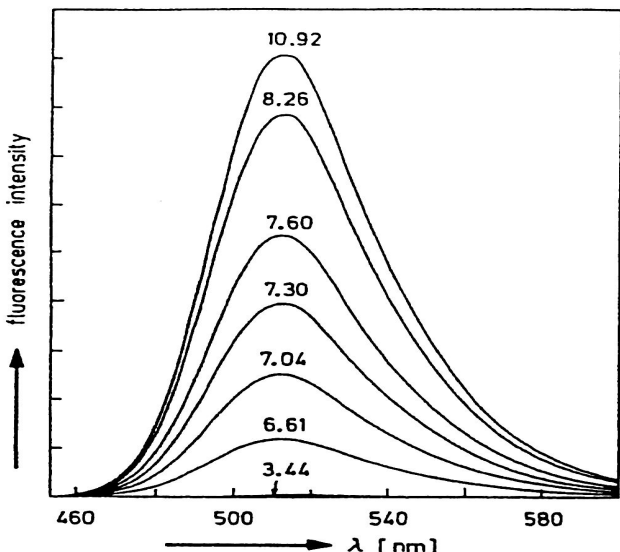
بررسی اثر pH بر رودامین B بیشترین پرتودهی این ردیاب را در pH بین ۵-۹ و کاهش پرتودهی اورانین را در pH های اسیدی گزارش کردند.



شکل ۲-۲ - طیف برانگیختگی و پرتودهی پیرانین با تغییرات pH (Smart and Laidlaw ۱۹۷۷)



شکل ۲-۳ - تغییرات FI رودامین WT در pH های مختلف با استفاده از چند نوع اسید (Smart and Laidlaw ۱۹۷۷)



شکل ۲-۴- شدت فلورسنس پیرانین در pH های مختلف (Wolfbeis et. al ۱۹۸۳)

طبق عقیده الی (Aley ۱۹۹۹) مقدار فلورسنس یک ردیاب به pH محلولی که ردیاب در آن حل شده و نوع و ترکیب آن محلول بستگی دارد. او پنج ردیاب را در آزمایشگاهی<sup>۱</sup>، مورد آزمایش قرار داد و نتیجه گرفت که این ردیابها در pH بالاتر از ۱۰ حداکثر فلورسنس خود را دارند و کاهش pH منجر به کاهش شدت فلورسنس خواهد شد. طبق تحقیقات بنیشکه (Benischke ۲۰۰۱) در غلظت‌های بالا، اثر pH بر روی شدت فلورسنس کمتر می‌شود و با افزایش pH شدت فلورسنس محلول تغییر چندانی نمی‌کند. آماتاچ و کولا (Kola and Amataj ۲۰۰۶) اثر pH بر روی شدت فلورسنس سه ردیاب اورانین، رودامین WT و سولفورودامین G را بررسی کردند. طبق نتایج آن‌ها در pH کمتر از ۷/۸۷ شدت فلورسنس اورانین به شدت کاهش می‌یابد تا اینکه در pH حدود ۱/۶۶ به ۵/۳٪ مقدار اولیه خود می‌رسد و در pH بالاتر از ۷/۸۷ به حداکثر مقدار خود می‌رسد. لیونز و همکاران (Lyons ۱۹۹۳) نیز از دیگر محققینی هستند که اثر pH بر تعدادی از ردیابها را گزارش کرده‌اند. با توجه به تحقیقات فوق می‌توان نتیجه گرفت، pH از جمله فاکتورهای مؤثر بر ویژگی فلورسنس ردیابها بوده و اثر آن بر ردیاب‌های مختلف متفاوت است. به طور کلی ردیابها حداکثر فلورسنس

۱- The Ozark Underground Laboratory

خود را در محیط قلیایی به دست می‌آورند. در حالی که محیط اسیدی منجر به از بین رفتن ویژگی فلورسنس آن‌ها می‌شود. هوگان و زیمرمن (Hogan and Zimmerman ۱۹۷۷) نیز از دیگر محققینی هستند که اثر pH بر اورانین را مورد بررسی قرار داده‌اند.

### ۳-۲- اثر نور بر ردیاب‌ها

نور ممکن است باعث تجزیه فتوشیمیایی ماده رنگی شود. این تجزیه ممکن است ناشی از تابش طبیعی نور خورشید و یا در اثر نور موجود در آزمایشگاه و یا هر نور مصنوعی دیگری باشد. نرخ تجزیه فتوشیمیایی بسیاری از ردیاب‌ها از رابطه زیر پیروی می‌کند:

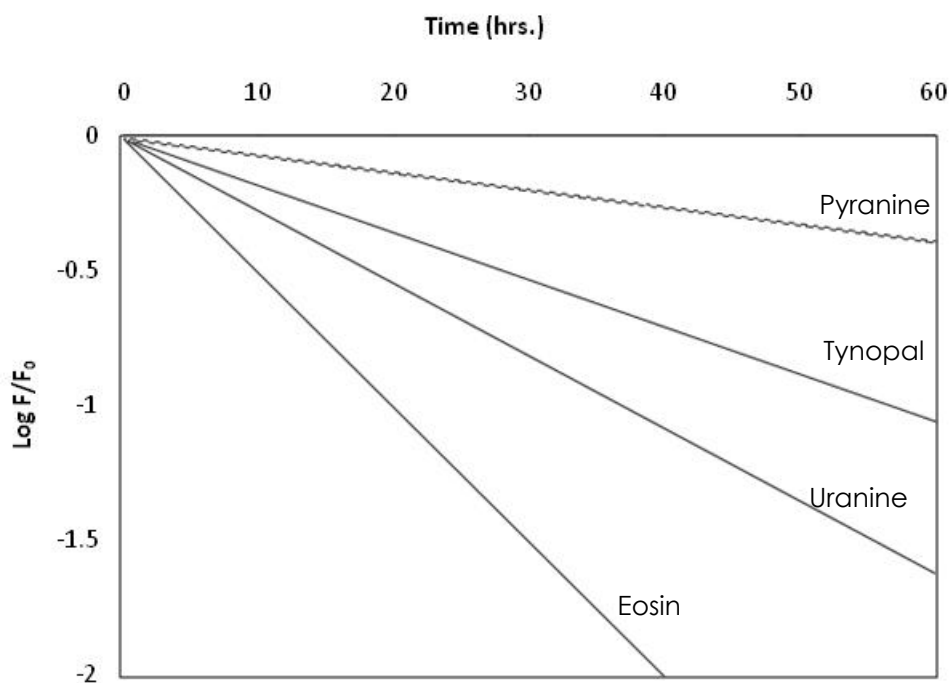
$$F = F_0 \cdot e^{-kt} \quad (1-2)$$

در این رابطه  $F$  فلورسنس اولیه،  $F_0$  فلورسنس در زمان  $t$  و  $k$  ضریب واپاشی می‌باشد. جدول ۲ ضریب واپاشی چند نوع ردیاب را که توسط محققین مختلف به دست آمده نشان می‌دهد. طبق تحقیقات بنیشکه (Benischke ۲۰۰۱) نرخ واپاشی اورانین بسیار بالاست، و در معرض نور خورشید به سرعت دچار واپاشی می‌شود. سولفورودامین B کمتر از رودامین B و لیسامین FF کمتر از آن دو دچار واپاشی می‌شود. فوتین CU و اورانین در معرض نور به شدت دچار واپاشی می‌شوند، که این ویژگی، مانع استفاده از آن‌ها در مطالعات کیفی ردیابی آبهای سطحی خواهد شد (Davis et al ۱۹۸۰). Smart and Laidlaw (1977) پیرانین از گذشته به عنوان یک ردیاب پایدار در نور معرفی شده است. رودامین B، سولفورودامین WT، سولفورودامین B و لیسامین FF دارای نرخ تجزیه فتوشیمیایی کمی هستند. نرخ این فروپاشی تا اندازه‌ای است که در آزمایش‌هایی که تا یک هفته طول بکشد مشکلی ایجاد نمی‌شود (Benischke ۲۰۰۵).

جدول ۱-۲- ضریب واپاشی ردیاب‌های مختلف در برابر نور

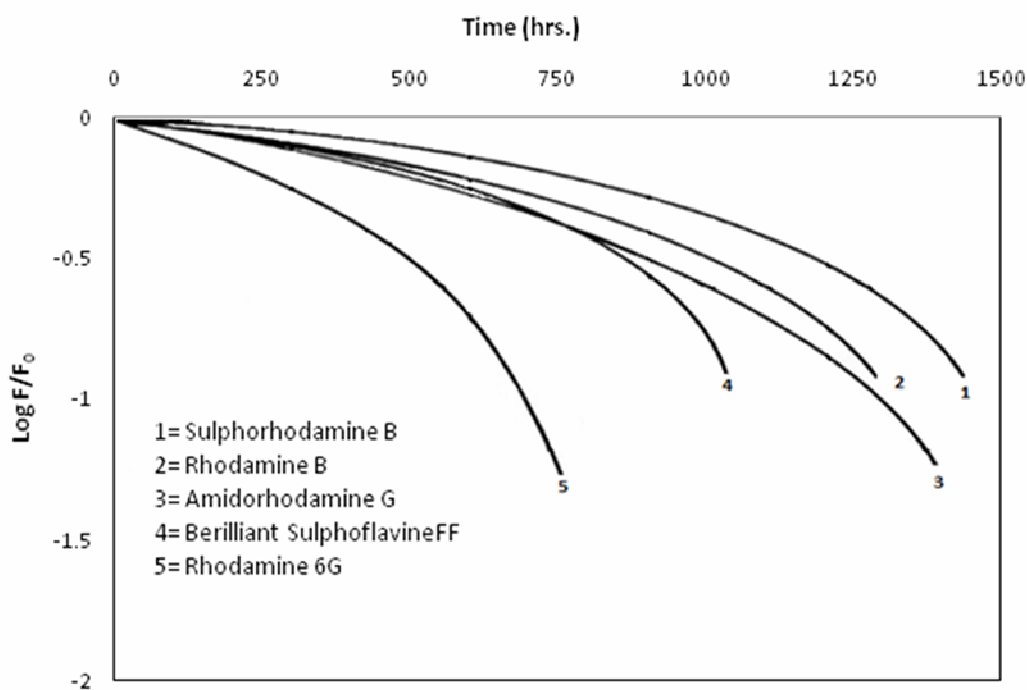
| شرایط                         | نام ردیاب            |                      |                      |                      |                       |                       | منبع                           |
|-------------------------------|----------------------|----------------------|----------------------|----------------------|-----------------------|-----------------------|--------------------------------|
|                               | AminoG acid          | Uranine              | Lissamine FF         | Pyranine             | Rhodamine B           | Rhodamine WT          |                                |
| Artificial light              |                      |                      |                      |                      | $1.7 \times 10^{-5}$  |                       | Pritchard and Carpenter (1960) |
| Sunny                         |                      | $1.3 \times 10^{-1}$ |                      |                      | $1.7 \times 10^{-4}$  |                       |                                |
| Cloudy                        |                      | $5.1 \times 10^{-2}$ |                      |                      | $4.5 \times 10^{-3}$  | $2.0 \times 10^{-3}$  | Feuerstein and Selleck (1963)  |
| Sunny                         |                      | $2.6 \times 10^{-1}$ |                      |                      | $2.2 \times 10^{-2}$  | $1.0 \times 10^{-2}$  |                                |
| Minimum rate                  | $4.5 \times 10^{-2}$ | .                    |                      |                      | $3.6 \times 10^{-2}$  | $4.4 \times 10^{-2}$  | Yates and Akesson (1963)       |
| Maximum rate                  | $3.9 \times 10^{-1}$ | $4.6 \times 10^{-1}$ |                      |                      | $1.2 \times 10^{-1}$  | $6.4 \times 10^{-1}$  |                                |
| Sunny $10 \mu\text{g l}^{-1}$ |                      |                      |                      |                      | $5.6 \times 10^{-4}$  | $5.6 \times 10^{-4}$  | Watt (1965)                    |
| Sunny                         |                      |                      |                      |                      | $3.4 \times 10^{-4}$  | $3.4 \times 10^{-4}$  |                                |
| Cloudy                        | $1.5 \times 10^{-2}$ | $8.0 \times 10^{-4}$ |                      |                      |                       | $1.8 \times 10^{-3}$  | Smat and Laidlaw (1977)        |
| Sunny                         | $2.6 \times 10^{-1}$ |                      |                      |                      |                       | $1.0 \times 10^{-2}$  |                                |
| 6 hours under Sunny           | $1.6 \times 10^{-2}$ | $9.5 \times 10^{-2}$ | $1.0 \times 10^{-4}$ | $1.2 \times 10^{-1}$ | $8.3 \times 10^{-3}$  | $1.5 \times 10^{-3}$  | $5.6 \times 10^{-3}$           |
| 6 hours under W lamp          | $3.7 \times 10^{-4}$ | $1.3 \times 10^{-2}$ | $1.0 \times 10^{-4}$ | $1.6 \times 10^{-2}$ | $1.0^{-3} \times 5.6$ | $<1.0 \times 10^{-4}$ | $3.3 \times 10^{-4}$           |
|                               |                      |                      |                      |                      |                       |                       | Abood et al. (1969)            |

در شکل ۵-۲ نمودار مربوط به نتایج آزمایش بررسی نرخ تجزیه و فروپاشی فتوشیمیایی چهار نوع ردیاب شامل اورانین، ائوزین، پیرانین و تینوپال CBX در برابر نور مصنوعی نشان داده شده است. همان طور که در این نمودار مشخص است نرخ فروپاشی ائوزین نسبت به سه ردیاب دیگر یعنی اورانین، تینوپال CBX و پیرانین بیشتر است. پایدارترین ردیاب از بین این چهار نوع، پیرانین می‌باشد و تینوپال CBX و اورانین در رده‌های بعدی از نظر پایداری فتوشیمیایی قرار دارند.



شکل ۲-۵-۶ - زوال فلورنسنس چند ردیاب مختلف در برابر نور روزانه مصنوعی . (Benischke ۲۰۰۱)

شکل ۲-۶ تغییرات شدت فلورنسنس برخی از انواع رودامین را در اثر تجزیه فتوشیمیایی با نور مصنوعی نشان می‌دهد. با توجه به نمودارهای شکل ۶-۲ سولفورودامین B از بین ردیابهای رودامین B، آمیدورودامین G، بریلیان سولفوفلاوین FF و رودامین G با سرعت کمتری دچار واپاشی شده و بنابراین دارای مقاومت بیشتری در برابر تجزیه فتوشیمیایی می‌باشد.



شکل ۶-۲- فروپاشی انواع رودامین در محلول آب در برابر نور روزانه مصنوعی (Beischke ۲۰۰۱)

#### ۴-۲- اثر دما بر ردیابها

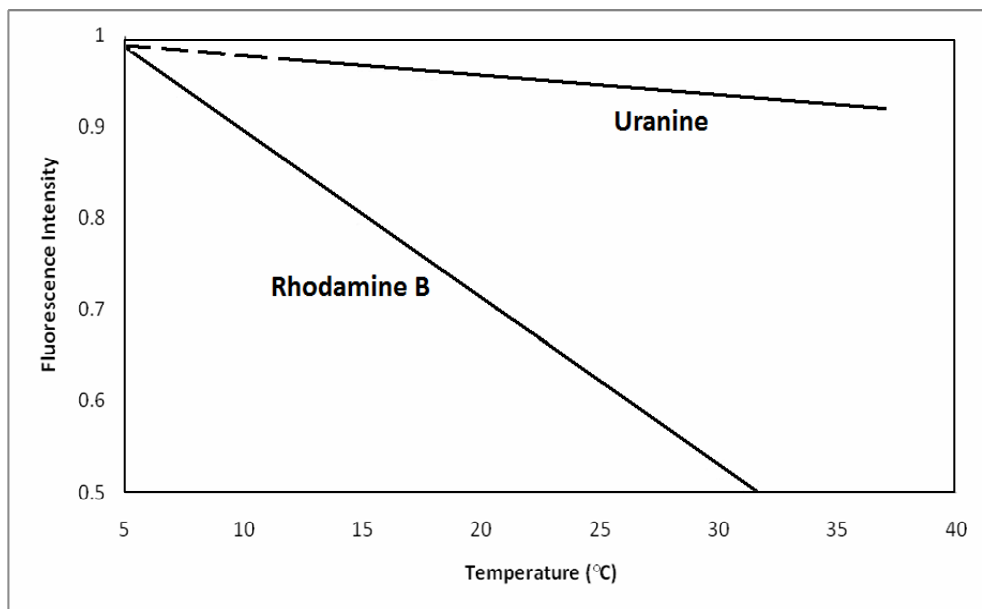
پایداری در برابر دما، از ویژگی‌های مهم یک ردیاب است که در شرایطی مثل بالا رفتن دمای دستگاه اسپکتروفلئوروفوتومتر و نیز تزریق در سیستم‌های هیدروترمال اهمیت خود را نشان می‌دهد. دان و واپل (Dunn and Vaupel ۱۹۶۵) نشان دادند تغییرات دما بر روی عملکرد فیلتر فلوریمتر اثر می‌گذارد. بازده دستگاه فلوریمتر با روشن شدن و گرم شدن تدریجی دستگاه به تدریج افزایش می‌یابد. این محققین روشی را برای تصحیح قرائت‌های دستگاه فلوریمتر بر اساس دمای سلول نمونه دستگاه فلوریمتر ارائه کردند. آویلوف و همکارانش (Avilov et al. ۲۰۰۵) نشان دادند با افزایش دما ساختار ردیاب تغییر می‌کند و بخشی از خاصیت فلورسنس خود را از دست می‌دهد. در سال ۱۹۷۹ کاربرد اورانین در آمریکا در دمای ۲۰۰ درجه سانتی‌گراد و ۱۹۸۹ استفاده از آن را در ۱۴۰ درجه سانتی‌گراد در آلمان گزارش شده است. فلورسنس رودامین B شدیداً به دما وابسته می‌باشد. به همین دلیل آنالیز نمونه‌های رودامین B باید در دمای استاندارد یعنی ۲۵ تا ۳۰ درجه سانتی‌گراد صورت

گیرد (Benischke ۲۰۰۱). شکل ۷-۲ تغییرات شدت فلورسنس دو ردیاب اورانین و رودامین B را در دماهای مختلف نشان می‌دهد. فلورسنس فوتین CU نیز تحت تاثیر تغییرات دما قرار می‌گیرد بنابراین این مسئله باید در آنالیزهای کیفی مورد نظر باشد. شکل ۸-۲ نمودارهای تصحیح دما را برای هشت ردیاب نشان می‌دهد. طبق عقیده اسمارت و لایدل (Smart and Laidlaw ۱۹۷۷) وابستگی شدت فلورسنس به دما از رابطه زیر پیروی می‌کند:

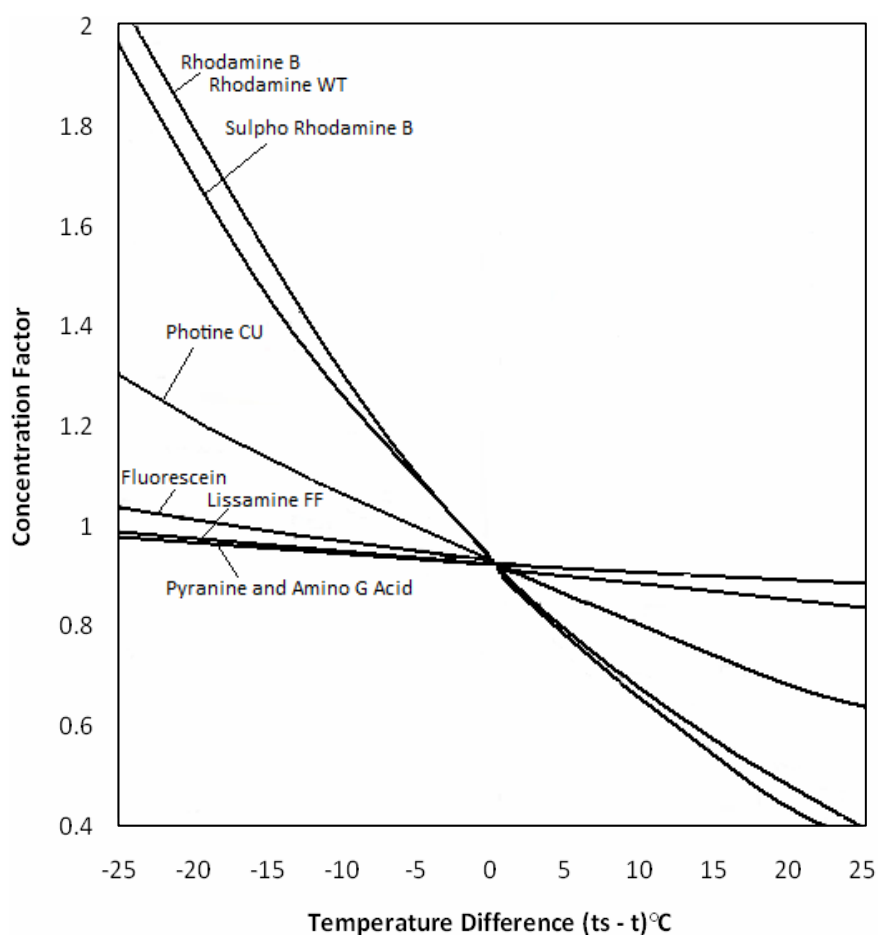
$$F = F_0 \cdot e^{nt} \quad (2-2)$$

در این رابطه  $F$  فلورسنس در دمای  $t$  و  $F_0$  فلورسنس در صفر درجه و  $n$  ثابتی است که برای هر ردیاب به دست می‌آید. ثابت دمایی تعدادی از ردیابها در جدول ۲-۲ ارائه شده است. هدایت و مقاومت الکتریکی آب که در این پژوهش به عنوان شاخصی از غلظت ردیاب‌های نمکی در نظر گرفته شده است به شدت به دما وابسته می‌باشد، به همین دلیل همه اندازه‌گیری‌ها در ۲۵ درجه سانتی‌گراد گزارش می‌شود. چگونگی تغییر هدایت الکتریکی با دما به ترکیب ماده حل شده در آب و غلظت آن وابسته است (Thornton and Light ۱۹۸۹). به این ترتیب در آب‌هایی با هدایت الکتریکی ۵ میکروزیمنس بر سانتی‌متر یا کمتر هدایت الکتریکی آب به ازای هر درجه سانتی‌گراد در حدود ۰.۲٪ افزایش می‌یابد و در آب‌هایی با هدایت الکتریکی بیشتر از ۵ میکروزیمنس بر سانتی‌متر این پارامتر به ازای هر درجه سانتی‌گراد حدود ۵ درصد افزایش خواهد یافت (ASTM ۲۰۰۰). با توجه به افزایش هدایت الکتریکی به ازای افزایش دما، در اندازه‌گیری‌های هدایت الکتریکی دما را با تعریف ثابت دمایی مربوط به هر دستگاه، ثابت می‌گیرند. بنابراین با تغییر درجه حرارت برای یک غلظت خاص، تغییری در هدایت الکتریکی قرائت شده به وجود نمی‌آید. در این صورت افزایش هدایت الکتریکی تنها متناظر با افزایش غلظت یون‌ها خواهد بود.

به این ترتیب با توجه به نتایج این تحقیقات در واقع دما، یکی دیگر از فاکتورهای مؤثر بر ویژگی فلورسنس ردیاب‌ها می‌باشد. افزایش دما می‌تواند منجر به از بین رفتن بخشی از فلورسنس ردیاب‌ها شود. نرخ کاهش فلورسنس ردیاب‌ها بسته به ضریب دمایی آن‌ها متفاوت است.



شکل ۲-۷-۲ - وابستگی فلورنس اورانین و روڈامین به دما (Benischke ۲۰۰۱)



شکل ۲-۸-۲ - نمودار تصحیح دما برای تعدادی از ردیاب‌های فلورسنت (Smart and Lidlaw ۱۹۷۷)

جدول ۲-۲- ثابت دمایی برخی از ردیاب‌ها (Smart and Lidlaw ۱۹۷۷)

| ردیاب              | ثبت دمایی (°C) |
|--------------------|----------------|
| Amino G Acid       | -۰۰۰۱۹         |
| Photine CU         | -۰۰۰۱۲         |
| Fluoresceine       | -۰۰۰۳۶         |
| Lissamine FF       | -۰۰۰۲۰         |
| Pyranine           | -۰۰۰۱۹         |
| Rhodamine B        | -۰۰۰۲۷         |
| Rhodamine WT       | -۰۰۰۲۷         |
| Sulpho Rhodamine B | -۰۰۰۲۹         |

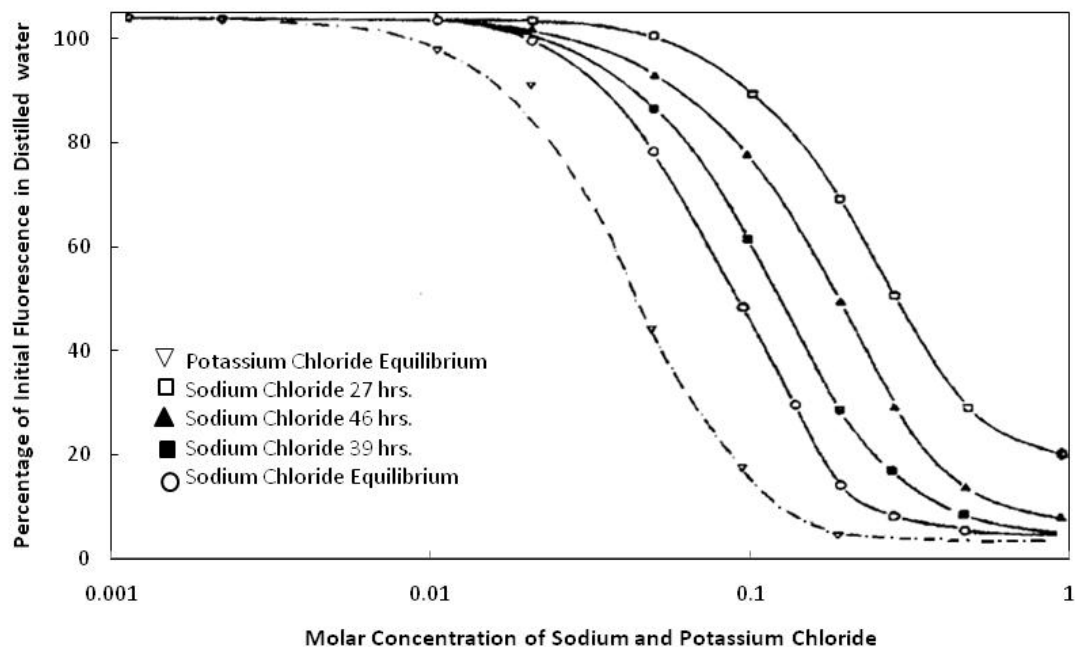
## ۲-۵- اثر شوری بر ردیاب‌ها

فورستین و سلک (Feuerstein and Selleck ۱۹۶۳) با ارزیابی اثر شوری بر روی تعدادی از ردیاب‌های فلورسنست به این نتیجه رسیدند که در آب‌های با کلر بیشتر از ۱۸ گرم بر لیتر، ردیاب‌هایی مثل رودامین B، سولفورودامین B به طور مشخصی تحت تاثیر قرار می‌گیرند. اسمارت و لیدلا (Smart and Laidlaw ۱۹۷۷) اثر دو غلط متفاوت کلر را بر روی فلورسننس حاصل از هشت ردیاب مورد بررسی قرار دادند. طبق نتایج تحقیق آن‌ها، افزایش شوری شدت فلورسننس رودامین B، رودامین WT و سولفورودامین B را کاهش می‌دهد اما بر روی سایر ردیاب‌های مورد بررسی اثری ندارد. جدول ۲-۳ نتایج حاصل از آزمایش‌های مذبور را نشان می‌دهد. شکل ۹-۲ اثر کلرید سدیم و کلرید پتاسیم را در زمان‌های مختلف بر روی فلورسننس حاصل از رودامین WT نشان می‌دهد. همان طور که در این نمودار دیده می‌شود تفاوت عمدی‌های بین اثر شوری حاصل از کلرید سدیم و کلرید پتاسیم بر روی این ردیاب وجود دارد بنابراین نوع کاتیون نمک نیز بر کاهش شدت فلورسننس مؤثر است. هم چنین نتایج حاصل از این آزمایش نشان می‌دهد که تاثیر نمک به صورت آنی نبوده و با گذشت زمان بر روی ردیاب اثر می‌گذارد. به این ترتیب در محیط‌های شور بعد از گذشت یک دوره زمانی ۳۰۰ ساعته، کاهش زیادی در مقدار ردیاب به وجود خواهد آمد.

از این مطالب می‌توان نتیجه گرفت که شوری نیز از دیگر فاکتورهای مؤثر بر ویژگی فلورسنس است که می‌تواند ردیاب‌ها را تحت تاثیر قرار دهد. افزایش شوری می‌تواند منجر به کاهش فلورسنس در تعدادی از ردیاب‌ها شود. علاوه بر درصد شوری محیط، نوع ماده‌ای که منجر به شوری در محلول شده نیز در عملکرد ردیاب‌ها مؤثر است.

جدول ۳-۲- درصد فلورسنس در آب شور (Smart and Lidlaw ۱۹۷۷)

| ردیاب              | غلظت کلرید سدیم |      |
|--------------------|-----------------|------|
|                    | ۰.۱M            | ۰.۵M |
| Amino G Acid       | ۱۰۰             | ۱۰۰  |
| Photine CU         | ۱۰۰             | ۱۰۰  |
| Fluorescein        | ۱۰۰             | ۱۰۰  |
| Lissamine FF       | ۱۰۰             | ۱۰۰  |
| Pyranine           | ۱۰۰             | ۱۰۰  |
| Rhodamine B        | ۱۰۰             | ۹۸   |
| Rhodamine WT       | ۹۷              | ۹۲   |
| Sulpho rhodamine G | ۱۰۰             | ۹۶   |

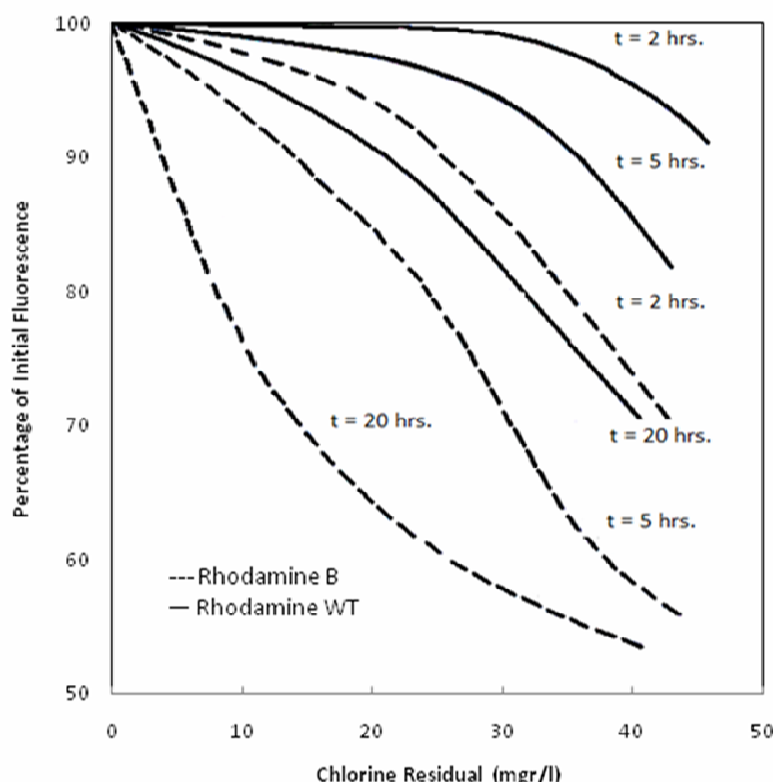


شکل ۹-۲ - اثر کلرید سدیم و پتاسیم بر روی فلورسنس حاصل از رودامین WT (Smart and Lidlaw ۱۹۷۷)

## ۶-۲- اثر کلر بر ردیاب‌ها

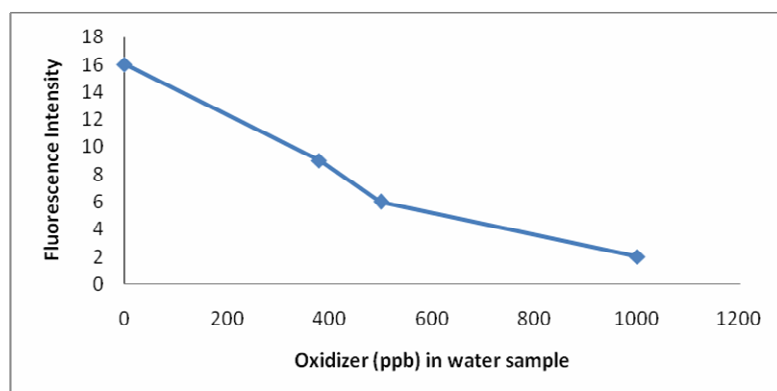
کلر یکی از مهمترین مواد تصفیه آب می‌باشد که دارای ویژگی گندزدایی بالایی است. در مواردی ممکن است عملیات ردیابی آب در منطقه‌ای صورت بگیرد که آب آن مورد تصفیه قرار گرفته و حاوی کلر آزاد باقی مانده باشد. به همین دلیل مطالعات محدودی بر روی تاثیر این ماده بر روی ردیاب‌ها صورت گرفته است که در ادامه به آن‌ها اشاره می‌شود.

دینر (Deaner ۱۹۷۳) اثر کلرباقی‌مانده را بر روی رودامین B و رودامین WT بررسی کرد. او نشان داد که افزایش کلر باقی‌مانده کاهش شدیدی در شدت فلورسنس این ردیاب‌ها به وجود می‌آورد که از غلظت اولیه آن‌ها مستقل است (شکل ۱۰-۲). طبق این تحقیقات، رودامین WT مقاومت بیشتری نسبت به رودامین B در برابر اکسیداسیون دارد.

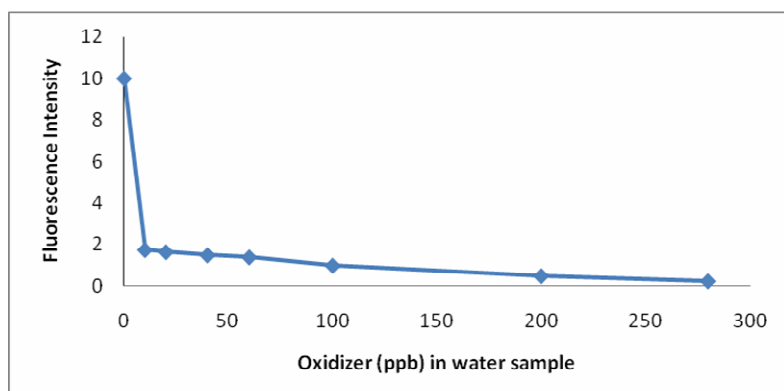


شکل ۱۰-۲ - اثر کلر بر فلورسنس رودامین B و WT (Deanner ۱۹۷۳)

آماتاج و کولا (Amataj and Kola ۲۰۰۶) اثر اکسیداسیون را بر روی شدت فلورسننس اورانین، رودامین WT و سولفورودامین G بررسی کردند. آن‌ها از هیپوکلرید سدیم (NaOCl) (یکی از ضدغذنی کننده‌های منابع آب) به عنوان اکسیدکننده استفاده کردند. با افزایش تدریجی غلظت ماده اکسیدکننده شدت فلورسننس کاهش یافت. با رسیدن غلظت ماده اکسیدکننده به ۲۰۰ میکروگرم بر لیتر شدت فلورسننس اورانین به  $\frac{4}{4}$  درصد مقدار اولیه خود رسید. شکل‌های ۱۱-۲ و ۱۲-۲ تغییرات شدت فلورسننس اولیه اورانین و سولفورودامین G را با اضافه کردن هیپوکلرید سدیم نشان می‌دهند. هم چنین با افزایش زمان ماندگاری، عامل اکسیدکننده در محلول شدت فلورسننس بیشتر کاهش می‌یابد. بنابراین زمان، عامل مهمی در تغییرات شدت فلورسننس است (جدول ۴-۲).



شکل ۱۱-۲ - اثر هیپوکلرید سدیم بر روی شدت فلورسننس اورانین (Kola and Amataj ۲۰۰۶)



شکل ۱۲-۲ - اثر هیپوکلرید سدیم بر روی شدت فلورسنس سولفورود امین G (Kola and Amataj ۲۰۰۶)

جدول ۴-۲- تغییرات شدت فلورسنس سولفورودامین G با گذشت زمان (Kola and Amataj ۲۰۰۶)

| زمان (دقیقه) | شدت فلورسنس | غلظت (میکروگرم بر لیتر) | نام نمونه |
|--------------|-------------|-------------------------|-----------|
| .            | ۶,۲۶۱       | ۰,۱۰۰                   | TFSRG     |
| ۱۵           | ۳,۴۲۹       | ۰,۰۵۵                   | TFSRG     |
| ۳۰           | ۲,۱۱۴       | ۰,۰۳۴                   | TFSRG     |

## ۷-۲- جذب ردیاب‌ها توسط مواد رسوبی

در ردیابی، مقاومت و پایداری در برابر جذب یکی از مهمترین پارامترها برای انتخاب ردیاب مناسب است. فرایند جذب ردیاب توسط رسوبات برگشت ناپذیر است (Smart and Laidlaw ۱۹۷۷). به دلیل اهمیت این موضوع، تست‌های آزمایشگاهی زیادی توسط محققین انجام شده است. تکنیک مورد استفاده در اکثر این آزمایش‌ها استفاده از ستون شستشو بوده که به دلیل تفاوت در غلظت ردیاب‌ها و هم چنین تکنیک آزمایشگاهی و رسوبی که مورد استفاده قرار گرفته نمی‌توان نتایج این تحقیقات را به یکدیگر تعمیم داد. از جمله این آزمایش‌ها می‌توان به تحقیقات زیر اشاره نمود:

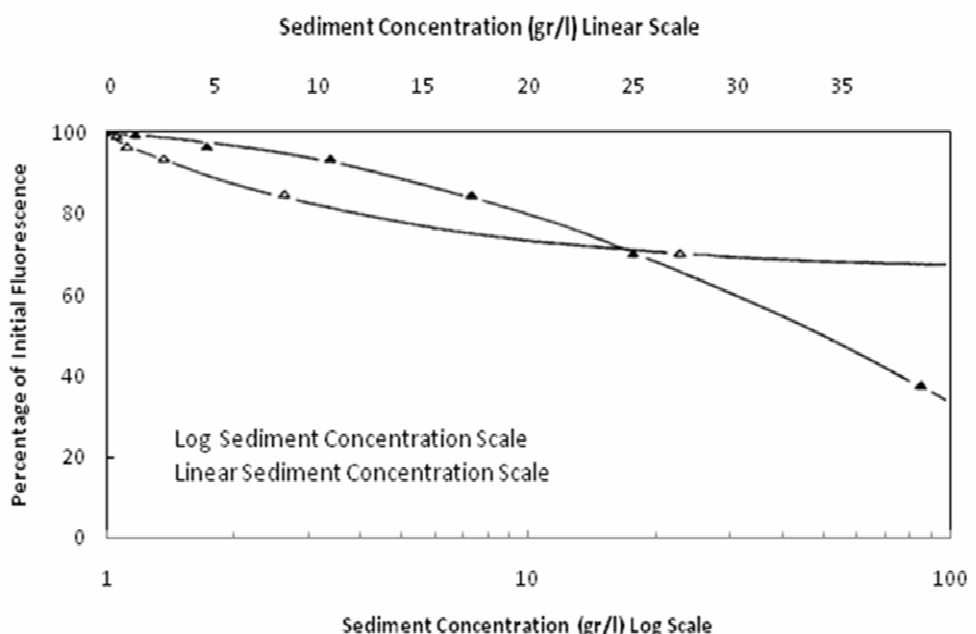
Dole and Fuller ۱۹۰۶, Feuerstein and Selleck ۱۹۶۳, Wright and Collings ۱۹۶۴, Watt ۱۹۶۵, Scanlan ۱۹۶۸, Talbot and Henry ۱۹۶۸, Scott et al. ۱۹۶۹, Smart and Lidlaw ۱۹۷۷, Tanthapanichakoon et al. ۲۰۰۵, Mon et al. ۲۰۰۶ Liu et al. ۲۰۰۷ Müller et al. ۲۰۰۸.

در اکثر تحقیقات یکی از دو روش زیر بکار گرفته شده است:

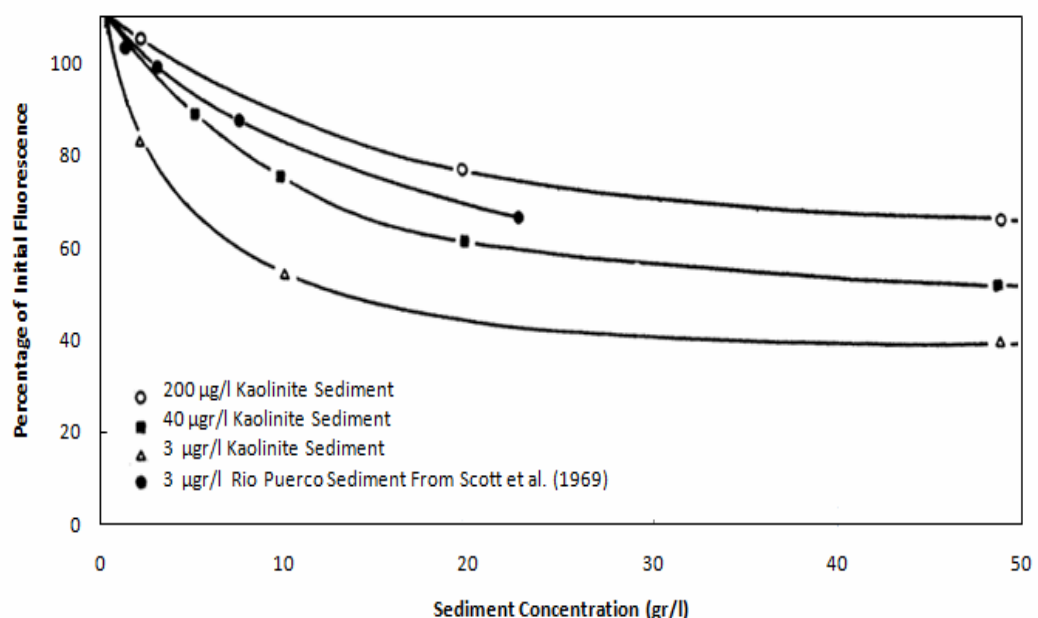
یکی از روش‌های متداول تخمین میزان جذب روش محلوط کردن<sup>۱</sup> نامیده می‌شود و در آن مقدار مشخصی از رسوب را با غلظت معینی از ردیاب به مدت ۱۲۰ دقیقه، به هم زده و اجازه داده می‌شود که ردیاب با رسوب به تعادل برسد. سپس به وسیله دستگاه سانتریفیوژ یا فیلتر، مواد رسوبی را از آب

جدا کرده و غلظت ردیاب اندازه‌گیری می‌شود. به این ترتیب درصد ردیاب جذب شده به دست خواهد آمد. موادی که در آزمایشگاه به عنوان جذب کننده ردیاب به کار گرفته می‌شوند رسوباتی می‌باشند که از الک شماره ۲۰۰ (ذرات با قطر کمتر از ۰/۰۷۵ میلی‌متر) عبور کرده‌اند. رسوبات بکار گرفته شده در این آنالیزها می‌توانند از مواد مختلفی مثل کوارتز، کربنات، کائولینیت، بنتونیت و ... تشکیل شده باشند.

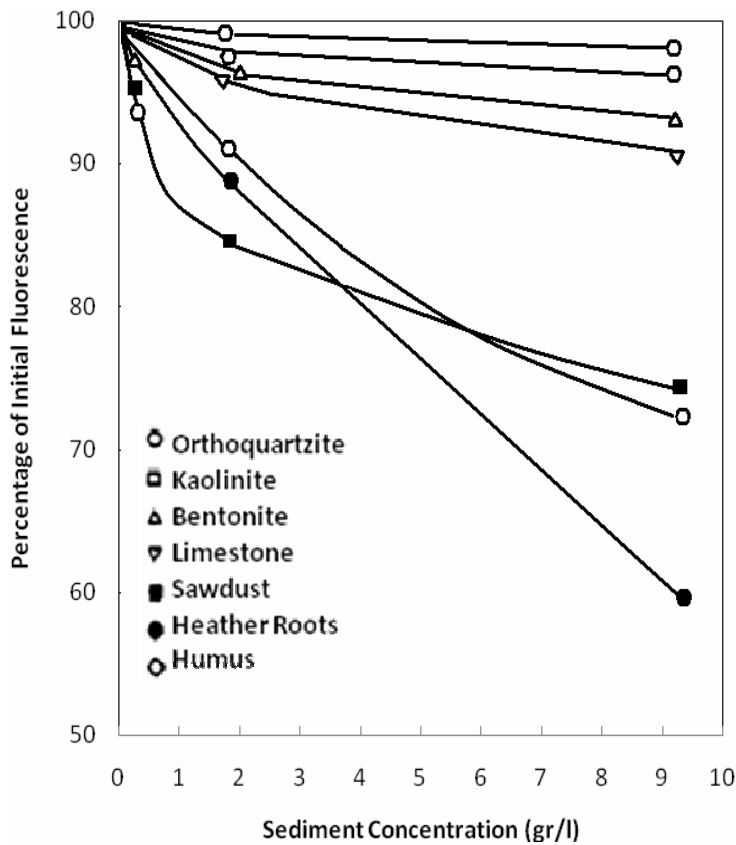
فاکتورهای مختلفی که میزان جذب را در چنین سیستمی کنترل می‌کنند شامل pH، دما، کیفیت آب، غلظت ردیاب، مقدار رسوب، نوع رسوب و نوع ردیاب است (Smart and Laidlaw ۱۹۷۷). اسکات و همکاران (Scott et al. ۱۹۶۹) اثر مقدار رسوب را بر روی میزان جذب رودامین B بررسی کردند (شکل ۱۳-۲). شکل ۱۴-۲ نیز که توسط إسمارت و لیدلا (Smart and Laidlaw ۱۹۷۷) به دست آمده اثر غلظت اولیه ردیاب را بر روی میزان جذب نشان می‌دهد. شکل ۱۵-۲ نیز درصد جذب لیسامین FF را در هفت نوع رسوب مختلف نشان می‌دهد که توسط همین دو محقق ارائه شده است. تحقیقات فوق الذکر نشان می‌دهد که ردیاب‌ها توسط محیط رسوبی جذب می‌شوند. میزان جذب ردیاب‌ها با توجه به نوع ردیاب، غلظت اولیه آن و نوع رسوبات متفاوت است و افزایش مقدار رسوب منجر به افزایش جذب ردیاب توسط محیط می‌شود.



شكل ٢-١٣ - اثر مقدار رسوب بر میزان جذب رود امین B (Scott et al. ١٩٦٩)



شكل ٢-١٤ - اثر مقدار رسوبات معلق بر درصد جذب رود امین B (Smart and Lidlaw ١٩٧٧)



شکل ۱۵-۲ - درصد جذب لیسامین FF در هفت نوع رسوب مختلف (Smart and Lidlaw ۱۹۷۷)

## ۸-۲- تداخل ردیاب‌ها با یکدیگر

بررسی تداخل ردیاب‌ها با یکدیگر بیشتر در مورد ردیاب‌های فلورسنت مطرح شده است. تداخل در ردیاب‌های فلورسنت زمانی مطرح می‌شود که طول موج پرتودهی آن‌ها به یکدیگر نزدیک باشد. در این حالت پیک پرتودهی دو ردیاب با یکدیگر تداخل پیدا کرده و بسادگی نمی‌توان غلظت هریک از آن‌ها را به تنها‌یی مشخص کرد.

روش‌های متفاوتی برای حذف تداخل ردیاب‌ها با یکدیگر وجود دارد که به عنوان مثال روش‌های کروماتوگرافی، روش‌های محاسباتی و عملیات جداسازی نوری را می‌توان نام برد. بعضی از روش‌ها شامل اقداماتی می‌شود که به صورت عملیات تکمیلی شیمیایی بر روی نمونه و استاندارد مربوط به آن صورت می‌گیرد. در اینجا به روش‌های جداسازی نوری بر اساس تغییرات pH که توسط محققین ارائه شده است اشاره می‌شود. برای تعیین ائوزین در کنار اورانین بنیشکه (Benischke ۲۰۰۱) به این

نتیجه رسید که با اسیدی کردن محلول تا pH حدود پنج، فلورسنس اورانین که با اوزین تداخل ایجاد می‌کند از بین رفته و پیک اوزین قابل مشاهده خواهد بود. تعیین رودامین B در کنار اوزین با کاهش pH محلول تا حدود دو به منظور حذف فلورسنس اوزین صورت می‌گیرد. هم چنین برای تعیین شدت فلورسنس اورانین در کنار اوزین محلول را تا pH دو، اسیدی و سپس فلورسنس اورانین با طول موج برانگیختگی ۴۴۰ نانومتر و پرتودهی ۵۱۵ نانومتر اندازه‌گیری شود.

## ۹-۲- اثر مخلوط‌های شستشوی ذغال بر ردیاب‌های فلورسنت

به منظور نمونه برداری توسط ذغال، کیسه‌های حاوی چند گرم ذغال فعال را در مناطق نمونه برداری درون منابع آبی (چاه، چشم، رودخانه و ...) قرار داده و در فواصل زمانی مشخص آنها را تعویض می‌کنند. در واقع ردیاب‌های فلورسنت جذب سطح دانه‌های ذغال شده و پس از انتقال به آزمایشگاه به وسیله مخلوط‌های شستشو از سطح ذغال شسته و آنالیز می‌شوند.

با توجه به اثر حلal بر ویژگی فلورسنس ردیاب‌ها به دلیل اثر مخلوط شستشوی اتانول و هیدروکسید پتاسیم طول موج حداکثر پرتودهی اورانین به حدود ۵۲۰ نانومتر و برای اوزین به حدود ۵۴۵ نانومتر تغییر می‌کند. همچنین در اثر مخلوط شستشوی دی‌متیل‌فرم‌آمید N-N به طول موج حداکثر پرتودهی اورانین به ۵۳۰ نانومتر، اوزین به ۵۵۰ نانومتر، آمیدورو‌دامین G به ۵۶۰-۵۵۵ نانومتر، رودامین B به ۵۷۵ تا ۵۸۲ نانومتر و تینوپال CBSX به ۴۳۲-۴۰۴ نانومتر تغییر می‌یابد (Benischke ۲۰۰۵). با توجه به این نتایج وجود مخلوط شستشو در محلول می‌تواند منجر به تغییر در طول موج برانگیختگی و پرتودهی در ردیاب‌های فلورسنت شود.

### فصل سوم

ردیابها، مواد، سیستم‌های سنجش، و اسنجمی و روش  
انجام آزمایش‌ها

### ۳-۱- ردیاب‌های مورد بررسی در این پژوهش

ردیاب‌های مورد بررسی در این پژوهش عبارتند از:

الف) ردیاب‌های رنگی

- ردیاب‌های فلورسنت: شامل اورانین، ائوزین و رودامین B

- ردیاب رنگی غیر فلورسنت: پرمنگنات پتاسیم

ب) ردیاب‌های شیمیایی: کلرید سدیم و کلرید پتاسیم

#### الف- اورانین

نام تجاری: اورانین، طول موج بیشترین برانگیختگی<sup>۱</sup>: ۴۹۰ نانومتر، طول موج بیشترین پرتودهی:

۵۱۲ نانومتر، شماره راهنمای رنگ: ۴۵۳۵۰، فرمول مولکولی:  $C_2H_1O_5Na_2$ ، وزن مولکولی: ۳۷۶/۲۷

گرم بر مول، نقطه ذوب: ۳۹۵ - ۳۱۵ درجه سانتی گراد.

اورانین برای اولین بار در سال ۱۸۷۷ ساخته شد و در همان سال به عنوان یک ردیاب در رودخانه دانوب مورد استفاده قرار گرفت. ساختمان مولکولی اورانین در شکل ۱-۳ ارائه شده است. اورانین به صورت پودر نارنجی رنگ است که به خوبی در آب حل و ایجاد رنگ قرمز متمایل به زرد می‌نماید که نور فلورسنت شدیدی به رنگ سبز مایل به زرد تولید می‌کند. این ماده در محلول‌های با غلظت بیش از یک میلی‌گرم بر لیتر به رنگ سبز فسفری دیده می‌شود. در غلظت کمتر از یک میلی‌گرم بر لیتر با استفاده از یک لامپ فرابینفس قابل تشخیص می‌باشد. اورانین هم چنین در اتانول و دی‌متیل‌فرم‌آمید به راحتی قابل حل است. این ماده بوی مخصوصی ندارد و در غلظت‌های بالا نور فلورسنس ایجاد شده توسط خود جذب می‌گردد که به آن اثر خود فیلتری گویند. بنابراین شدت فلورسنت تنها موقعی به طور دقیق قابل اندازه‌گیری است که غلظت محلول کمتر از صد میکرو‌گرم بر لیتر، باشد در

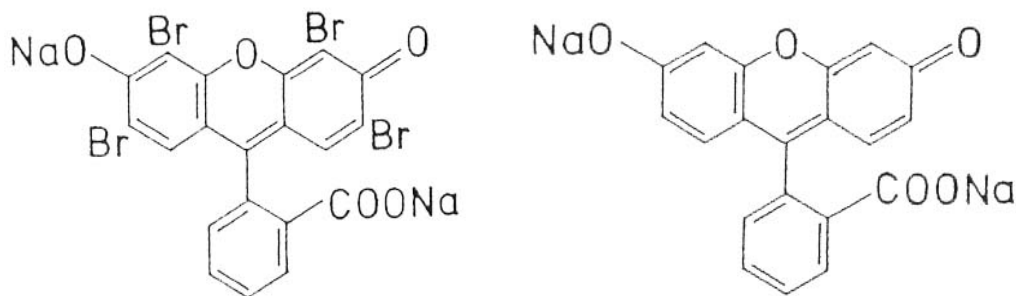
۱- طول موج حداکثر برانگیختگی و پرتودهی برای ردیاب‌های فلورسنت در آزمایشگاه بدست آمده است.

غیر این صورت محلول باید رقیق شود. اسمارت (Smart ۱۹۸۴) از این ماده برای تشخیص بیماری‌های چشمی استفاده کرد. طبق تحقیقات کلارک و بایرن (Clark and Byron ۱۹۸۵) و همچنین نیون و بایرن (Niven and Byron ۱۹۹۰) پودر اورانین توسط شش‌ها جذب می‌شود.

### ب- ائوزین

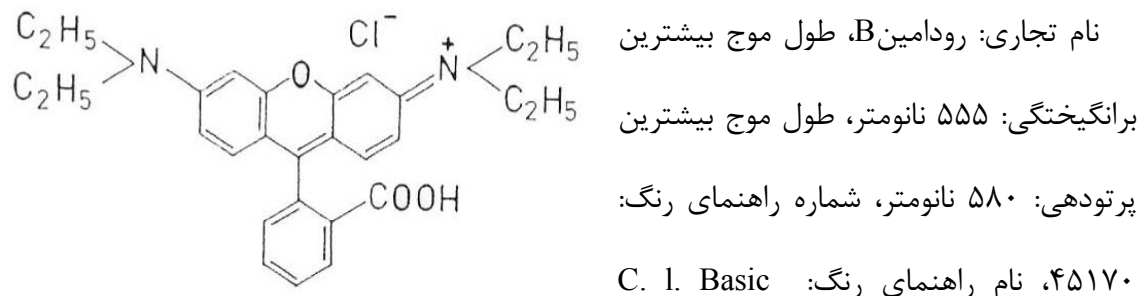
نام تجاری: ائوزین، طول موج بیشترین برانگیختگی: ۵۱۵ نانومتر، طول موج بیشترین پرتودهی: ۵۳۷ نانومتر، شماره راهنمای رنگ: ۴۵۳۸۰، نام راهنمای رنگ: C.I Acid Red ۸۷، فرمول ملکولی:  $C_2H_6Br_2N_2Na_2O_9$ ، وزن ملکولی: ۶۹۱/۹۱ گرم بر مول، نقطه ذوب: ۲۹۶ درجه سانتی‌گراد.

شکل ۲-۳ ساختمان مولکولی ائوزین را نشان می‌دهد. ائوزین به شکل پودر با کریستال‌های قرمز متمایل به آبی است. محلول غلیظ آن به رنگ قرمز متمایل به قهوه‌ای و محلول رقیق آن به رنگ قرمز متمایل به زرد با فلورسنس متمایل به سبز می‌باشد این ماده به خوبی در آب و دی‌متیل‌فرم‌آمید قابل حل می‌باشد. میزان حلalیت آن در الکل کم و در اتر غیر قابل حل است و بوی مخصوصی ندارد. ائوزین در لوازم آرایش، داروها و صنعت برای رنگ‌آمیزی مورد استفاده قرار می‌گیرد.



شکل ۱-۳ - ساختمان مولکولی اورانین  
شکل ۲-۳ - ساختمان مولکولی ائوزین

### پ- رودامین B



۱۰. Violet، فرمول مولکولی:  $C_{28}H_{31}ClN_2O_2$ ، وزن مولکولی: ۴۷۹/۰۲ گرم بر مول، نقطه ذوب: ۱۶۵

درجه سانتی گراد. شکل ۳-۳ ساختمان مولکولی رودامین B را نشان می‌دهد.

شکل ۳-۳ - ساختمان مولکولی رودامین B

این ماده رنگی به صورت پودری به رنگ سبز تیره و یا به صورت کریستال‌های ارغوانی متمایل به قرمز می‌باشد. در غلظت بیش از ۱۰ میکروگرم بر لیتر با چشم غیر مسلح قابل دیدن است. برای اندازه‌گیری دقیق میزان رنگ در غلظت‌های بیش از ۱۰۰ میکروگرم بر لیتر لازم است محلول رقیق گردد. میزان حلایت آن در آب بسیار بالا است و رنگ قرمز متمایل به آبی تولید می‌نماید. هم چنین میزان حلایت آن در الکل و دی‌متیل فرم آمید بسیار زیاد بوده و خیلی کم در NaOH و HCl حل می‌شود. شکل ۴-۳ محلول‌های اورانین، ائوزین و رودامین B را با غلظت ۱۰ میلی‌گرم بر لیتر نشان می‌دهد.



شکل ۴-۳ - محلول‌های مادر ائوزین، رودامین، با غلظت ۱۰ میلی‌گرم بر لیتر به ترتیب از راست به چپ  
ت- کلرید سدیم

فرمول مولکولی:  $\text{NaCl}$ ، وزن مولکولی: ۵۸/۴۴ گرم بر مول، نقطه ذوب: ۸۰۰/۸ درجه سانتی‌گراد. نمک خوراکی یکی از فراوان‌ترین ترکیب‌های موجود در آب‌های آزاد و عامل اصلی شوری آب دریاها و دریاچه‌ها است. به دلیل آسانی دسترسی به آن، بهای اندک و شیوه ساده اندازه‌گیری، یکی از پرکاربردترین ردیاب‌های شیمیایی در مطالعات منابع آب می‌باشد. میزان زمینه آن در آب‌های زیرزمینی بالا بوده و به همین دلیل در آزمون‌های ردیابی نیاز به استفاده از مقادیر زیاد آن می‌باشد. اتحال نمک خوراکی در محیط آبی منجر به آزاد شدن یون‌های کلر و سدیم شده که این مسئله سبب می‌شود هدایت الکتریکی آب افزایش یابد. اندازه‌گیری هدایت الکتریکی روش بسیار مناسبی برای سنجش شوری آب و درنتیجه میزان نمک آن می‌باشد. میزان اتحال نمک خوراکی در آب بالا بوده و می‌تواند تا بیش از یک سوم وزن آب در آن حل شود.

### ث- کلرید پتاسیم

فرمول مولکولی:  $\text{KCl}$ ، وزن مولکولی: ۷۴/۵۵ گرم بر مول، نقطه ذوب: ۷۷۶ درجه سانتی‌گراد. کلرید پتاسیم یکی از ترکیب‌های شیمیایی است که در ردیابی آب‌های زیرزمینی به کار گرفته

می‌شود. از امتیازهای این نمک همچون نمک خوراکی معمولی می‌توان به ارزان بودن نسبی و حل شدن آسان آن در آب اشاره نمود. پیشینه نمک پتاسیم در ردیابی آب‌های زیرزمینی به اندازه نمک خوراکی نبوده ولی یکی از امتیازهای این ردیاب نسبت به نمک خوراکی، کم بودن میزان زمینه یون پتاسیم نسبت به یون سدیم در آب‌های زیرزمینی است که در نتیجه احتمال خطا در مرحله تفسیر نتایج ردیابی کمتر خواهد شد.

### ج- پرمنگنات پتاسیم

فرمول مولکولی:  $\text{KMnO}_4$ ، وزن مولکولی: ۱۵۸/۰ گرم بر مول، نقطه ذوب: ۲۴۰ درجه سانتی‌گراد، حلایت در آب: ۷ گرم در ۱۰۰ گرم آب.

پرمنگنات یک اکسیدکننده قوی است که در سال ۱۶۵۹ کشف شد و به عنوان یک اکسیدکننده می‌تواند به یک عنصر یا ترکیب اکسیژن اضافه نموده یا از آن هیدروژن یا الکترون حذف کند. محلول آن به رنگ بنفش بوده و می‌تواند آهن و منگنز محلول موجود در آب آشامیدنی را اکسید نماید. حاصل این واکنش نامحلول بوده و می‌توان به کمک صافی آن را از محیط خارج نمود. شکل ۳-۵ محلول پرمنگنات را در غلظت‌های گوناگون نشان می‌دهد.



شکل ۳-۵- محلول پرمنگنات پتاسیم از غلظت ۱۰۰۰ تا ۱۰ میلیگرم بر لیتر

کمترین غلظت قابل مشاهده آن با چشم غیر مسلح، حدود ۹/۰ میلی گرم در لیتر می‌باشد. پرمنگنات دارای کاربردهای گسترهای از تصفیه آب آشامیدنی گرفته تا تولیدات دارویی می‌باشد. در تصفیه آب آشامیدنی برای اکسید نمودن آهن، منگنز، سولفید هیدروژن و آرسنیک و هم چنین برای

حذف مزه و بوی نامطبوع و نیز ضد عفونی کردن به کار می‌رود. از دیگر کاربردهای پرمونگنات استفاده از آن به منظور پاکسازی آب‌های زیرزمینی و خاک‌های آلوده به مواد آلی می‌باشد (Draw ۱۹۶۸).

### ۲-۳- مواد مورد استفاده در آنالیزها

کلیه ردیاب‌ها و مواد مورد استفاده در این پژوهش استاندارد بوده و از محصولات کارخانه Merck تهیه و بکار گرفته شده و شامل موارد زیر می‌باشند:

NaOH و KCl و به منظور بررسی اثر شوری حاصل از این دو نوع نمک بر ردیاب‌ها، HCl و NaOH به منظور بررسی ردیاب‌ها در محیط اسیدی و قلیایی، هم چنین به منظور بررسی اثر کلر حاصل از تصفیه آب بر ردیاب‌ها نیز از آب خروجی کلر زده شده تصفیه خانه شماره ۳ تهران استفاده گردید. در آنالیز بررسی اثر مخلوط‌های شستشو بر ردیاب‌های فلورسنت، مخلوط‌های شستشو با روش زیر تهیه شده و مورد استفاده قرار گرفتند.

- تهیه مخلوط شستشو A: این مخلوط در واقع برای شستشوی اورانین و ائوزین بکار می‌رود و از مخلوط کردن مواد زیر به نسبت یک به یک به دست می‌آید:

۱- اتانول٪ ۹۶ ۲- هیدروکسید پتاسیم٪ ۱۵

تهیه هیدروکسید پتاسیم ۱۵٪ با توزین و به حجم رساندن مقدار مشخصی از پودر جامد سفید رنگ KOH با توجه به جرم مولکولی آن ( $M=56,11$ ) صورت گرفت.

- تهیه مخلوط شستشو B: از این مخلوط شستشو برای سایر ردیاب‌های فلورسنت استفاده می‌شود که از مخلوط کردن دو محلول زیر به دست می‌آید:

۱- دی‌متیل فرم‌آمید N-N٪ ۸۰ ۲- آب مقطر٪ ۲۰

### ۳-۳- سیستم‌های سنجش آزمایشگاهی

#### الف- سنجش pH

اندازه‌گیری pH محلول‌ها با دستگاه CyberScan ۵۰۰ متر pH صورت گرفت. قبل از هر آزمایش دستگاه با استفاده از محلول تامپون با pH برابر با ۴ در ۲۵ درجه سانتی‌گراد و محلول تامپون با pH برابر ۷ در ۲۵ درجه سانتی‌گراد کالیبره می‌شد تا از صحت نتایج اندازه‌گیری‌ها اطمینان حاصل شود.

#### ب- سنجش هدایت الکتریکی

سنجش هدایت الکتریکی نمونه‌ها به وسیله دستگاه هدایت سنج HACH – Sension ۱۵۶ صورت گرفت. هدایت الکتریکی ویژه آب عکس مقاومت الکتریکی آن است. واحد آن  $\mu\text{s}/\text{cm}$  می‌باشد و معمولاً بر اساس دمای ۲۵ درجه سانتی‌گراد گزارش می‌شود. غلظت و نوع املاح محلول و دمای آب در هدایت الکتریکی مؤثر می‌باشد. برای واسنجی دستگاه از محلول استاندارد کلرید پتاسیم  $0.1 \text{ g/l}$  مولار استفاده می‌گردد. این محلول برای استفاده در دمای ۲۵ درجه سانتی‌گراد و به عنوان محلول مرجع جهت تعیین ضریب ثابت سلول یا الکترود بکار بردہ می‌شود و دارای هدایت الکتریکی ویژه  $1413 \text{ mS/cm}$  بر سانتی‌متر است. سهولت استفاده و دقیقی این دستگاه از مزایای اصلی آن می‌باشد.

#### پ- سنجش کلر

به منظور اندازه‌گیری میزان کلر باقی‌مانده ناشی از تصفیه آب، از کیت سنجش کلر باقی‌مانده ساخت شرکت کاریزاب (مدل ۴۴۵۰) استفاده شد. دامنه اندازه‌گیری این دستگاه ۱-۵ میلی‌گرم بر لیتر و دقیقی این دستگاه  $0.1 \text{ mg/l}$  می‌باشد. روش اندازه‌گیری این دستگاه بر اساس مقایسه رنگ

نمونه با محلول مرجع موجود در دستگاه می‌باشد. به این ترتیب پس از ریختن نمونه در دستگاه و اضافه کردن مقدار مشخصی از محلول‌های معرف، رنگ نمونه متناسب با مقدار کلر آن تغییر می‌کند.

### ت- سنجش شدت فلورسنس

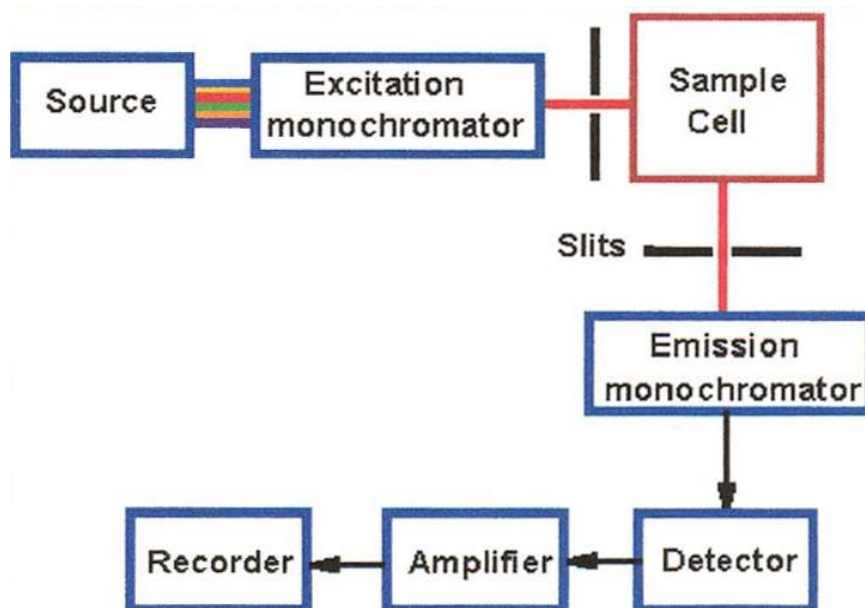
برای اندازه‌گیری نمونه‌های فلورسنت از اسپکتروفلوئوروفتوومتر<sup>۱</sup> Shimadzu مدل RF-150۱ استفاده شد (شکل ۳-۶). روش اندازه‌گیری فلورسنس توسط این دستگاه به این صورت است که با توجه به نوع ردیاب، طول موج پرتودهی و برانگیختگی تنظیم شده و سپس نمونه آب مورد نظر داخل سلول کوارتزی ریخته می‌شود. با تابش نور به نمونه، طول موج و شدت نور باز تابش شده از نمونه توسط دستگاه اندازه‌گیری می‌شود. اندازه‌گیری شدت فلورسنس توسط این دستگاه با دقت و سرعت بالا امکان‌پذیر است. اما گرانی و پیچیدگی نسبی، مانع استفاده متداول آن است.



شکل ۳-۶ - اسپکتروفلوئوروفتوومتر RF-150۱

۱- Spectrofluorophotometer

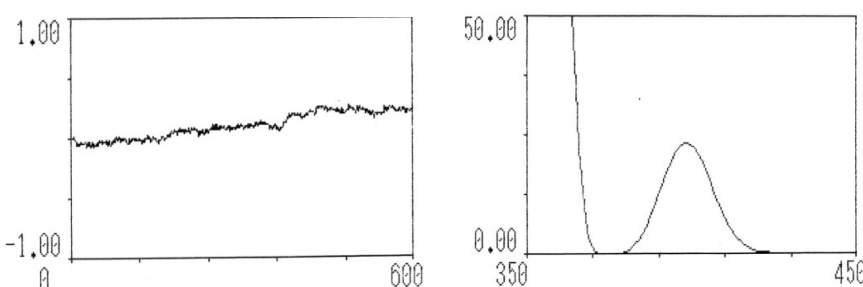
روش فلوریمتری<sup>۱</sup> مهمترین و مطمئن‌ترین روش در سنجش ردیاب‌های فلورسنت است که با پیشینه‌ای بیش از یک سده، امروزه در ردیابی منابع آب به کار گرفته می‌شود. در این بخش با توجه به کاربرد بسیار گسترده‌ای که ردیاب‌های فلورسنت در روش‌های ردیابی دارند و با توجه به کاربرد منحصر به فرد روش فلوریمتری در سنجش ردیاب‌های مزبور، کلیات روش اسپکتروفلوئوریمتری مرور خواهد شد. اساس روش فلورومتری بر این اصل استوار است که حالت الکترونی<sup>۲</sup> یک مولکول بر اثر دریافت تابش‌های الکترومنغناطیس، افزایش تراز یافته و مولکول در بازگشت به حالت اولیه<sup>۳</sup> خود انرژی گرفته شده را بازتابش می‌دهد (شکل ۷-۳). این روش فلورومتری بیشتر در بازه طول موج ۲۰۰۰ و ۸۰۰۰ انگستروم بوده و دو طول موج‌های برانگیختگی<sup>۴</sup> و پرتودهی<sup>۵</sup> از ویژگی‌های یک محلول برای شناسایی آن خواهد بود (Benischke ۲۰۰۵).



شکل ۷-۳ - دیاگرام شماتیک یک اسپکتروفلوئوریتر و اجزاء آن (Benischke ۲۰۰۱)

- 
- ۱- Fluorometry
  - ۲- Electronic state
  - ۳- Ground state
  - ۴- Excitation wavelength
  - ۵- Emission wavelength

انواع گوناگونی از فلوریمترهای ساده تا دستگاه‌های پیچیده مثل دستگاه اسپکتروفلوروفوتومتر ممکن است برای سنجش فلوریمتری به کار گرفته شوند ولی همه آن‌ها از چهار بخش کلی تشکیل شده‌اند: الف: چشم‌های انرژی برانگیختگی، ب: اتاقک<sup>۱</sup> نمونه، پ: آشکارساز برای اندازه‌گیری پرتودهی، ت: یک جفت صافی<sup>۲</sup> برای گزینش طول موج‌های برانگیختگی و پرتودهی. سنجش‌های فلوریمتری معمولاً با استفاده از نمونه‌های استاندارد و واسنجی انجام شده و میزان شدت فلورسنس نمونه‌ها نسبت به فلورسنس نمونه‌های استاندارد سنجیده و غلظت آن‌ها اندازه‌گیری می‌شود. به منظور پایش عملکرد و ارزیابی دقیق دستگاه اسپکتروفلوریمتر، اندازه‌گیری طیف رامان<sup>۳</sup> آب مقطر و سنجش میزان سیگنال به نویز دستگاه پیش از آغاز اندازه‌گیری‌های فلوریمتری در آزمایشگاه مربوطه انجام می‌پذیرد. مقادیر بلندی پیک<sup>۴</sup> و نسبت سیگنال به نویز<sup>۵</sup> نشانگر کارآبی و دقیق دستگاه می‌باشند (شکل ۸-۳).



شکل ۸-۳ - اندازه‌گیری سیگنال به نویز اسپکتروفلوروفوتومتر پیش از سنجش جهت ارزیابی دستگاه

میزان قابل قبول برای S/N مقادیر بیشتر از ۳۰۰ بوده و محدوده مجاز بلندی پیک نیز  $35 \pm 15$  می‌باشد. استفاده از آب آلوده یا با خلوص پایین منجر به افزایش میزان نویز خواهد شد. در چنین مواردی پس از شستشوی سلول نمونه و یا سروپس کردن دستگاه توسط متخصصین مربوطه مجدداً

۱- Cuvette

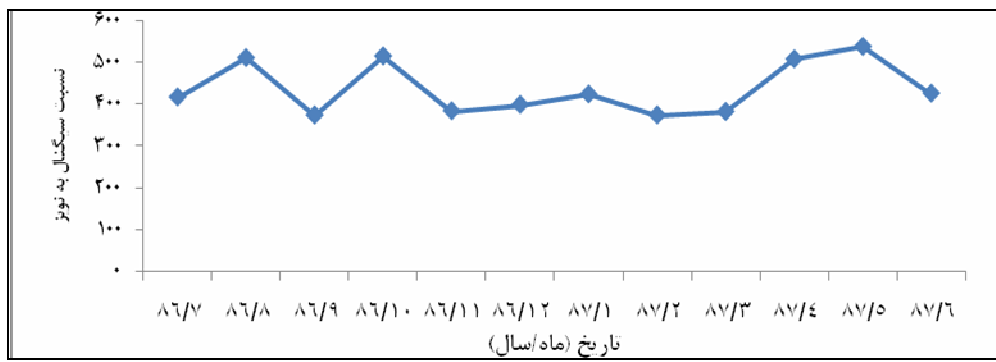
۲- Filter/monochromator

۳- Raman Spectrum

۴- Peak Height

۵- Signal to Noise

S/N دستگاه اندازه‌گیری می‌گردد تا به حد قابل قبول خود برسد و از صحت نتایج دستگاه بتوان اطمینان حاصل کرد. در مراحل مختلف تحقیقات قبل از شروع آزمایش به منظور ارزیابی دستگاه نسبت S/N دستگاه اندازه‌گیری می‌شد (شکل ۳-۹). به منظور اندازه‌گیری شدت فلورسنس ردیاب‌ها با استفاده از این دستگاه حالت‌های متفاوتی از پهنه‌ای باند<sup>۱</sup> و حساسیت<sup>۲</sup> مورد ارزیابی قرار گرفت و در نهایت پهنه‌ای باند ۲۰ و حساسیت بیشینه به عنوان حالت پایه برای دستگاه در نظر گرفته و تمام اندازه‌گیری‌ها در این حالت انجام شد.



شکل ۳-۹ - تغییرات سیگنال به نویز دستگاه در طول مدت انجام آنالیزها

### ث- دستگاه اسپکتروفوتومتر

روش اسپکتروفوتومتری برای سنجش غلظت پرمنگنات مورد استفاده قرار گرفت. در این روش از دستگاه اسپکتروفوتومتر مدل Hach DR-2010 استفاده شد (شکل ۳-۱۰). این دستگاه توسط یک ریز پردازنده قوی کنترل می‌شود و یک اسپکتروفوتومتر با تابش انفرادی<sup>۳</sup> می‌باشد که برای ۱۲۰ برنامه اندازه‌گیری واسنجی شده است. برای اندازه‌گیری غلظت پرمنگنات توسط این اسپکتروفوتومتر از روش رنگ‌سنجی استفاده شد. در حقیقت هنگامی که مواد محلول یا معلق موجود در آب زیاد باشند، آب

۱- Bandwidth

۲- Sensitivity

۳- Single beam

حالت رنگی به خود می‌گیرد. به رنگ ناشی از مواد محلول که بعد از جدا کردن مواد معلق باقی می‌ماند، رنگ حقیقی گویند و به رنگ ناشی از مواد معلق، رنگ ظاهری گویند.



شکل ۳-۱۰ - اسپکتروفتوومتر Hach DR/۲۰۱۰

در این روش به منظور مقایسه رنگ در نمونه‌های آب ابتدا باید آن‌ها را از فیلتر عبور داد تا رنگ ظاهری خود را از دست بدهند. به این ترتیب نتایج بر اساس واحد رنگ حقیقی<sup>۱</sup> بیان می‌شود. تا دهه ۱۸۹۰ مقیاس مناسبی برای اندازه‌گیری رنگ وجود نداشته و تفسیرهای بسیار زیادی در این مورد ارائه می‌گردید. در سال ۱۸۹۲، یک شیمیدان به نام هیزن یک ضریب برای رنگ آب، در انجمن بهداشت عمومی آمریکا<sup>۲</sup> معرفی کرد، که در آن یک واحد معادل رنگ تولید شده توسط یک میلی‌گرم بر لیتر پلاتین به شکل یون‌های کلروپلاتینات می‌باشد (امیربیگی ۱۳۸۲).

هیزن مقیاس رنگ Apha یا Hazen یا PtCo را با استفاده از یک محلول اسیدی از پتاسیم هگزاکلر-پلاتینات و کبالت کلراید<sup>۳</sup> تهیه کرد. به این ترتیب محلول‌های استانداردی در بازه ۰ تا ۵۰۰ میلی‌گرم بر لیتر از پلاتینیم کبالت تعیین شد تا بتوان از آن‌ها برای اندازه‌گیری شدت رنگ استفاده

۲- True Color Unit (T.C.U)

۱- American Public Health Association \_APHA

۳- Cobalt chloride

نمود. این محلول‌های استاندارد را می‌توان از شرکت‌های تجاری تهیه کرد (ASTM ۲۰۰۰). این ضریب برای تخمین آلودگی در فاضلاب و یک روش متداول برای مقایسه شدت رنگ در نمونه‌های آب دارای رنگ‌های زرد مایل به قهوه‌ای است. وجود نمک منگنز باعث رنگ قهوه‌ای در آب می‌شود (امیربیگی ۱۳۸۲).

### ۴-۳- روشهای بکارگرفته شده در آزمایش‌ها

در این بخش روشهای سنجش آزمایشگاهی معرفی خواهد شد. در هر مرحله از آنالیزها به منظور ارزیابی رفتار ردیاب با غلظت‌های متفاوت و اثر غلظت اولیه در نتیجه آزمایش‌ها، غلظت‌های مختلف و مشخص از هر ردیاب تهیه و مورد آزمایش قرار گرفت. این غلظت‌های اولیه بر مبنای رنج اندازه‌گیری دستگاه سنجنده هر ردیاب، و نوع آزمایش مورد نظر، انتخاب می‌شد. در کلیه آزمایش‌ها محلول‌ها با استفاده از آب مقطر تهیه و آنالیزها در دمای آزمایشگاه صورت گرفت.

روش بررسی اثر pH : به منظور بررسی اثر pH بر ردیاب‌ها، ابتدا محلول‌هایی با غلظت‌های اولیه pH مشخص از ردیاب مورد نظر تهیه کرده و سپس با استفاده از محلول‌های NaOH و HCl مقدار محلول را تغییر داده و در هر pH غلظت محلول‌ها با سیستم‌های سنجش مربوطه اندازه‌گیری و به این ترتیب نموداری از تغییرات غلظت ردیاب در pH های مختلف به دست آمد.

روش بررسی اثر نور خورشید: برای بررسی اثر نور خورشید بر ردیاب‌ها، نمونه‌های تحت بررسی در شرایط یکسان در معرض تابش نور خورشید قرار داده شدند. با گذشت زمان، غلظت هر ردیاب اندازه‌گیری و نتیجه به صورت نمودارهای غلظت-زمان به دست آمد. با استفاده از این نمودارها مقاومت هر ردیاب در برابر تابش نور خورشید ارزیابی گردید. در این آزمایش از هر نمونه یک شاهد به منظور مقایسه با نمونه‌های اصلی تهیه و در تاریکی قرار داده شد.

روش بررسی اثر دما: به منظور ارزیابی کارایی ردیابها در دماهای متفاوت، تغییرات دمایی بر نمونه‌ها اعمال و در هر مرحله با تغییر دما غلظت آن‌ها نیز اندازه‌گیری شد. به این ترتیب نموداری از رفتار ردیاب در دماهای مختلف به دست آمد. با استفاده از این نمودارها ضریب دمایی ردیابها به دست آمده و با یکدیگر مقایسه شد.

روش بررسی اثر شوری: برای بررسی اثر شوری بر کارایی ردیابها غلظت‌های مشخصی از هر ردیاب تهیه و به تدریج و به صورت جداگانه کلرید سدیم و پتاسیم به آن‌ها اضافه گردید. در هر مرحله غلظت ردیاب و هدایت الکتریکی محلول مورد سنجش قرار گرفت.

روش بررسی اثر کلر آزاد باقی مانده: به منظور بررسی اثر کلر باقی‌مانده حاصل از تصفیه آب بر ردیاب‌ها، غلظت‌های معینی از ردیابها با استفاده از آب حاوی کلر باقی‌مانده با غلظت ۱ میلی‌گرم بر لیتر تهیه و با گذشت زمان تغییرات غلظت هر کدام از آن‌ها بررسی شد. به منظور اندازه‌گیری غلظت اولیه ردیابها در محیط بدون کلر، نمونه‌های شاهد تهیه و به طور همزمان با نمونه‌های حاوی کلر اندازه‌گیری و در نهایت مقایسه صورت پذیرفت. به این ترتیب نموداری از تغییرات غلظت هر ردیاب در طول زمان با توجه به تاثیر وجود مقدار معینی کلر باقی‌مانده به دست آمد.

روش بررسی مقاومت در برابر جذب: برای این هدف از روش ستون رسوبی استفاده شد. در این روش مدلی تهیه شد که در نتیجه تغییر در میزان هد (ارتفاع آب)، آب با غلظت معینی از ردیاب از یک ستون رسوبی با دانه بندی مشخص عبور کرده و در نقطه خروجی مدل، نمونه برداری می‌شد. با توجه به مشخص بودن غلظت اولیه ردیاب و مقایسه با غلظت آن پس از عبور از ستون رسوبی، درصد ردیاب جذب شده توسط رسوبات به دست آمد.

روش بررسی اثر زمان: به منظور درک اثر گذشت زمان بر ویژگی‌های ردیاب‌های مورد بررسی، محلول‌هایی حاوی غلظت‌های مختلف از هر ردیاب تهیه و تحت شرایط یکسان در تاریکی و دمای

استاندارد نگهداری شدند. تغییرات غلظت ردیابها در دو دوره زمانی کوتاه و بلند مدت و با فواصل زمانی مشخص بررسی شد.

روش بررسی اثر آلودگی هیدروکربوری: برای بررسی اثر آلودگی مواد هیدروکربوری در آب زیرزمینی بر روی خواص ردیابها، ابتدا غلظت معینی از هر ردیاب تهیه و طی مراحل مختلف درصد مشخصی از نفت به آن‌ها اضافه شد. به این ترتیب در هر مرحله تغییرات ردیابها با افزایش درصد نفت مورد ارزیابی قرار گرفت.

روش بررسی اثر تداخل ردیابها با یکدیگر: برای اینکار با مخلوط کردن هر یک از ردیابها به نسبت‌های مختلف با یکدیگر، تغییرات خصوصیات طیفی و فیزیکی آن‌ها مورد بررسی قرار گرفت. این آنالیزها به طور جداگانه برای هر ردیاب به صورت تداخل آن ردیاب با سایر ردیابها انجام شد.

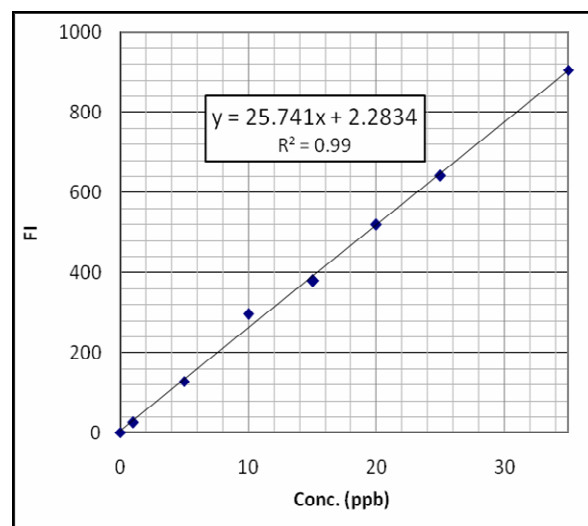
روش بررسی اثر مخلوط‌های شستشو بر ردیاب‌های فلورسنت: به منظور بررسی اثر مخلوط‌های شستشوی ذغال فعال بر خصوصیات طیفی ردیاب‌های فلورسنت ابتدا دو نوع مخلوط شستشوی مورد استفاده در آزمایش‌های ردیابی تهیه شد. پس از تهیه غلظت‌های معینی از اورانین، ائوزین و رودامین B با اضافه کردن این مخلوط‌ها به ردیابها طی دو مرحله، تغییرات خصوصیات طیفی ردیابها با بررسی منحنی‌های مربوط به پیک‌های برانگیختگی و پرتودهی مورد بررسی قرار گرفت.

### ۳-۵- واسنجی سیستم‌های سنجش

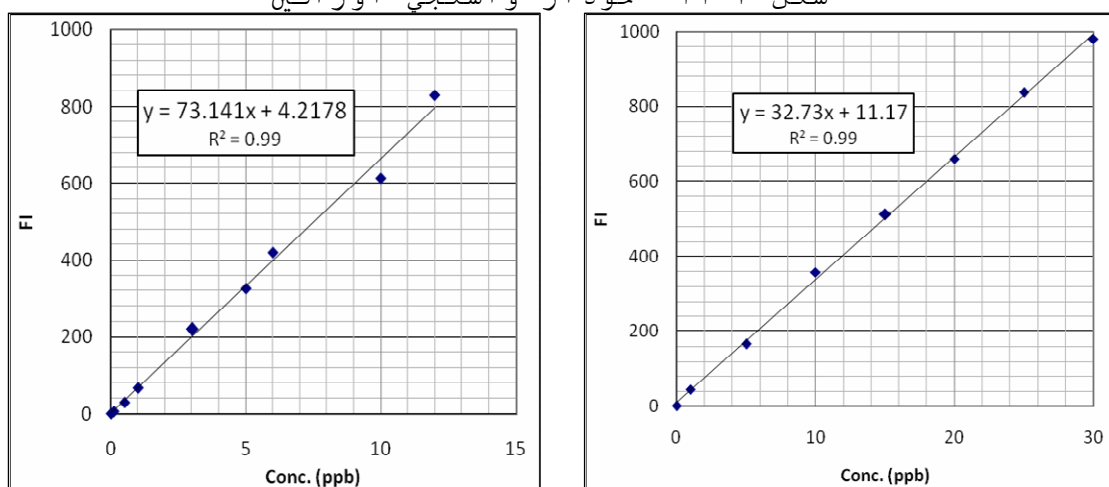
برای اندازه‌گیری غلظت ردیابها، باید نخست سیستم‌های سنجش را واسنجی کرد. به منظور تهیه نمودار واسنجی، غلظت ماده مورد نظر در برابر فاکتور قابل اندازه‌گیری توسط سیستم سنجنده به صورت نمودار رسم می‌شود. به این ترتیب سیستم‌های سنجنده با اندازه‌گیری پارامتر فیزیکی (مثلًاً شدت نور)، غلظت ردیاب یا پارامتر معادل آن را ارائه می‌دهند. این اندازه‌گیری‌ها در دمای استاندارد و در مدت زمان کوتاه انجام شد.

#### الف- واسنجی سیستم اسپکتروفلوریومتر

برای کالیبره کردن دستگاه اسپکتروفلوئوروفوتومتر ابتدا یک محلول مادر با غلظت ۱۰ میلی‌گرم بر لیتر تهیه می‌شود. در این مرحله غلظت‌های مشخصی از ردیاب مورد نظر با رقیق سازی محلول مادر در تهیه شده و شدت فلورسنس آن‌ها توسط دستگاه قرائت می‌شود. به این ترتیب نمودار واسنجی به دست خواهد آمد. از این پس با داشتن شدت فلورسنس مربوط به هر محلول مجھول، غلظت آن ردیاب به دست می‌آید. شکل‌های ۱۱-۳، ۱۲-۳ و ۱۳-۳ به ترتیب نمودارهای واسنجی اورانین، ائوزین و رودامین B را نشان می‌دهند.



شکل ۱۱-۳ - نمودار واسنجی اورانین



شکل ۱۲-۳ - نمودار واسنجی ائوزین

شکل ۱۳-۳ - نمودار واسنجی رودامین B

## ب- واسنجی هدایت سنج

برای واسنجی دستگاه Multi meter Hach با هدف اندازه‌گیری غلظت ردياب‌های کلرید سدیم، کلرید پتاسیم و پرمنگنات پتاسیم ابتدا یک محلول مادر با غلظت  $1\text{ g/l}$  ۱۰۰ تهیه شد. سپس غلظت‌های مشخصی از ماده مورد نظر با رقیق سازی محلول مادر تهیه و مقادیر هدایت الکتریکی مربوطه اندازه‌گیری شد. مقادیر هدایت الکتریکی مربوط به کلرید سدیم و پتاسیم در جدول ۱-۳ و پرمنگنات پتاسیم در جدول ۲-۳ ارائه شده است. نمودار تغییرات هدایت الکتریکی با غلظت طبق شکل‌های ۱۴-۳، ۱۵-۳ و ۱۶-۳ به دست آمد. به این ترتیب با استفاده از این نمودارها، غلظت تقریبی هر محلول با هدایت الکتریکی مشخص به دست می‌آید. با توجه به تمایل بیشتر برای یونیزاسیون در کلرید سدیم و پتاسیم نسبت به پرمنگنات پتاسیم، تغییرات هدایت الکتریکی با افزایش غلظت، در این دو محلول نسبت به پرمنگنات پتاسیم بیشتر است.

## پ- واسنجی اسپکتروفتومتر

برای این هدف با رقیق سازی یک محلول مادر با غلظت یک گرم بر لیتر، محلول‌هایی با غلظت‌های مختلف به دست آورده و در مرحله بعد شدت رنگ هر یک از نمونه‌ها اندازه‌گیری و نمودار مربوطه رسم شد. نتایج این اندازه‌گیری‌ها در جدول ۳-۳ و نمودار واسنجی در شکل ۳-۷ ارائه شده است. به این ترتیب نمودار تغییرات غلظت پرمنگنات با شدت رنگ، به دست آمد که با استفاده از این نمودارها غلظت نمونه‌های مجھول را می‌توان به دست آورد. معادلات نمودارهای واسنجی ردياب‌های مورد بررسی در جدول ۴-۳ ارائه شده است.

جدول ۱-۳- واسنجی کلرید سدیم و کلرید پتاسیم

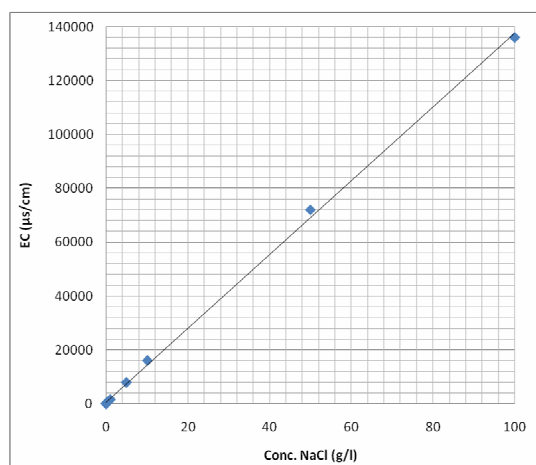
| کلرید سدیم<br>(gr/l) | هدایت الکتریکی<br>( $\mu\text{s}/\text{cm}$ ) | غلظت<br>( $\mu\text{s}/\text{cm}$ ) | کلرید پتاسیم<br>(gr/l) |
|----------------------|---|-------------------------------------|------------------------|
| ۰                    | ۱/۷۸  | ۰                                   | ۱/۷۸                   |
| ۰/۰۰۱                | ۵/۱۵  | ۰/۰۰۱                               | ۳/۶۹                   |

| كlorيد سدیم<br>(gr/l) | هدايت الکتریکی<br>(μs/cm) | غلظت (l) | كlorيد پتاسیم<br>(gr/l) | هدايت الکتریکی<br>(μs/cm) |
|-----------------------|---------------------------|----------|-------------------------|---------------------------|
| ٠/٠٠٥                 | ١٣/٠٧                     | ٠/٠٠٥    | ١٠/٥٣                   |                           |
| ٠/٠١                  | ٢٠/٠٧                     | ٠/٠١     | ١٩/٦٤                   |                           |
| ٠/٠٥                  | ٩٢/٤                      | ٠/٠٥     | ٨٤/٩                    |                           |
| ٠/١                   | ١٧٨/٤                     | ٠/١      | ١٧٤/٢                   |                           |
| ٠/٥                   | ٨٥٥                       | ٠/٥      | ٨٠٨                     |                           |
| ١                     | ١٧١٠                      | ١        | ١٦٥٦                    |                           |
| ٥                     | ٧٩٤٠                      | ٥        | ٧٥٢٠                    |                           |
| ١٠                    | ١٦٠٨٠                     | ١٠       | ١٥١٦٠                   |                           |
| ٥٠                    | ٧٢١٠٠                     | ٥٠       | ٧١٧٠٠                   |                           |
| ١٠٠                   | ١٣٦٠٠٠                    | ١٠٠      | ١٤٠٠٠                   |                           |

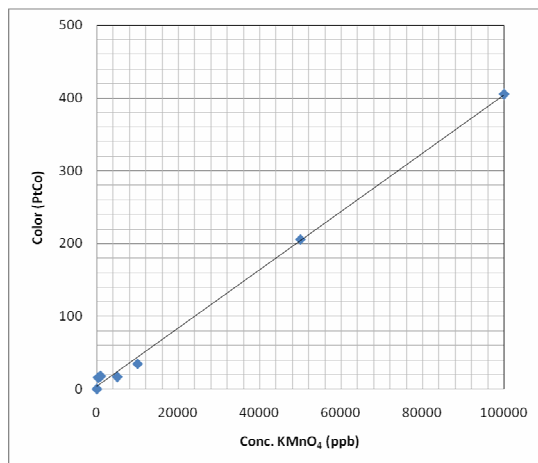
جدول ٢-٣ - واسنجی پرمنگنات پتاسیم با هدايت سنج

| هدايت الکتریکی<br>(μgr/l) | غلظت (l) | هدايت الکتریکی<br>(μs/cm) | غلوظت (μgr/l) |
|---------------------------|----------|---------------------------|---------------|
| ٠                         | ١/٩٥     | ١٠٠                       | ٢/١           |
| ٠/٠١                      | ٢/٢٦     | ٥٠٠                       | ٢/٤٥          |
| ٠/٠٥                      | ١/٩٣     | ١٠٠٠                      | ٣/١١          |
| ٠/١                       | ٢/١١     | ٥٠٠٠                      | ٥/٦٨          |
| ٠/٥                       | ١/٩٥     | ١٠٠٠٠                     | ٩/٣٤          |
| ١                         | ٢/٣      | ٥٠٠٠٠                     | ٣٨/٠٦         |
| ٥                         | ٢/٢٥     | ١٠٠٠٠٠                    | ٧٥            |
| ١٠                        | ٢/١٥     | ٥٠٠٠٠٠                    | ٣٦٣           |
| ٥٠                        | ٢/٠٧     | ١٠٠٠٠٠                    | ٧١٤           |

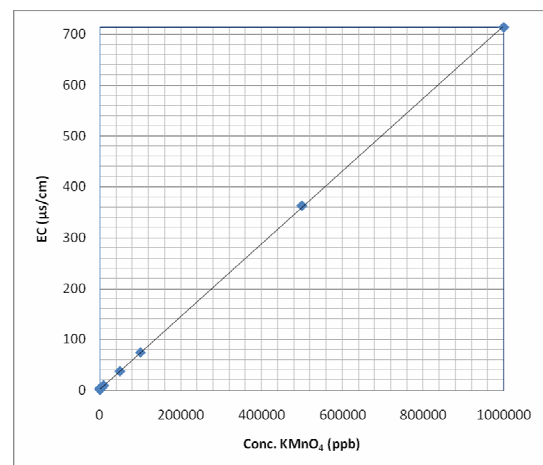
شكل ٣-١٤ - نمودار واسنجی کلرید سدیم



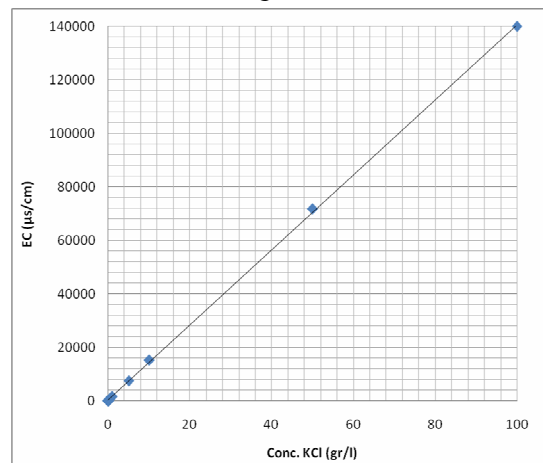
شکل ۳-۱۵ - نمودار و اسنجمی کلرید پتابسیم



شکل ۳-۱۷ - نمودار و اسنجمی پرمنگنات پتابسیم با اسپکتروفوتومتر



شکل ۳-۱۶ - نمودار و اسنجمی پرمنگنات پتابسیم با هدایت سنج



جدول ۳-۳ - و اسنجمی پرمنگنات پتابسیم با اسپکتروفوتومتر

| شدت رنگ (PtCo) (ppb) | شدت رنگ (PtCo) (ppb) | غلهظت (ppb) | غلهظت (ppb) |
|----------------------|----------------------|-------------|-------------|
| .                    | .                    | ۱۰۰۰۰       | ۳۵          |
| ۵۰۰                  | ۱۶                   | ۵۰۰۰۰       | ۲۰۶         |
| ۱۰۰۰                 | ۱۸                   | ۱۰۰۰۰۰      | ۴۰۵         |
| ۵۰۰۰                 | ۱۷                   |             |             |

جدول ۴-۳ - معادلات نمودارهای و اسنجمی ردیاب‌های مورد بررسی

| ردیاب   | معادلات و اسنجمی ردیاب‌ها |                |
|---------|---------------------------|----------------|
| Uranine | $Y = ۲۵,۷۴۱X + ۲,۲۸۳۴$    | $R^2 = ۰,۹۹۹۴$ |
| Eosin   | $Y = ۳۳,۳۵۹X + ۳,۵۹۶۴$    | $R^2 = ۰,۹۹۹۸$ |

|                   |                        |                |
|-------------------|------------------------|----------------|
| Rhodamine B       | $Y = 73,141X + 4,2178$ | $R^2 = 0,9958$ |
| NaCl              | $Y = 1371X + 532,2$    | $R^2 = 0,999$  |
| KCl               | $Y = 1404X + 254,3$    | $R^2 = 0,999$  |
| KMnO <sub>4</sub> | $Y = 0,004X + 0,528$   | $R^2 = 0,997$  |

X : غلظت ردياب

Y : شدت فلورسنس يا، هدايت الکترونیکی و يا، شدت رنگ

## فصل چهارم

ارزیابی ویژگی‌های برخی از ردیابها در برابر  
شرایط محیطی مختلف

## ۴-۱- ردیاب‌های مورد استفاده در مطالعات ردیابی کشور

برخی از مهمترین مطالعات ردیابی انجام شده در کشور و نوع ردیاب‌های استفاده شده در جدول ۱-۴ ارائه شده است. با توجه به این جدول می‌توان گفت که اورانین، ائوزین، رودامینB، کلرید سدیم و کلرید پتاسیم پرکاربردترین ردیاب‌ها در کشور بوده که از میان این ردیاب‌ها، اورانین در اکثر این پروژه‌ها ردیاب اصلی بوده است. در انتخاب این ردیاب‌ها، گذشته از مباحث فنی و رژیم هیدرولوژیکی و وضعیت کیفی منبع آبی مورد مطالعه (که خود در بسیاری از موارد تعیین کننده می‌باشد)، هزینه تمام شده و سهولت دسترسی به ردیاب از فاکتورهای اصلی محسوب می‌شود. هزینه تقریبی ردیاب‌های مورد نظر بر اساس قیمت‌های سال ۱۳۸۶ در جدول ۲-۴ ارائه شده است که نشان می‌دهد از بین ردیاب‌های فلورسنت، اورانین بسیار ارزان‌تر از ائوزین و رودامینB است. علاوه بر قیمت مناسب، بسته‌بندی اقتصادی اورانین (به صورت یک کیلویی است) هم از دید اقتصادی و هم از جنبه اجرایی عملیات تزریق ردیاب، مفید و به صرفه بوده است. از آنجا که هدف این تحقیق مقایسه ردیاب‌ها با یکدیگر است آزمایش‌ها در مورد همه ردیاب‌ها به طور یکسان و در شرایط مشابه و تا حد امکان به طور هم زمان صورت گرفت. در ادامه به شرح آنالیزهای صورت گرفته و نتایج حاصل از آن‌ها پرداخته می‌شود. به دلیل جلوگیری از حجمی شدن مطالعه، جدول‌های مربوط به نتایج در پیوست ارائه شده و در متن اصلی به ارائه نمودارهای مربوطه و تفسیر آن‌ها اکتفا می‌شود.

## ۴-۲- اثر pH

همان طور که در فصل دوم اشاره شد در بسیاری از تحقیقات تغییر خصوصیات ردیاب‌های مختلف در pH‌های متفاوت یکی از روش‌هایی است که برای تشخیص ردیاب‌ها از هم‌دیگر بکار می‌رود. یکی از کاربردهای مهم این روش از بین بردن تداخل در ردیاب‌هایی است که به طور همزمان در عملیات‌های ردیابی بکار گرفته می‌شوند. در این تحقیق با تغییر دادن pH در محلول‌های حاوی

ردیاب‌های مورد بررسی، تغییر خصوصیات هر یک از آن‌ها با تغییر pH به طور سیستماتیک مورد HCl و NaOH بر محلول‌ها از pH است زیابی قرار گرفت. همان طور که ذکر شد به منظور اعمال تغییرات pH بر استفاده گردید.

جدول ۱-۴- ردیاب‌های مورد استفاده در برخی از عملیات ردیابی در کشور در ۲۰ سال گذشته

| منبع                  | نوع ردیاب                                      | تاریخ     | محل آزمون        |          |
|-----------------------|--|-----------|------------------|----------|
|                       |  |           | مکان             | استان    |
| مؤسسه تحقیقات آب ۱۳۶۵ | نمک طعام                                       | ۱۳۶۵      | سراب کاوات       | کرمانشاه |
|                       | اورانین  |           |                  |          |
|                       | رودامین B                                      |           |                  |          |
| مؤسسه تحقیقات آب ۱۳۶۶ | اورانین  | ۱۳۶۶      | دره لیتو         | سمنان    |
| مؤسسه تحقیقات آب ۱۳۶۹ | اورانین  | ۱۳۶۹      | سد مس سرچشمہ     | کرمان    |
| مؤسسه تحقیقات آب ۱۳۶۹ | اورانین و رودامین B                            | ۱۳۶۹      | سد پانزده خرداد  | قم       |
| افتخاری ۱۳۷۳          | اورانین  | ۱۳۷۲      | سپیدان           | فارس     |
| مؤسسه تحقیقات آب ۱۳۷۲ | اورانین  | ۱۳۷۲      | سد میرزای شیرازی | فارس     |
| مؤسسه تحقیقات آب ۱۳۷۴ | اورانین و رودامین B                            | ۱۳۷۴      |                  |          |
|                       | اورانین  | ۱۳۷۴ بهمن |                  |          |
| مؤسسه تحقیقات آب ۱۳۷۳ | اورانین و ائوزین                               | ۱۳۷۳      | سد لار           | تهران    |
| مؤسسه تحقیقات آب ۱۳۷۴ | اورانین  | ۱۳۷۴      | سد هینی مینی     | لرستان   |
|                       | کلرور پتابسیم                                  |           |                  |          |
| مؤسسه تحقیقات آب ۱۳۷۵ | نمک طعام                                       | ۱۳۷۵      | دشت ارزن         | فارس     |
| مؤسسه تحقیقات آب ۱۳۷۶ | اورانین و رودامین B                            | ۱۳۷۶      | سد کوثر          | خوزستان  |
| مؤسسه تحقیقات آب ۱۳۷۶ | اورانین  | ۱۳۷۶      | سد مارون         | خوزستان  |
| مؤسسه تحقیقات آب ۱۳۷۶ | اورانین و رودامین B                            | ۱۳۷۶      | سد رودبار        | لرستان   |
| مؤسسه تحقیقات آب ۱۳۷۶ | اورانین، رودامین B، کلرید سدیم و کلرید پتابسیم | ۱۳۷۶      | سد سلمان فارسی   | فارس     |
| مؤسسه تحقیقات آب ۱۳۷۶ | اورانین  | ۱۳۷۶      | سد هواسان        | کرمانشاه |
| مؤسسه تحقیقات آب ۱۳۷۸ | رودامین B و اورانین                            | ۱۳۷۸      | سد تنگ شمیران    | کرمانشاه |
| اسد پور حسن آباد ۱۳۸۰ | رودامین B                                      | ۱۳۸۰      | سد سیمراه        | لرستان   |
| بذرگر ۱۳۸۱            | اورانین  | ۱۳۸۱      | کوه رحمت         | فارس     |
| خانلری و همکاران ۱۳۸۵ | اورانین  | ۱۳۸۴      | سد گرین          | همدان    |
| مؤسسه تحقیقات آب ۱۳۸۴ | اورانین  | ۱۳۸۴      | سد گلورد         | مازندران |

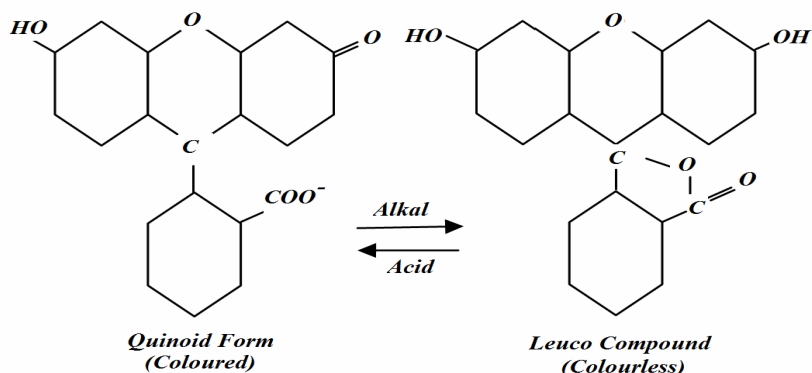
جدول ۲-۴- آنالیز هزینه ردیاب‌های مورد نظر در سال ۱۳۸۶

| هزینه نهایی<br>ردیاب (ریال) | مقدار تقریبی مورد استفاده در<br>عملیات (کیلوگرم) | قیمت تقریبی هر کیلو در<br>سال ۱۳۸۶ (ریال) | نام ردیاب       |
|-----------------------------|--|---|-----------------|
| ۱۸,۲۵۰,۰۰۰                  | ۵  | ۳۶۵۰۰۰۰                                   | اورانین         |
| ۳۶,۵۰۰,۰۰۰                  | ۱۰   |   |                 |
| ۵۴,۷۵۰,۰۰۰                  | ۱۵   |   |                 |
| ۱۰۹,۵۰۰,۰۰۰                 | ۳۰   |   |                 |
| ۶۲,۵۰۰,۰۰۰                  | ۵  | ۱۲۵۰۰۰۰                                   | ائوزین*         |
| ۱۲۵,۰۰۰,۰۰۰                 | ۱۰   |   |                 |
| ۱۸۷,۵۰۰,۰۰۰                 | ۱۵   |   |                 |
| ۳۷۵,۰۰۰,۰۰۰                 | ۳۰   |   |                 |
| ۳۶۰,۰۰۰,۰۰۰                 | ۵  | ۷۲۰۰۰۰۰                                   | برودامین*       |
| ۷۲۰,۰۰۰,۰۰۰                 | ۱۰   |   |                 |
| ۱,۰۸۰,۰۰۰,۰۰۰               | ۱۵   |   |                 |
| ۲,۱۶۰,۰۰۰,۰۰۰               | ۳۰   |   |                 |
| ۴۵۰,۰۰۰                     | ۱۰۰  | ۴۵۰۰                                      | کلرید سدیم      |
| ۲,۱۰۰,۰۰۰                   | ۵۰۰  | ۴۲۰۰                                      |                 |
| ۳,۸۰۰,۰۰۰                   | ۱۰۰۰   | ۳۸۰۰                                      |                 |
| ۸۵۰,۰۰۰                     | ۱۰۰  | ۸۵۰۰                                      | کلرید پتاسیم    |
| ۳,۱۰۰,۰۰۰                   | ۵۰۰  | ۶۲۰۰                                      |                 |
| ۵,۹۰۰,۰۰۰                   | ۱۰۰۰   | ۵۹۰۰                                      |                 |
| ۳,۲۰۰,۰۰۰                   | ۱۰۰  | ۳۲۰۰                                      | پرمنگنات پتاسیم |
| ۱۵,۲۵۰,۰۰۰                  | ۵۰۰  | ۳۰۵۰۰                                     |                 |
| ۲۹,۰۰۰,۰۰۰                  | ۱۰۰۰   | ۲۹۰۰۰                                     |                 |

\* قیمت ارائه شده بر اساس بسته بندی ۱۰۰ گرمی می‌باشد.

#### ۴-۲-۱- اثر تغییرات pH بر اورانین

تغییر ویژگی فلورسنس با تغییر pH می‌تواند در اثر یونبراسیون و یا تغییر در ساختار اتفاق بیافتد. هنگامی که pH اورانین کاهش می‌یابد گروه عامل اسیدی پروتونه شده و مقدار فلورسنس کاهش می‌یابد. این تغییرات به صورت ناگهانی بوده و به ثابت گستاخی ردیاب وابسته است. در مورد اورانین با کاهش pH، ساختار تغییر می‌یابد. به این صورت که از ساختار کوآنواید<sup>۱</sup> تحت شرایط آلکالی به ساختار لیوکوکومپوند<sup>۲</sup> تحت شرایط اسیدی تبدیل می‌شود. حلقه کوآنواید که در شرایط آلکالی تشکیل می‌شود دارای خاصیت فلورسنس بسیار زیادی است. در حالی که حلقه لاکتون در شرایط اسیدی خاصیت فلورسنس ندارد و فاقد رنگ است. در شکل ۱-۴ دو ساختار اورانین در شرایط اسیدی و آلالکالی ارائه شده است (Smart and Lidlaw ۱۹۷۷).



شکل ۱-۴ - ساختار اورانین در شرایط اسیدی و قلیایی (Smart and Lidlaw ۱۹۷۷)

در اینجا برای بررسی اثر pH بر فلورسنس اورانین ابتدا با استفاده از آب مقطّر سه محلول با غلظت‌های ۱، ۵ و ۱۰ میکروگرم بر لیتر به ترتیب دارای شدت فلورسنس ۳۴، ۱۸۶ و ۲۹۳ از اورانین تهیه شد. در مرحله اول به تدریج به هر محلول HCl اضافه کرده و سپس، pH و شدت فلورسنس

۱- Quinoid

۲- Leucocompound

محلول‌ها اندازه گرفته شد. در مرحله دوم نیز با اضافه کردن NaOH اندازه‌گیری‌ها تکرار گردید. شکل

#### ۴-۲ تغییرات شدت فلورسنس اورانین با غلظت‌های اولیه مختلف ارائه شده است.

همان طور که در شکل ۴-۲ ملاحظه می‌شود با افزایش pH شدت فلورسنس هر سه نمونه افزایش می‌یابد. در حالی که در محیط اسیدی فلورسنس نمونه‌ها کاهش یافته و به صفر میل می‌کند. شدت فلورسنس نمونه ۱ در pH بیشتر از ۸ از ۳۴ به بیش از ۲۰۰ می‌رسد. با کاهش pH به کمتر از حدود ۵، شدت فلورسنس آن تقریباً به طور کامل از بین می‌رود. این روند در مورد نمونه ۲ و ۳ نیز صدق می‌کند. فلورسنس نمونه ۲ از ۱۸۶ در محیط خنثی به ۱۰۰ در محیط قلیایی و کمتر از ۱۰۰ در محیط اسیدی تغییر می‌کند. با افزایش pH شدت فلورسنس نمونه ۳ به بیش از مقدار قابل اندازه‌گیری توسط دستگاه افزایش و با کاهش pH فلورسنس آن به شدت کاهش یافت.

شکل ۴-۳ تغییرات شدت فلورسنس اولیه اورانین در pH های مختلف را نشان می‌دهد. با توجه به این نمودار، اورانین ردیابی است که نسبت به تغییرات pH محیط بسیار حساس بوده و شدت فلورسنس آن به شدت تحت تاثیر pH محیط قرار می‌گیرد به طوری که در محیط قلیایی فلورسنس آن به شدت افزایش یافته و حتی به چند برابر مقدار اولیه خود می‌رسد در حالی که در محیط اسیدی فلورسنس آن به شدت کاهش می‌یابد و تنها به چند درصد مقدار اولیه خود می‌رسد. این تغییر کاملاً به صورت ناگهانی اتفاق می‌افتد به طوری که با اندکی کاهش یا افزایش pH از حالت خنثی فلورسنس به نحو قابل توجهی تغییر می‌کند. حداقل مقدار فلورسنس اورانین را می‌توان مربوط به pH ۱۰ یا بیشتر از آن دانست و هم چنین طبق نتایج به دست آمده در pH کمتر از ۴/۵ اورانین تقریباً ویژگی فلورسنس خود را از دست می‌دهد.

بنابراین می‌توان نتیجه گرفت سنجش غلظت اورانین با استفاده از اندازه‌گیری شدت فلورسنس آن تنها در pH خنثی به طور صحیح قابل ارزیابی می‌باشد.

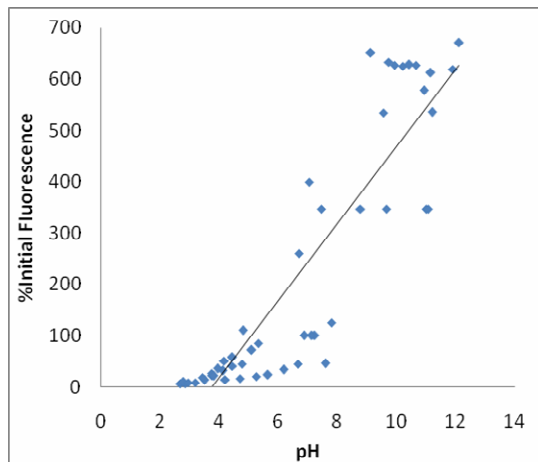
این واکنش کاملاً برگشت پذیر است به نحوی که با برگشت pH به مقدار اولیه آن شدت فلورسنس اورانین مجدداً به مقدار اولیه خود بر می‌گردد.

#### ۴-۲-۲- اثر تغییرات pH بر فلورسنس اوزین

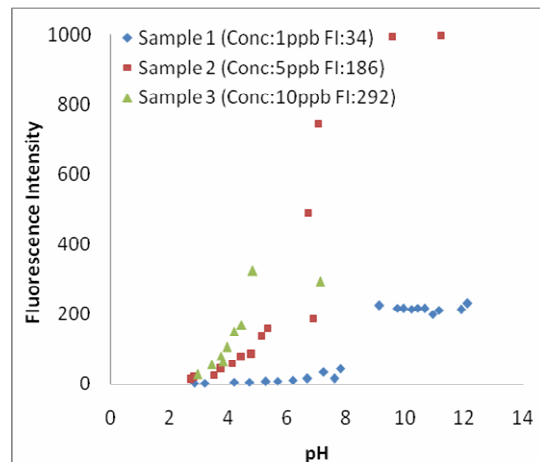
برای بررسی اثر pH بر فلورسنس اوزین، آزمایش به همان نحو که در مورد اورانین شرح داده شد تکرار گشت. در این آزمایش محلول‌های اولیه با غلظت ۱، ۱۰ و ۲۰ میکروگرم بر لیتر به ترتیب دارای شدت فلورسنس ۳۹، ۲۹۹ و ۶۰۲ از اوزین تهیه شد. در شکل‌های ۴-۴ و ۵-۴ نتایج این آزمایش ارائه شده است. با توجه به شکل ۴-۴ فلورسنس هر سه نمونه با افزایش pH تغییر نکرد. اما در محیط pH اسیدی کاهش نسبی در مقدار فلورسنس دیده می‌شود. به طور کلی تغییرات فلورسنس اوزین در pH متفاوت در مقایسه با اورانین بسیار کمتر است. این تغییرات در pH اسیدی اتفاق می‌افتد و می‌توان گفت که محیط قلیایی بر روی فلورسنس اوزین تاثیر ندارد. در pH کمتر از پنج، شدت فلورسنس اوزین به طور مشخصی کاهش می‌یابد. بنابراین گستاخی در ساختار اوزین در pH حدود پنج اتفاق می‌افتد. این تغییر در شکل ۴-۵ کاملاً مشخص است. این واکنش برگشت پذیر بوده و با بازگشت pH به مقدار اولیه شدت فلورسنس محلول نیز به مقدار اولیه خود می‌رسد.

#### ۴-۲-۳- اثر تغییرات pH بر فلورسنس رودامین B

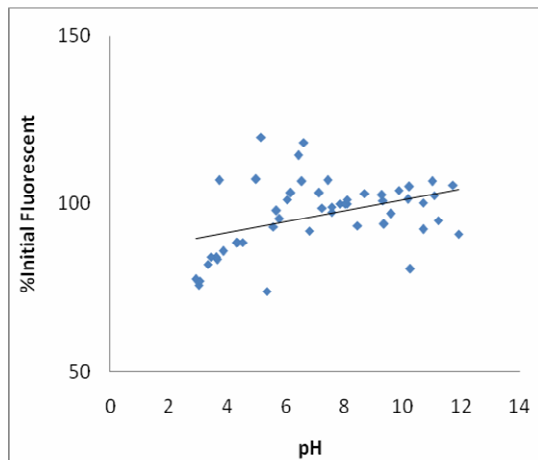
در مورد رودامین B، تغییرات pH بر روی سه محلول با غلظت‌های اولیه ۱، ۵ و ۱۰ میکروگرم بر لیتر که به ترتیب دارای شدت فلورسنس اولیه ۴۵، ۳۷۸ و ۶۱۴ بودند اعمال شد. شکل ۴-۶ تغییرات شدت فلورسنس این سه نمونه را در pH های مختلف نشان می‌دهد. همان طور که مشخص است رفتار رودامین B تاحدودی مشابه اوزین است. به این ترتیب که تغییر چندانی در فلورسنس نمونه‌های رودامین B در محیط قلیایی رخ نمی‌دهد اما در محیط اسیدی فلورسنس آن‌ها کاهش می‌یابد. رودامین B کاهش بیشتری در محیط اسیدی نشان داد به طوری که در pH حدود سه، فلورسنس نمونه‌ها به ۵۰ درصد مقدار اولیه خود رسید (شکل ۴-۷). بنابراین رودامین B در محیط اسیدی بخشی از ویژگی فلورسنس خود را از دست می‌دهد. این واکنش نیز برگشت پذیر می‌باشد.



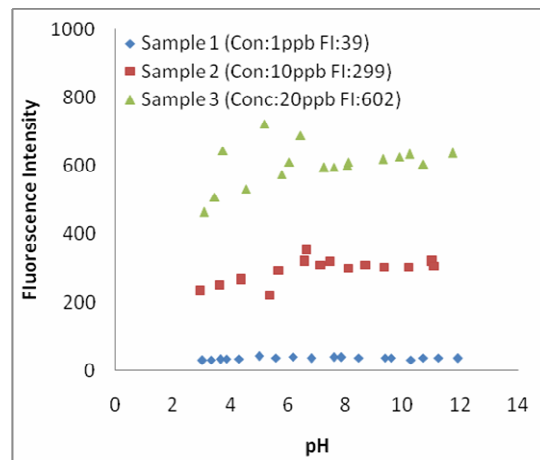
شكل ٤-٣ - تغییرات درصد فلورنس اولیه اورانین با pH



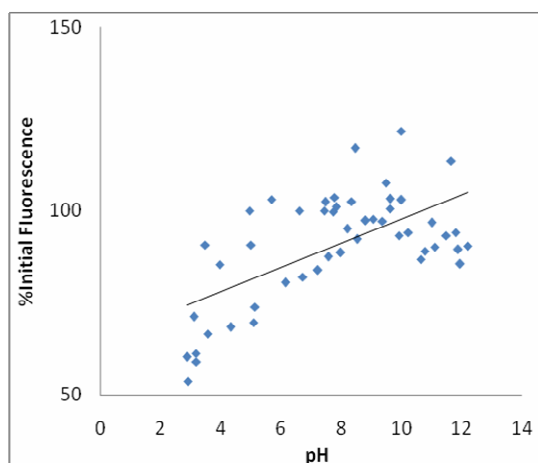
شكل ٤-٤ - تغییرات شدت فلورنس اولیه اورانین با pH



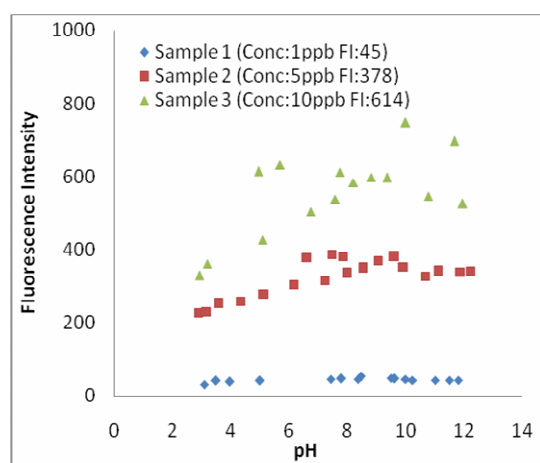
شكل ٤-٥ - تغییرات درصد فلورنس اولیه ائوزین با pH



شكل ٤-٦ - تغییرات شدت فلورنس ائوزین با pH



شكل ٤-٧ - تغییرات درصد فلورنس اولیه رود امین B با pH



شكل ٤-٨ - تغییرات شدت فلورنس رود امین B با pH

#### ۴-۲-۴- اثر تغییرات pH بر کلرید سدیم و پتاسیم

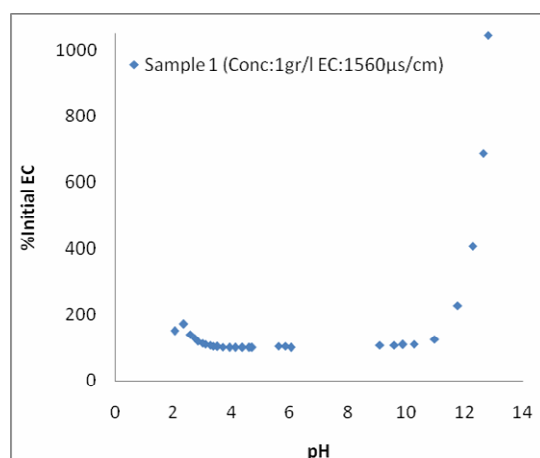
به منظور ارزیابی ردیاب‌های کلرید سدیم و پتاسیم و سنجش آن‌ها در محلول‌هایی با pH مختلف، محلولی با غلظت یک گرم بر لیتر از کلرید سدیم و کلرید پتاسیم به ترتیب دارای هدایت الکتریکی ۱۶۶۲ و ۱۵۶۰ میکروزیمنس بر سانتی‌متر تهیه و پس از سنجش آن‌ها در شرایط اولیه با استفاده از HCl و NaOH به تدریج pH نمونه‌ها تغییر داده شد و در هر مرحله هدایت الکتریکی محلول اندازه‌گیری گردید. شکل‌های ۹-۴ و ۸-۴ تغییرات درصد اولیه هدایت الکتریکی کلرید سدیم و پتاسیم را در pH‌های متفاوت نشان می‌دهد.

بررسی این نمودارها نشان می‌دهد که با تغییر pH محیط، هدایت الکتریکی سیال موجود در آن pH نیز تغییر خواهد کرد. این تغییرات عمدتاً به صورت افزایش در هدایت الکتریکی محلول در بیشتر از دوازده و کمتر از سه رخ می‌دهد. اما افزایش هدایت الکتریکی به ازای هر واحد کاهش یا افزایش pH در pH کمتر از سه بسیار کمتر از افزایش هدایت الکتریکی در pH بیشتر از دوازده می‌باشد. در pH سه تا دوازده هدایت الکتریکی تقریباً ثابت است. این افزایش احتمالاً به دلیل افزایش غلظت یون در محیط است. با مقایسه نمودارهای ۸-۴ و ۹-۴ می‌توان گفت رفتار این دو ردیاب در برابر pH مشابه یکدیگر است.

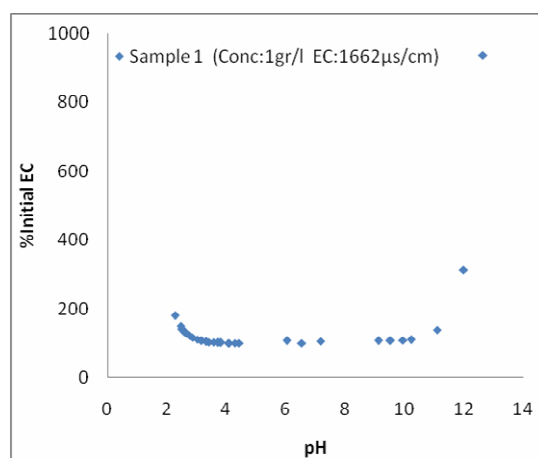
#### ۴-۲-۵- اثر تغییرات pH بر شدت رنگ پرمنگنات‌پتاسیم

یکی از روش‌های اندازه‌گیری و سنجش پرمنگنات‌پتاسیم که به دلیل سادگی و سرعت آنالیز در مطالعات ردیابی پیشنهاد می‌شود رنگ سنجی توسط دستگاه اسپکتروفوتومتر است. بنابراین به منظور ارزیابی پرمنگنات در محلول‌هایی با pH متفاوت، تغییرات شدت رنگ آن مورد بررسی قرار گرفت. محلول‌هایی با غلظت اولیه ۱، ۵ و ۱۰ میلی‌گرم بر لیتر (به ترتیب دارای شدت رنگ PtCo ۲۹، ۴ و ۱۸۴) از پرمنگنات‌پتاسیم تهیه و به تدریج با تغییر pH محلول در هر مرحله شدت رنگ پرمنگنات

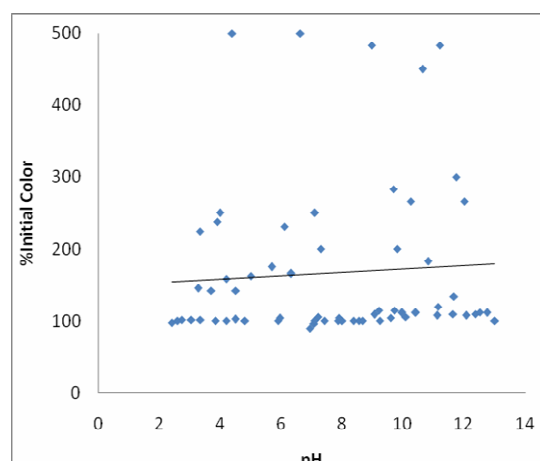
پتانسیم اندازه‌گیری گردید. شکل ۴-۱۰ تغییرات شدت رنگ غلظت‌های مختلف را نشان می‌دهد. طبق این نمودار، تغییرات pH اثربخش نمونه‌ها به وجود نمی‌آورد. خط برآش در شکل ۴-۱۱ نیز نشان دهنده ثابت ماندن شدت رنگ نمونه‌ها در pH های مختلف است. پراکندگی که در این نمودار دیده می‌شود ظاهری است و به دلیل نسبی بودن نمودار عمودی به وجود آمده است. کلیه نتایج به دست آمده از بررسی اثر pH بر ردیابها را می‌توان به صورت جدول ۳-۴ خلاصه نمود.



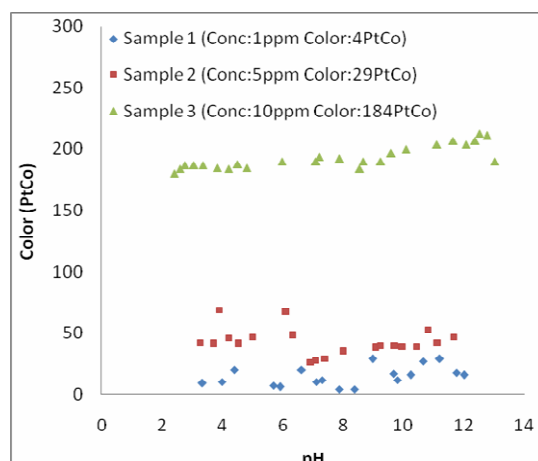
شکل ۴-۹- تغییرات درصد هدایت الکتریکی KCl با pH



شکل ۴-۸- تغییرات درصد هدایت الکتریکی NaCl با pH



شکل ۴-۱۱- تغییرات درصد شدت رنگ KMnO4 با pH



شکل ۴-۱۰- تغییرات شدت رنگ KMnO4 با pH

### جدول ۳-۴- تغییرات ویژگی ردیاب‌ها در pH های مختلف

| نام ردیاب        | محیط اسیدی  | محیط قلیایی  |
|------------------|---|--|
| اورانین          | کاهش بسیار شدید شدت فلورسنس فلورسنس در pH کمتر از ۶ | افزایش بسیار زیاد شدت فلورسنس در pH بیشتر از ۸     |
| اوزین            | کاهش شدت فلورسنس در pH کمتر از ۴                    | تغییر قابل توجهی در شدت فلورسنس آن به وجود نمی‌آید |
| رودامین B        | کاهش شدت فلورسنس در pH کمتر از ۵                    | تغییر قابل توجهی در شدت فلورسنس آن به وجود نمی‌آید |
| کلرید سدیم       | افزایش هدایت الکتریکی در pH کمتر از ۳               | افزایش بسیار زیاد هدایت الکتریکی در pH بیشتر از ۱۲ |
| کلرید پتابسیم    | افزایش هدایت الکتریکی در pH کمتر از ۳               | افزایش بسیار زیاد هدایت الکتریکی در pH بیشتر از ۱۲ |
| پرمنگنات پتابسیم | تغییری در شدت رنگ آن به وجود نمی‌آید                |  |

### ۳-۴- اثر نور خورشید

یکی از مهمترین فاکتورهای محیطی که می‌تواند تاثیر قابل توجهی بر ردیاب‌ها داشته باشد تابش نور خورشید است. توجه به این فاکتور هنگام نگهداری و انتقال نمونه‌های برداشت شده در عملیات ردیابی و نیز در عملیات‌های ردیابی منابع آب سطحی، می‌تواند نقش تعیین کننده‌ای در نتایج عملیات داشته باشد. ردیاب‌های فلورسنت در اثر تابش نور خورشید دچار فروپاشی شده و بخشی از فلورسنس خود را از دست می‌دهند این واکنش برگشت پذیر نمی‌باشد. تجزیه فتوشیمیایی به شدت نور و طول موج آن وابسته است. نور مأواه بنفس به علت طول موج کوتاه‌تر، باعث می‌شود تجزیه با سرعت بیشتری صورت بگیرد. هنگام بررسی اثر نور در یک عملیات ردیابی باید این نکته را در نظر داشت که با افزایش عمق و آشفتگی آب شدت نور به طور قابل ملاحظه‌ای کاهش می‌یابد. در واقع نرخ تجزیه فتوشیمیایی به غلظت ردیاب و شدت نور وابسته است. در بررسی اثر نور همان طور که در ابتدای فصل ذکر شد نمونه‌ها تحت شرایط یکسان نور خورشید و در یک دوره زمانی مشخص مورد ارزیابی قرار گرفتند. در چنین شرایطی می‌توان میزان واپاشی هر ردیاب را با مابقی مقایسه نمود.

### ۴-۳-۱- اثر نور بر فلورسنس اورانین

برای این هدف، چهار محلول با غلظت ۱، ۱۰، ۲۰ و ۳۰ میکروگرم بر لیتر به ترتیب دارای شدت فلورسنس ۵۱، ۲۶۶ و ۹۴۷ از اورانین در برابر تابش نور خورشید قرار داده شد. برای هریک از نمونه‌ها نیز یک نمونه شاهد تهیه و در تاریکی قرار گرفت. هدف از نمونه شاهد مقایسه آن با نمونه‌های قرار داده شده در معرض تابش نور خورشید بعد از گذشت یک دوره زمانی مشخص بود. در مرحله بعد با گذشت زمان تغییرات شدت فلورسنس نمونه‌های شاهد و اصلی اندازه‌گیری شد. نتایج این اندازه‌گیری‌ها نشان داد که با گذشت زمان تغییری در فلورسنس نمونه‌های شاهد به وجود نمی‌آید. همان طور که در شکل ۱۲-۴ مشخص است تابش نور خورشید به مواد فلورسنت منجر به تجزیه فتوشیمیایی و از بین رفتن ویژگی فلورسنس آن‌ها می‌شود و بنابراین اورانین با گذشت زمان فلورسنس خود را از دست می‌دهد. روند این واپاشی به نحوی بود که با گذشت چند روز اول فلورسنس نمونه‌ها تقریباً ثابت ماند اما پس از گذشت حدود ۳ روز شدت فلورسنس اورانین به طور غیر خطی، در تمامی نمونه‌ها به کمتر از نصف مقدار اولیه خود رسید و با گذشت ۱۵ روز به طور کلی از بین رفت. این تحقیقات نشان داد این واکنش برگشت پذیر نمی‌باشد.

با توجه به اینکه واپاشی فتوشیمیایی به شدت نور وابسته است، سرعت از بین رفتن فلورسنس ردیاب‌ها به طول و عرض جغرافیایی، ارتفاع و هم چنین شرایط جوی و آب و هوایی منطقه در طول عملیات نیز بستگی خواهد داشت.

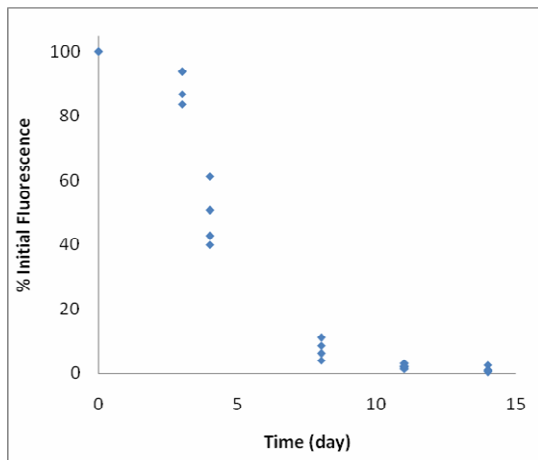
### ۴-۳-۲- اثر نور بر فلورسنس ائوزین

بررسی اثر نور خورشید بر شدت فلورسنس ائوزین نیز به همان صورت که برای اورانین ذکر شد صورت گرفت. غلظت‌های اولیه نمونه‌ها در این آزمایش ۱، ۱۰ و ۲۰ میکروگرم بر لیتر (به ترتیب دارای شدت فلورسنس ۳۳، ۲۸۶ و ۶۳۷) بود. شکل‌های ۱۴-۴ و ۱۵-۴ تغییرات شدت فلورسنس

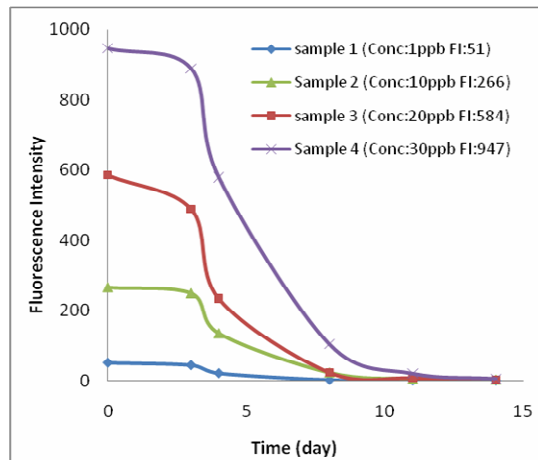
ائوزین با غلظت‌های اولیه متفاوت و تغییرات درصد فلورسنس اولیه آن‌ها را در اثر تابش نور خورشید با گذشت زمان نشان می‌دهد. نتایج نشان می‌دهد که کاهش شدت فلورسنس در اثر تابش نور خورشید در مورد ائوزین نیز صادق است. با مقایسه این نمودارها با نمودارهای ۱۲-۴ و ۱۳-۴ می‌توان دریافت نرخ واپاشی ائوزین در برابر نور خورشید در مقایسه با اورانین بسیار بیشتر است به نحوی که پس از گذشت ۲ ساعت شدت فلورسنس نمونه‌ها به نصف مقدار اولیه خود می‌رسد و تنها پس از گذشت ۴ ساعت ویژگی فلورسنس کلیه نمونه‌ها از بین می‌رود. روند این فروپاشی کاملاً به صورت خطی و با شیب زیاد رخ می‌دهد. بنابراین ائوزین در برابر نور بسیار ناپایدار است. توجه به این نکته برای انجام سایر آنالیزها نیز مهم و ضروری بود و در طول انجام کلیه آزمایش‌ها سعی شد تا نمونه‌های ائوزین در معرض تابش نور حتی در مدت زمان کوتاه نیز قرار نداشته باشند.

### ۴-۳-۳-۴- اثر نور بر فلورسنس رودامین B

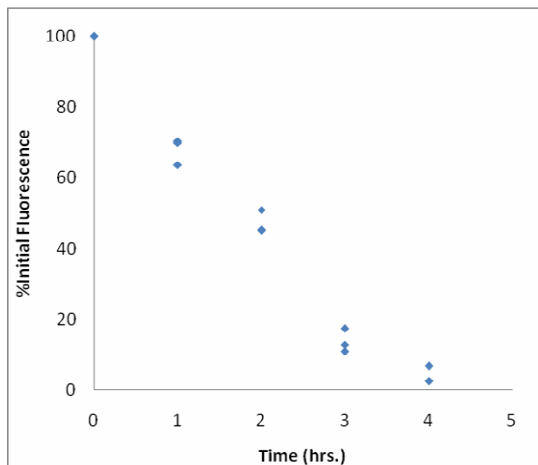
ارزیابی نرخ واپاشی فتوشیمیایی رودامین B نیز با محلول‌هایی با غلظت اولیه ۱، ۳، ۶ و ۱۰ میکروگرم بر لیتر (به ترتیب دارای شدت فلورسنس ۶۵، ۴۱۴، ۲۰۲ و ۶۲۷) انجام شد. در شکل ۴-۱۶ تغییرات شدت فلورسنس رودامین B با غلظت‌های اولیه متفاوت و تغییرات درصد فلورسنس اولیه آن‌ها را در اثر تابش نور خورشید با گذشت زمان ارائه شده است. همان‌طور که در این نمودارها دیده می‌شود بیشترین کاهش در فلورسنس رودامین B به طور غیر خطی و در اولین روزها اتفاق افتاد برخلاف اورانین که در چند روز اول کاهش فلورسنس آن بسیار ناچیز بوده است. با گذشت ۵ روز ویژگی فلورسنس نمونه‌های رودامین B به نصف مقدار اولیه خود می‌رسد و پس از گذشت ۱۵ روز درصد فلورسنس در نمونه‌ها باقی می‌ماند (شکل ۴-۱۷). با مقایسه نمودارهای ۱۲-۴ تا ۱۷-۴ می‌توان نتیجه گرفت رودامین B در مقایسه با ردیاب‌های اورانین و ائوزین پایداری بیشتری در برابر تجزیه فتوشیمیایی دارد.



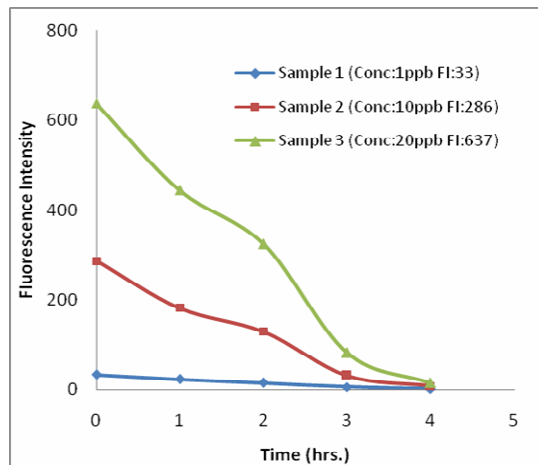
شكل ٤-٤ - اثر نور بر درصد فلورنس اولیه اور این



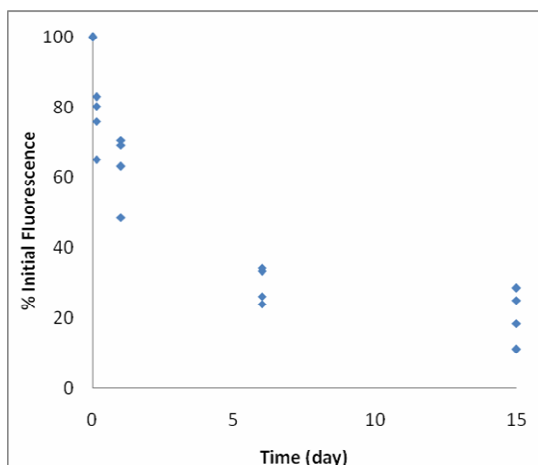
شكل ٤-٥ - اثر نور بر فلورنس اولیه اور این



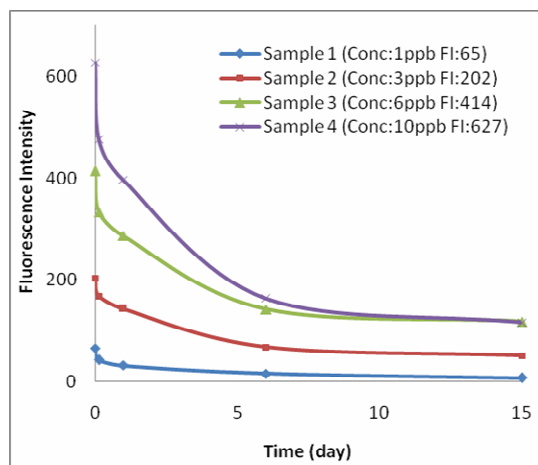
شكل ٤-٦ - اثر نور بر درصد فلورنس اولیه ائوزین



شكل ٤-٧ - اثر نور بر فلورنس ائوزین



شكل ٤-٨ - اثر نور بر درصد فلورنس اولیه رودامین B



شكل ٤-٩ - اثر نور بر فلورنس رودامین B

#### ۴-۳-۴- اثر نور بر کلرید سدیم و پتاسیم

اثر تابش نور خورشید بر کلرید سدیم و پتاسیم نیز مانند سایر رדיاب‌ها مورد بررسی قرار گرفت. به این ترتیب که چهار محلول با غلظت‌های  $0/5$ ،  $1$ ،  $5$  و  $10$  میلی‌گرم بر لیتر (به ترتیب دارای هدایت الکتریکی  $888$ ،  $1700$ ،  $8100$  و  $15800$  میکروزیمنس بر سانتی‌متر) از کلرید سدیم و غلظت‌های  $14930$ ،  $1$ ،  $5$  و  $10$  میلی‌گرم بر لیتر (به ترتیب دارای هدایت الکتریکی  $804$ ،  $1557$ ،  $7640$  و  $14930$  میکروزیمنس بر سانتی‌متر) از کلرید پتاسیم در شرایط یکسان با رדיاب‌های فلورسنت در معرض تابش نور خورشید قرار داده شدند. شکل‌های  $18-5$ ،  $19-5$ ،  $20-5$  و  $21-5$  نتایج اندازه‌گیری هدایت الکتریکی این نمونه‌ها را با گذشت زمان نشان می‌دهد. این نمودارها نشان می‌دهد که نور خورشید حتی در مدت زمانی طولانی تغییری در هدایت الکتریکی کلرید سدیم و کلرید پتاسیم به وجود نمی‌آورد. بنابراین نور خورشید و گذشت مدت زمان طولانی نیز نمی‌تواند تغییری در ویژگی رדיابی آن‌ها ایجاد کند.

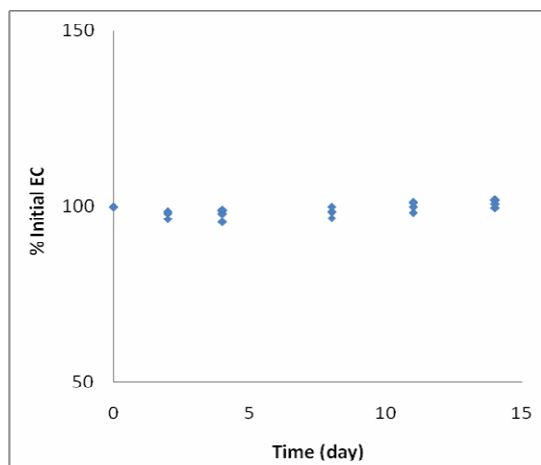
#### ۴-۳-۵- اثر نور بر پرمنگنات پتاسیم

به منظور بررسی اثر نور بر پرمنگنات پتاسیم، چهار محلول با غلظت‌های اولیه  $10$ ،  $30$ ،  $60$  و  $100$  میلی‌گرم در لیتر از پرمنگنات پتاسیم (به ترتیب  $PtCo$   $48$ ،  $129$ ،  $251$  و  $418$ ) تهیی و سپس شدت رنگ اولیه آن‌ها اندازه‌گیری و در معرض تابش نور خورشید قرار داده شدند. با گذشت زمان رنگ نمونه‌ها دچار تغییر شد. شکل  $24-4$  تغییر رنگ محلول‌های پرمنگنات پتاسیم را بعد از گذشت  $10$  روز در اثر تابش نور خورشید نشان می‌دهد. محلول‌های ردیف بالا نمونه‌های شاهد این آزمایش بودند که در تاریکی نگهداری می‌شدند و نمونه‌های ردیف پایین محلول‌های پرمنگنات پتاسیم با غلظت‌های مختلف بودند که تحت تاثیر نور خورشید قرار داشتند. با مقایسه این نمونه‌ها با همدیگر می‌توان نتیجه گرفت رنگ پرمنگنات پتاسیم از بنفس به قهوه‌ای تغییر می‌کند. همان‌طور که در نمودارهای  $22-4$  و

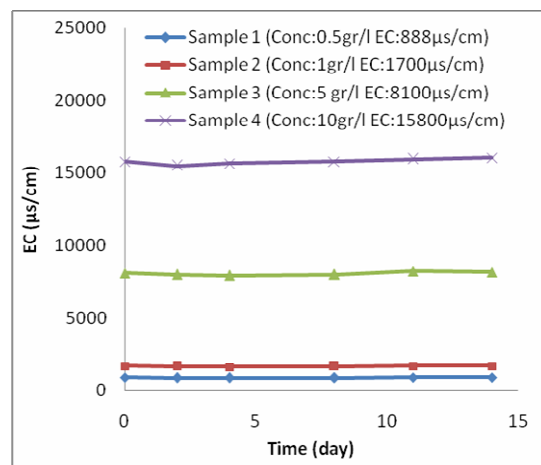
۴-۲۳ نیز مشخص است شدت نور در این نمونه‌ها به دلیل به وجود آمدن اکسید منگنز در محلول‌ها و تغییر رنگ در آن‌ها به شدت افزایش می‌باید تا جاییکه دستگاه قادر به قرائت شدت رنگ آن‌ها نیست. روند این تغییرات به نحوی است که این افزایش در ابتدا بسیار سریع بوده و با گذشت زمان از شدت آن کاسته می‌شود. بنابراین پرمنگنات پتاسیم در اثر تابش نور خورشید به دلیل به وجود آمدن رسوب ویژگی ردیابی خود را از دست می‌دهد. وجود پراکندگی در داده‌ها در شکل ۴-۲۳، همان طور که در مورد شکل ۱۱-۴ توضیح داده شد، ظاهری بوده و به دلیل اختلاف در غلظت محلول‌های اولیه به وجود آمده است. علت کم شدن تعداد نقاط با گذشت زمان افزایش شدت رنگ محلول‌ها به بیش از مقدار قابل اندازه‌گیری توسط دستگاه می‌باشد.

#### ۴-۴-۱ اثر دما

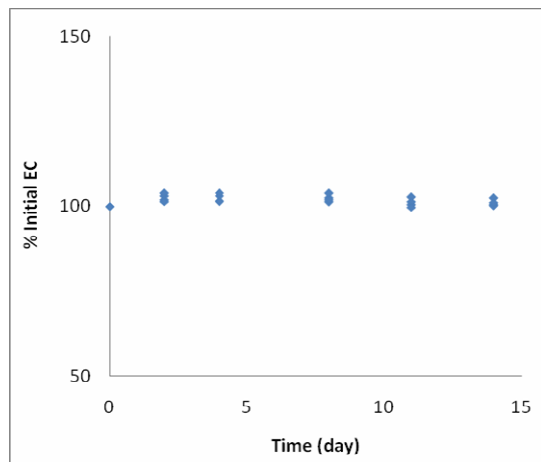
با افزایش دما، ملکول‌های برانگیخته، انرژی لرزشی و دورانی بیشتری ایجاد می‌کنند که به گرما تبدیل و باعث کاهش فلورسنس می‌شود. به همین دلیل، به منظور اطمینان از نتایج آزمایش‌ها آنالیز ردیاب‌های فلورسنت در دمای کمتر از ۳۰ درجه سانتی‌گراد صورت می‌گیرد. در غیر این صورت نمونه باید قبل از آنالیز و یا قرار گرفتن در محفظه مخصوص دستگاه اسپکتروفلوریمتر توسط تعديل کننده خنک شود. در اندازه‌گیری‌های کمی، دما باید کنترل شده و مطابق استاندارد باشد و نمونه‌ها باید در دمای مشابه آنالیز شوند. به عنوان مثال اگر نمونه‌ها به منظور جلوگیری از زوال بیولوژیکی در یخچال نگهداری شده‌اند، باید ابتدا تا دمای استاندارد آن‌ها را گرم نمود و سپس شدت فلورسنس آن‌ها را اندازه‌گیری نمود. مقاومت ردیاب‌ها در برابر درجه حرارات به خصوص هنگامی که عملیات ردیابی در آب‌های هیدروترمال مورد نظر باشد اهمیت بسزایی دارد. در چنین موقعی تنها شناخت خصوصیات شیمیایی ردیاب‌ها و واکنش آن‌ها به تغییرات درجه حرارات است که می‌تواند ما را در انتخاب صحیح ردیاب راهنمایی کند.



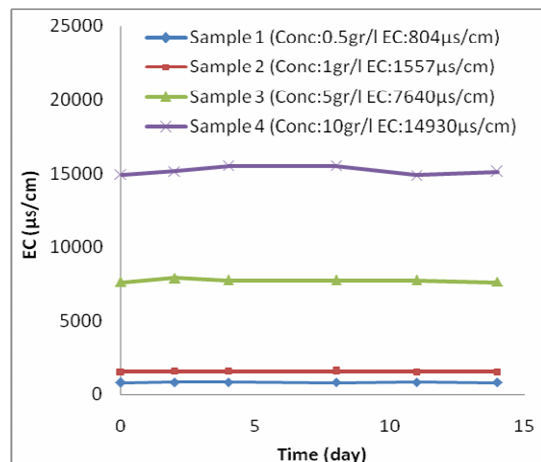
شكل ٤-١٩ - اثر نور بر درصد  
هدایت الکتریکی اولیه  $\text{NaCl}$



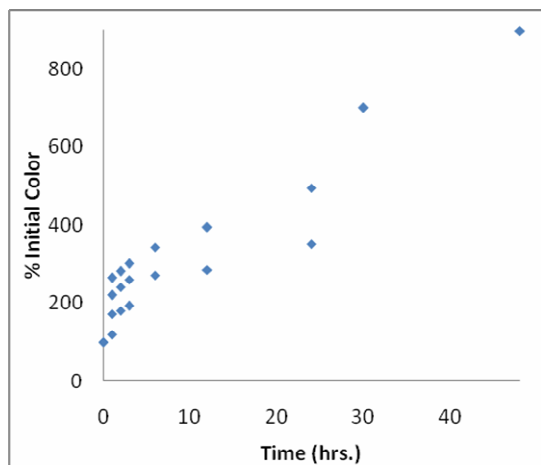
شكل ٤-١٨ - اثر نور بر هدایت  
الکتریکی  $\text{NaCl}$



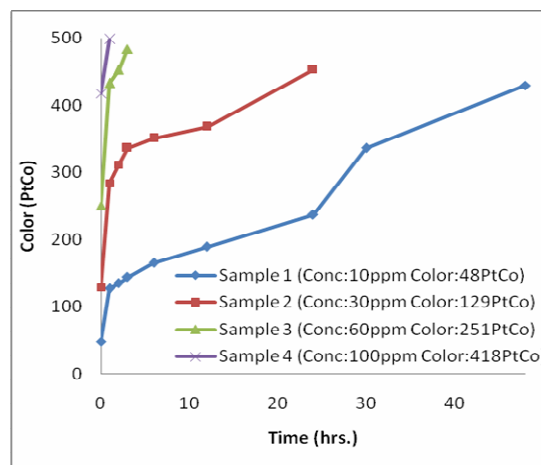
شكل ٤-٢١ - اثر نور بر درصد  
هدایت الکتریکی اولیه  $\text{KCl}$



شكل ٤-٢٠ - اثر نور بر هدایت  
الکتریکی  $\text{KCl}$



شكل ٤-٢٣ - اثر نور بر درصد  
شدت رنگ اولیه  $\text{KMnO}_4$



شكل ٤-٢٢ - اثر نور بر شدت رنگ  
 $\text{KMnO}_4$



شکل ۴-۲۴-۴ - تغییر رنگ پرمونگنات پتاسیم در اثر تابش نور خورشید

#### ۴-۱-۴-۴ اثر دما بر فلورسنس اورانین

با استفاده از آب مقطر، چهار محلول با غلظت‌های اولیه ۱، ۱۰، ۲۰ و ۳۰ میکروگرم بر لیتر (به ترتیب دارای شدت فلورسنس ۱۹، ۱۷۷، ۳۳۶ و ۴۷۴) تهیه و سپس دمای هر نمونه تغییر و در هر مرحله، دما و شدت فلورسنس آنها اندازه‌گیری شد. به این ترتیب نمودار مربوط به رفتار اورانین در دماهای مختلف به دست آمد. شکل ۴-۲۵ تغییرات شدت فلورسنس اورانین با غلظت‌های اولیه متفاوت را در دمای صفر تا هفتاد درجه سانتی‌گراد نشان می‌دهد. طبق نتایج، افزایش دما منجر به کاهش در فلورسنس هیچ یک از نمونه‌های اورانین به وجود نمی‌آورد. همان طور که در نمودار ۴-۲۶ مشخص است افزایش دما به بیش از ۲۰ درجه سانتی‌گراد منجر به افزایش فلورسنس در تعدادی از نمونه‌ها شده است. بنابراین می‌توان گفت که اورانین دارای پایداری دمایی قابل توجهی می‌باشد.

#### ۴-۲-۴-۴ اثر دما بر فلورسنس ائوزین

بررسی اثر دما بر ائوزین نیز به همان نحو که برای اورانین عنوان شد تکرار گشت. غلظت‌های اولیه محلول‌ها در این آنالیز ۱، ۵، ۱۰ و ۲۰ میکروگرم بر لیتر (به ترتیب دارای شدت فلورسنس ۲۸، ۱۰۶،

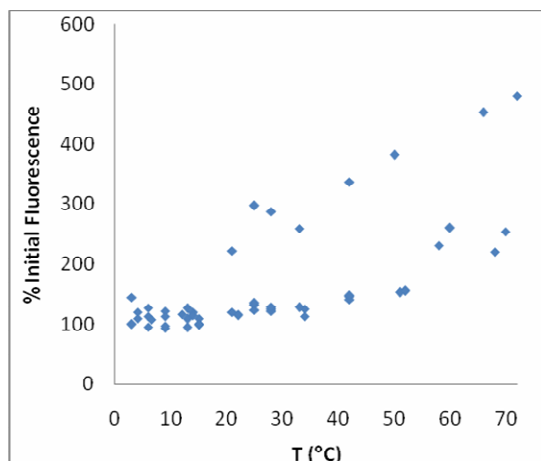
۲۶۶ و ۵۸۲) انتخاب شد. شکل‌های ۴-۲۷ و ۴-۲۸ تغییرات شدت فلورسنس ائوزین با غلظت‌های اولیه متفاوت و تغییرات درصد فلورسنس اولیه آن‌ها را در دماهای متفاوت نشان می‌دهد. طبق نتایج این تحقیق، شدت فلورسنس نمونه‌های ائوزین تغییری نکرده و فلورسنس در دماهای مختلف در مقدار اولیه خود ثابت باقی می‌ماند. لذا ائوزین نیز مانند اورانین دارای پایداری دمایی قابل توجهی است.

#### ۴-۳-۴- اثر دما بر فلورسنس رودامین B

به منظور بررسی اثر دما بر شدت فلورسنس رودامین B، با استفاده از آب مقطر چهار محلول با غلظت‌های اولیه ۱، ۳، ۶ و ۱۰ میکروگرم بر لیتر (به ترتیب دارای شدت فلورسنس ۳۲۷، ۱۸۵، ۶۲ و ۵۱۶) تهیه و سپس به هر نمونه تغییرات دمایی اعمال و در هر مرحله دما و شدت فلورسنس آن‌ها اندازه‌گیری شد. نتایج اندازه‌گیری‌ها نشان داد که با افزایش دما شدت فلورسنس رودامین B به شدت کاهش می‌یابد (شکل ۴-۲۹). همان طور که در نمودار ۴-۳۰ ملاحظه می‌شود شبیه‌های متفاوت این منحنی‌ها ظاهری بوده و به دلیل غلظت‌های اولیه مختلف نمونه‌ها به وجود آمده است. هنگامی که نمودار به صورت درصد رسم می‌شود این تفاوت از بین می‌رود. کاهش فلورسنس رودامین B با افزایش دما از تابعی با رابطه زیر پیروی می‌کند:

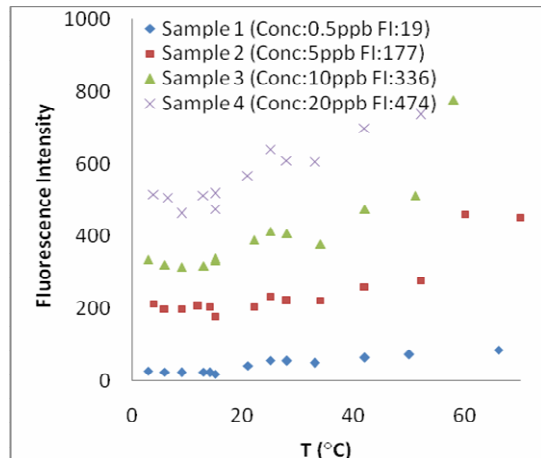
$$FI = a \cdot e^{bt} \quad (4-4)$$

که در این رابطه FI شدت فلورسنس در دمای t، a شدت فلورسنس در صفر درجه و b در واقع ضریب دمایی رودامین B است. به این ترتیب رودامین B بر خلاف اورانین و ائوزین در برابر افزایش دما ناپایدار بوده و بخشی از فلورسنس خود را از دست می‌دهد. ضریب دمایی غلظت‌های مختلف رودامین B یکسان بوده و بنابراین کاهش فلورسنس از غلظت اولیه محلول مستقل است. هم چنین این واکنش به طور کامل برگشت پذیر نیست به این ترتیب که با کاهش دما، بخشی از فلورسنس از بین رفته به دست می‌آید اما هرگز به مقدار اولیه خود نمی‌رسد.

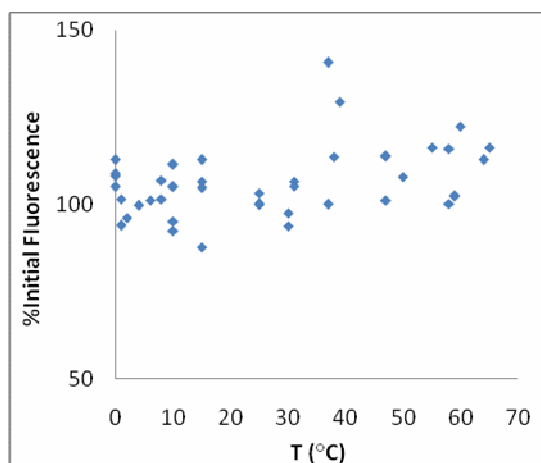


شكل ٤-٢٦- اثر دما بر فلورنسن اوليه اوراني

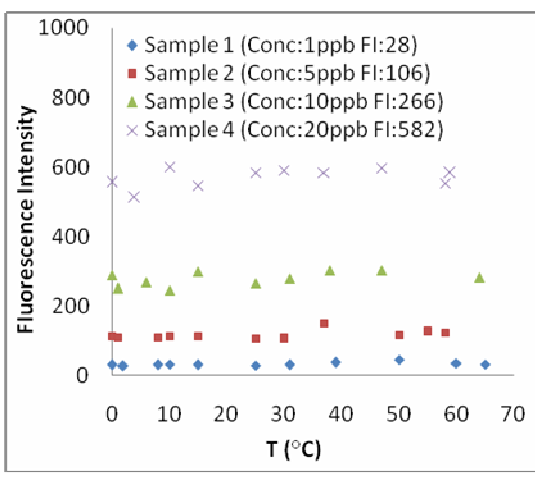
شكل ٤-٣٠- اثر دما بر درصد فلورنسن اوليه رود امين B



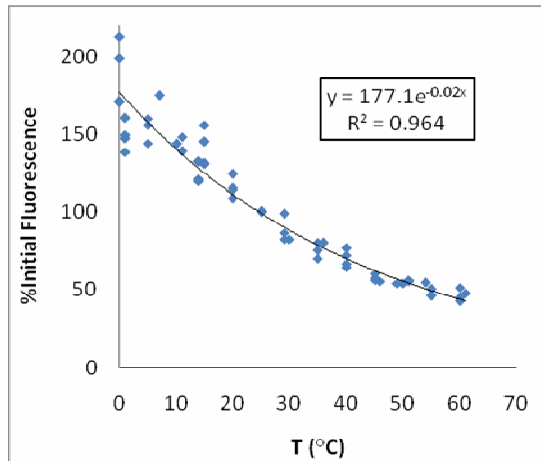
شكل ٤-٢٥- اثر دما بر فلورنسن اوراني



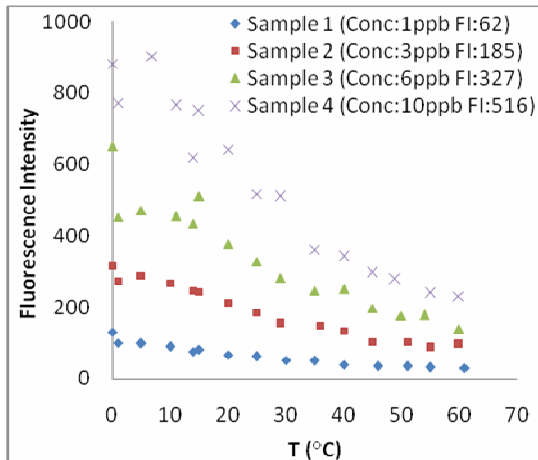
شكل ٤-٢٨- اثر دما بر فلورنسن اوليه ائوزين



شكل ٤-٢٧- اثر دما بر فلورنسن ائوزين



شکل ۴-۲۹-۴ - اثر دما بر فلورنس  
رود امین B



#### ۴-۴-۴-۴ - اثر دما بر کلرید سدیم و پتاسیم

رابطه دما با هدایت الکتریکی به صورت یک خط مستقیم است. به منظور حذف اثر دما بر مقدار هدایت الکتریکی، با استفاده از ضریب دمایی نمک‌ها، مقدار هدایت الکتریکی آن‌ها نسبت به دما تصحیح می‌شود. به این ترتیب اثر دما بر هدایت الکتریکی محلول‌ها حذف می‌شود.

در دستگاه EC با استفاده از فاکتور تصحیح دما، هدایت الکتریکی در ۲۵ درجه سانتی‌گراد گزارش می‌شود. به منظور ارزیابی کارایی کلرید سدیم و پتاسیم به عنوان ردیاب در دماهای متفاوت ابتدا چهار محلول با غلظت‌های ۱/۵، ۱، ۵ و ۱۰ گرم بر لیتر از کلرید سدیم (دارای هدایت الکتریکی ۸۷۵، ۱۶۵۰، ۷۹۸۵ و ۱۵۵۵۰ میکروزیمنس بر سانتی‌متر) و کلرید پتاسیم (دارای هدایت الکتریکی ۸۲۰، ۱۵۵۰، ۷۶۱۰ و ۱۴۷۷۰ میکروزیمنس بر سانتی‌متر) تهیه و سپس تغییرات دمایی بر آن‌ها اعمال شد. در هر مرحله هدایت الکتریکی آن‌ها اندازه‌گیری و با استفاده از ضریب دمایی تصحیح گردید. شکل‌های ۳۱-۴ تا ۳۴-۴ پایداری کلرید سدیم و پتاسیم با تغییرات دما را نشان می‌دهند. به این ترتیب این مواد را می‌توان از ردیاب‌های پایدار در برابر دما دانست.

#### ۴-۴-۵-۴ - اثر دما بر پرمنگنات پتاسیم

محلول‌های اولیه که در این آزمایش تهیه شدند دارای غلظت‌های اولیه ۱۰، ۳۰، ۶۰ و ۱۰۰ میلی‌گرم بر لیتر (به ترتیب دارای شدت رنگ PtCo ۴۷، ۱۲۴، ۲۴۹ و ۴۲۰) بودند. پس از اعمال

تغییرات دمایی بر نمونه‌ها مشخص شد که نمونه‌هایی که تحت تاثیر افزایش یا کاهش دما در یک دوره چند ساعته قرار می‌گرفتند تغییر نکرده و رنگ آن‌ها ثابت باقی ماند (شکل‌های ۴-۳۵ و ۴-۳۶). کاهش دما حتی در مدت زمان طولانی تغییری در رنگ نمونه‌ها به وجود نیاورد. در حالی که وقتی افزایش دمای نمونه‌ها در یک دوره چند روزه ادامه یافت رنگ محلول‌ها تغییر کرده و رسوب قهقهه‌ای رنگ اکسید منگنز به وجود آمد. از آنجا که در یک عملیات، ردیاب ممکن است در یک دوره طولانی مدت تحت تاثیر افزایش دما قرار بگیرد پرمونگنات پتابسیم را نمی‌توان ردیاب مناسبی در چنین محیطی دانست زیرا تشکیل رسوب و تغییر رنگ آن منجر به از بین رفتن ویژگی ردیابی این ماده می‌شود.

#### ۴-۵- اثر شوری

غلظت یون کلر در آب دریا حدود ۱۹۰۰۰ میلی‌گرم در لیتر و یون سدیم، ۱۰۵۰۰ میلی‌گرم بر لیتر می‌باشد. وقتی عملیات ردیابی در محیط‌هایی مثل سواحل دریا و یا محیط دریاچه‌ای انجام می‌گیرد، و یا ذخایر آب شور به صورت ناپیوسته یا پیوسته در درون یا پیرامون آبخوان وجود دارند، ممکن است شوری موجود در این نواحی بر کارایی ردیاب‌ها تاثیر داشته باشد. در این تحقیق به منظور بررسی اثر نوع کاتیون از دو نوع نمک سدیم و پتابسیم برای بررسی اثر شوری بر ردیاب‌ها استفاده شد.

#### ۴-۱- اثر شوری بر فلورسنس اورانین

جهت بررسی اثر شوری بر ویژگی فلورسنس اورانین، با استفاده از آب مقطر محلولی به غلظت ۱۰ میکروگرم بر لیتر اورانین با شدت فلورسنس اولیه ۲۷۱ و هدایت الکتریکی اولیه ۲/۴۱ میکروزیمنس بر سانتی‌متر تهیه گردید. در مرحله اول به تدریج نمک سدیم به آن اضافه و در هر مرحله شدت فلورسنس و هدایت الکتریکی نمونه اندازه‌گیری گردید. در مرحله دوم به جای نمک سدیم از نمک

پتاسیم استفاده و اندازه‌گیری‌ها تکرار شد. شدت فلورسنس اولیه محلول در این آنالیز ۲۲۳ و هدایت الکتریکی آن ۲/۴۱ میکروزیمنس بر سانتی‌متر بود.

شکل ۵-۳۷ تغییرات درصد فلورسنس اولیه اورانین را با افزایش شوری ناشی از کلرید سدیم و پتاسیم در محلول نشان می‌دهد. با توجه به این شکل با افزایش کلرید سدیم در ابتدا فلورسنس ثابت باقی می‌ماند اما در هدایت الکتریکی بیشتر از ۱۰۰ میکروزیمنس بر سانتی‌متر با افزایش شوری شدت فلورسنس اورانین افزایش می‌یابد. این موضوع در مورد کلرید پتاسیم نیز به صورت خفیفتری صادق است. تغییرات فلورسنس اورانین در اثر شوری به نوع کاتیون نمک وابسته است. لذا می‌توان نتیجه گرفت که شوری محیط نمی‌تواند منجر به از بین رفتن فلورسنس اورانین شود.

#### ۴-۵-۲-۱ اثر شوری بر فلورسنس ائوزین

آزمایش بررسی اثر شوری بر ائوزین نیز همانگونه که در مورد اورانین شرح داده شد تکرار گشت. در آزمایش بررسی اثر کلرید سدیم غلظت اولیه ائوزین ۱۰ میکروگرم بر لیتر با شدت فلورسنس اولیه ۳۵۸ و هدایت الکتریکی ۳/۱۹ میکروزیمنس بر سانتی‌متر و در بررسی اثر کلرید پتاسیم شدت فلورسنس ۳۱۳ و هدایت الکتریکی آن ۲/۷۴ میکروزیمنس بر سانتی‌متر بوده است. محلول‌های اولیه با استفاده از آب مقطر تهیه شدند.

نمودار ۵-۳۸ نتایج این آزمایش را نشان می‌دهد. تغییر فلورسنس ائوزین با افزایش کلرید سدیم و پتاسیم دارای دو نتیجه کاملاً متفاوت بود. به صورتیکه با افزایش شوری ناشی از کلرید پتاسیم حتی در مقادیر بسیار بالا تغییری در فلورسنس ائوزین ایجاد نمی‌شود. حال آنکه افزایش کلرید سدیم به محلول منجر به کاهش فلورسنس نمونه خواهد شد. کاهش فلورسنس ائوزین در اثر کلرید سدیم ناچیز بوده و می‌توان نتیجه گرفت که ائوزین تنها، در محیط‌های با شوری بالا (بیش از  $100 \mu\text{s}/\text{cm}$ ) ناشی از کلرید سدیم بخشی از فلورسنس خود را (حدود ۲۰ درصد) از دست می‌دهد.

#### **۴-۵-۳- اثر شوری بر فلورسنس رودامین B**

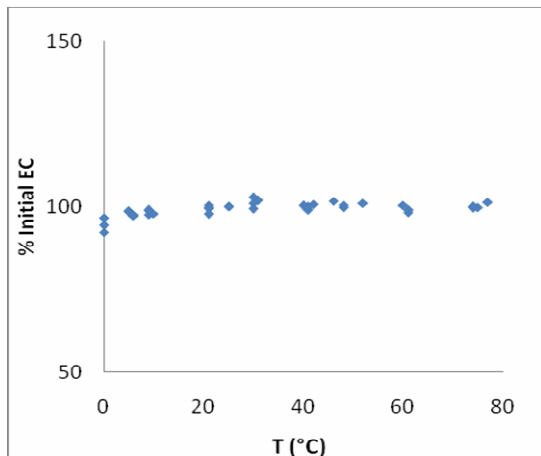
در بررسی اثر شوری ناشی از کلرید سدیم بر رودامین B، محلول اولیه دارای غلظت ۱۰ میکروگرم بر لیتر و شدت فلورسنس اولیه ۸۸۸ و هدایت الکتریکی  $\mu\text{s}/\text{cm}$  ۶/۴۲ بود. در مرحله بررسی اثر کلرید پتاسیم بر آن محلول اولیه، دارای شدت فلورسنس ۷۵۶ و هدایت الکتریکی آن  $\mu\text{s}/\text{cm}$  ۳/۳۷ بوده است. طبق نتایج به دست آمده (شکل ۴-۳۹) شوری ناشی از هر دو نوع نمک، فلورسنس رودامین B به نحو محسوسی کاهش می‌یابد. بنابراین رودامین B در محیط شور بخشی از فلورسنس خود را از دست می‌دهد. نمودارهای کاهش فلورسنس با افزایش هدایت الکتریکی دارای دو شیب کاملاً متفاوت هستند. دلیل این امر است که با اضافه شدن کلرید پتاسیم تا قبل از رسیدن هدایت الکتریکی محلول به  $100 \mu\text{s}/\text{cm}$  نمودار دارای شیب بسیار تنگی است و با افزایش شوری به بیشتر از این مقدار روند کاهش در فلورسنس با شدت کمتری ادامه می‌یابد. در مورد نمک سدیم فلورسنس تا رسیدن محلول به هدایت الکتریکی  $100 \mu\text{s}/\text{cm}$  ثابت است و با افزایش بیشتر شوری، کاهش خفیفی در فلورسنس رخ می‌دهد. و در نهایت اینکه در محلول‌هایی با هدایت الکتریکی بیش از  $100 \mu\text{s}/\text{cm}$  فلورسنس به شدت کاهش می‌یابد.

#### **۴-۵-۴- اثر شوری بر پرمنگنات پتاسیم**

در این آزمایش محلولی به غلظت ۱۰ میلیگرم بر لیتر با شدت رنگ اولیه ۷۴ PtCo و هدایت الکتریکی  $10/2 \mu\text{s}/\text{cm}$  میکروزیمنس بر سانتی‌متر در مرحله اول و شدت رنگ ۸۸ و هدایت الکتریکی  $10/45 \mu\text{s}/\text{cm}$  در مرحله دوم، تهیه شد. با افزودن نمک سدیم و پتاسیم طی دو مرحله تغییرات شدت رنگ محلول اولیه مورد ارزیابی قرار گرفت. نتایج این آزمایش نشان داد که با افزایش شوری در محیط شدت رنگ پرمنگنات پتاسیم تغییر نخواهد کرد (شکل ۴-۴۰). تنها در محیط‌هایی با شوری بسیار زیاد به علت

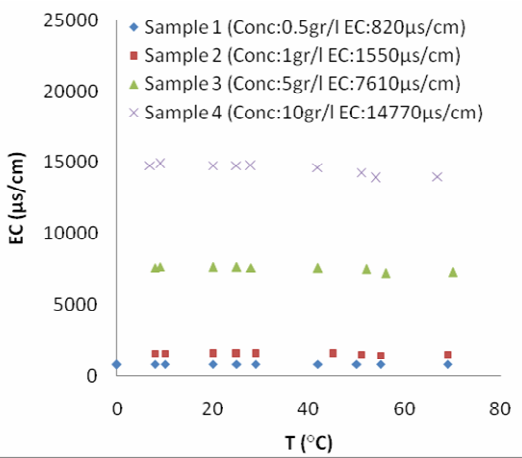
کدر شدن محلول شدت رنگ در نمونه‌ها افزایش خواهد یافت. هم چنین این آزمایش نشان داد که تغییرات شدت رنگ در پرمنگنات پتاسیم بر خلاف ردیاب‌های فلورستت به نوع نمک موجود در محیط بستگی ندارد.

باید به این نکته توجه داشت که پرمنگنات پتاسیم نیز یک نمک می‌باشد. بنابراین هنگامی که برای سنجش مقدار آن در محیط از هدایت سنج استفاده می‌شود وجود کلرید سدیم یا پتاسیم در محیط منجر به افزایش هدایت الکتریکی و ایجاد خطا در نتایج عملیات ردیابی خواهد شد.



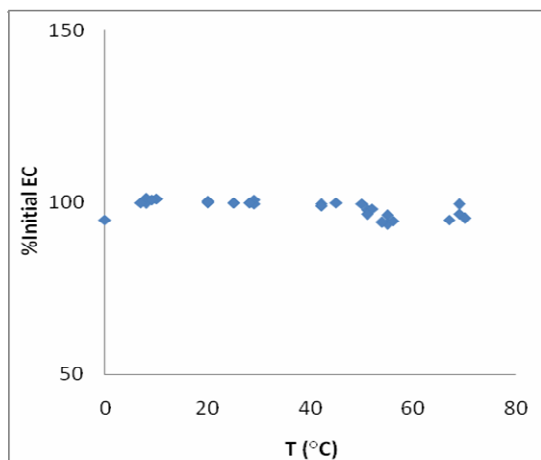
شكل ٤-٣٢- اثر دما بر درصد  
هدایت الکتریکی اولیه NaCl

شكل ٤-٣٦- اثر دما بر درصد  
شدت رنگ اولیه KMnO<sub>4</sub>

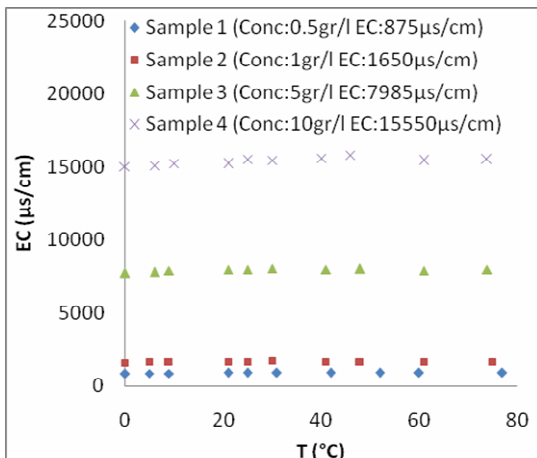


شكل ٤-٣١- اثر دما بر هدایت

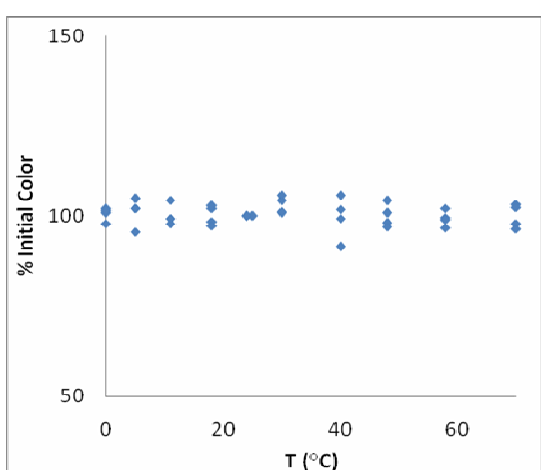
الектريكي



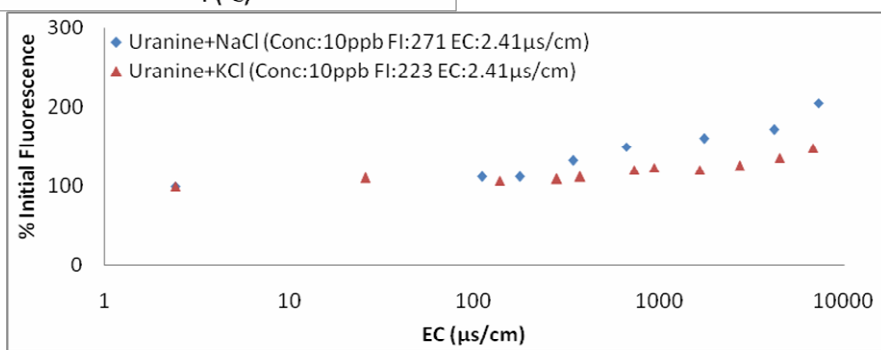
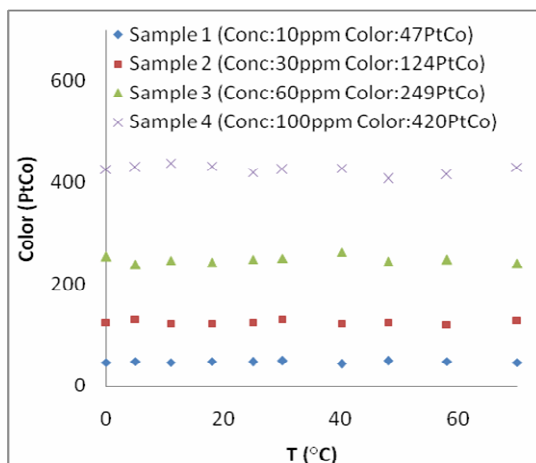
شكل ٤-٣٤- اثر دما بر درصد  
هدایت الکتریکی اولیه KCl



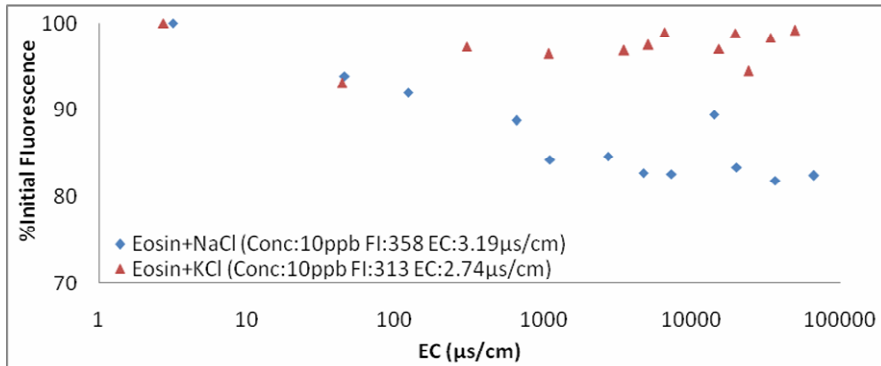
شكل ٤-٣٣- اثر دما بر هدایت  
الكتريكي KCl



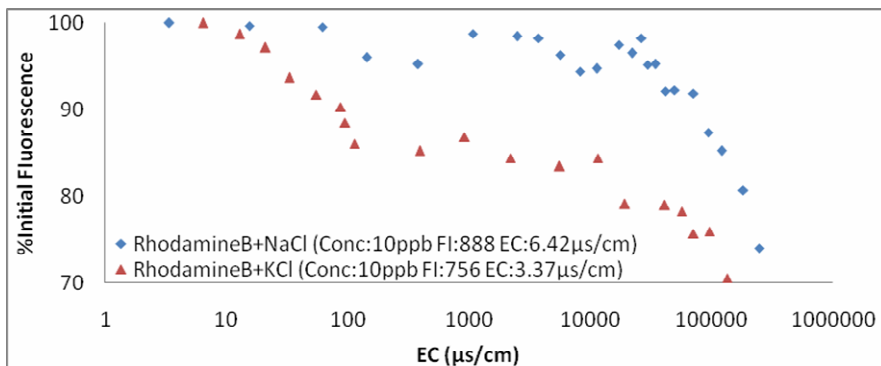
شکل ۴-۳۵- اثر دما بر شدت رنگ  $\text{KMnO}_4$



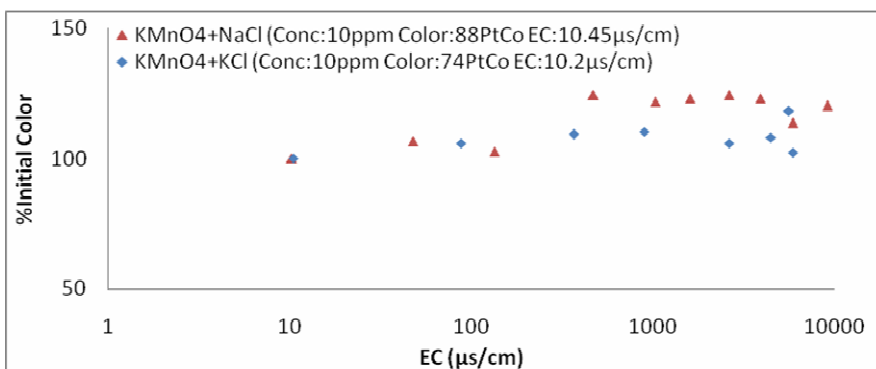
شکل ۴-۳۷- اثر شوری ناشی از دو نوع نمک بر فلورسنس اورانین



شکل ۴-۳۸- اثر شوری ناشی از دو نوع نمک بر فلورسنس ائوزین



شکل ۴-۳۹- اثر شوری ناشی از دو نوع نمک بر فلورسنس رودامینB



شکل ٤-٤- اثر شوری ناشی از دو نوع نمک بر شدت رنگ KMnO<sub>4</sub>

#### ٤-٦- جذب در محیط ریزدانه

فرایند جذب ردیاب توسط سطح رسوبات و یا بدنه آبخوان یکی از فاکتورهای مهمی است که به ویژه در عملیات ردیابی آبخوان‌های آبرفتی نقش عمده‌ای در موفقیت عملیات ردیابی دارد. شیائو و همکاران (Shiau et al. ١٩٩٣)، کتلسون و میر ویندل (Ketelsen and Meyer-Windel ١٩٩٩) و مون (Mon ٢٠٠٦)، مسئله جذب را از مهمترین عواملی که استفاده از ردیاب‌ها را محدود می‌سازد معرفی می‌نمایند. فلوری و فلوهر (Flury and Flühler ١٩٩٥) نیز جذب را فرایندی برگشت ناپذیر می‌دانند. عوامل متعددی بر میزان جذب ردیاب توسط رسوبات نقش دارند از جمله این عوامل که در مورد ردیاب‌های فلورسنست توسط اسمارت و لیدلا (Smart and Laidlaw ١٩٧٧) ذکر شده است: pH، دما، درجه آشفتگی آب، مقدار رسوبات، نوع رسوبات، غلظت ردیاب و نوع ردیاب می‌باشد. درصد جذب ردیاب توسط رسوبات حاوی مواد آلی بیشتر از رسوبات فاقد مواد آلی است (Aley ١٩٩٩).

طبق تحقیقات فاریا (Faria et al. ٢٠٠٤) خصوصیات شیمیایی ردیاب، نقش کلیدی در مقاومت یا عدم مقاومت ردیاب در برابر جذب را دارد. همان طور که در بخش ٧-٢ اشاره شد عمدت‌ترین روش‌های اندازه‌گیری میزان جذب ردیاب‌ها توسط رسوبات، آزمایش مخلوط کردن و آزمایش ستون (Atkinson et al. ١٩٩٨) و همچنین آتكینسون و بوکویکی (Igler et al. ١٩٩٨) و همکاران (Atkinson and Bukowiecki ٢٠٠٠) رسوبی می‌باشند. برای اندازه‌گیری درصد جذب تکنیک استفاده از ستون را نسبت به آزمایش مخلوط کردن پیشرفته‌تر و مناسب‌تر می‌دانند. از جمله نواقص روش مخلوط کردن که توسط گریفیون

و همکاران (Bürgisser et al. ۱۹۹۳) و همچنین برگیسر و همکاران (Griffioen et al. ۱۹۹۲) بیان

شده می‌توان به موارد زیر اشاره نمود:

- مواد رسوبی هنگام همزدن به قطعات کوچکتر شکسته می‌شوند.

- معمولاً نسبت جامد به مایع کمتر از آنچه در طبیعت وجود دارد می‌باشد.

- برای جدا سازی دو فاز جامد و مایع نیاز به فیلتر کردن و یا سانتریفیوژ نمونه‌ها می‌باشد.

با توجه به موارد فوق، با وجود سادگی و سرعت بالا در اندازه‌گیری درصد جذب با این روش، به طور کلی استفاده از ستون رسوبی روش مناسب‌تری برای تعیین خصوصیات جذبی ردیاب می‌باشد زیرا سیستم حرکت آب در آن به حرکت آب در طبیعت شباهت بیشتری دارد. در این روش با عبور محلول حاوی ردیاب مورد نظر با غلظت مشخص از ستون رسوبی با دانه بندی متفاوت (محتوی درصد مشخصی رس)، درصد ردیاب جذب شده به دست خواهد آمد.

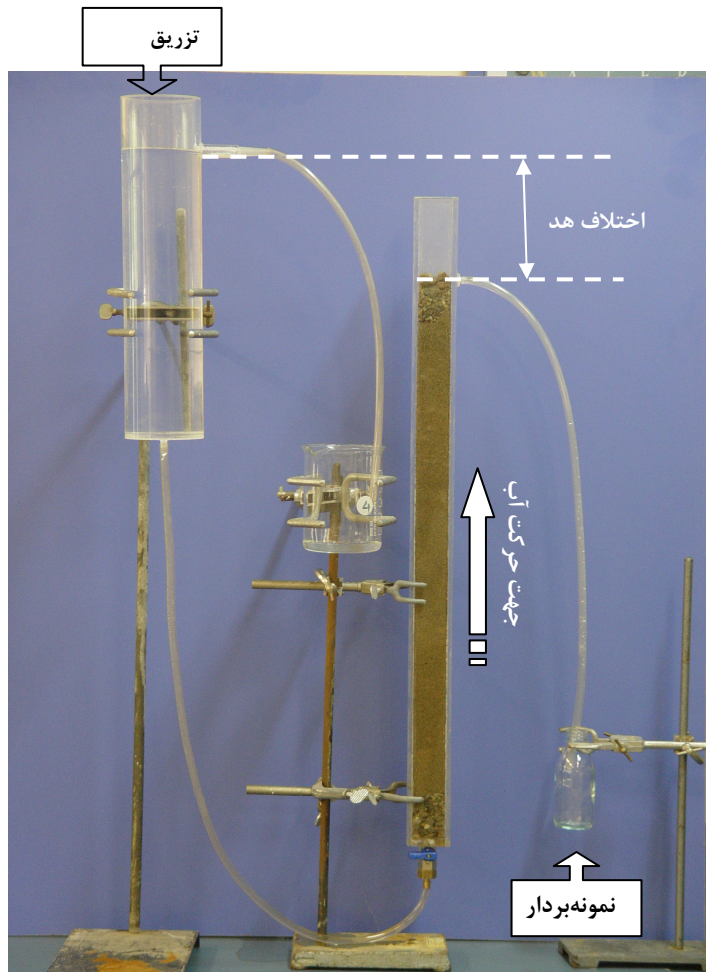
در شکل ۴-۴ مدل ساخته شده به منظور اندازه‌گیری درصد جذب رسوبات نشان داده شده است.

همان طور که در این شکل مشخص است به دلیل وجود اختلاف هد هیدرولیکی، جهت حرکت آب در ستون محتوی رسوبات از پایین به بالا می‌باشد. آب موجود در مخزن پس از عبور از میان رسوبات داخل ظروف نمونه برداری جمع آوری و اندازه‌گیری می‌شود.

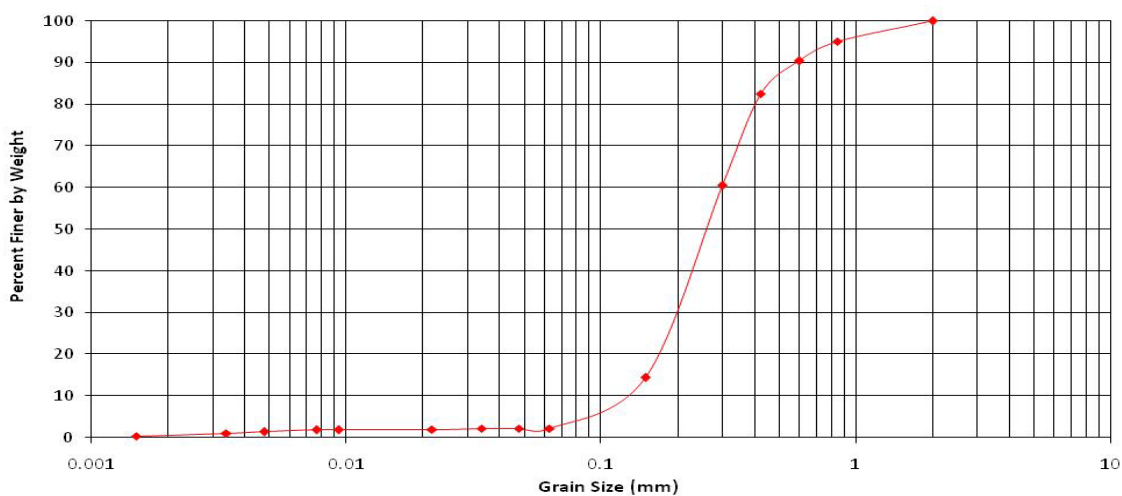
به منظور جلوگیری از حرکت رسوبات، در بالا و پایین مدل از فیلتر شنی که شامل رسوبات گرد شده بودند استفاده گردید. این رسوبات مانع از جابجایی ذرات دانه ریز رسوب به داخل لوله‌های انتقال دهنده می‌شدند. از مزایای استفاده از گراول پک، عدم نیاز به استفاده از کاغذ صافی و یا فیلترهای استیل و غیر طبیعی که بعضًا تاثیر نامطلوبی بر خواص ردیابها در چنین سیستمی دارند می‌باشد. به منظور اندازه‌گیری درصد جذب ردیاب، ابتدا باید دانه بندی مناسب برای انجام این آزمایش انتخاب می‌شد. این دانه بندی باید دارای نفوذپذیری مناسب برای عبور جریان می‌بود. به همین دلیل پس از آزمایش‌های مختلف و اندازه‌گیری نفوذپذیری رسوبات، سه دانه بندی با درصدهای متفاوت از رس

انتخاب گردید که در شکل‌های ۴۲-۴، ۴۳-۴ و ۴۴-۴ ارائه شده است. تفاوت عمدی این رسوبات در مقدار رس آن‌ها بود. سعی بر این بود که دانه بندی آن‌ها شبیه یکدیگر باشد تا بتوان بر اساس نقش مقدار رس در میزان جذب، ردیابها را مورد ارزیابی قرار داد. این رسوبات که تیپ A، B و C نامیده شده‌اند به ترتیب حاوی ۰/۵، ۲/۵ و ۵ درصد رس می‌باشند.

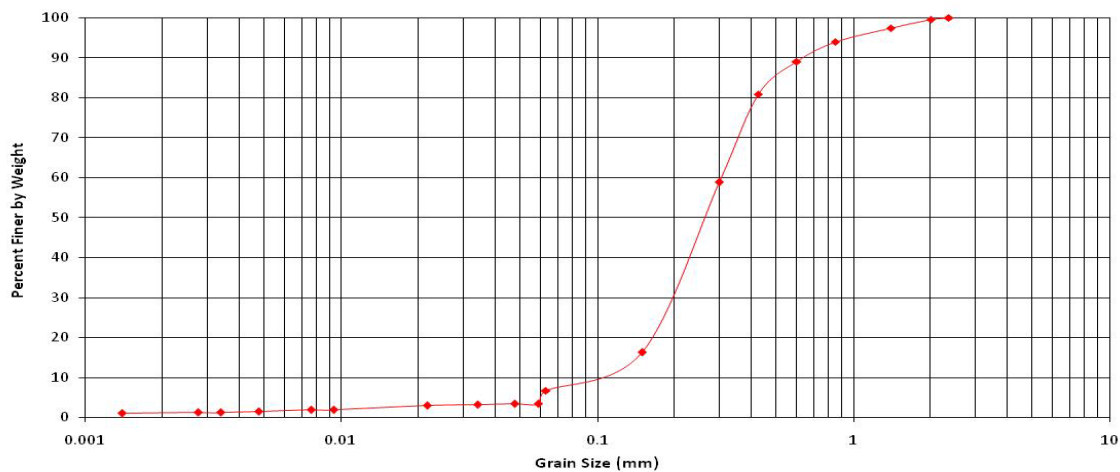
ستون مورد نظر با استفاده از رسوبات تهیه شده پر شد و پس از اشباع شدن و نمونه برداری از غلظت زمینه، مقدار مشخصی از ردیاب مورد نظر داخل مخزن تزریق و پس از عبور از ستون رسوبی با فواصل زمانی مشخص نمونه برداری شد. در نهایت با مشخص بودن مقدار ردیاب دریافت شده، درصد جذب ردیاب اندازه‌گیری شد. در این آنالیزها به منظور بررسی اثر غلظت اولیه ردیاب و هم چنین مقدار رسوب، میزان جذب ردیاب‌های مورد بررسی با غلظت‌های اولیه متفاوت و نیز درصدهای مختلفی از رس برای هر ردیاب تکرار شد. لذا برای هر ردیاب ۹ آزمایش به منظور به دست آوردن درصد جذب انجام گردید. قبل از انجام تست‌های اصلی، آزمایش‌های اولیه‌ای به منظور تخمین میزان جذب ردیاب‌ها صورت گرفت.



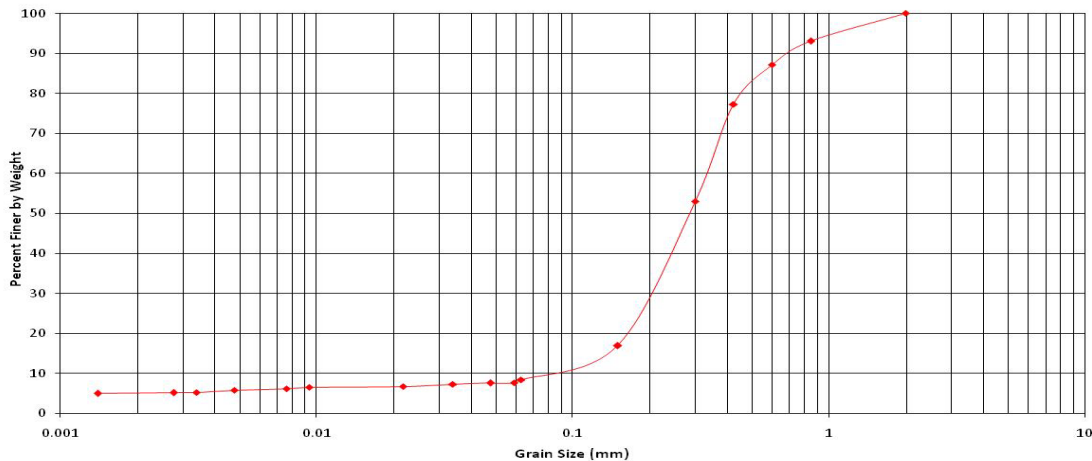
شکل ۴-۴ - مدل ستون رسوی به منظور اندازه‌گیری مقاومت ردیابها در برابر جذب



شکل ۴-۴۲ - دانه بندی مربوط به رسوبات تیپ A، محتوی حدود ۵٪ درصد رس



شکل ۴-۴-۲ - دانه بندی مربوط به رسوبات تیپ B، محتوی حدود ۵/۰ درصد رس



شکل ۴-۴-۳ - دانه بندی مربوط به رسوبات تیپ C، محتوی حدود ۵ درصد رس

#### ۴-۶-۱- اندازه‌گیری میزان جذب اورانین

برای محاسبه درصد جذب اورانین، پس از آماده سازی و پر کردن مدل‌ها توسط رسوبات دارای دانه بندی متفاوت و اشباع نمودن آن‌ها، نمونه برداری به منظور به دست آوردن فلورسنس زمینه صورت گرفت. سپس ۱ لیتر اورانین با غلظت اولیه حدود ۱ میکروگرم بر لیتر در مخزن مدل تزریق و نمونه برداری ادامه یافت تا تقریباً تمام ردیاب تزریقی خارج شد. در نهایت تغییر غلظت نمونه‌های عبوری از ستون رسوبی با زمان به صورت یک نمودار رسم شد. با توجه به مشخص بودن حجم و غلظت هر نمونه و هم چنین مقدار ردیاب تزریق شده، سطح زیر نمودار به دست آمده نشان دهنده

غلظت کل ردیاب در نمونه‌های خارج شده از مدل می‌باشد. با مقایسه این مقدار با مقدار ردیاب تزریقی، میزان اورانین جذب شده توسط رسوبات به دست آمد. این آزمایش برای اورانین با غلظت‌های اولیه ۱۴ و ۲۰ میکروگرم بر لیتر تکرار شد. شکل‌های ۴۵-۴، ۴۶-۴ و ۴۷-۴ غلظت نمونه‌های عبور از ستون را با غلظت‌های اولیه متفاوت تزریقی به ترتیب در سه نوع دانه بندی تیپ A، B و C و نمودار شکل ۶۳-۴ تغییرات درصد جذب اورانین با افزایش درصد رس و غلظت اولیه ردیاب را نشان می‌دهند. طبق این نمودارها با افزایش درصد رس در رسوبات ضریب انتقال کاهش یافته و مدت زمان بیشتری برای خروج ردیاب و بازگشت به غلظت زمینه طول خواهد کشید.

با مقایسه شکل‌های ۴۵-۴، ۴۶-۴ و ۴۷-۴ مشخص شد که با افزایش رس در رسوبات، ردیاب با تاخیر بیشتری ظاهر شده و هم چنین قله نمودارها نیز پایین‌تر آمده است. طبق شکل ۶۳-۴ درصد جذب اورانین در دانه بندی تیپ A کمتر از تیپ B و درصد جذب تیپ B نیز کمتر است از تیپ C می‌باشد. به علاوه درصد جذب وابسته به غلظت اولیه ردیاب بوده و با آن رابطه عکس دارد. طبق این نمودار حداکثر اورانین جذب شده در این آنالیزها حدود ۲۲ درصد است.

به این ترتیب می‌توان نتیجه گرفت اورانین تا حد قابل قبولی در برابر جذب توسط محیط مقاوم بوده و تنها بخشی از آن توسط رسوبات جذب می‌شود.

#### ۴-۶-۲- اندازه‌گیری میزان جذب ائوزین

به منظور برآورده میزان مقاومت ائوزین در برابر جذب توسط رسوبات، پس از آماده و اشباع سازی مدل‌ها و نمونه برداری از فلورسنس زمینه، محلول‌هایی با غلظت ۱، ۱۰ و ۲۰ میکروگرم بر لیتر و به حجم یک لیتر در مخزن هر کدام از مدل‌ها تزریق و نمونه برداری از نمونه‌های خروجی صورت گرفت. این آزمایش در سه نوع رسوب مورد بررسی (رسوبات تیپ A، B و C) تکرار شد (شکل‌های ۴۸-۴، ۴۹-۴ و ۵۰-۴). نمودار شکل ۶۴-۴ تغییرات درصد جذب ائوزین با افزایش درصد رس و غلظت اولیه ردیاب را نشان می‌دهد.

طبق نتایج به دست آمده از نمودارهای ۴۸-۴ تا ۵۰-۴ درصد جذب ائوزین بسیار ناچیز بوده و در اکثر آزمایش‌ها نمونه‌هایی که فلورسنس آن‌ها برابر با فلورسنس تزریق شده بود دریافت شد. طبق نمودار ۶۴-۴ درصد جذب ائوزین نیز همانند اورانین به مقدار رس و درصد اولیه ردیاب بستگی دارد.

#### ۳-۶-۴- اندازه‌گیری میزان جذب رودامین B

برای اندازه‌گیری رودامین B نیز، پس از آماده سازی مدل‌ها و نمونه برداری از مقدار فلورسنس زمینه، محلول رودامین B با غلظت ۱، ۵ و ۱۰ میکروگرم بر لیتر تهیه و داخل مخزن تزریق گردیده و پس از عبور آن از ستون رسوبی با سه نوع رسوب تیپ A، B و C نمونه برداری انجام شد. به دلیل بالا بودن درصد جذب رودامین B، حجم محلول تزریق شده در این آزمایش‌ها ۲ لیتر بود (شکل‌های ۴-۵۱، ۵۲-۴ و ۵۳-۴). طبق این نمودارها، رودامین B به شدت جذب رسوبات شده و در مقایسه با اورانین و ائوزین مقاومت بسیار کمی در برابر جذب دارد. شبیه زیاد منحنی‌های شکل ۶۵-۴ نشان دهنده نقش اساسی مقدار رس بر درصد جذب رودامین B است. با توجه به این نتایج رودامین B مقاومت بسیار کمی در برابر جذب توسط محیط داشته و به سرعت توسط رسوبات جذب می‌شود. به علاوه طبق مشاهدات صورت گرفته رودامین B به شدت توسط ظروف آزمایشگاهی نیز جذب می‌شود.

#### ۴-۶-۴- اندازه‌گیری میزان جذب کلرید سدیم و پتاسیم

برای برآورد درصد جذب کلرید سدیم و پتاسیم توسط رسوبات، پس از آماده سازی ستون‌های حاوی رسوبات و اشباع آن‌ها، هدایت الکتریکی زمینه اندازه‌گیری شد. سپس از هر نمک سه محلول با غلظت‌های اولیه ۱، ۵ و ۱۰ میلی‌گرم بر لیتر تهیه و ۲ لیتر از آن در مخزن مدل تزریق و بعد از عبور محلول، از ستون رسوبی نمونه برداری صورت گرفت و هدایت الکتریکی هر کدام از نمونه‌ها اندازه‌گیری شد.

شکل‌های ۵۴-۴، ۵۵-۴ و ۵۶-۴ نمودار جذب کلرید سدیم و شکل‌های ۵۷-۴، ۵۸-۴ و ۵۹-۴ نمودار جذب کلرید پتاسیم را نشان می‌دهد. شکل‌های ۶۶-۴ و ۶۷-۴ نیز تغییرات درصد جذب کلرید سدیم و پتاسیم را با افزایش درصد رس و غلظت اولیه ردیاب نشان می‌دهد. طبق نتایج به دست آمده منحنی ظهور این ردیاب‌ها با ردیاب‌های فلورسنت تفاوت عمدی داشته و قله منحنی‌ها بسیار پهن‌تر است. نمک‌ها نیز توسط رسوبات جذب شده و در محیط باقی می‌مانند.

به طور کلی کلرید پتاسیم بیشتر از کلرید سدیم جذب می‌شود. افزایش درصد جذب با کاهش غلظت اولیه ردیاب در مورد نمک‌های سدیم و پتاسیم نیز صادق است اما به شدت ردیاب‌های فلورسنت نبوده و کمتر به آن وابسته است. درصد جذب این مواد نیز با درصد رس محیط رابطه مستقیم دارد.

#### ۴-۵-۶-۴- اندازه‌گیری میزان جذب پرمنگنات پتاسیم

در این آزمایش به منظور اندازه‌گیری درصد جذب پرمنگنات پتاسیم توسط رسوبات و مقایسه آن با مقاومت سایر ردیاب‌ها در برابر جذب، تغییرات شدت رنگ محلول پرمنگنات پس از عبور از ستون رسوبی مورد بررسی قرار گرفت. غلظت محلول‌های اولیه ۱۰، ۵۰ و ۱۰۰ میلی گرم بر لیتر بوده و در هر مرحله، دو لیتر از آن‌ها در مخزن مدل ستون رسوبی تزریق شد.

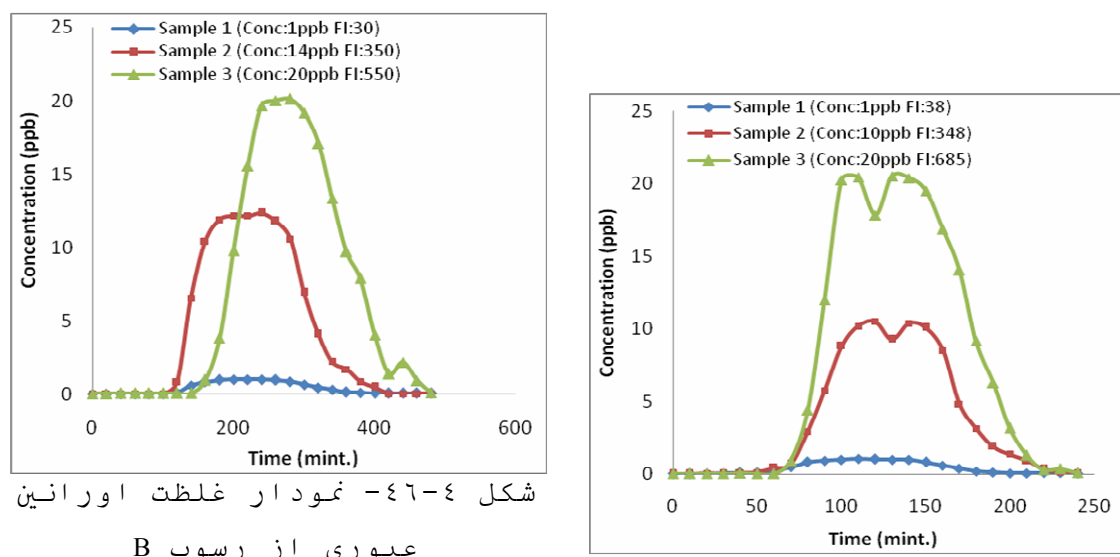
نتایج این آنالیزها به صورت نمودارهای تغییرات شدت رنگ با زمان به دست آمد که نسبت به سایر ردیاب‌ها دارای نوسانات بیشتری بود و پس از رسیدن به غلظت حداقل، مقدار آن به تدریج کاهش می‌یافتد (شکل‌های ۶۰-۴، ۶۱-۴ و ۶۲-۴). نتایج بیانگر درصد جذب بالای پرمنگنات پتاسیم توسط محیط است. نمونه‌های دریافت شده پس از عبور از ستون رسوبی قادر هرگونه رنگ قابل تشخیص توسط چشم بودند. نمودار شکل ۶۸-۴ تغییرات درصد جذب پرمنگنات پتاسیم را با افزایش درصد رس و غلظت اولیه ردیاب نشان می‌دهد. طبق این نمودار درصد جذب پرمنگنات پتاسیم کمتر از سایر

رديابها به غلظت اوليه محلول وابسته است. با افزایش درصد رس در محیط اين ردياب نيز مانند ساير رديابهاي مورد بررسى، بيشتر توسط محیط جذب مى شود.

با مقایسه درصد جذب رديابها طبق نمودارهای ۶۳-۴ تا ۶۸-۴ مقاومت رديابها در برابر جذب به شدت تحت تاثير مقدار رس موجود در محیط قرار مى گيرد. در بيشتر رديابهاي مورد بررسى درصد جذب با غلظت اوليه رابطه عکس و با درصد رس رابطه مستقيم دارد.

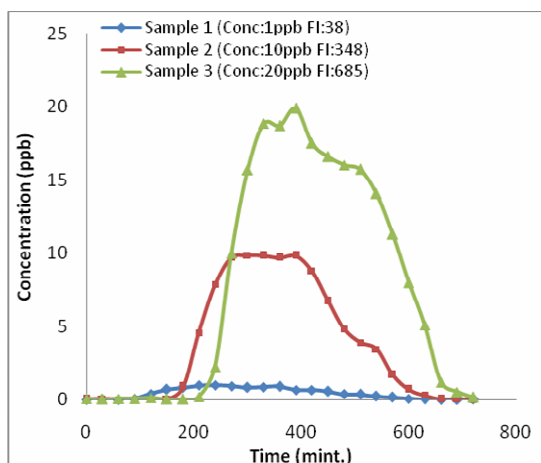
نتایج اندازهگیری درصد جذب رديابها در جدول ۴-۴ ارائه شده است. همان طور که در اين جدول مشخص است درصد جذب در رديابها با يكديگر کاملاً متفاوت است. اين تفاوت در نمودار شکل ۶۹-۴ به خوبی قابل تشخيص مى باشد. طبق اين نمودار رودامين B و پرمنگنات پتاسييم کمترین مقاومت را در برابر جذب دارا مى باشند و در درصد قابل توجهی از آنها توسط محیط جذب خواهد شد. بر خلاف اين دو ردياب کلرييد سدييم و پتاسييم دارای مقاومت بيشتری در برابر جذب بوده و بخشی از آنها جذب رسوبات خواهد شد.

اورانيين نيز از رديابهاي مقاوم در برابر جذب بوده و درصد کمي از آن توسط محیط جذب خواهد شد. اوزين نيز از بين رديابهاي مورد بررسى داراي بيشترین مقاومت در برابر جذب بوده و نسبت به ساير رديابها درصد ناچيزی از آنها در محیط باقی مى ماند.



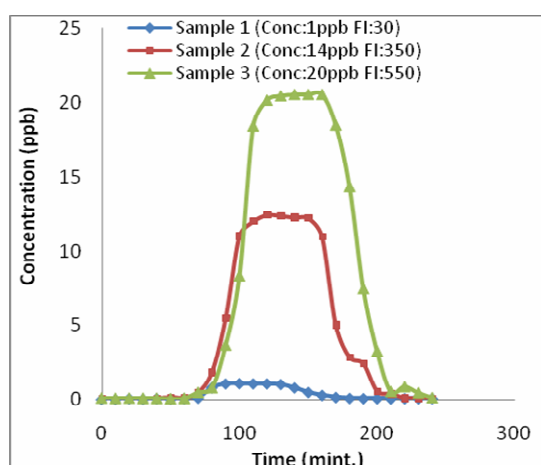
شكل ٤-٤٨ - نمودار غلظت ائوزین

عبوری از رسوب A



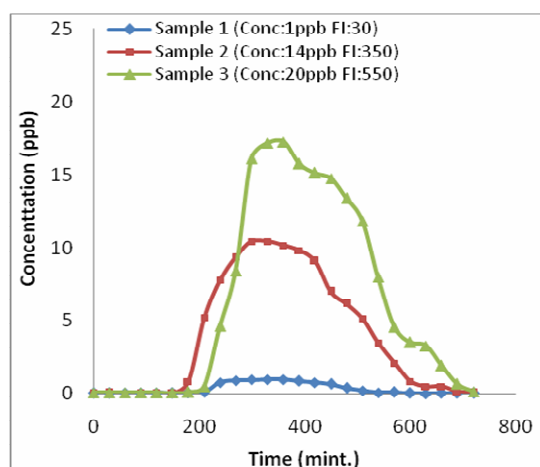
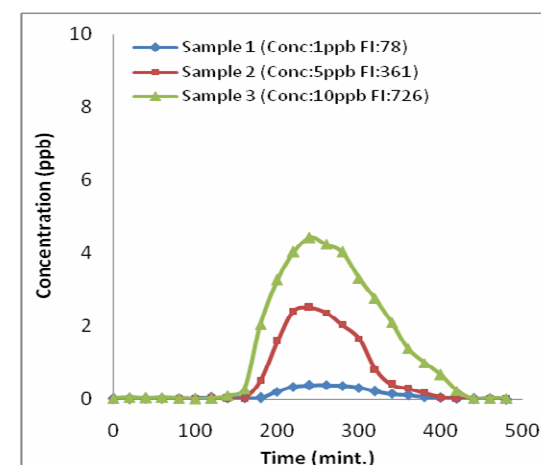
شكل ٤-٤٩ - نمودار غلظت ائوزین

عبوری از رسوب C



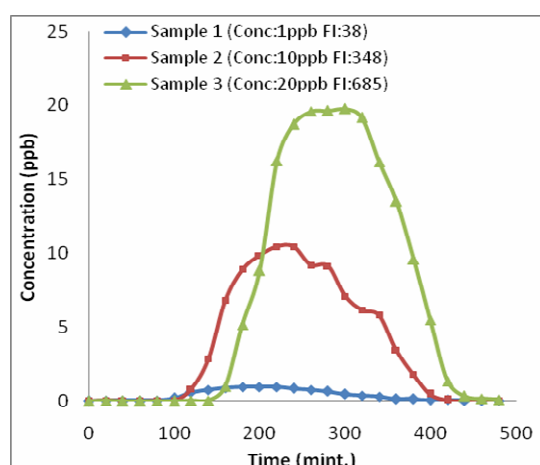
شكل ٤-٤٥ - نمودار غلظت اورانین

عبوری از رسوب A



شكل ٤-٤٧ - نمودار غلظت اورانین

عبوری از رسوب C



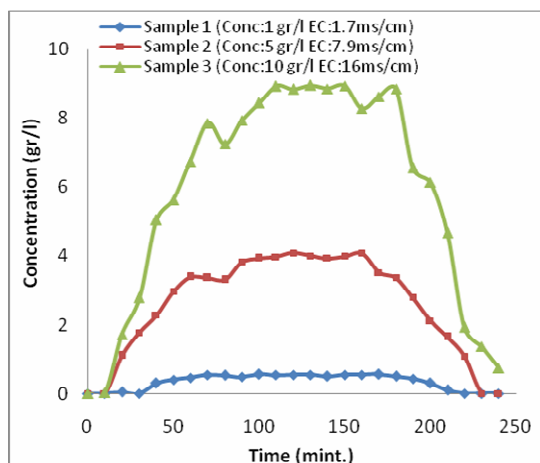
شكل ٤-٤٩ - نمودار غلظت ائوزین

عبوری از رسوب B

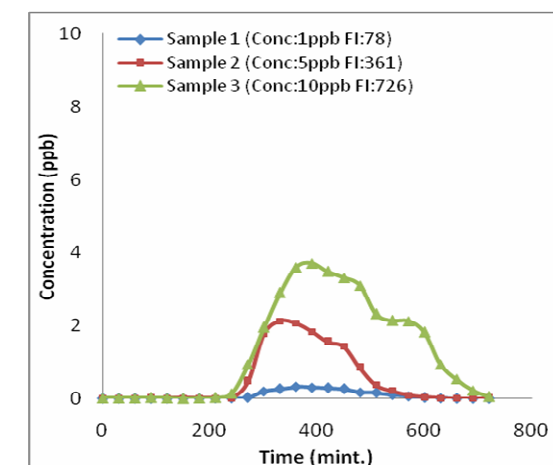
شكل ٤-٥٢ - نمودار غلظت روادامین

عبوری از رسوب B

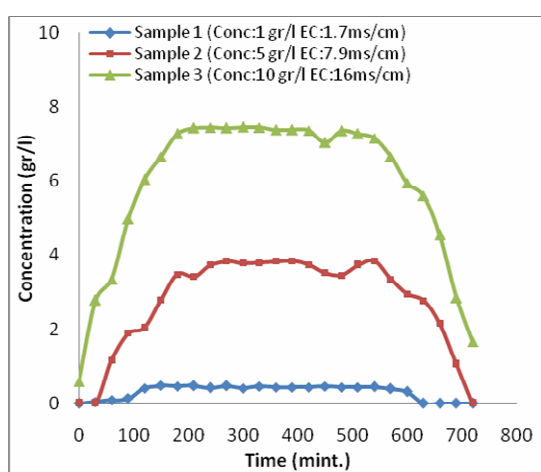
شکل ٤-٥ - نمودار غلظت رود امین  
عبوری از رسوب A



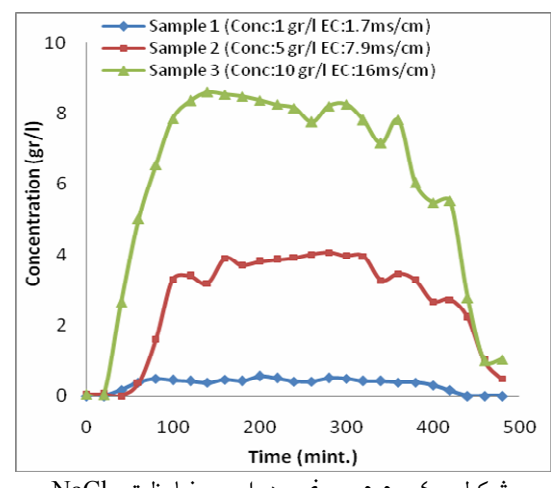
شکل ٤-٤ - نمودار غلظت NaCl  
عبوری از رسوب A



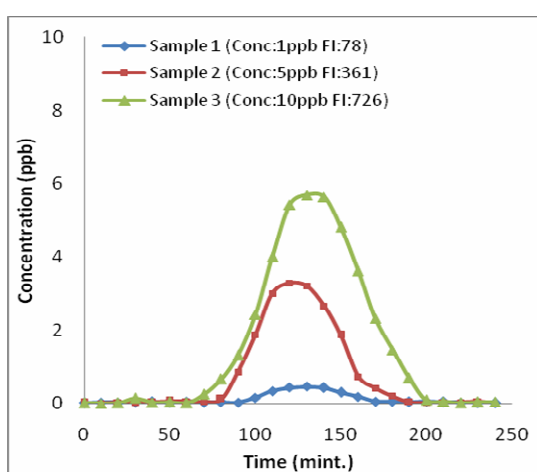
شکل ٤-٥ - نمودار غلظت رود امین C  
عبوری از رسوب

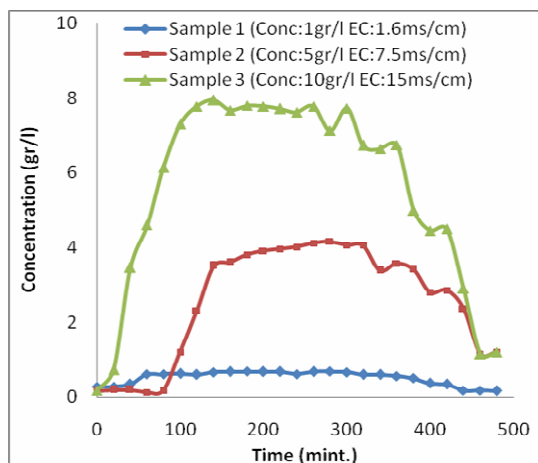


شکل ٤-٦ - نمودار غلظت NaCl  
عبوری از رسوب C

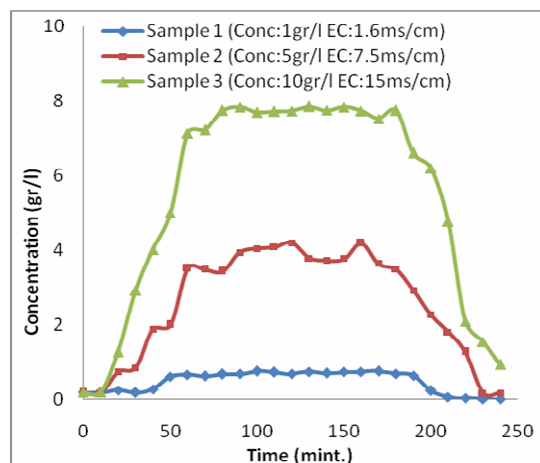


شکل ٤-٥ - نمودار غلظت رود امین B  
عبوری از رسوب

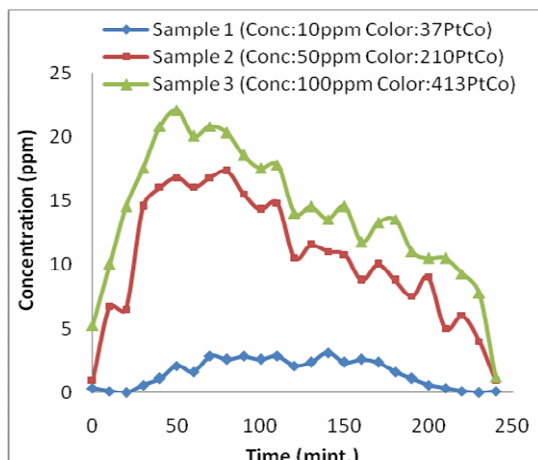




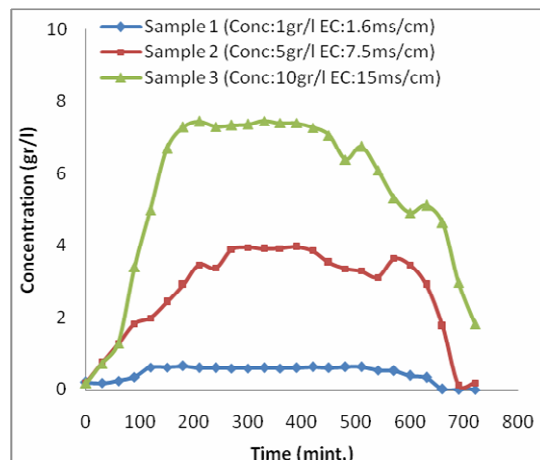
شكل ٤-٥-٨ - غلظت KCl عبوری از رسوب B



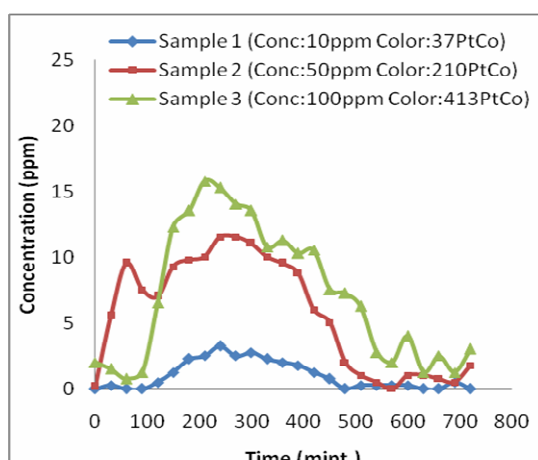
شكل ٤-٥-٧ - غلظت KCl عبوری از رسوب A



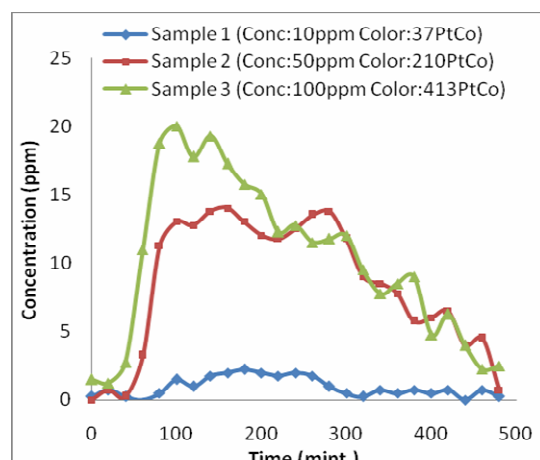
شكل ٤-٦-٠ - غلظت KMnO<sub>4</sub> عبوری از رسوب A



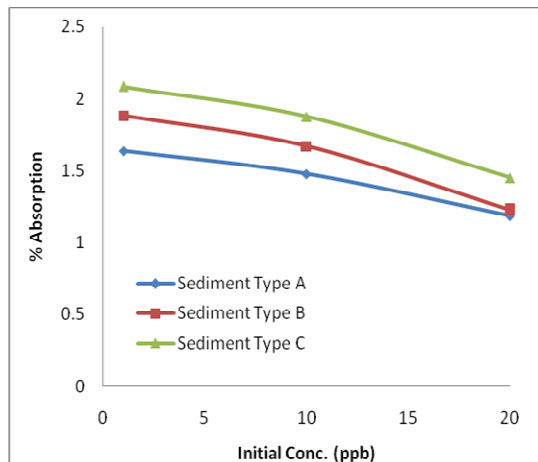
شكل ٤-٥-٩ - غلظت KCl عبوری از رسوب B



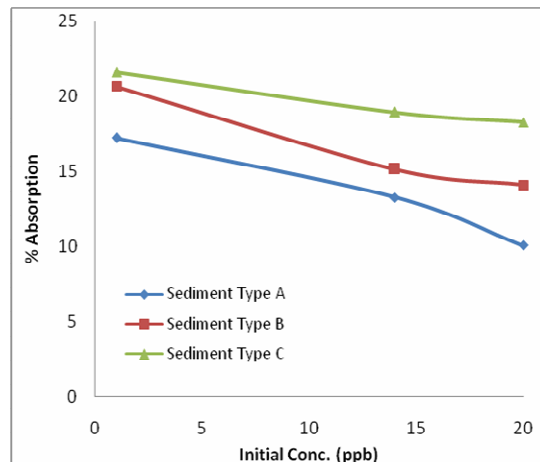
شكل ٤-٦-٢ - غلظت KMnO<sub>4</sub> عبوری از رسوب C



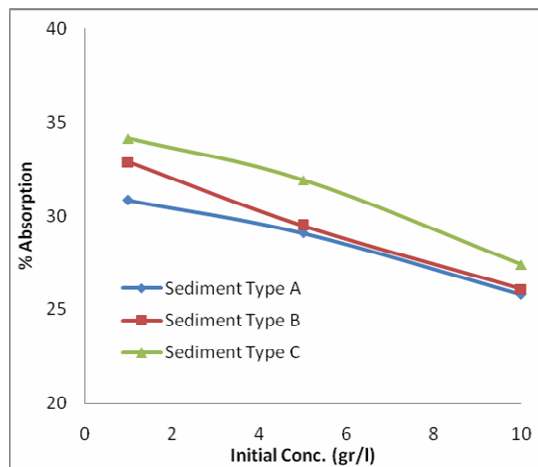
شكل ٤-٦-١ - غلظت KMnO<sub>4</sub> عبوری از رسوب B



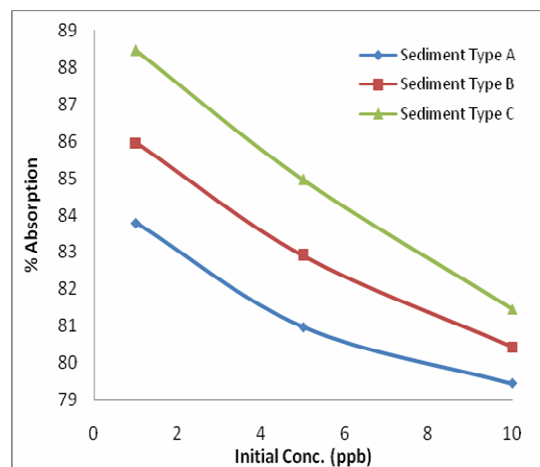
شكل ٤-٦٤- تغییرات درصد جذب ائوزین با غلظت‌های اولیه متفاوت در سه نوع دانه بندی



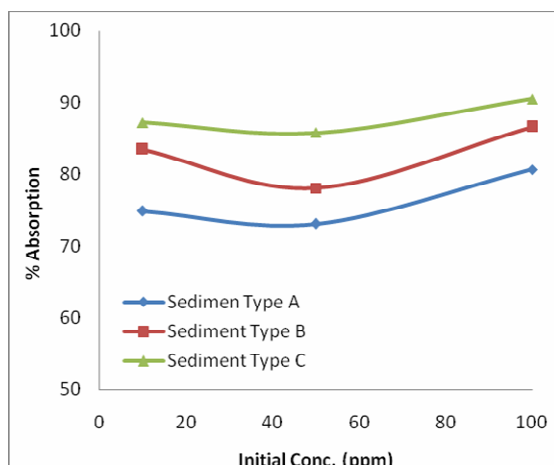
شكل ٤-٦٣- تغییرات درصد جذب اورانین با غلظت‌های اولیه متفاوت در سه نوع دانه بندی



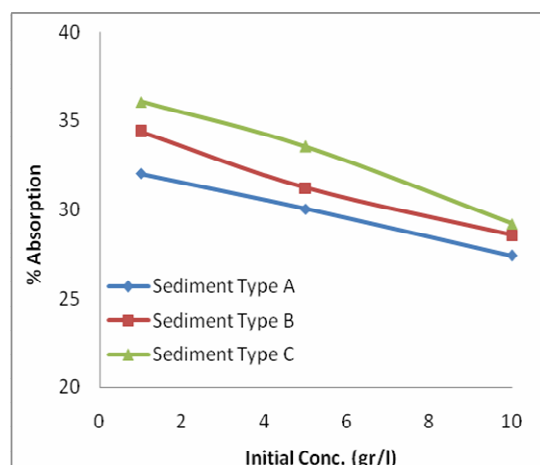
شكل ٤-٦٦- تغییرات درصد جذب NaCl با غلظت‌های اولیه متفاوت در سه نوع دانه بندی



شكل ٤-٦٥- تغییرات درصد جذب رود امین B با غلظت‌های اولیه متفاوت در سه نوع دانه بندی



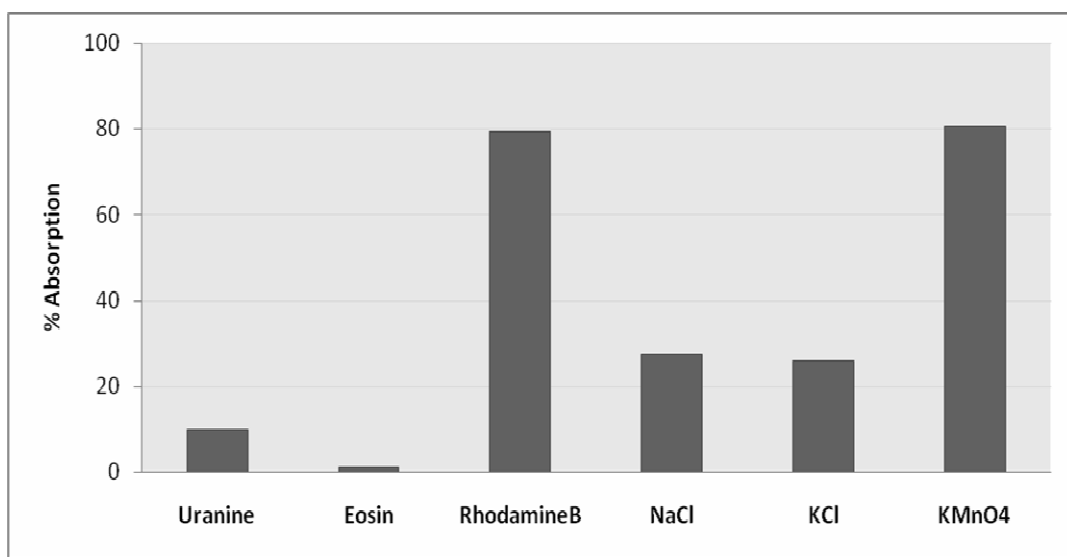
شكل ٤-٦٨- تغییرات درصد جذب KMnO<sub>4</sub> با غلظت‌های اولیه متفاوت در سه نوع دانه بندی



شكل ٤-٦٧- تغییرات درصد جذب KCl با غلظت‌های اولیه متفاوت در سه نوع دانه بندی

جدول ۴-۴- درصد جذب ردیاب‌ها با غلظت‌های اولیه متفاوت در سه نوع دانه بندی به روش ستون رسوی

| درصد جذب    |                 |                 | غلظت محلول<br>اولیه | نام ردیاب       |
|-------------|-----------------|-----------------|---------------------|-----------------|
| دانه بندی C | دانه بندی تیپ B | دانه بندی تیپ A |                     |                 |
| ۲۱/۶        | ۲۰/۶            | ۱۷/۲            | ۱ ppb               | اورانین         |
| ۱۸/۹        | ۱۵/۱            | ۱۳/۲            | ۱۰ "                |                 |
| ۱۸/۲        | ۱۴/۰            | ۱۰/۰            | ۲۰ "                |                 |
| ۲/۰         | ۱/۸             | ۱/۶             | ۱ "                 | أوزین           |
| ۱/۸         | ۱/۶             | ۱/۴             | ۱۰ "                |                 |
| ۱/۴         | ۱/۲             | ۱/۱             | ۲۰ "                |                 |
| ۸۸/۴        | ۸۵/۹            | ۸۳/۷            | ۱ "                 | رودامین B       |
| ۸۴/۹        | ۸۲/۹            | ۸۰/۹            | ۵ "                 |                 |
| ۸۱/۴        | ۸۰/۴            | ۷۹/۴            | ۱۰ "                |                 |
| ۳۶/۰        | ۳۴/۳            | ۳۲/۰            | ۱ gr/l              | کلرید سدیم      |
| ۳۳/۵        | ۳۱/۲            | ۳۰/۰            | ۵ "                 |                 |
| ۲۹/۱        | ۲۸/۵            | ۲۷/۳            | ۱۰ "                |                 |
| ۳۴/۱        | ۳۲/۸            | ۳۰/۸            | ۱ "                 | کلرید پتانسیم   |
| ۳۱/۹        | ۲۹/۴            | ۲۹/۰            | ۵ "                 |                 |
| ۲۷/۳        | ۲۶/۰            | ۲۵/۸            | ۱۰ "                |                 |
| ۸۷/۱        | ۸۳/۴            | ۷۴/۸            | ۱۰ mg/l             | پرمگنات پتانسیم |
| ۸۵/۷        | ۸۷/۰            | ۷۳/۰            | ۵۰ "                |                 |
| ۹۰/۴        | ۸۶/۵            | ۸۰/۶            | ۱۰۰ "               |                 |



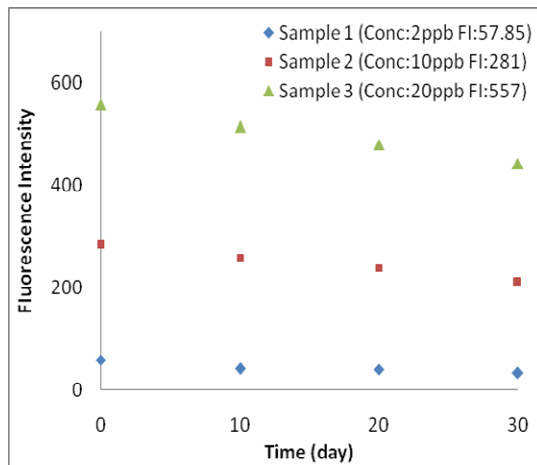
شکل ۴-۶- مقایسه حداقل درصد جذب ردیاب‌ها

## ۷-۴- اثر زمان

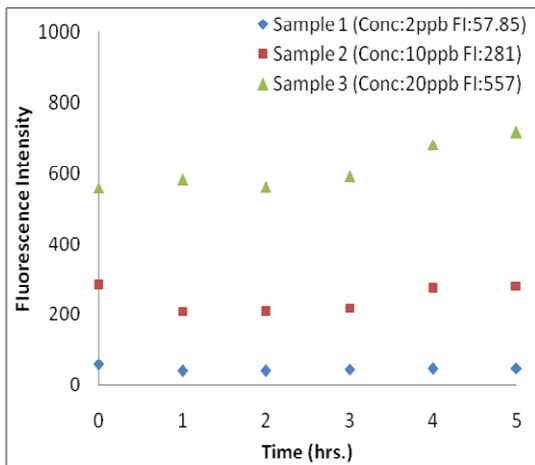
به طور کلی انجام عملیات ردیابی در یک منطقه در یک دوره زمانی مشخص صورت می‌گیرد. در طراحی عملیات ردیابی، طول دوره نمونه برداری در هر ایستگاه به فاکتورهای مختلفی از جمله فاصله نقاط تزریق و نمونه برداری، دبی چشممه، نوع آبخوان و بویژه هدف از مطالعه وابسته است. علاوه بر مدت زمان انجام عملیات ردیابی، فاکتور زمان در ارسال نمونه‌ها و مدت زمانی که طول می‌کشد تا نمونه‌ها به مرحله سنجش برسند نیز مهم است.

بررسی اثر زمان بر ردیابها طی دو مرحله و در دو دوره زمانی کوتاه مدت (۵ ساعت) به منظور ارزیابی تغییرات احتمالی در طول مدت آنالیزها در آزمایشگاه و تقدم و تأخیر در اندازه‌گیری غلظت ردیابها، و دوره بلند مدت (۳۰ روز) به منظور بررسی اثر گذشت مدت زمان بیشتر بر ردیابها صورت گرفت. در این آزمایش از هر ردیاب با استفاده از آب مقطر دو سری نمونه با غلظت‌های متفاوت تهیه شد. این نمونه‌ها در شرایط دمای استاندارد در تاریکی نگهداری شدند. در مرحله بعد، تنها با تأثیر فاکتور زمان نمونه‌ها در دو دوره زمانی کوتاه مدت و بلند مدت مورد آنالیز قرار گرفتند. نتایج این بررسی‌ها در شکل ۷۰-۴ تا ۷۱-۴ ارائه شده است.

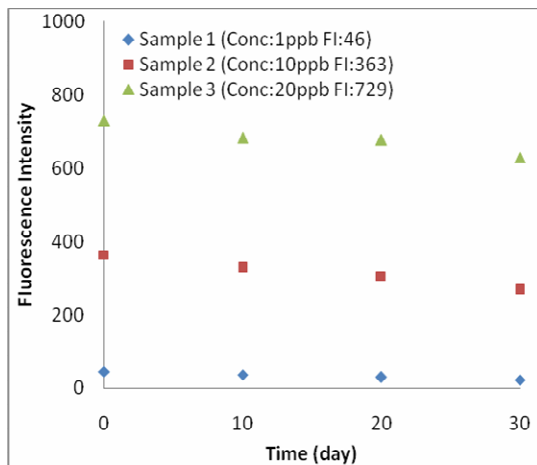
نتایج این آزمایش بیانگر چگونگی تأثیر زمان بر ویژگی ردیاب‌های فلورسنت بود. با گذشت یک ماه فلورسنس در کلیه نمونه‌های مربوط به اورانین، ائوزین و رودامین B کاهش یافت. در حالی که گذشت مدت طولانی تغییری در هدایت الکتریکی ردیاب‌های نمکی و نیز پرمنگنات پتابسیم به وجود نمی‌آورد. کاهش فلورسنس رودامین B بیش از اورانین و ائوزین بود. بنابراین رودامین B بیش از سایر ردیابها تحت تأثیر گذشت زمان قرار گرفته و فلورسنس خود را تا حدودی از دست می‌دهد. نتایج همچنین نشان داد گذشت مدت زمان کوتاه در حدود چند ساعت منجر به تغییری در ویژگی‌های مواد ردیاب نخواهد شد. توجه به این نکته در انجام سایر آزمایش‌ها در این تحقیق و نیز در عملیات‌های ردیابی که رودامین B به عنوان ردیاب اصلی بکار گرفته می‌شود بسیار ضروری است.



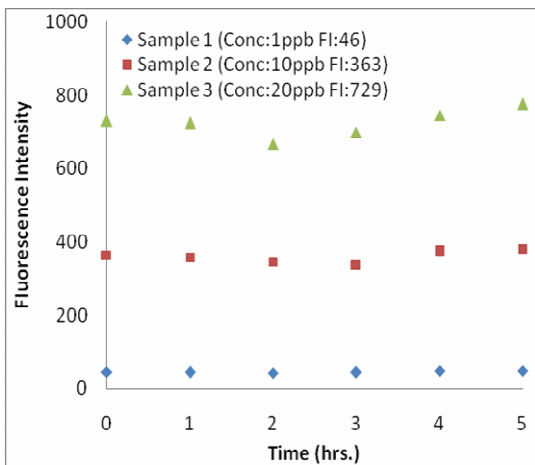
شكل ٤-٧١ - تغییرات فلورسنس اورانین در طولانی مدت



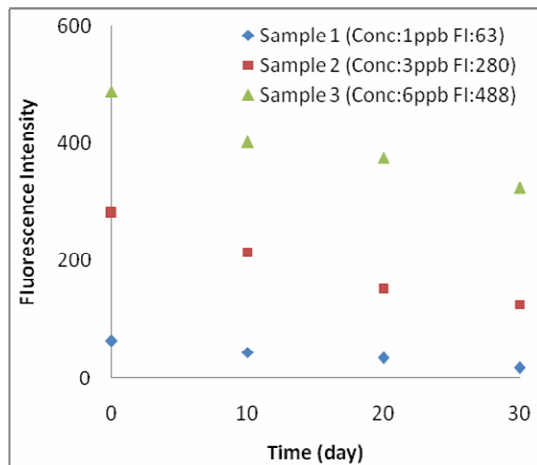
شكل ٤-٧٠ - تغییرات فلورسنس اورانین در کوتاه مدت



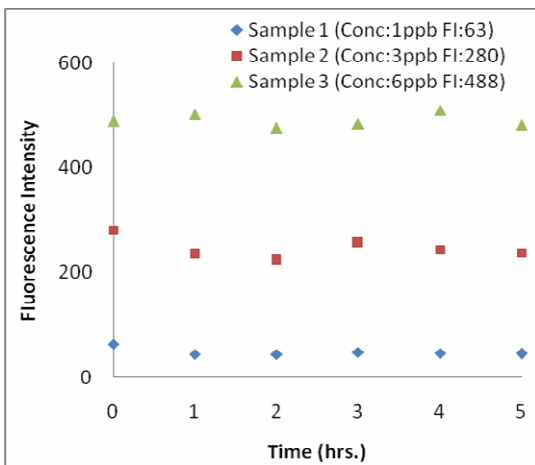
شكل ٤-٧٣ - تغییرات فلورسنس ائوزین در طولانی مدت



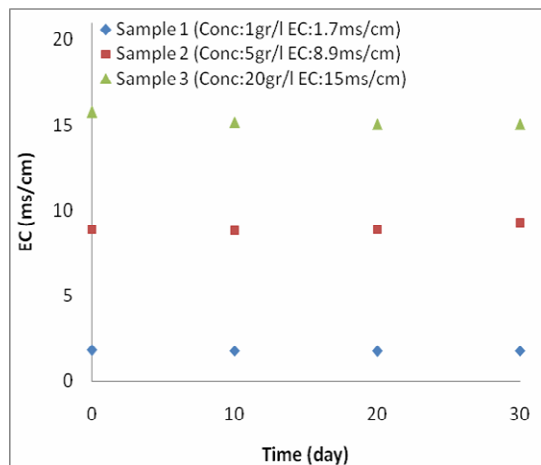
شكل ٤-٧٢ - تغییرات فلورسنس ائوزین در کوتاه مدت



شكل ٤-٧٥ - تغییرات فلورسنس رود امین B در مدت

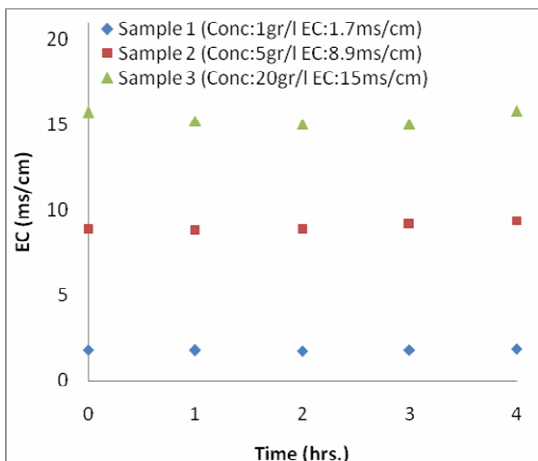


شكل ٤-٧٤ - تغییرات فلورسنس رود امین B در کوتاه مدت

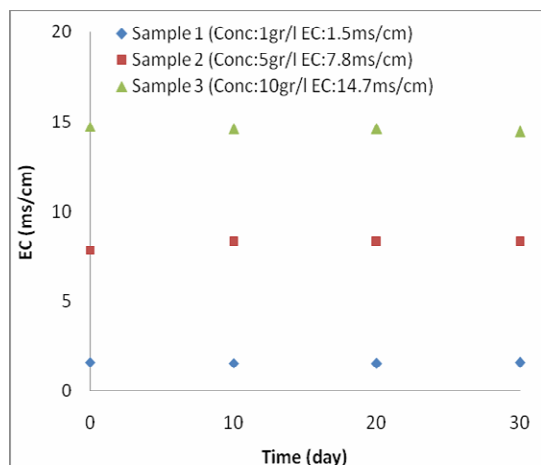


شكل ٤-٧٧ - هدایت الکتریکی  
در طولانی مدت

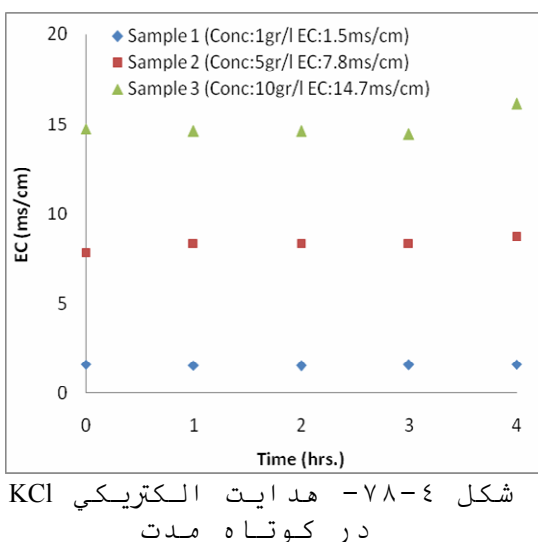
شکل ٤-٨١ - شدت رنگ محلول  
در طولانی مدت



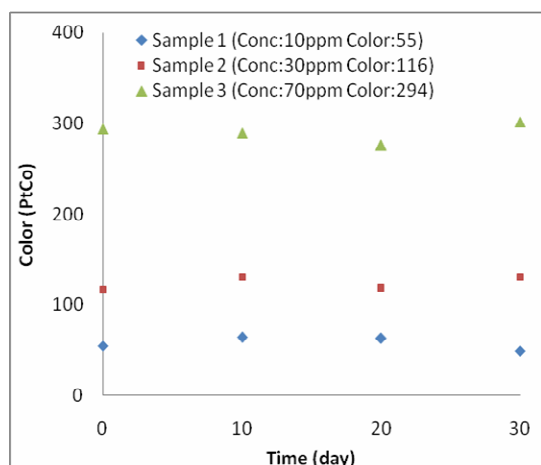
شكل ٤-٢٦ - هدایت الکتریکی  
در کوتاه مدت



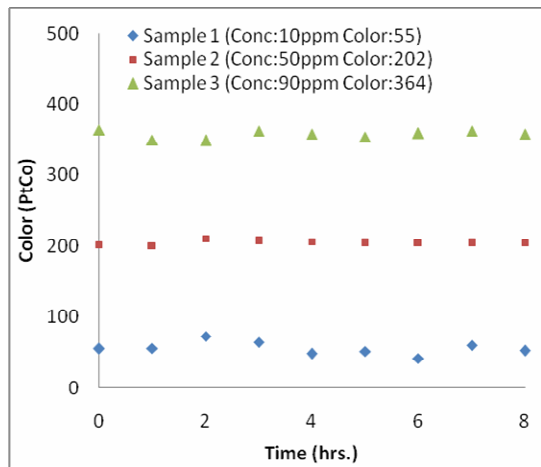
شكل ٤-٧٩ - هدایت الکتریکی  
در طولانی مدت



شكل ٤-٧٨ - هدایت الکتریکی  
در کوتاه مدت



شکل ٤ - ٨ - شدت رنگ محلول  $\text{KMnO}_4$  در کوتاه مدت



## فصل پنجم

ارزیابی ویژگی‌های برخی از ردیابها در برابر  
عوامل مصنوعی مختلف

در این فصل به ارزیابی برخی ویژگی‌های ردیاب‌های مورد نظر، در برابر عوامل مصنوعی که ممکن است ردیاب طی یک عملیات ردیابی تحت تاثیر آن‌ها قرار بگیرد پرداخته می‌شود. این عوامل در محیط غالباً به طور غیرطبیعی به وجود می‌آیند.

### ۱-۵-۱- اثر کلر آزاد باقی‌مانده

کلر یکی از مؤثرترین مواد در تصفیه آب است که استفاده از آن جهت گندزدایی آب از ابتدای قرن بیستم آغاز شده است و به صورت گاز و یا پودر مورد استفاده قرار می‌گیرد. متداول‌ترین ترکیبات کلر که در تصفیه خانه‌های آب و فاضلاب مورد استفاده قرار می‌گیرند عبارتند از گاز کلر ( $\text{Cl}_2$ )، هیپوکلرید کلسیم  $[\text{Ca}(\text{OCl})_2]$ ، هیپوکلرید سدیم  $(\text{NaOCl})$  و دی‌اکسید کلر ( $\text{ClO}_2$ ). وقتی کلر به صورت گاز وارد آب می‌شود دو واکنش رخ می‌دهد، هیدرولیز و یونیزاسیون:



مقدار  $\text{HOCl}$  و  $\text{OCl}^-$  موجود در آب را کلر آزاد در دسترس یا کلر آزاد باقی‌مانده<sup>۱</sup> می‌نامند. کلر به صورت نمک‌های هیپوکلریت نیز به آب افزوده شده و به صورت زیر واکنش می‌دهد:



در تصفیه آب همان طور که اشاره شد به دلیل خاصیت اکسیدکنندگی غالباً گاز کلر مورد استفاده قرار می‌گیرد. از آنجا که هدف از این پژوهش، بررسی اثر کلر ناشی از تصفیه آب بر ردیاب‌ها می‌باشد

۱- Free available chlorine

و نیز امکانات لازم جهت تزریق کلر به صورت گاز در مقیاس آزمایشگاهی وجود نداشت، آب خروجی از تصفیهخانه مجاور آزمایشگاه که حاوی حدود ۱ میلی گرم بر لیتر کلر آزاد باقیمانده بود به آزمایشگاه منتقل و مورد استفاده قرار گرفت. از آنجاییکه ممکن است مقداری از کلر که به صورت گاز میباشد از محلول خارج شود، تا حد امکان در طول آزمایش از تماس نمونه آب با هوا آزاد جلوگیری به عمل آمد و مقدار کلر باقیمانده با استفاده از کیت کلر سنج مجدداً در ابتدای هر آزمایش اندازهگیری شد. با توجه به این مطلب که افزایش زمان ماندگاری کلر در محلول باعث افزایش اثر اکسیدکنندگی آن میشود به همین سبب در این بخش تغییر در میزان غلظت ردیابها در مجاورت کلر با گذشت زمان نیز مورد بررسی قرار گرفت.

#### ۵-۱-۱- اثر کلر آزاد باقیمانده بر ردیاب‌های فلورسنست

به منظور ارزیابی اثر کلر آزاد باقیمانده بر ویژگی فلورسننس اورانین، ائوزین و رودامین B ابتدا غلظت‌های مختلفی از آن‌ها تهیه شد. این غلظت‌ها شامل ۱، ۱۰ و ۲۰ میکروگرم بر لیتر اورانین (به ترتیب دارای شدت فلورسننس اولیه ۵۷، ۲۸۱ و ۵۶۲)، غلظت‌های ۱، ۱۰ و ۲۰ میکروگرم بر لیتر ائوزین (به ترتیب دارای شدت فلورسننس اولیه ۴۶، ۳۶۳ و ۷۲۹) و غلظت‌های ۱، ۵ و ۱۰ میکروگرم بر لیتر رودامین B (به ترتیب دارای شدت فلورسننس اولیه ۶۳، ۲۸۰ و ۴۸۸) بودند. برای تهیه این نمونه‌ها از آب حاوی یک میلی گرم بر لیتر کلر استفاده و شدت فلورسننس نمونه‌ها بلافاصله اندازه‌گیری شد. در مرحله بعد، با گذشت زمان شدت فلورسننس نمونه‌ها اندازه‌گیری گردید. لازم به ذکر است که به منظور به دست آوردن تغییرات درصد اولیه فلورسننس، شدت فلورسننس اولیه نمونه‌های تهیه شده به وسیله‌ی آب مقطر (نمونه‌های شاهد) به عنوان شدت فلورسننس اولیه در نظر گرفته شد. تغییرات فلورسننس ردیاب‌های محتوى کلر با غلظت‌های اولیه متفاوت در شکل‌های ۱-۵، ۳-۵ و ۵-۵ و تغییرات درصد فلورسننس آن‌ها با گذشت زمان در شکل‌های ۲-۵، ۴-۵ و ۶-۵ ارائه شده است.

به این ترتیب هر سه نوع ردیاب فلورسنت به شدت تحت تاثیر کلر آزاد باقیمانده قرار گرفته و طی مدت کوتاهی فلورسنس خود را به طور کامل از دست می‌دهند. در اثر وجود کلر آزاد، اورانین و ائوزین پس از گذشت پنج ساعت و رودامین B تنها پس از گذشت ۱ ساعت فلورسنس خود را از دست دادند. نرخ این کاهش از غلظت اولیه ردیاب مستقل است. بنابراین ردیاب‌های فلورسنت مقاومت کمی در برابر کلر داشته و به سرعت از بین می‌روند. رودامین B مقاومت کمتری در برابر کلر آزاد داشته و با سرعت بیشتری نسبت به سایر ردیاب‌های فلورسنت تجزیه شده و از بین می‌رود به طوری که تنها با اضافه شدن کلر به محلول در ابتدای آزمایش بخش عمدۀ فلورسنس خود را از دست می‌دهد (شکل ۵-۶). به این ترتیب مواد فلورسنت اکسید شده و از بین می‌روند بنابراین این فرایند برگشت ناپذیر است.

### ۵-۱-۲- اثر کلر آزاد باقیمانده بر کلرید سدیم و پتاسیم

اثر کلر آزاد بر کلرید سدیم و پتاسیم نیز به عنوان دیگر ردیاب‌های مورد بررسی در این پژوهش مورد ارزیابی قرار گرفت. در مورد این دو ردیاب نیز مانند سایر ردیاب‌ها، ابتدا از هر ردیاب نمونه‌هایی با سه غلظت متفاوت با استفاده از آب حاوی یک میکروگرم بر لیتر کلر آزاد باقیمانده تهیه و تغییرات هدایت الکتریکی آن‌ها با گذشت زمان اندازه‌گیری شد. در مورد این ردیاب‌ها نیز هدایت الکتریکی نمونه‌های بدون کلر (نمونه‌های شاهد) به عنوان هدایت الکتریکی اولیه در نظر گرفته شد.

اثر کلرآزاد بر هدایت الکتریکی نمک سدیم و پتاسیم با غلظت‌های اولیه متفاوت و هم چنین درصد اولیه آن‌ها در شکل‌های ۷-۵ تا ۱۰-۵ ارائه شده است. طبق این نمودارها وجود کلر آزاد در نمونه‌ها در ابتدا منجر به کاهش هدایت الکتریکی شده اما با گذشت زمان هدایت الکتریکی محلول‌ها به مقدار اولیه خود بازگشته و تا پایان آزمایش تقریباً ثابت باقی می‌مانند. بنابراین می‌توان نتیجه گرفت برخلاف ردیاب‌های فلورسنت وجود کلر آزاد باقیمانده تاثیری بر ردیاب‌های نمکی نداشته و تغییر قابل ملاحظه‌ای در هدایت الکتریکی ناشی از آن‌ها ایجاد نمی‌کند.

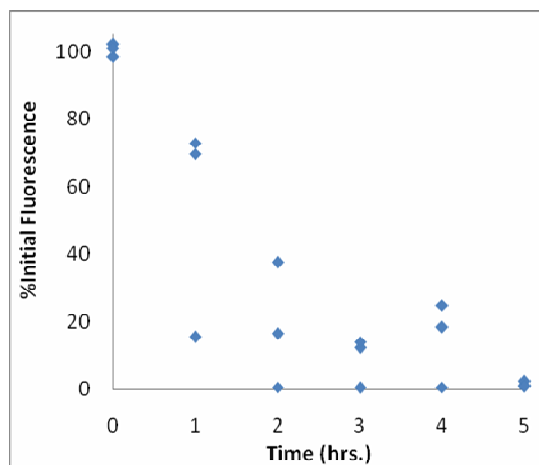
### ۳-۱-۵- اثر کلر آزاد باقیمانده بر پرمنگنات پتابسیم

در این آزمایش به دلیل احتمال کند بودن واکنش پرمنگنات، آزمایش با دو دوره زمانی کوتاه مدت و دراز مدت انجام گردید. در آزمایش کوتاه مدت، اثر کلر بر پرمنگنات در یک دوره زمانی هشت ساعته مانند سایر ردیاب‌ها انجام شد. در آزمایش بلند مدت تغییرات شدت رنگ پرمنگنات در یک ماه مورد بررسی قرار گرفت. در هر دو آزمایش، سه غلظت متفاوت از پرمنگنات با استفاده از آب محتوی ۱ میلی‌گرم بر لیتر کلر آزاد باقیمانده تهیه و طی فواصل زمانی مشخص شدت رنگ آن‌ها اندازه‌گیری گردید.

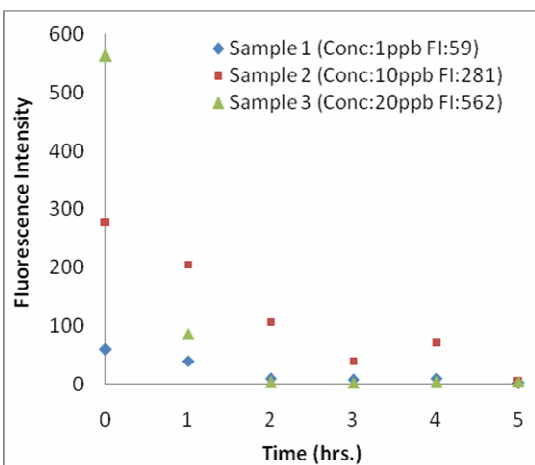
غلظت اولیه نمونه‌های آزمایش کوتاه مدت شامل ۱۰، ۵۰ و ۹۰ میلی‌گرم بر لیتر (به ترتیب دارای شدت رنگ PtCo ۵۵، ۲۰۲ و ۳۶۴) و غلظت اولیه نمونه‌های آزمایش کوتاه مدت شامل ۱۰، ۳۰ و ۷۰ میلی‌گرم بر لیتر (به ترتیب دارای شدت رنگ PtCo ۱۱۶، ۵۵ و ۲۹۴). شکل‌های ۱۱-۵ تا ۱۴-۵ تغییرات شدت رنگ محلول‌های پرمنگنات با غلظت‌های اولیه متفاوت در دو دوره زمانی بلند مدت و کوتاه مدت را نشان می‌دهد.

### ۲-۵- اثر آلودگی نفتی

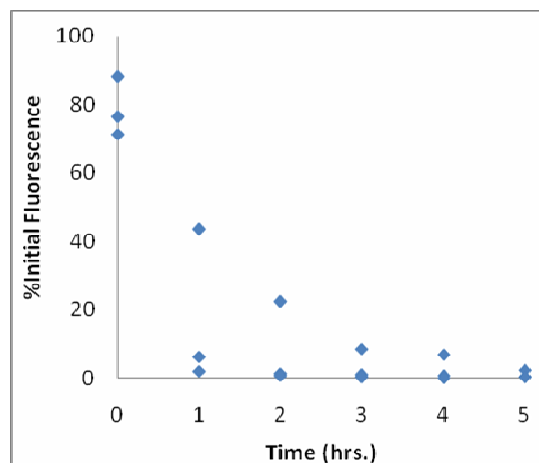
نفت یکی از موادی است که ممکن است به دلایلی همچون نشت از مخازن، موجب آلودگی منابع آب زیرزمینی شود. هنگامی که ردیابی در چنین محیطی مورد نظر باشد، اثر این آلاینده بر خواص ردیاب بکار گرفته شده بسیار اهمیت خواهد داشت زیرا، خاصیت فلورسنس مواد نفتی ممکن است ویژگی‌های ردیاب را تحت تاثیر خود قرار داده و منجر به ایجاد خطأ در نتایج عملیات شود. به منظور بررسی اثر احتمالی چنین آلودگی‌هایی بر عملکرد ردیاب‌ها، در این پژوهش از نفت سفید به عنوان آلاینده استفاده کرده و اثر آن بررسی شد.



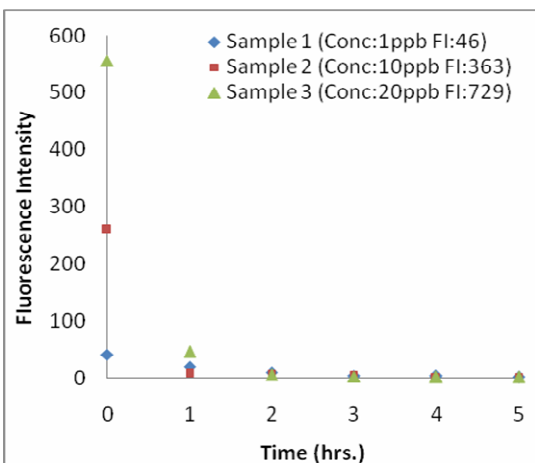
شکل ۲-۵ - اثر کلر آزاد باقی مانده با غلظت ۱ ppm ۱ بر درصد فلورسنس اولیه اورانین



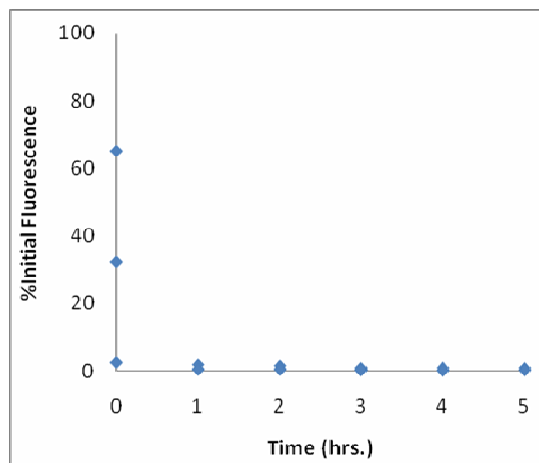
شکل ۱-۵ - اثر کلر آزاد باقی مانده با غلظت ۱ ppm ۱ بر فلورسنس اولیه اورانین



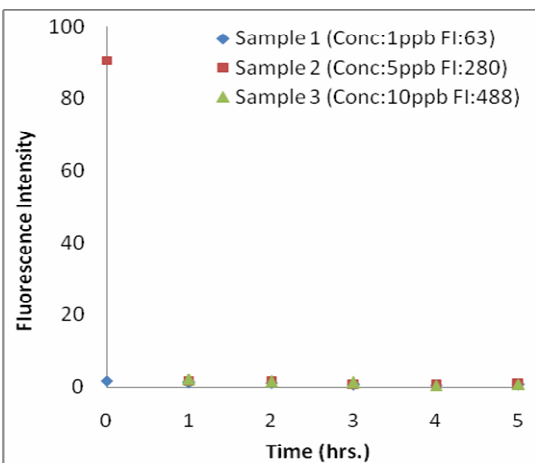
شکل ۴-۵ - اثر کلر آزاد باقی مانده با غلظت ۱ ppm ۱ بر درصد فلورسنس اولیه ائوزین



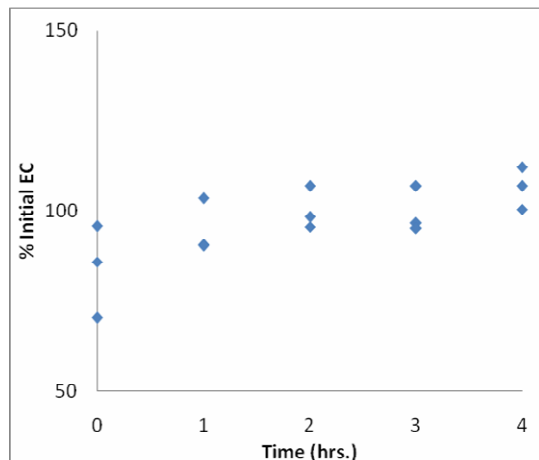
شکل ۳-۵ - اثر کلر آزاد باقی مانده با غلظت ۱ ppm ۱ بر فلورسنس ائوزین



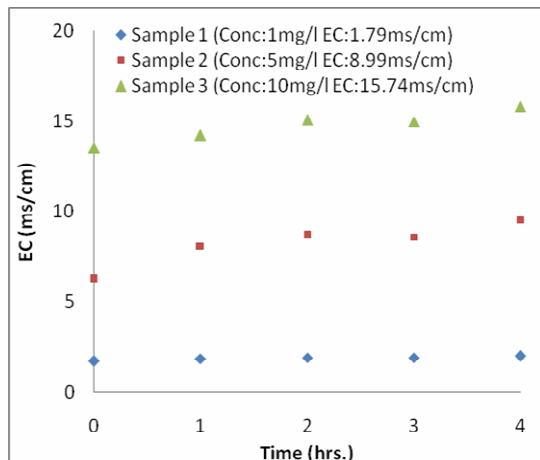
شکل ۶-۵ - اثر کلر آزاد باقی مانده با غلظت ۱ ppm ۱ بر درصد فلورسنس اولیه رودامین B



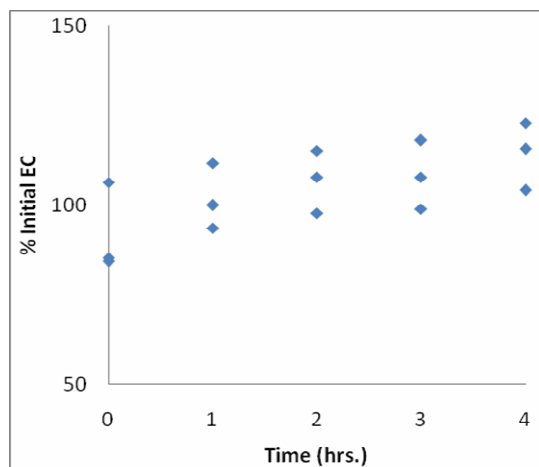
شکل ۵-۵ - اثر کلر آزاد باقی مانده با غلظت ۱ ppm ۱ بر فلورسنس رودامین B



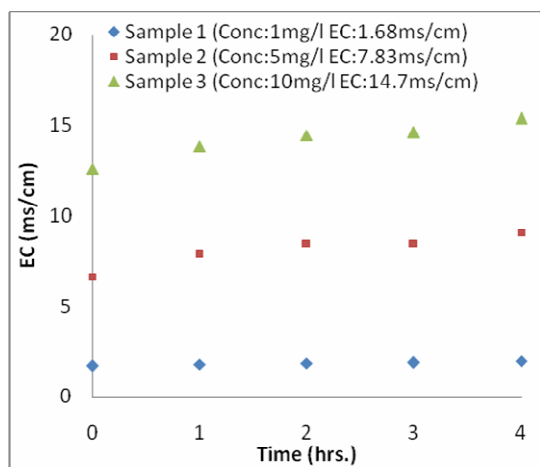
شكل ۵-۸- اثر کلر آزاد باقی مانده با غلظت ۱ ppm بر درصد هدایت الکتریکی اولیه  $\text{NaCl}$



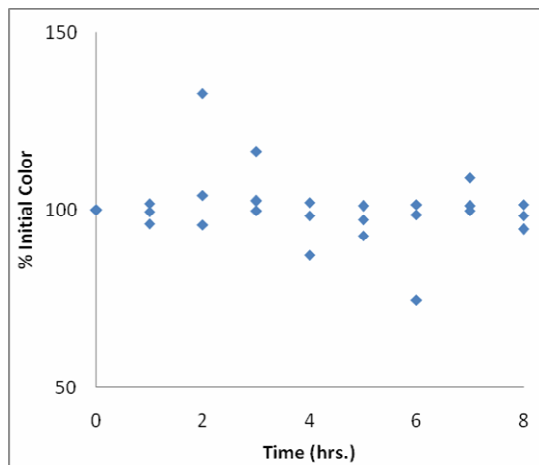
شكل ۵-۷- اثر کلر آزاد باقی مانده با غلظت ۱ ppm بر هدایت الکتریکی  $\text{NaCl}$



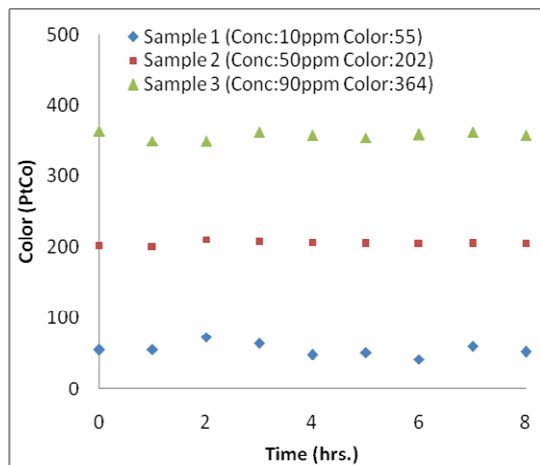
شكل ۵-۱۰- اثر کلر آزاد باقی مانده با غلظت ۱ ppm بر درصد هدایت الکتریکی اولیه  $\text{KCl}$



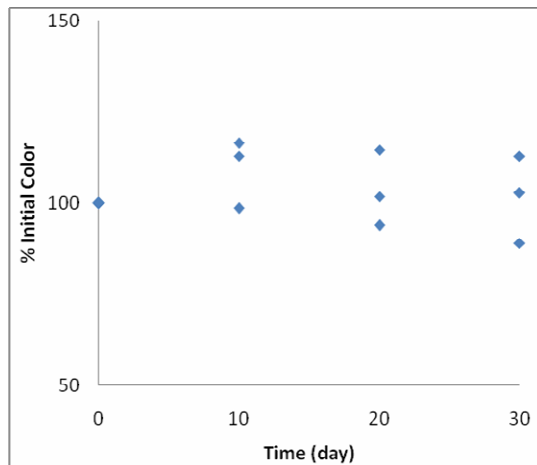
شكل ۵-۹- اثر کلر آزاد باقی مانده با غلظت ۱ ppm بر هدایت الکتریکی  $\text{KCl}$



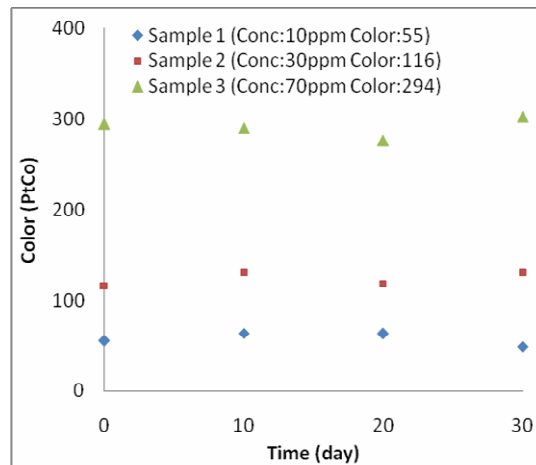
شكل ۵-۱۲- اثر کلر آزاد باقی مانده با غلظت ۱ ppm بر درصد رنگ اولیه  $\text{KMnO}_4$  در کوتاه مدت



شكل ۵-۱۱- اثر کلر آزاد باقی مانده با غلظت ۱ ppm بر شدت رنگ محلول  $\text{KMnO}_4$  در کوتاه مدت



شکل ۱۴-۵ - اثر کلر آزاد باقی مانده با غلظت ۱ ppm ۱ بر درصد شدت رنگ اولیه  $KMnO_4$  در دراز مدت



شکل ۱۳-۵ - اثر کلر آزاد باقی مانده با غلظت ۱ ppm ۱ بر شدت رنگ محلول  $KMnO_4$  در دراز مدت

## ۱-۲-۵- اثر نفت بر ردیاب‌های فلورسنت

نفت دارای خاصیت فلورسنس بوده و در طول موج‌های فرابنفش (۴۰۰-۳۰۰ نانومتر) دارای حداکثر تحریک و حداکثر پرتودهی آن در بازه ۴۰۰ تا ۶۰۰ نانومتر متغیر است (Ryder et al ۲۰۰۴). مواد افزوده شده به نفت بر روی فلورسنس آن تاثیر می‌گذارند (Kyriakidis and Skarkalis ۲۰۰۰). امروزه استفاده از تکنیک فلورسنس به عنوان ابزاری برای شناخت خصوصیات نفت خام و تصفیه شده مورد استفاده قرار می‌گیرد (Titiana et al. ۲۰۰۲).

به منظور بررسی اثر آلودگی‌های هیدروکربوری بر روی ویژگی فلورسنس اورانین، ائوزین و رودامین B، رفتار آن‌ها در محیط‌های با آلودگی هیدروکربوری مورد ارزیابی قرار گرفت. به این منظور غلظت‌های مختلفی از آن‌ها تهیه شد (۱، ۱۰ و ۲۰ میکروگرم بر لیتر اورانین، ۱، ۱۰ و ۲۰ میکروگرم بر لیتر ائوزین، ۱، ۵ و ۱۰ میکروگرم بر لیتر رودامین B). پس از اندازه‌گیری شدت فلورسنس اولیه نمونه‌ها به تدریج درصدهای مختلفی از نفت اضافه کرده و تغییرات شدت فلورسنس در هر مرحله اندازه‌گیری شد. شکل‌های ۱۵-۵، ۱۷-۵ و ۱۹-۵ به ترتیب تغییرات شدت فلورسنس اورانین، ائوزین و رودامین B را با غلظت‌های اولیه متفاوت و افزایش درصد نفت نشان می‌دهد. شکل‌های ۱۶-۵، ۱۸-۵ و ۲۰-۵ تغییرات درصد اولیه فلورسنس آن‌ها در غلظت‌های متفاوت نفت نشان می‌دهد.

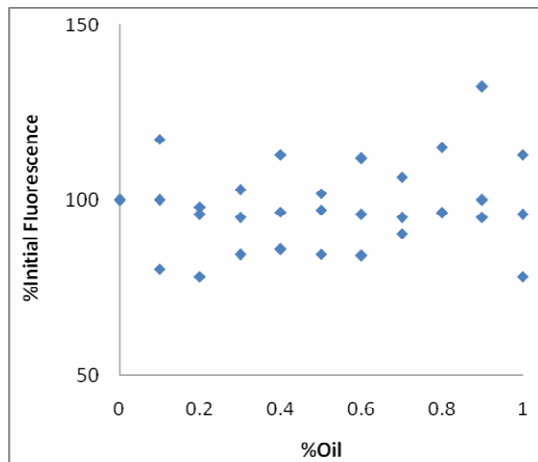
طبق نتایج به دست آمده از این آنالیزها افزایش غلظت نفت تغییری در فلورسنس اورانین، ائوزین و رودامین B به وجود نمی‌آورد و شدت فلورسنس این ردیاب‌ها در مقدار اولیه ثابت می‌ماند. با توجه به اینکه فلورسنس نفت در محدوده ماوراء بنفس می‌باشد حضور آن تاثیر چندانی بر فلورسنس اورانین، ائوزین و رودامین B ندارد.

#### ۲-۲-۵- اثر نفت بر کلرید سدیم و پتاسیم

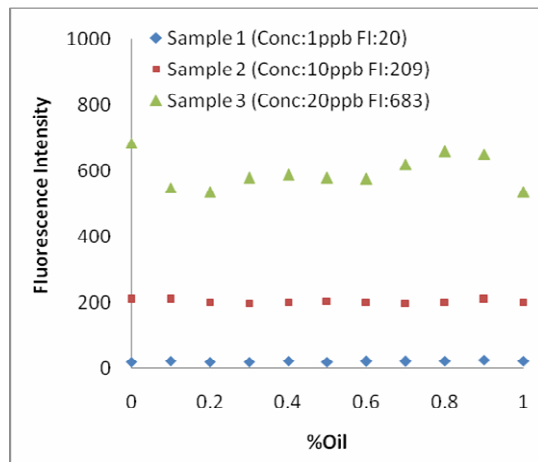
به منظور بررسی اثر آلودگی‌های هیدروکربوری بر هدایت الکتریکی نمک سدیم و پتاسیم ابتدا غلظت‌های مشخصی (۱، ۵ و ۱۰ گرم بر لیتر) از کلرید سدیم و پتاسیم تهیه کرده و پس از اندازه‌گیری هدایت الکتریکی اولیه، به تدریج درصدهای مختلفی از نفت به آن‌ها اضافه و تغییرات هدایت الکتریکی آن‌ها اندازه‌گیری شد (شکل‌های ۲۱-۵ تا ۲۴-۵). نتایج به دست آمده نشان داد وجود نفت تغییری در هدایت الکتریکی نمک‌ها به وجود نیاورده و به این ترتیب اثری بر آن‌ها ندارد.

#### ۳-۲-۵- اثر نفت بر پرمنگنات پتاسیم

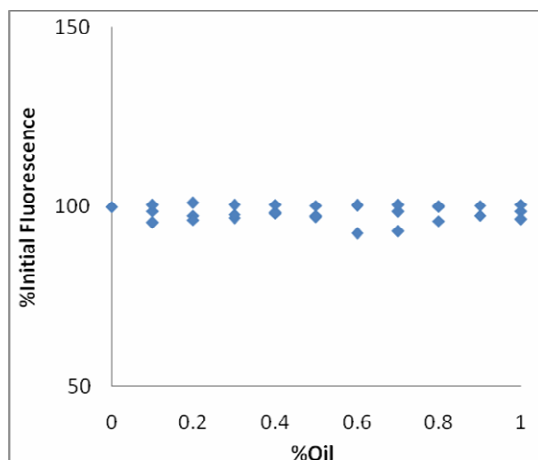
بررسی اثر نفت بر شدت رنگ پرمنگنات پتاسیم نیز در سه محلول با غلظت‌های اولیه مختلف به ترتیب دارای شدت رنگ PtC<sub>0</sub> ۱۷، ۱۵۴ و ۲۹۱ انجام شد. شکل‌های ۲۵-۵ و ۲۶-۵ نتایج این آزمایش را نشان می‌دهند. طبق این نمودارها وجود نفت تاثیر بسزایی بر شدت رنگ محلول پرمنگنات ایجاد می‌کند به این صورت که با افزایش درصد نفت شدت رنگ، مستقل از غلظت اولیه محلول، به طور خطی افزایش می‌یابد. پراکندگی داده‌ها در شکل ۲۶-۵ ظاهری بوده و به دلیل نسبی بودن محور عمودی بوجود آمده است.



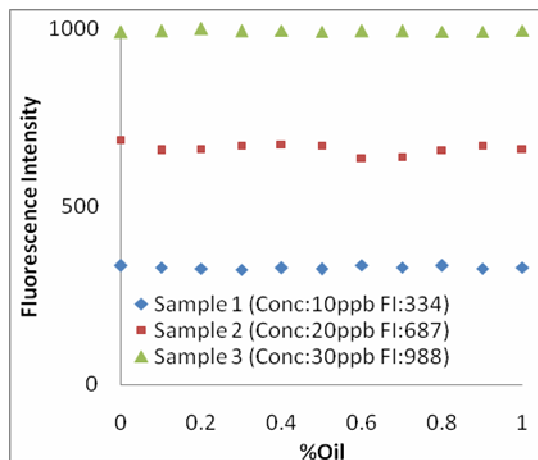
شكل ١٦-٥ - اثر نفت بر درصد فلورنس اولیه اورانین



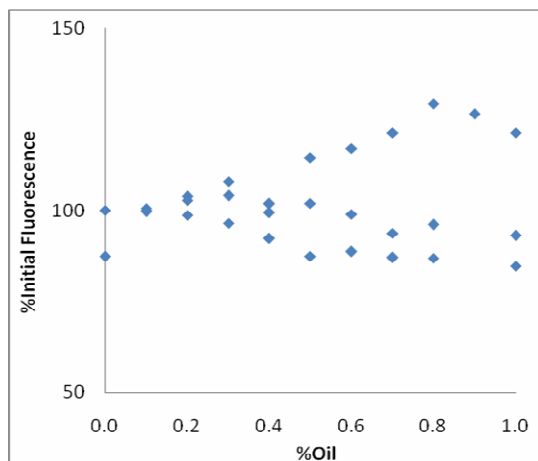
شكل ١٥-٥ - اثر نفت بر فلورنس اولانین



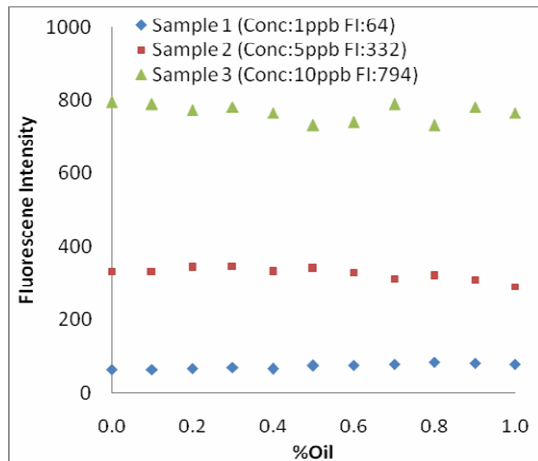
شكل ١٨-٥ - اثر نفت بر درصد فلورنس اولیه اورانین



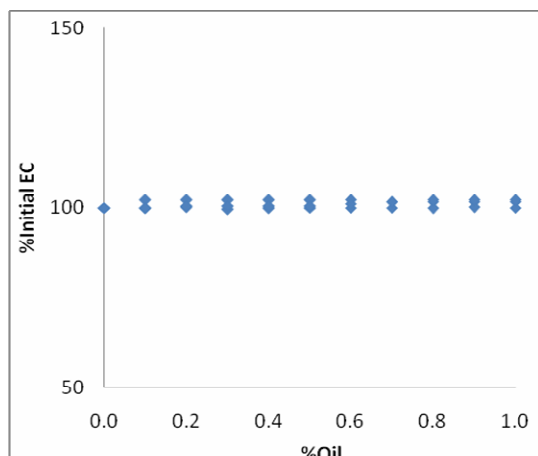
شكل ١٧-٥ - اثر نفت بر فلورنس ائوزین



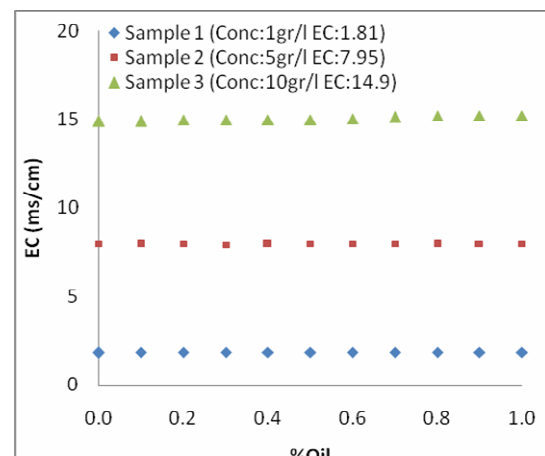
شكل ٢٠-٥ - اثر نفت بر درصد فلورنس اولیه اورانین



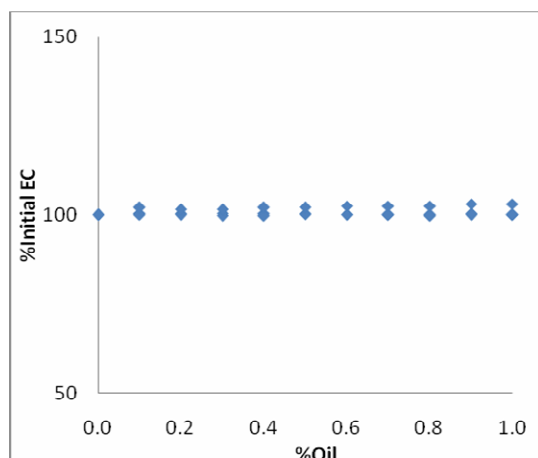
شكل ١٩-٥ - اثر نفت بر فلورنس رو دامین B



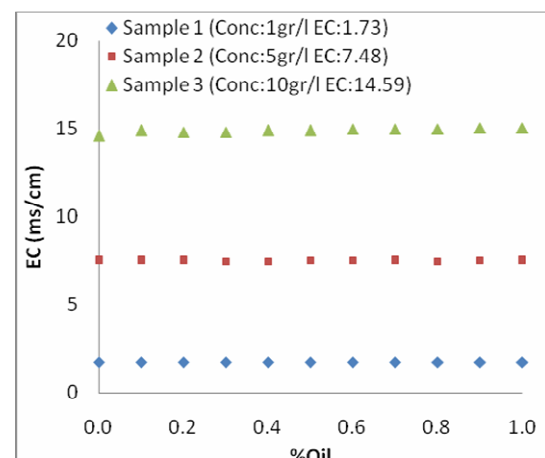
شكل ٢٢-٥ - اثر نفت بر درصد  
هدايت الکتریکی اولیه NaCl



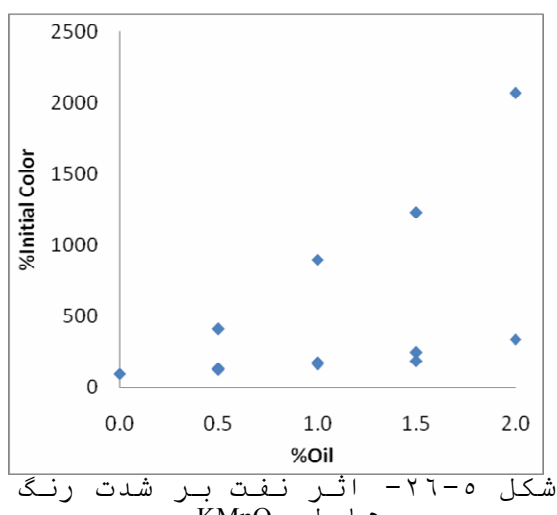
شكل ٢١-٥ - اثر نفت بر هدايت  
الکتریکی NaCl



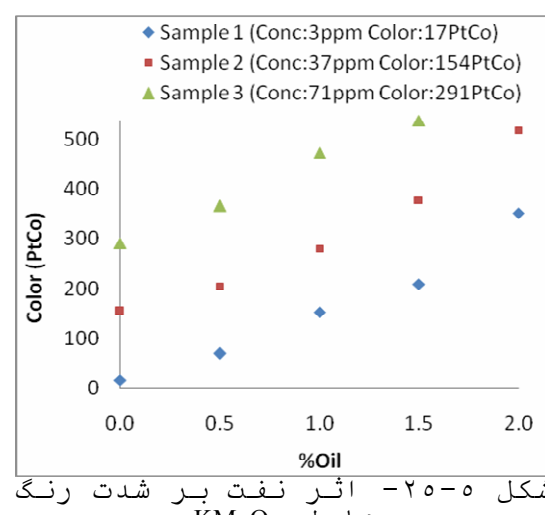
شكل ٢٤-٥ - اثر نفت بر درصد  
هدايت الکتریکی اولیه KCl



شكل ٢٣-٥ - اثر نفت بر هدايت  
الکتریکی KCl



شكل ٢٦-٥ - اثر نفت بر شدت رنگ  
KMnO<sub>4</sub> محلول



شكل ٢٥-٥ - اثر نفت بر شدت رنگ  
KMnO<sub>4</sub> محلول

### ۳-۵- بررسی تداخل ردیاب‌ها با یکدیگر

هنگامی که در یک عملیات ردیابی از چند ردیاب به طور همزمان استفاده شود بررسی اثر تداخل آن‌ها با یکدیگر ضروری خواهد بود. این بررسی با هدف آشکارسازی هر ردیاب به طور جداگانه با از بین بردن اثر فلورسنس یکی از ردیاب‌ها و تعیین غلظت ردیاب دیگر صورت می‌گیرد. در ردیاب‌های فلورسنت تداخل هنگامی اتفاق می‌افتد که طول موج مربوط به پرتودهی ردیاب‌های مورد نظر به یکدیگر نزدیک و با هم همپوشانی داشته باشند. در بخش ۴-۵ اثر تداخل کلرید سدیم و پتاسیم بر سایر ردیاب‌ها با عنوان اثر شوری مورد بحث قرار گرفت. بنابراین در این بخش اثر تداخل ردیاب‌ها در دو بخش به صورت تداخل ردیاب‌های فلورسنت با یکدیگر و پرمنگنات پتاسیم بر ردیاب‌های فلورسنت ارائه می‌شود.

### ۳-۵-۱- تداخل ردیاب‌های فلورسنت با یکدیگر

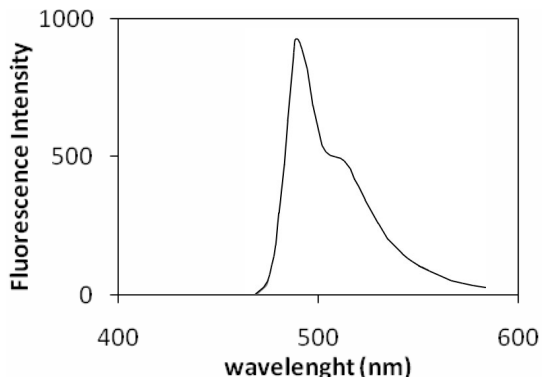
بررسی تداخل ردیاب‌های فلورسنت با یکدیگر به منظور ارزیابی کاربرد همزمان آن‌ها در یک عملیات ردیابی طی سه مرحله شامل تداخل اورانین و اوزین، تداخل ائوزین و رودامین B و تداخل اورانین و رودامین B انجام شد. در مرحله اول محلول‌هایی با غلظت اولیه ۱۰ میکروگرم بر لیتر از این ردیاب‌ها تهیه و شدت فلورسنس آن‌ها اندازه‌گیری شد. شدت فلورسنس اورانین، ائوزین و رودامین B در شرایط اولیه به ترتیب ۲۹-۵ تا ۲۷-۵ ارائه شده است. همان طور که در این نمودارها مشخص است طول اولیه در شکل‌های ۵-۲۷ تا ۵-۲۹ ارائه شده است. همان طور که در این نمودارها مشخص است طول موج حداکثر برانگیختگی اورانین، ائوزین و رودامین B به ترتیب ۴۹۰، ۵۱۵ و ۵۵۵ نانومتر و طول موج حداکثر پرتودهی آن‌ها به ترتیب ۵۱۲، ۵۳۷ و ۵۸۰ نانومتر می‌باشد.

۱- تداخل اورانین و ائوزین: به منظور بررسی تداخل اورانین و ائوزین، محلول‌های اولیه تهیه شده با غلظت‌های ۱۰ میکروگرم بر لیتر اورانین و ائوزین را به نسبت ۱ به ۱ با یکدیگر مخلوط کرده و

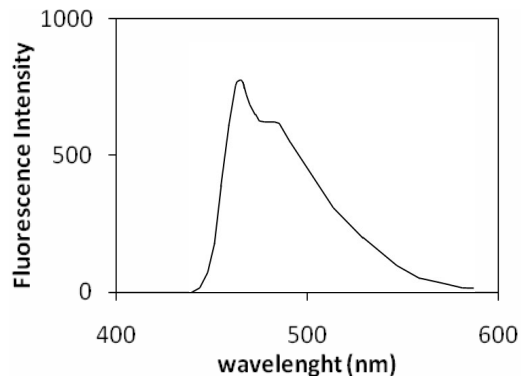
تغییرات نمودار برانگیختگی و پرتودهی آن‌ها بررسی شد. نمودار مربوط به تداخل اورانین و ائوزین در شکل ۳۰-۵ ارائه شده است. همان طور که در این نمودار مشخص است به دلیل نزدیک بودن طول موج پرتودهی اورانین و ائوزین (۵۱۲ و ۵۳۷ نانومتر)، با یکدیگر دچار تداخل می‌شوند. طبق روش بنیشکه (Benischke ۲۰۰۵) به منظور از بین بردن تداخل و تعیین اورانین در یک مخلوط اورانین-ائوزین، ابتدا با استفاده از HCl محلول را تا حدود ۲ کاهش داده شد و شدت فلورسنس اورانین با طول موج برانگیختگی ۴۴۰ و پرتودهی ۵۱۵ نانومتر اندازه‌گیری شد. نمودار مربوط به تعیین اورانین در کنار ائوزین در شکل ۳۱-۵ ارائه شده است. همان طور که در این نمودار مشخص است با این روش فلورسنس ائوزین از بین رفت و نتیجتاً شدت فلورسنس اورانین به تنها‌یی به دست آمد. برای تعیین ائوزین در مخلوط اورانین-ائوزین نیز در ابتدا با اسیدی کردن محلول تا pH پنج، فلورسنس اورانین از بین رفته و منحنی مربوط به پرتودهی ائوزین به تنها‌یی به دست آمد. در شکل ۳۲-۵ نحوه تعیین ائوزین در کنار اورانین ارائه شده است.

بررسی منحنی‌های تداخل ردیاب‌های اورانین و ائوزین و مقایسه آن با منحنی اورانین و ائوزین، نشان می‌دهد هنگامی که، در یک محلول هر دو ردیاب حضور داشته باشند تعیین غلظت هر کدام از آن‌ها نیاز به انجام عملیات مکمل دارد. زیرا همان طور که در بخش ۳-۵ توضیح داده شد طول موج پرتودهی این دو ردیاب به یکدیگر نزدیک است و دچار تداخل می‌شوند. همان طور که در شکل ۳۰-۵ ملاحظه می‌شود در یک محلول حاوی اورانین و ائوزین به طور همزمان منحنی در محدوده حدود ۵۱۰ تا ۵۴۰ دارای یک پیک ممتد است.

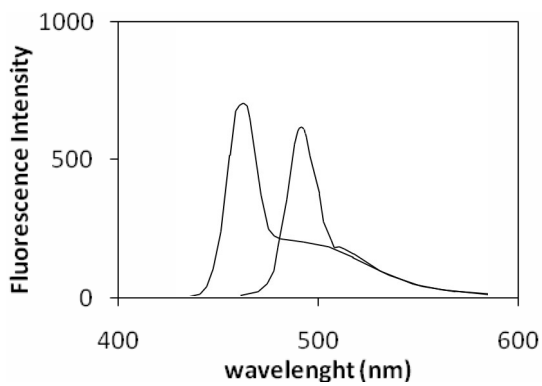
در شکل ۳۱-۵ با حذف فلورسنس ائوزین پیک مربوط به پرتودهی اورانین به تنها‌یی ظاهر شده است. اما همین‌طور که در این شکل مشخص است شدت فلورسنس اورانین کمتر از مقدار اولیه آن می‌باشد. در شکل ۳۲-۵ نیز با حذف فلورسنس اورانین، پیک مربوط به پرتودهی ائوزین به تنها‌یی ظاهر شده است.



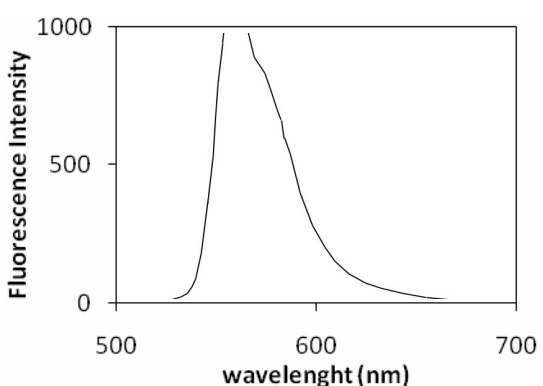
شکل ۲۸-۵ - نمودار برانگیختگی و پرتوود هی اورانین و ائوزین



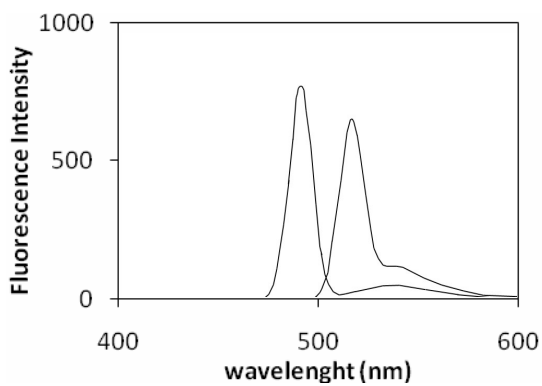
شکل ۲۷-۵ - نمودار برانگیختگی و پرتوود هی اورانین



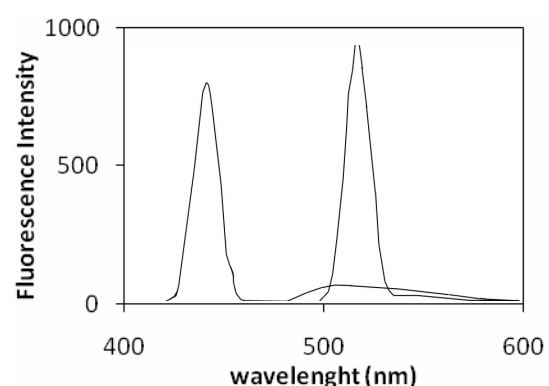
شکل ۳۰-۵ - نمودار تداخل پرتوود هی اورانین و ائوزین



شکل ۲۹-۵ - نمودار پرتوود هی و برانگیختگی رودامین B



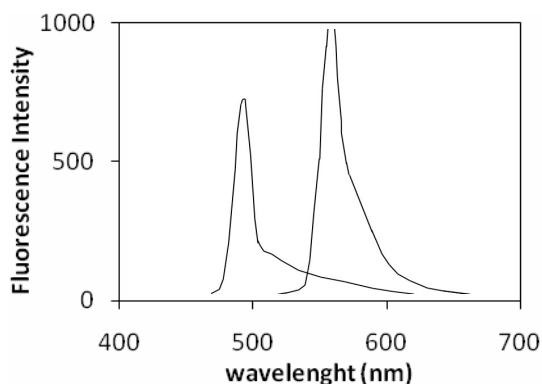
شکل ۳۲-۵ - حذف تداخل اورانین از ائوزین



شکل ۳۱-۵ - حذف تداخل ائوزین از اورانین

## ۲- تداخل اورانین و رودامین B:

به منظور بررسی تداخل اورانین و رودامین B، محلول‌های اولیه تهیه شده با غلظت‌های ۱۰ میکروگرم بر لیتر اورانین و رودامین B را به نسبت ۱ به ۱ با یکدیگر مخلوط کرده و تغییرات نمودار برانگیختگی و پرتودهی آن‌ها مورد بررسی قرار گرفت. نمودار مربوط به تداخل این دو ردیاب در شکل ۳۳-۵ ارائه شده است. همان طور که در این نمودارها مشخص است به دلیل تفاوت زیاد طول موج پرتودهی این دو ردیاب، با یکدیگر تداخل ایجاد نمی‌کنند و دارای دو پیک جداگانه هستند. بنابراین می‌توان نتیجه گرفت فلورسنس اورانین و رودامین B تاثیر چندانی بر یکدیگر ندارند و به سادگی می‌توان غلظت هر یک را تعیین نمود.

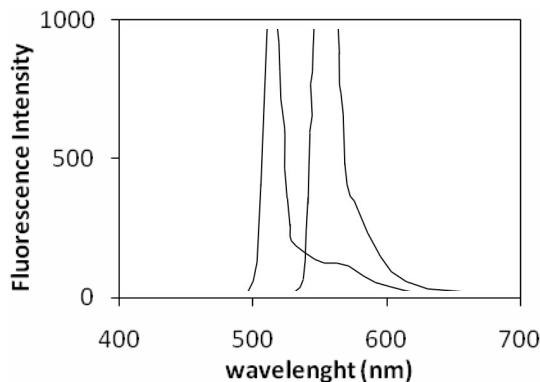


شکل ۳۳-۵ - نمودار تداخل اورانین و رودامین B

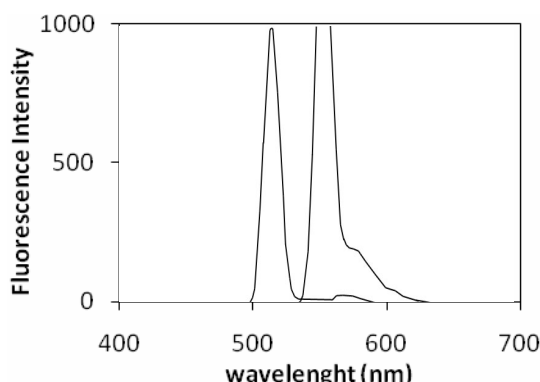
## ۳- تداخل ائوزین و رودامین B:

به این منظور محلول‌های اولیه تهیه شده با غلظت‌های ۱۰ میکروگرم بر لیتر ائوزین و رودامین B را به نسبت ۱ به ۱ با یکدیگر مخلوط کرده و تغییرات نمودار برانگیختگی و پرتودهی آن‌ها بررسی شد. نمودار مربوط به تداخل ائوزین و رودامین B در شکل ۳۴-۵ در سه حدود دو کاهش داده و با حذف اثر فلورسنس ائوزین شدت فلورسنس رودامین B به دست آمد. تعیین رودامین B در کنار ائوزین در نمودار ۳۵-۵ ارائه شده است. همان طور که در این نمودار نیز مشخص است با کاهش pH، ائوزین خاصیت فلورسنس خود را تا حدودی از دست داده و فلورسنس رودامین B

بارز می‌گردد. به این ترتیب از این روش می‌توان در عملیات‌های ردیابی که از دو ردیاب ائوزین و رودامین B به طور همزمان استفاده می‌شود برای آشکارسازی رودامین B استفاده نمود.



شکل ۳۴-۵ - نمودار تداخل ائوزین و رودامین B

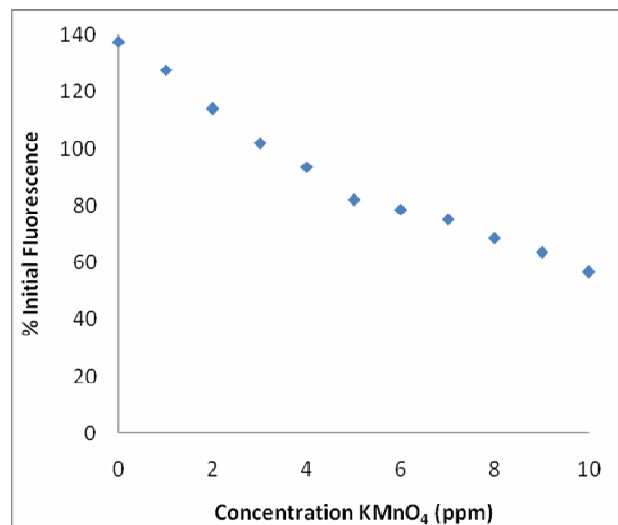


شکل ۳۵-۵ - حذف تداخل پیک پرتوودی ائوزین از پیک پرتوودی رودامین B

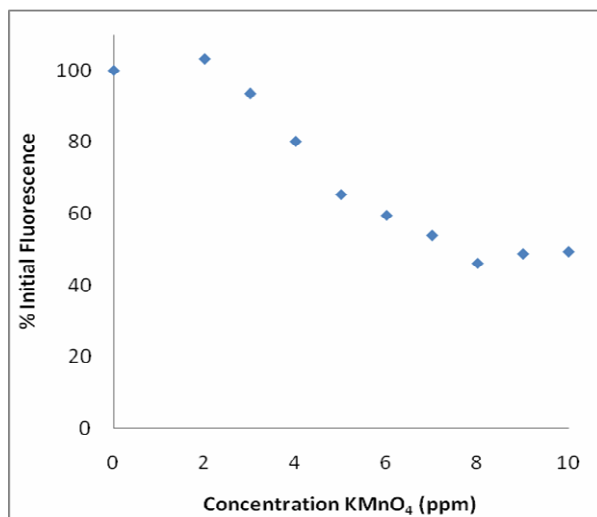
### ۲-۳-۵- تداخل پرمنگنات پتاسیم با ردیاب‌های فلورسنت

بررسی تداخل ردیاب‌های فلورسنت با پرمنگنات پتاسیم به منظور ارزیابی کاربرد همزمان آن‌ها در یک عملیات ردیابی طی سه مرحله انجام شد. ابتدا محلول‌هایی با غلظت اولیه مشخص از اورانین (با غلظت اولیه ۵ میکروگرم بر لیتر و شدت فلورسنس ۱۳۷)، ائوزین (با غلظت اولیه ۵ میکروگرم بر لیتر و شدت فلورسنس ۱۹۲) و رودامین B (با غلظت اولیه ۷ میکروگرم بر لیتر و شدت فلورسنس ۵۲۱) تهیه و سپس به محلول‌ها به تدریج پرمنگنات پتاسیم با غلظت ۱ گرم بر لیتر اضافه و در هر

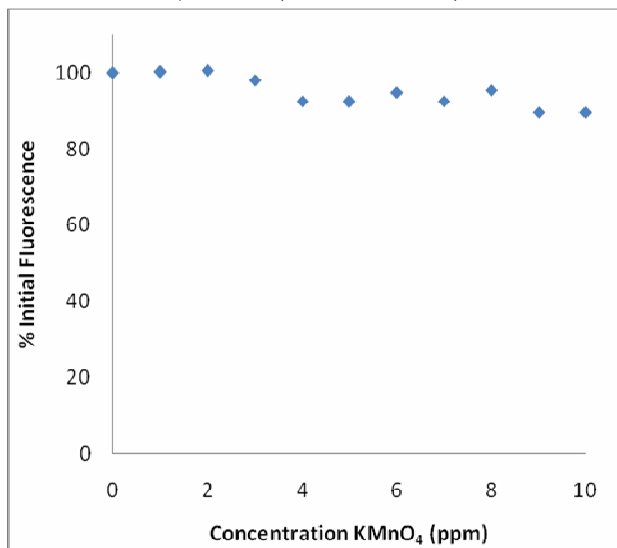
مرحله شدت فلورسنس رديابها اندازه‌گيري شد. نتایج حاصل از اين آزمایش‌ها در شکل‌های ۳۶-۵، ۳۷-۵ و ۳۸-۵ ارائه شده است. طبق این نتایج با افزایش غلظت پرمنگنات در محلول شدت فلورسنس اورانین و اوزین به شدت کاهش می‌یابد. همان طور که شکل‌های ۳۶-۵ و ۳۷-۵ نشان می‌دهد در اثر حضور تنها ۵ ppm پرمنگنات شدت فلورسنس اورانین و اوزین به کمتر از ۵۰٪ مقدار اولیه خود می‌رسد. فلورسنس رودامین B کمتر تحت تاثیر پرمنگنات پتاسیم قرار می‌گیرد (شکل ۳۸-۵). مقدار کاهش شدت فلورسنس رودامین B در اثر پرمنگنات پتاسیم در مقایسه با اورانین و اوزین کمتر است.



شکل ۳۶-۵ - تغییرات شدت فلورسنس اورانین در اثر تداخل با پرمنگنات پتاسیم



شکل ۳۷-۵ - تغییرات شدت فلورسنس ائوزین در اثر تداخل با پرمنگنات پتاسیم



شکل ۳۸-۵ - تغییرات شدت فلورسنس رودامین B در اثر تداخل با پرمنگنات پتاسیم

#### ۴-۱-۵- اثر مخلوطهای شستشو بر اورانین

به منظور بررسی اثر مخلوطهای شستشو بر فلورسنس اورانین، محلولی با غلظت مشخص از اورانین تهیه و در شرایط اولیه مورد سنجش قرار گرفت (غلظت ۲۶۴/۱۳ میکروگرم بر لیتر و شدت فلورسنس ۵۴۵/۳۴۷). شکل ۳۹-۵ پیک برانگیختگی و پرتودهی این محلول را در شرایط اولیه نشان می‌دهد. پس از مخلوط کردن این محلول با مخلوط شستشوی A به دلیل ایجاد محیط قلیایی شدت فلورسنس اورانین به بیش از مقدار قابل اندازه‌گیری توسط دستگاه افزایش یافت. به منظور کاهش

شدت فلورسنس اورانین، با اعمال تغییرات در تنظیمات دستگاه ابتدا حساسیت دستگاه کاهش داده شد. با این روش در واقع شدت نور تابیده شده به محلول توسط دستگاه کاهش می‌یابد و در نتیجه شدت پرتودهی ماده فلورسنس نیز کاهش می‌یابد. روش دوم تغییر طول موج برانگیختگی ردیاب در طول موجی به غیر از طول موج حداکثر برانگیختگی است، به این ترتیب چون ردیاب در طول موج حداکثر برانگیخته نمی‌شود شدت پرتودهی آن کاهش می‌یابد. بنابراین طول موج برانگیختگی اورانین را به میزان ۱۰ نانومتر تغییر داده و روی ۴۸۰ نانومتر تنظیم گردید. با این تغییرات شدت فلورسنس اورانین تا حدودی کنترل شده و توسط دستگاه قابل رویت شد (شکل ۴۰-۵).

پس از آشکار شدن پیک اورانین، مرحله بعد شناسایی طول موج حداکثر برانگیختگی است. همان طور که در شکل ۴۰-۵ مشخص است حداکثر پرتودهی اورانین هنگامی که با مخلوط شستشوی A مخلوط شده است ۵۱۰ نانومتر می‌باشد. مرحله بعد اضافه کردن مخلوط شستشوی B به محلول اولیه اورانین بود. در این مرحله نیز پس از اضافه کردن مخلوط شستشو، شدت فلورسنس اورانین مورد ارزیابی قرار گرفت.

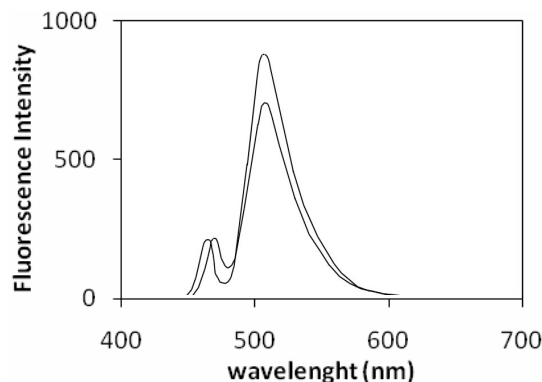
شکل ۴۱-۵ منحنی مربوط به محلول اورانین و مخلوط شستشوی B ارائه شده است. همان طور که در این نمودار مشخص است با اضافه شدن مخلوط B، تغییری در طیف برانگیختگی و پرتودهی اورانین به وجود نمی‌آید. نتایج به دست آمده از این آزمایش نشان داد که حداکثر پرتودهی اورانین پس از مخلوط شدن با A از ۵۱۲ به ۵۱۰ نانومتر تغییر می‌یابد. اضافه شدن مخلوط B نیز تغییری در طول موج حداکثر پرتودهی اورانین ایجاد نمی‌کند.

#### ۲-۴-۵- اثر مخلوط‌های شستشو بر اوزین

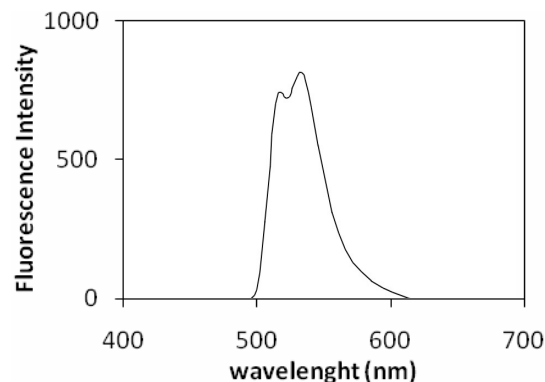
ابتدا محلولی با غلظت مشخص از اوزین تهیه و در شرایط اولیه مورد سنجش قرار گرفت (غلظت ۹/۶ میکروگرم بر لیتر و شدت فلورسنس ۳۲۲/۶۹۳). شکل ۴۲-۵ پیک برانگیختگی و پرتودهی اوزین را در شرایط اولیه نشان می‌دهد. سپس طی دو مرحله، مخلوط شستشوی A و B به حجم

مشخصی از محلول اولیه ائوزین اضافه (با نسبت ۱ به ۱۰) و منحنی مربوط به طیف برانگیختگی و پرتودهی آن‌ها بررسی شد.

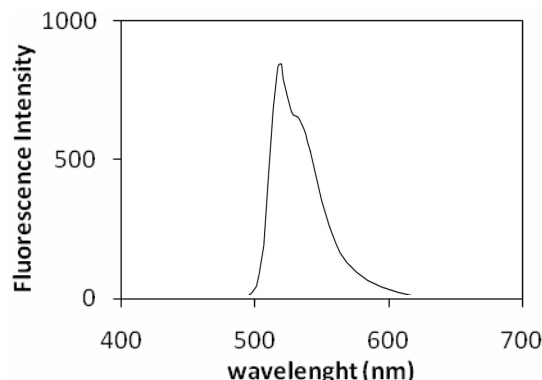
شکل ۵ ۴۳-۵ ائوزین و مخلوط شستشوی A و شکل ۴۴-۵ ائوزین و مخلوط شستشوی B را نشان می‌دهد. نتایج بررسی اثر مخلوط شستشوی A بر ائوزین، نشان داد که همانند اورانین، در اثر اضافه شدن این ماده به ائوزین، پیک مربوط به پرتودهی ائوزین چند نانومتر جابجاگی پیدا کرده و در ۵۳۴ نانومتر ظاهر می‌شود. هم چنین مخلوط شستشوی B تغییری در ویژگی‌های طیفی ائوزین به وجود نمی‌آورد.



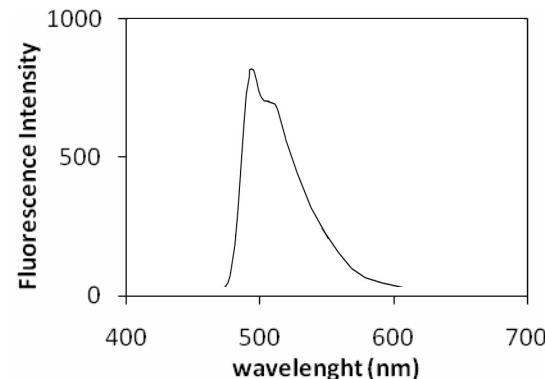
شکل ۴۰-۵ - پیک پرتودهی اورانین پس از خلوت شدن با مخلوط شستشوی A



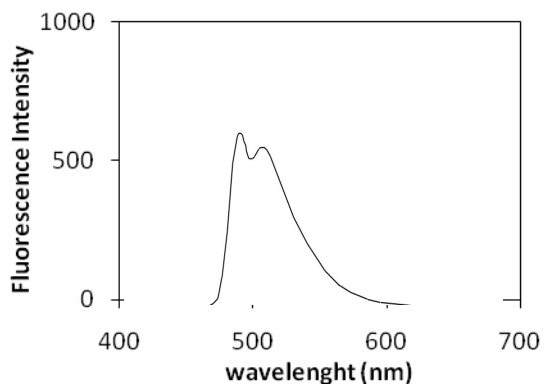
شکل ۴۴-۵ - پیک پرتودهی ائوزین پس از خلوت شدن با مخلوط شستشوی B



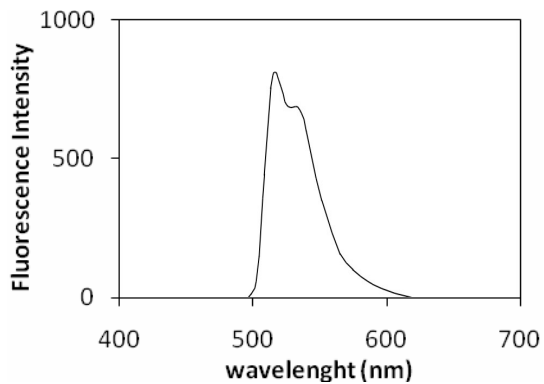
شکل ۴۲-۵ - پیک برانگیختگی و پرتودهی ائوزین در شرایط اولیه



شکل ۳۹-۵ - پیک برانگیختگی و پرتودهی اورانین در شرایط اولیه



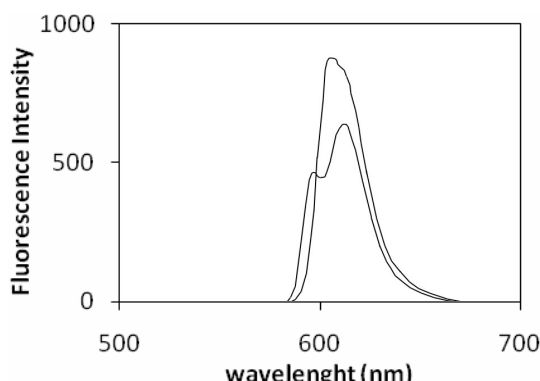
شکل ۴۱-۵ - پیک پرتوودهی اورانین  
پس از خلوط شدن با مخلوط  
شستشوی B



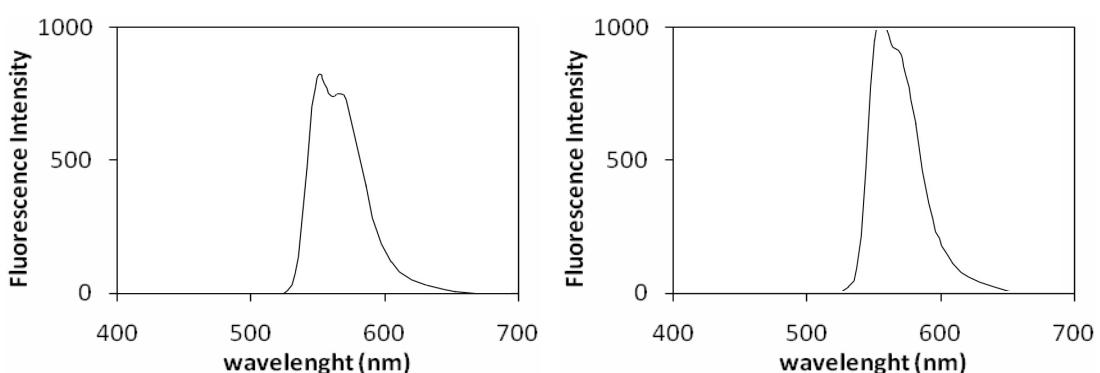
شکل ۴۳-۵ - پیک پرتوودهی ائوزین  
پس از خلوط شدن با مخلوط  
شستشوی A

### ۳-۴-۵- اثر مخلوطهای شستشو بر رودامین B

برای بررسی اثر مخلوطهای شستشو بر فلورسنس رودامین B نیز ابتدا محلولی با غلظت ۹/۷ میکروگرم بر لیتر و شدت فلورسنس ۶۶۳/۹۶ تهیه شد. شکل ۴۵-۵ پیک برانگیختگی و پرتودهی رودامین B را در شرایط اولیه نشان می‌دهد. سپس طی دو مرحله مخلوط شستشوی A و B به حجم رودامین B را در شرایط اولیه نشان می‌دهد. سپس طی دو مرحله مخلوط شستشوی A و B مشخصی از محلول اولیه رودامین B اضافه شد (با نسبت ۱ به ۱۰) و منحنی مربوط به طیف برانگیختگی و پرتودهی آنها مورد بررسی قرار گرفت. شکل ۴۶-۵ رودامین B و مخلوط شستشوی A و مخلوط شستشوی B را نشان می‌دهد. همان طور که در این شکل‌ها مشخص است پیک پرتودهی رودامین B پس از مخلوط شدن با مخلوط شستشوی A و B مجدداً در ۵۸۰ نانومتر ظاهر گردید. لذا می‌توان نتیجه گرفت که مخلوطهای شستشو اثربخش بر رودامین B نداشتند و تغییری در طول موج پرتودهی آن به وجود نمی‌آورند.



شکل ۴۵-۵ - پیک برانگیختگی و پرتودهی رودامین B در شرایط اولیه



شکل ۴۶-۵ - پیک پرتودهی رودامین B پس از مخلوط شدن با مخلوط شستشوی A (سمت راست) و B (سمت چپ)

## فصل ششم

### نتیجه‌گیری و پیشنهاد‌ها

## ۶-۱- نتیجه گیری

در این تحقیق به بررسی تاثیر شرایط مختلف طبیعی و غیرطبیعی بر کارایی ردیاب‌های مختلف در مطالعات منابع آب پرداخته شده است.

### ▪ اثر pH: بررسی رفتار ردیاب‌ها در pH های مختلف نشان داد که اورانین به شدت تحت تاثیر pH

محیط قرار می‌گیرد به نحوی که در محیط‌های اسیدی خاصیت فلورسنس خود را به طور کلی از دست می‌دهد در حالی که با تغییر شرایط به قلیایی فلورسنس آن نه تنها به مقدار اولیه باز می‌گردد بلکه به چند برابر این مقدار نیز می‌رسد. بنابراین، توجه به pH آب در مطالعات ردیابی در آبخوان‌های با pH غیر خنثی مثل سیستم‌های هیدروترمال اهمیت بسیار زیادی دارد. ائوزین و رودامین B در برابر تغییرات pH نسبت به اورانین کمتر تحت تاثیر قرار گرفته و در شرایط بسیار اسیدی (pH کمتر از ۴ و ۵) تنها بخشی از فلورسنس خود را از دست می‌دهند. در مورد نمک خوارکی و نمک پتاسیم، اگر pH محیط به کمتر از سه و یا بیشتر از دوازده برسد، هدایت الکتریکی محلول به نحو چشمگیری افزایش می‌یابد. در بازه pH سه تا دوازده تغییر چندانی در هدایت الکتریکی این دو ردیاب دیده نمی‌شود. شدت رنگ محلول پرمنگنات پتاسیم تحت تاثیر pH محیط قرار نمی‌گیرد.

### ▪ اثر نور: ردیاب‌های فلورسنت را از نظر مقاومت در برابر نور خورشید می‌توان به صورت زیر

رتبه‌بندی نمود:

رودامین B < اورانین < ائوزین

▪ بدین ترتیب رودامین B از بین ردیاب‌های فلورسنت مقاوم‌ترین ردیاب از نظر تجزیه فتوشیمیایی در برابر نور خورشید می‌باشد، در حالی که اورانین دارای مقاومت کمتر بوده و ائوزین کمترین مقاومت را در برابر تابش نور دارد. در اثر تابش نور خورشید در ردیاب‌های نمکی نیز تغییری به

وجود نمی‌آید. با تابش نور خورشید در مدت زمان بیش از یک روز پرمنگنات پتاسیم به دلیل به وجود آمدن رسوب اکسید منگنز خاصیت اولیه خود را از دست می‌دهد.

▪ **اثر دما:** اورانین و ائوزین دارای پایداری بسیار بالایی در دماهای مختلف می‌باشند و به راحتی می‌توان از آن‌ها به عنوان ردیاب در دماهای بالا نیز استفاده نمود. برخلاف این دو، افزایش دما به طور برگشت ناپذیری باعث از بین رفتن فلورسنس رودامین B می‌شود. رنگ محلول پرمنگنات پتاسیم در اثر افزایش دما تغییر کرده و رسوب اکسید منگنز را تشکیل می‌دهد. کلرید سدیم و پتاسیم نیز دارای پایداری قابل توجهی در دماهای بالا هستند.

▪ **اثر شوری:** افزایش شوری ناشی از کلرید سدیم باعث از بین رفتن بخشی از فلورسنس ائوزین می‌شود. افزایش شوری ناشی از هر دو نمک سدیم و پتاسیم باعث از بین رفتن بخش عمده فلورسنس رودامین B می‌گردد. در حالی که اورانین مقاومت بالایی را در برابر شوری نشان می‌دهد. محیط شور اثری بر محلول پرمنگنات پتاسیم ایجاد نمی‌کند.

▪ **جذب در محیط ریز دانه:** نتایج به دست آمده نشان داد که با افزایش غلظت اولیه ردیاب، درصد جذب کاهش می‌یابد. هم چنین از مهمترین عوامل افزایش درصد جذب ردیاب در یک محیط رسوبی افزایش مقدار رسوبات دانه ریز بویژه رس می‌باشد به طوری که وجود درصد کمی از آن نیز می‌تواند منجر به جذب مقدار زیادی از ردیاب شود. با مقایسه مقاومت ردیاب‌ها در برابر جذب در محیط ریزدانه می‌توان گفت که از بین ردیاب‌های فلورسنت رودامین B دارای کمترین مقاومت می‌باشد و به سرعت جذب رسوبات می‌شود. با توجه به کاتیونی بودن رودامین B و آنیونی بودن ائوزین و اورانین می‌توان گفت که رودامین B توسط بار منفی موجود در سطح رسوبات ریز دانه جذب می‌شود که نتایج به دست آمده از آزمایش‌ها را تائید می‌کند. کلرید سدیم و کلرید پتاسیم نیز مقاومت نسبتاً خوبی در برابر جذب از خود نشان می‌دهند اما نسبت به ردیاب‌های اورانین و ائوزین بیشتر توسط محیط جذب می‌شوند. پرمنگنات پتاسیم دارای مقاومت نسبتاً

کمی در برابر جذب بوده و درصد بسیار زیادی از آن توسط رسوبات جذب محیط می‌شود. با توجه به نتایج به دست آمده، درصد جذب پرمنگنات به اندازه ردیاب‌های فلورسنست از غلظت اولیه ردیاب در محیط پیروی نمی‌کند و به طور کلی نمی‌توان آن را ردیاب مقاومی نسبت به جذب دانست. از بین ردیاب‌های انتخاب شده اورانین و ائوزین را می‌توان مقاوم‌ترین ردیاب‌ها در برابر جذب توسط محیط رسوبی دانست. با استفاده از نتایج به دست آمده ردیاب‌ها را می‌توان از نظر مقاومت در برابر جذب به صورت زیر رتبه‌بندی نمود:

ائوزین و اورانین < کلرید سدیم و کلرید پتاسیم < رودامین B و پرمنگنات پتاسیم

▪ **اثر زمان:** اگرچه گذشت مدت زمان حدود چند ساعت تغییر قابل توجهی در ویژگی فلورسننس ایجاد نمی‌کند اما گذشت مدت زمان بیش از چند روز می‌تواند منجر به از بین رفتن بخشی از فلورسننس در ردیاب‌های اورانین، ائوزین و رودامین B شود. بر خلاف ردیاب‌های فلورسنست فاکتور زمان تغییری در ویژگی‌های ردیاب‌های نمکی و پرمنگنات پتاسیم، حتی در بلند مدت نیز ایجاد نمی‌کند.

▪ **اثر کلر آزاد باقی مانده:** عوامل غیر طبیعی همچون وجود ترکیبات اکسیدکننده در آب مثل کلر آزاد حتی در غلظت‌های کم (حدود یک میلی‌گرم بر لیتر) نیز ردیاب‌های فلورسنست را در مدت زمان کوتاهی به شدت تحت تاثیر قرار داده و باعث از بین رفتن خاصیت فلورسننس آن‌ها می‌شود. این نوع مواد اثری بر ردیاب‌های نمکی و نیز پرمنگنات پتاسیم ندارند.

▪ **اثر آلودگی نفتی:** مواد فلورسنست در طول موج‌های نور مرئی برانگیخته می‌شوند در حالی که الکترون‌های نفت در نور فرابینفس خاصیت فلورسننس نشان می‌دهند، بنابراین حضور مواد نفتی تداخلی با مواد فلورسنست ایجاد نمی‌کند. هم چنین آلودگی نفتی تغییری در هدایت الکتریکی ردیاب‌های نمکی به وجود نیاورده و تاثیری در نتایج عملیات ردیابی نخواهد داشت و به سادگی می‌توان از این ردیاب‌ها در مناطق آلوده به مواد نفتی استفاده نمود. در حالی که درصد کمی از

آلودگی نفتی منجر به افزایش شدید شدت رنگ پرمنگنات به صورت کاذب شده و باعث ایجاد خطا در نتایج عملیات می‌شود.

▪ **تداخل ردیاب‌ها:** از بین ردیاب‌های فلورسنت اورانین و ائوزین همچنین، ائوزین و رودامین B با یکدیگر تداخل داشته و تعیین غلظت هر ردیاب به تنها یی نیاز به عملیات تکمیلی در آزمایشگاه دارد. استفاده از پرمنگنات پتابسیم نیز همراه ردیاب‌های فلورسنت مناسب نمی‌باشد زیرا پرمنگنات موجب از بین رفتن فلورسنس این مواد می‌شود. همان طور که اشاره شد به دلیل از بین رفتن فلورسنس رودامین B در محیط شور استفاده از این ردیاب به طور همزمان با ردیاب‌های نمکی مناسب نمی‌باشد. استفاده همزمان اورانین، ائوزین و پرمنگنات پتابسیم با ردیاب‌های نمکی نیز به عنوان اثر شوری بر ردیاب‌ها مورد بحث قرار گرفت.

▪ **اثر مخلوط‌های شستشو:** مخلوط‌های شستشوی ذغال فعال تغییر اندکی در ویژگی‌های طیفی ردیاب‌های فلورسنت به وجود می‌آورند و منجر به تغییر طیف فلورسنس در اورانین و ائوزین می‌شوند. به این ترتیب که حداکثر پرتودهی در اورانین از ۵۱۲ نانومتر به ۵۱۰ نانومتر و در ائوزین از ۵۳۰ نانومتر به ۵۳۴ نانومتر تغییر می‌کند.

## ۶-۲- پیشنهادها

با استناد به نتایج به دست آمده از این تحقیق پیشنهادهایی به شرح زیر به منظور استفاده از ردیاب مناسب در محیط‌های مختلف زمین‌شناسی، جلوگیری از آلودگی محیط زیست، تفسیر صحیح نتایج عملیات ردیابی که توجه به آن‌ها در مراحل مختلف عملیات از جمله طراحی عملیات، انتخاب ردیاب، شرایط نمونه برداری و نگهداری از آن‌ها و نیز سنجش نمونه‌ها در آزمایشگاه ضروری است.

▪ استفاده از اورانین در آبخوان‌های با pH غیر خنثی توصیه نمی‌شود. سنجش صحیح فلورسنس اورانین تنها در pH خنثی امکان پذیر می‌باشد. در محیط‌های کاملاً اسیدی نیز استفاده از

رودامین B و ائوزین در ردیابی‌های کمی توصیه نمی‌شود. در چنین شرایطی بهترین گزینه پرمنگنات پتاسیم خواهد بود.

- استفاده پرمنگنات پتاسیم، رودامین B، اورانین و بویژه ائوزین در ردیابی آب‌های سطحی و در معرض تابش نور خورشید مناسب نمی‌باشد. از بین ردیاب‌های فلورسنت استفاده از رودامین B به جای اورانین و ائوزین توصیه می‌شود. در چنین محیط‌هایی مناسب‌ترین ردیاب بویژه در فواصل کوتاه، کلرید سدیم یا پتاسیم می‌باشد.
- استفاده از ظروف تیره به منظور نگهداری نمونه‌ها به جز در مورد ردیاب‌های نمکی ضروری است.
- استفاده از رودامین B و پرمنگنات پتاسیم در آبخوان‌های گرمابی توصیه نمی‌شود. همچنین نمونه‌ها هنگام حمل به آزمایشگاه باید در دمای استاندارد نگهداری شده و مورد سنجش قرار بگیرند. به این ترتیب به منظور ردیابی در چشممه‌های آبگرم و یا محیط‌های گرمابی بکار گرفتن اورانین و ائوزین از ردیاب‌های فلورسنت و یا نمک سدیم و پتاسیم پیشنهاد می‌شود.
- رودامین B برای استفاده در مطالعات ردیابی آب‌های شور توصیه نمی‌شود. استفاده از ردیاب‌های نمکی نیز در چنین محیط‌هایی مناسب نیست زیرا مقدار بسیار زیادی از ردیاب مورد نیاز است و کنترل نتایج در چنین شرایطی به سادگی ممکن نیست. اورانین بهترین گزینه برای ردیابی در چنین مناطقی می‌باشد. استفاده از ائوزین در شوری ناشی از کلرید پتاسیم توصیه می‌شود.
- استفاده از رودامین B و پرمنگنات پتاسیم در ردیابی آب‌های زیرزمینی در آبخوان‌های آبرفتی ریز دانه و سازنده‌ای کارستی که مقادیر قابل توجهی از مواد دانه‌ریز رسی در حفاری‌ها نشان داده‌اند توصیه نمی‌شود. در ردیابی فواصل کم نیز می‌توان از کلرید سدیم، کلرید پتاسیم و در فاصله‌های کمتر از پرمنگنات پتاسیم استفاده نمود. اما برای ردیابی در یک ناحیه گستردۀ استفاده از ردیاب‌های فلورسنت مثل اورانین و ائوزین که مقاومت بیشتری به جذب دارند توصیه می‌شود.
- استفاده از ردیاب‌های فلورسنت در آب‌هایی که به دلایلی همچون مجاورت با شبکه آب شهری مشکوک به حضور کلر آزاد می‌باشد توصیه نمی‌شود.

- در صورت استفاده از روش رنگ سنجی برای سنجش مقدار ردیاب پرمنگنات پتابسیم استفاده از آن در محیط‌های آلوده به مواد نفتی توصیه نمی‌شود.
  - در عملیات ردیابی که از چند نوع ردیاب به طور همزمان استفاده می‌شود باید توجه داشت که به دلیل تداخل اورانین و ائوزین با یکدیگر، استفاده از این دو ردیاب به طور همزمان مناسب نیست بویژه هنگامی که غلظت ردیاب‌ها ناچیز باشد تعیین غلظت این ردیاب‌ها به تنها یک بسیار دشوار خواهد بود. این موضوع در مورد ائوزین و رودامین B نیز صدق می‌کند.
  - استفاده از پرمنگنات پتابسیم همراه ردیاب‌های فلورسنت مناسب نمی‌باشد زیرا پرمنگنات موجب از بین رفتن فلورسنس این مواد می‌شود.
  - برای به دست آوردن حداکثر پرتودهی برای تشخیص ردیاب در غلظت‌های بسیار کم هنگام استفاده از مخلوط شستشوی A پیک پرتودهی اورانین و ائوزین به ترتیب در ۵۱۰ و ۵۳۴ نانومتر تنظیم شود.
  - در نظر گرفتن فاکتور زمان سنجش ردیاب‌های فلورسنت بویژه هنگامی که نتایج کمی ردیابی مورد نظر باشد ضروری است.
- با ارزیابی نتایج به دست آمده می‌توان گفت که تابش خورشید و جذب ردیاب توسط محیط رسوی از عمدت‌ترین فاکتورهایی است که ردیاب‌ها را تحت تاثیر قرار می‌دهند. بنابراین هنگام طراحی یک عملیات ردیابی توجه به موقعیت جغرافیایی، شرایط هیدروژئولوژیکی آبخوان و هیدروشیمی آب از اهمیت ویژه‌ای برخوردار است به نحوی که در نظر نگرفتن آن‌ها ممکن است به شکست پروژه منجر شود. نمونه آب منطقه مورد نظر برای آزمون ردیابی قبل از شروع عملیات بایستی مورد آنالیز قرار گرفته و علاوه بر هدایت الکتریکی، میزان یون‌ها و دما، از نظر وجود ترکیباتی مثل اکسیدکننده‌ها، مواد هیدروکربوری و ... مورد ارزیابی و آزمایش قرار بگیرد و در نهایت با توجه به این معیارها ردیاب و یا ردیاب‌های مناسب انتخاب شوند. ویژگی‌های مورد اشاره در مورد ردیاب‌های مختلف در جدول‌های ۱-۶، ۲-۶ و ۳-۶ نشان داده شده‌اند.

با مقایسه نتایج به دست آمده در این پژوهش با عملیات ردیابی پیشین در کشور، به نظر می‌رسد شاید یکی از دلایل عدم دریافت ردیاب در نقاط نمونه برداری در برخی از این آزمون‌ها انتخاب نادرست ردیاب در این مناطق باشد. برای مثال استفاده از رودامین B به عنوان ردیاب در منطقه سد سلمان فارسی که وجود سیستم گرمابی و دمای بالای آب زیرزمینی در ساحل چپ ساختگاه سد به اثبات رسیده بود گزینه مناسبی نبوده است. همچنین استفاده از نمک برای شستشوی گمانه تزریق با توجه به افزایش شدید شوری در محل یکی از دلایل کاهش فلورسنس ردیاب بوده است. در عملیات ردیابی در ساختگاه سد رودبار لرستان نیز احتمالاً انتخاب رودامین B برای تزریق در تکیه‌گاه چپ با توجه به گسترش آهک‌های مارنی در محل و احتمال جذب این ردیاب در سازند مزبور دلیل عدم ظهور رودامین B در نقاط نمونه برداری متعدد در عملیات ردیابی سد رودبار لرستان بوده است.

با توجه به این که هزینه تمام شده برای تأمین ردیاب مورد نظر یکی از فاکتورهای تعیین کننده و مهم در برنامه‌ریزی‌های یک پروژه ردیابی می‌باشد، بررسی هزینه مقدار مناسب از هر ردیاب و مقادیر استفاده شده از ردیاب‌های مزبور در آزمون‌های ردیابی پیشین کشور نشان می‌دهد از بین ردیاب‌های فلورسنت مورد بررسی در این پژوهش، ائوزین و رودامین B گران‌ترین و غیر اقتصادی‌ترین ردیاب‌ها بوده و در شرایط از نظر فنی مساوی، اورانین بسیار اقتصادی‌تر بوده و ترجیح داده می‌شود. در بین ردیاب‌های غیر فلورسنت نیز از دید اقتصادی به ترتیب نمک خوراکی، نمک پتاسیم و پرمنگنات توصیه می‌شوند. البته باید به این نکته توجه داشت که این نتایج مطلق و قطعی نبوده در مواردی ممکن است با توجه به سایر جوانب کار مثل مسائل اجتماعی ردیابی و یا هزینه مورد نظر استفاده از یک ردیاب به جای دیگری ترجیح داده شود. با توجه به نتایج بدست آمده در این پژوهش، محورهای زیر به عنوان موضوع‌های پژوهشی مرتبط در ادامه این تحقیق پیشنهاد می‌شود:

- ارزیابی اثر جنس رسوبات بر میزان جذب ردیاب‌ها و مقایسه ردیاب‌ها با یکدیگر
- بررسی فاکتورهای فشار آب منفذی و فشار  $\text{CO}_2$  بر ردیاب
- بررسی اثر جذب در محیط ریز دانه در شرایط یکسان صحرایی بر روی ردیاب‌های مختلف

جدول ۱-۶- بررسی تداخل ردیاب‌ها به منظور انتخاب ردیاب‌های مناسب برای استفاده همزمان از چند ردیاب

| ردیاب        | اوزین  | رودامین B                              | کلرید سدیم   | پرمگنات پتاسیم  |
|--------------|--|--|--|---|
| اوزین        | تداخل دارند<br>اوزین از بین می‌رود             | تداخل ندارند                           | تداخل ندارند   | تداخل دارند<br>اوزین از بین می‌رود                        |
| اوزین        | تداخل دارند<br>اوزین از بین می‌رود             | تداخل ندارند                           | تداخل دارند<br>حذف تداخل با عملیات<br>بخشی از اوزین از بین<br>می‌رود | تداخل دارند<br>حذف تداخل با عملیات<br>تكمیلی در آزمایشگاه |
| رودامین B    | تداخل دارند<br>رودامین B از بین می‌رود         | تداخل دارند<br>رودامین B از بین می‌رود | تداخل دارند<br>رودامین B از بین می‌رود                               | تداخل دارند<br>رودامین B از بین می‌رود                    |
| کلرید سدیم   | تداخل ندارند<br>به شرط اندازه گیری<br>غلظت یون |  |  |   |
| کلرید پتاسیم | تداخل ندارند<br>به شرط اندازه گیری<br>غلظت یون |  |  |   |

جدول ۲-۶- معرفی محیط‌های مناسب و نامناسب ردیاب‌ها

| ردیاب          | محیط مناسب  | محیط نامناسب   |
|----------------|---|--|
| اوزین          | آبرفت‌های ریز دانه و یا کارست‌های حاوی رس و<br>دارای سیستم جریان افسان  | ردیابی آب‌های سطحی<br>آبخوان‌هایی که دارای pH غیر خنثی می‌باشد<br>مناطق آلوده به کلر آزاد ناشی از تصفیه فاضلاب‌ها  |
| رودامین B      | آبرفت‌های ریز دانه و یا کارست‌های حاوی رس و<br>دارای سیستم جریان افسان  | ردیابی آب‌های سطحی<br>آبخوان‌هایی با شوری ناشی از کلرید سدیم<br>مناطق آلوده به کلر آزاد ناشی از تصفیه فاضلاب‌ها<br>محیط کاملاً اسیدی   |
| کلرید پتاسیم   | ردیابی آب‌های سطحی در فواصل کوتاه<br>مناطق آلوده به مواد نفتی   | آبرفت‌های ریز دانه و یا کارست‌های حاوی رس و دارای<br>سیستم جریان افسان<br>سواحل دریا، محیط دریاچه‌ای و ذخایر آب شور<br>سیستم‌های گرمابی و چشممه‌های آب گرم<br>مناطق آلوده به مواد نفتی |
| پرمگنات پتاسیم | ردیابی در فواصل کوتاه<br>ردیابی آب‌های سطحی<br>سیستم‌های گرمابی و چشممه‌های آب گرم<br>مناطق آلوده به کلر آزاد ناشی از تصفیه فاضلاب‌ها<br>مناطق آلوده به مواد نفتی   | ردیابی در مناطق وسیع و به طور گستردده<br>آبرفت‌های بسیار ریز دانه و یا کارست‌های حاوی رس<br>سواحل دریا، محیط دریاچه‌ای و ذخایر آب شور  |
| پرمگنات پتاسیم | آبخوان‌ها با pH غیر خنثی در فواصل بسیار کوتاه<br>سواحل دریا، محیط دریاچه‌ای و ذخایر آب شور<br>مناطق آلوده به کلر آزاد ناشی از تصفیه فاضلاب‌ها<br>مدل‌های آزمایشگاهی | ردیابی در مناطق وسیع و به طور گستردده<br>آبرفت و محیط‌های رسوبی حاوی مواد ریزدانه<br>ردیابی آب‌های سطحی<br>سیستم‌های گرمابی و چشممه‌های آب گرم<br>مناطق آلوده به مواد نفتی             |

جدول ۳-۶- کارایی ردیاب‌ها در شرایط محیطی و مصنوعی مختلف

| شرایط مختلف محیطی و عوامل مصنوعی |                                    |   |                                 |  |                                  |                                  |  |   | ردیاب                     |
|----------------------------------|------------------------------------|---|---------------------------------|--|----------------------------------|----------------------------------|--|---|---------------------------|
| نفت                              | کلر آزاد                           | جذب در محیط ریز دانه                              | شوری                            | دما  | نور                              | pH قلیایی                        | pH اسیدی   |   |                           |
| + مناسب                          |                                    |   |                                 |  |                                  |                                  |  | - تقریباً نامناسب   | -: نامناسب                |
| -                                | -                                  | +   | ++                              | ++   | -                                | +                                | -  | ++  | -: کاملاً نامناسب         |
| اورانین                          | ++                                 | --  | +                               | ++   | ++                               | -                                | +  | -   |                           |
|                                  | بدون تأثیر حتی در آلودگی شدید نفتی | خاموشی سریع فلورسنس در اثر وجود اکسید کننده       | پایدار                          | پایدار در محیط‌های بسیار شور   | پایدار در دماهای بسیار بالا      | قابل استفاده در کوتاه مدت        | افزایش شدید فلورسنس  | قابل استفاده به شرط pH لزوم سنجش در کوتاه مدت برای ردیابی‌های کمی | سنجهش نمونه‌ها در pH خنثی |
| اوزین                            | ++                                 | --  | ++                              | +  | ++                               | --                               | +  | +   |                           |
|                                  | بدون تأثیر حتی در آلودگی شدید نفتی | خاموشی بسیار سریع فلورسنس در اثر وجود اکسید کننده | پایدار                          | پایدار در شوری ناشی از کلرید پتاسیم و تاحدودی در شوری ناشی از کلرید سدیم | پایدار در دماهای بسیار بالا      | خاموشی بسیار سریع فلورسنس در نور | بدون تغییر در محیط قلیایی                                    | کاهش نسبی فلورسنس در pH ۴ از ۵                                    |                           |
| رودامین B                        | ++                                 | --  | --                              | -  | -                                | -                                | +  | +   |                           |
|                                  | بدون تأثیر حتی در آلودگی شدید نفتی | خاموشی سریع فلورسنس در اثر وجود اکسید کننده       | جذب بسیار شدید                  | کاهش فلورسنس با افزایش شوری محیط   | کاهش فلورسنس با افزایش دما       | قابل استفاده در کوتاه مدت        | بدون تغییر در محیط قلیایی                                    | کاهش نسبی فلورسنس در pH ۵ از ۳                                    |                           |
| کلرید سدیم                       | ++                                 | +   | -                               | --   | ++                               | ++                               | +  | +   |                           |
|                                  | بدون تأثیر حتی در آلودگی شدید نفتی | بدون تأثیر بر هدایت الکتریکی محلول                | بخشی از آن توسط محیط جذب می‌شود | لزوم استفاده از مقدار زیاد ردیاب به منظور غلبه بر غلظت زمینه             | پایدار در دماهای بسیار بالا      | قابل استفاده در بلند مدت         | لزوم سنجش غلظت ۱۲ ردیاب در pH بیشتر از ۳ برای ردیابی‌های کمی | لزوم سنجش غلظت ۳ ردیاب در pH کمتر از ۳ برای ردیابی‌های کمی        |                           |
| کلرید پتاسیم                     | ++                                 | +   | -                               | --   | ++                               | ++                               | +  | +   |                           |
|                                  | بدون تأثیر حتی در آلودگی شدید نفتی | بدون تأثیر بر هدایت الکتریکی محلول                | بخشی از آن توسط محیط جذب می‌شود | لزوم استفاده از مقدار زیاد ردیاب به منظور غلبه بر غلظت زمینه             | پایدار در دماهای بسیار بالا      | قابل استفاده در بلند مدت         | لزوم سنجش غلظت ۱۲ ردیاب در pH بیشتر از ۳ برای ردیابی‌های کمی | لزوم سنجش غلظت ۳ ردیاب در pH کمتر از ۳ برای ردیابی‌های کمی        |                           |
| پرمنگنات پتاسیم                  | -                                  | +   | --                              | +  | -                                | -                                | +  | +   |                           |
|                                  | ایجاد رنگ کاذب و تداخل             | بدون تأثیر بر شدت رنگ محلول                       | کاهش بسیار شدید شدت رنگ محلول   | بدون تأثیر بر شدت رنگ محلول  | قابل استفاده در دوره زمانی کوتاه | قابل استفاده در دوره زمانی کوتاه | بدون تغییر در شدت رنگ حتی در محیط کاملاً قلیایی              | بدون تغییر در شدت رنگ حتی در محیط کاملاً اسیدی                    |                           |

## فهرست منابع

### منابع فارسی:

اسدپور حسن‌آباد، ر، (۱۳۸۰)، پایان‌نامه ارشد، بررسی هیدروژئولوژی کارست در تاقدیس راوندی سد سیمره با استفاده از ماده رنگی رودامینB، دانشکده علوم، دانشگاه شیراز.

افتخاری، ع، (۱۳۷۲)، پایان‌نامه ارشد، کاربرد ردیاب‌های رنگی در بررسی خصوصیات هیدروژئولوژیکی منطقه کارستی سپیدان فارس، دانشکده علوم، دانشگاه شیراز.

امیربیگی، ح، (۱۳۸۲)، اصول تصفیه و بهداشت آب، انتشارات اندیشه رفیع، تهران.

بذرگر، الف، (۱۳۸۱)، پایان‌نامه کارشناسی ارشد، مطالعه پدیده‌های انتشار، پخش و نفوذ آب شور در سفره آبرفتی مجاور سفره کارستی رحمت، با استفاده از ردیاب رنگی اورانین، دانشکده علوم، دانشگاه شیراز.

تقوايی‌پور، الف، (۱۳۸۰)، آنالیز آب، انتشارات دانشگاه اراک، اراک.

خانلری، غ، حیدری، م، موسیوند، م، (۱۳۸۵)، ارزیابی هیدروژئولوژیکی سد گرین نهادوند با استفاده از ردیاب‌های رنگی، بیست و پنجمین گردهمایی علوم زمین، سازمان زمین‌شناسی و اکتشافات معدنی کشور.

استاندارد دستورالعمل کاربرد روش‌های ردیابی در مطالعات آبخوان‌های آبرفتی (نشریه شماره ۲۶۳ - الف)، (۱۳۸۲)، مؤسسه تحقیقات آب، وزارت نیرو.

استاندارد دستورالعمل کاربرد روش‌های ردیابی در مطالعات کارست و سازندهای سخت (نشریه شماره ۲۵۷ - الف)، (۱۳۸۲)، مؤسسه تحقیقات آب، وزارت نیرو.

مؤسسه تحقیقات آب، وزارت نیرو، گزارش مطالعات ردیابی ساختگاه سد سلمان فارسی (قیر)، (۱۳۷۶).

مؤسسه تحقیقات آب، وزارت نیرو، مطالعات ردیابی و ایزوتوپی در ساختگاه سد و نیروگاه رودبار لرستان، (۱۳۷۸).

مؤسسه تحقیقات آب، وزارت نیرو، مطالعات ردیابی سراب کاوات (جولنرود-باختران)، (۱۳۶۵).

مؤسسه تحقیقات آب، وزارت نیرو، خلاصه‌ای از بررسی‌های اکتشافی با استفاده از ایزوتوپ‌های محیطی و مواد رنگی، (۱۳۷۳).

مؤسسه تحقیقات آب، وزارت نیرو، مطالعات ردیابی منابع آب زیرزمینی دره لیتو، (۱۳۶۶).

مؤسسه تحقیقات آب، وزارت نیرو، مطالعات ردیابی منطقه سد رسوگیر مجتمع مس سرچشمہ کرمان، (۱۳۶۹).

مؤسسه تحقیقات آب، وزارت نیرو، مطالعات ردیابی منطقه سد پانزده خرداد، (۱۳۶۹).

مؤسسه تحقیقات آب، وزارت نیرو، مطالعات رדיابی سایت سد میرزای شیرازی، (۱۳۷۲).

مؤسسه تحقیقات آب، وزارت نیرو، گزارش مطالعات رדיابی ساختگاه سد هینی مینی، (۱۳۷۴).

مؤسسه تحقیقات آب، وزارت نیرو، تشخیص تغذیه سفره‌های آب زیرزمینی از آبهای سطحی مناطق آبرفتی و کارستیک دشت ارژن از طریق روش‌های رדיابی (ایزوتوپهای محیطی و رדיابهای مصنوعی)، (۱۳۷۵).

مؤسسه تحقیقات آب، وزارت نیرو، مطالعات رדיابی ساختگاه سد کوثر (تنگ دوک) بهبهان، (۱۳۷۶).

رדיابی مسیر فرار آب در تکیه‌گاه چپ سد مارون (بهبهان)، (۱۳۷۶)، مؤسسه تحقیقات آب، وزارت نیرو.

مؤسسه تحقیقات آب، وزارت نیرو، گزارش مطالعات رדיابی رنگی و ایزوتوپی ساختگاه سد هواسان، (۱۳۷۸).

شرکت فناوری آب و محیط زیست، گروه مطالعات میدانی و محیط زیست، مطالعات ایزوتوپی و رדיابی رنگی در ساختگاه سد گلورد نکا، (۱۳۸۴).

مؤسسه تحقیقات آب، وزارت نیرو، گزارش مطالعات رדיابی ساختگاه سد میرزای شیرازی کوار (مرحله دوم)، (۱۳۷۴).

مؤسسه تحقیقات آب، وزارت نیرو، مطالعات رדיابی و ایزوتوپی در گستره ساختگاه سد تنگ شمیران، (۱۳۷۸)،

#### منابع لاتین:

- Abood K. A. Lawler J. P. Disco M. D. (۱۹۶۹) "Utility of Radioisotope Methodology in Estuary Pollution Control Study; ۱: Evaluation of the Use of Radioisotopes and Fluorescent Dyes for Determining Longitudinal Dispersion" Report NYO-۳۹۶۱-۱, US Atomic Energy Commission, New York. pp ۱۷۹.
- Aley T. (۱۹۹۹) "Ground Water Tracing Hand Book" The Ozark underground laboratories, pp ۵-۲۳.
- Ammann, A. Hoehn, E. and Koch, S. (۲۰۰۳) "Ground water pollution by roof runoff infiltration evidenced whit multi-tracer experiments" **Journal of Water Research**, ۳۷, pp ۱۱۴۳-۱۱۵۳.
- ASTM. (۲۰۰۰) "Annual Book of ASTM Standards Water and Environmental Technology" Volume ۱۱.۰.۱ water (I), pp ۸۸-۹۴.
- Atkinson T. C. and Bukowiecki A. A. (۲۰۰۰) "Sorption of fluorobenzoic acids on peat and kaolinite. In: A. Dassargues, Editor, Tracers and Modelling in Hydrogeology" **International Association Sciences Hydrology**, ۲۶۲, pp ۱۸۷-۱۹۴.
- Avilov S. V. Bode C. Tolgyesi F. G. Klymchenko A. S. Fidy J. Demchenko A. P. (۲۰۰۵) "Temperature Effect on  $\alpha$ -Crystalline Structure Probed by  $\gamma$ -Bromomethyl- $\gamma$ -( $\gamma$ -furany)- $\gamma$ -hydroxychromone, an

environmentally sensitive tow wavelength fluorescent Dye Covalently Attached to the Single Residue" **International Journal of Biological Macromolecules**, 36, 5, pp 290-298.

Benischke R. (201) "Fluorescent Tracers in Hydrology Principles, Instrumentation, Physico-Chemical Properties, Analytics" Vol. 1, Institute of hydrogeology geothermic, Joanneum Research. Elisabethstraße 18/P, A-8010 Graz, Austria.

Benischke R. (2005) "Fluorescent Tracers in Hydrology Principles, Instrumentation, Physico-Chemical properties, Analytics" Vol. 1, Institute of water resources management, Hydrogeology & Geophysics, Joanneum research, Elisabethstraße 18/P, A-8010 Graz, Austria.

Bürgisser C. S. Cernilk M. Borkovec M. Sticher H. (1993) " Determination of nonlinear adsorption isotherms from column experiments: an alternative to batch studies" **Environmental Science & Technology**, 27, pp 943-948.

Buzády, A. Erostyák, J. and Paál, G. (2006) "Determination of uranine tracer dye from underground water of Mecsek Hill, Hungary" **Journal of Biochemical and Biophysical Methods**, 69, 1-2, pp 207-214.

Charideh A. Rahman A. (2007) "Environmental isotopic and hydrochemical study of water in the karst aquifer and submarine springs of the Syrian coast" **Hydrogeology Journal**, 15, pp 351-364.

Clark and Byron (1985) "Drug absorption from inhalation aerosols administered by positive-pressure ventilation. II: Effect of disodium fluorescein aerosol particle size on fluorescein absorption kinetics in the beagle dog respiratory tract" **Journal of Pharmaceutical Sciences**, 74, 9, pp 932-942.

Davis S. N. Campbell D. J. Bentley H. W. Flynn T. J. (1985) "Ground Water Tracers" National Water Well Association, Worthington Ohio, pp 1-11.

Davis S. N. Thompson G. M. Bently H. W. and Stiles G. (1980) "Ground Water Tracers a Short Review" **Ground water**, 18, 1, pp 14-23.

Deaner D. G. (1973) "Effect of Chlorine on Fluorescent Dyes" **Water pollution Control Federation**, 45, 1, pp 507-514.

Dole R. B. Fuller M. L. (1966) "Use of Fluorescein in the Study of Underground Waters" Underground water papers, pp 1-11.

Dolenko, T. A. Fadeev, V. V. Gerdova, I. V. Dolenko S. A. Rainer R. (2002) "Fluorescence diagnostics of oil pollution in coastal marine waters by use of artificial neural networks" **Applied Optics** Lp, 41, 24, pp 5155-5162.

Draw D. P. (1968) "A Study of the Limestone Hydrology of the St. Dunstan's Well and Ashwick Drainage Basins Eastern Mendip" **Proc. Univ. Bristol Speleol. Soc.** 11, 3, pp 257-272.

Dunn B. and Vaupel, D. E. (1968) "Effect of Sample and Fluorometer Compartment Temperatures on Fluorometer Reading" **United State Geological Survey**, 525, pp 225-227.

Einsiedl F. (2005) "Flow System dynamics and water storage of a fissured – porous karst aquifer characterized by artificial and environmental tracers" **Journal of Hydrology**, 312, 1-4, pp 212-221.

Faria P. C. C. Orfao J. J. M. Pereira M. F. R. (2004) "Adsorption of Anionic and Cationic Dyes on Activated Carbons whit Different Surface Chemistries" **Water Research**, 38, 8, pp 2043-2052.

Feuerstein D. L. and Selleck R. E. (1963) "Fluorescent tracers for dispersion measurements" **Journal of the Sanitary Engineering Division, American Society of Civil Engineers**, 89, SS4, pp 1-21.

Flury M. Flühler H. (1995) "Tracer characteristics of brilliant blue FCF" **Soil Science Society of America**, 59, pp 22-27.

Ford D. C. and Williams P. W. (1989) "**Karst Geomorphology and Hydrology**" Academic Division of Unwin Hyman Ltd, London, pp 5-1.

Ford D. C. and Williams P. W. (1992) "**Karst geomorphology and hydrology**" Academic, Chichester, England; a Hoboken, NJ: John Wiley, pp 554.

Griffioen J. Appelo C. A. J. Veldhuizen M. V. (1992) "Practice of chromatography: deriving isotherms from elution curves" **Soil Science Society of America**, 56, pp 1429-1437.

Hogan R. N. and Zimmerman C. F. (1997) "**Sodium Fluorescein and other Tissue Dyes**" Text book of ocular pharmacology, Lippincott-Raven, Philadelphia.

Igler B. A. Totsche K. U. Knabner P. (1998) "Identification of nonlinear sorption isotherms by soil column breakthrough experiments" **Physics and Chemistry of the Earth**, 23, pp 215-219.

Jeffrey, L. I. and Berian, S. F. (2001) "Using dye-tracing and chemical analyses to determine effects of a wastewater discharge to jam up creek on water quality of big spring southeastern Missouri" **U.S. Geological Survey (USGS)**, "<http://mo.water.usgs.gov>".

Käss W. (1998) "Tracing Technique in Geohydrology" Umkirch, LKr. Breisgau-Hochschwarzwald, Germany.

Ketelsen H. Meyer-Windel S. (1999) "Adsorption of Brilliant Blue FCF by soil" **Geoderma**, 90, pp 131-145.

Kola L. and Amataj S. (2006) "The Influence of Some Chemical and Physical Parameters of Water Samples on Spectral Determinations of Fluorescent Dyes" **Bulletin of the Chemists and Technologists of Macedonia**, 28, 2, pp 107-112.

Kyriakidis N. B. and Skarkalis P. (2000) "Fluorescence spectra measurement of olive oil and other vegetable oils" **Journal Of AOAC INTERNATIONAL**, 83, 6, pp 1435-1439.

Laughlin M. J. (1982) "A review on the use of dyes as soil water tracers" **Water SA**, 8, 4, pp 196-201.

Lindqvist L. (1960) "A flash photolysis study of fluorescein" **Ark. Kemi.** 16, 8, pp 79-137.

Liu ch. H. Wu J. sh. Chiu H. Ch. suen Sh. Y. Chu Kh. H. (2007) "Removal of anionic reactive dyes from water using anion exchange membranes as adsorbers" **Water Research**, 41, pp 1491-1500.

Lloyd J. B. F. (1971) "Synchronized Excitation of fluorescence emission spectra" **Nature Physical Science**, 231, pp 64.

Lyons R. G. (1993) "Identification and Separation of Water Tracing Dyes Using pH Reponses Characteristics" **Journal of Hydrology**. 152, 1-4, pp 13-29.

Molares T. Valderrama I. F. Uriarte J. A. Antigüedad I. Olazar M. (2007) "Predicting travel times and transport characterization in karst conduits by analyzing tracer-breakthrough curves" **Journal of Hydrology**, 334, 1-2, pp 183-198.

Mon J. Flury M. Harsh J. B. (2006) "Sorption of four trarylmethan dyes in a sandy soil determined by batch and column experiments" **Geoderma**, 133, 3-4, pp 217-224.

Müller K. Duwig C. Delmas P. Morin H. Ren K. prado B. Woodward A. (2008) "Quantifying Fluorescent Tracer Distribution in Allophonic Soils to Image Solute Transport" **European Journal of Soil Science**, 59, 1, pp 94-102.

Niven and Byron (1990) "Solute absorption from the airways of the isolated rat lung. II: Effect of surfactants on absorption of fluorescein" **Pharmaceutical Research**, 7, 1, pp 8-13.

Pritchard D. W. and Carpenter J. H. (1960) "Measurement of turbulent diffusion in estuarine and inshore water" **Bulletin International Association Sciences Hydrology**, 2, pp 37-50.

Reynolds E. R. C. (1966) "The percolation of rain water through soil demonstrated by fluorescent dyes"  
**European Journal of Soil Science**, 17, 1, pp 127-132.

Ryder A. G. Lewanski Ph. Montanari L. (2004) "Light emission of oil a valuable information source for petroleum analysis" **TPoint**, 2, pp 9-14.

Scanlan J. W. (1968) "Evaluation and application of dye tracing in a karst terrain" M. Sc thesis,  
University of Missouri, Rolla.

Scott C. H. Norman V. W. Field F. K. (1969) "Reduction of Fluorescence of two Tracer Dyes by Contact  
with Fine Sediment" **Geological Survey Research**, 6A-B, pp 164-168.

Seiler K. Maloszewski P. Behrens H (1989) "Hydrodynamic dispersion in karstified limestones and dolomites in the upper Jurassic of the Franconia Alb" **Journal of Hydrology**, 108, pp 235-247.

Shiau B. Sabatini D. A. Harwell J. H. (1993) "Influence of rhodamine WT properties on sorption and transport in subsurface media" **Ground water**, 31, pp 913-92.

Smart P. L. (1984) "A Review of the Toxicity of Twelve Fluorescent Dyes Used for Water Tracing" **The NSS Bulletin, Journal of Caves and Karst Studies**, 41, 2, pp 21-33.

Smart P. L. and Laidlaw I. M. S. (1977) "An Evaluation of Some Fluorescent Dyes for Water Tracing"  
**Water Resources Research**, 13, 1, pp 15-22.

Smettem K. R. J. and Trudgill, S. T. (1983) "An Evaluation of Some Fluorescent and Non Fluorescent Dye in the Identification of Water Transmission" **European Soil Science**, 24, 1, pp 45-58.

Talbot J. W. and Henry J. L. (1968) "The Adsorption of Rhodamine-B on to Materials Carried in Suspension by Inshore Waters" **ICES Journal of Marine Science**, 22, 1, pp 7-15.

Tanthapanichakoon W. Ariyadejwanich P. Japthong P. Nakagawa K. Mukai S.R. Tamon H. (2005)  
"Adsorption-desorption characteristics of phenol and reactive dyes from aqueous solution on mesoporous activated carbon prepared from waste tires" **Water Research**, 39, 7, pp 1347-1353.

Thornton R. D. and Light T. S. (1989) "A new approach to accurate resistivity measurement of high purity water" **Ultrapure water**, 6, 5, pp 14-26.

Watt J. P. C. (1965) "Development of the Dye Dilution Method for Measuring Water Yields from Mountain Watersheds" Master's thesis for Colorado State Univ., Fort Collins, CO.

Weight W. D. Sonderegger J. L. (2001) "Manual of Applied Field Hydrogeology" McGraw-Hill, New York, pp 8-18.

Weiler M. and Flühler H. (2003) "Inferring flow types from dye patterns in macroporous soils" **Journal of Geoderma**, 124, 1-2, pp 137-153.

Wilson J. F. Cobb J. E. Kilpatrick F. A. (1968) " Fluorometric procedures for dye tracing in techniques of water resources United State Geological Survey" Applications of Hydraulics, pp 42.

Wolfbeis O. S. Fürlinger E. Kroneis H. Marsoner. (1983) "Fluorimetric analysis: 1. A study on fluorescent indicators for measuring near neutral ("Physiological") pH-values" **Fresenius Journal of Analytical Chemistry** 314, 12, pp 119-124.

Wright R. R. and Collings M. R. (1964) "Application of fluorescent tracing techniques to hydrologic studies" **Journal Amer. Water Work Assoc.** 56, 8, pp 748-755.

Yates W. E. and Akesson N. B. (1963) "Fluorescent tracers for quantitative micro residue analysis" **Transactions of the ASAE**, 6, pp 105-114.

## **Abstract**

Tracing is one of the most precise and reliable methods in hydrogeology. It is an important task to select a proper tracer. To achieve this aim, it is necessary to have enough knowledge of the physical and chemical behaviors of various tracers in different field conditions. In this research, the effects of environmental factors such as pH, sunlight, temperature, salinity, time on different tracers as well as adsorption of tracers onto porous media are discussed. Also, the impacts of artificial factors such as free color, hydrocarbon pollutants and mixing on a number of common tracers that are currently in use in Iran are evaluated.

Different categories of tracers such as Uranine, Eosin and RhodamineB (Fluorescent tracers), NaCl and KCl (Chemical tracers) and KMnO<sub>4</sub> (Non fluorescent dye tracer) have been selected for this study. The result of the experiments show that Uranine losses its fluorescence in acid environments, while in alkaline conditions its fluorescence increases. The results also show that because of photochemical decay, Eosin is the most unstable tracer if subjected to sun light. KMnO<sub>4</sub> turns to brown under sun light and higher temperature conditions and may lose its tracing capability. The fluorescence intensity of RhodamineB decreases with increasing temperature and NaCl and KCl induced salinity. Uranine and Eosin have high resistance against high temperature and salinity.

An important factor in ground water tracing is tracer adsorption in porous media environment. RhodamineB is a cationic tracer and is easily adsorbed. Uranine and Eosin have high resistance to adsorbing. KMnO<sub>4</sub> is adsorbed easily. Chlorine used in drinking water treatment facilities is a strong oxidizer even in low concentration. It can lead to elimination of fluorescence of both Uranine, Eosin and RhodamineB. Experiments regarding common hydrocarbon pollutants in groundwater show that the color intensity of KMnO<sub>4</sub> increases when percentage of oil are increased. However, presence of oil doesn't change fluorescence of Uranine, Eosin and RhodamineB. Also KMnO<sub>4</sub> causes these tracers to decay. Therefore simultaneous application of these tracers is not recommended.

**Keyword:** Groundwater tracing, Tracer, Environmental factors, pH, photo, Temperature, Adsorption, Oil pollution.